

**KOCAELİ ÜNİVERSİTESİ  
FEN BİLİMLERİ ENSTİTÜSÜ**

**MEKATRONİK MÜHENDİSLİĞİ ANABİLİM DALI**

**DOKTORA TEZİ**

**TAKIM TEZGÂHLARI İÇİN SARSINTI VE İVME  
SİNIRLANDIRMALI YÖRÜNGE PLANLAMA  
ALGORİTMASININ GELİŞTİRİLMESİ VE DOĞRULANMASI**

**ETHEM KELEKÇİ**

**KOCAELİ 2021**

**KOCAELİ ÜNİVERSİTESİ  
FEN BİLİMLERİ ENSTİTÜSÜ**

**MEKATRONİK MÜHENDİSLİĞİ  
ANABİLİM DALI**

**DOKTORA TEZİ**

**TAKIM TEZGÂHLARI İÇİN SARSINTI VE İVME  
SINIRLANDIRMALI YÖRÜNGE PLANLAMA  
ALGORİTMASININ GELİŞTİRİLMESİ VE DOĞRULANMASI**

**ETHEM KELEKÇİ**

<b>Doç. Dr. Selçuk KIZİR</b>	.....
<b>Danışman, Kocaeli Üniversitesi</b>	.....
<b>Prof. Dr. Zafer BİNGÜL</b>	.....
<b>Jüri Üyesi, Kocaeli Üniversitesi</b>	.....
<b>Prof. Dr. Serdar KÜÇÜK</b>	.....
<b>Jüri Üyesi, Kocaeli Üniversitesi</b>	.....
<b>Prof. Dr. Şeref Naci ENGİN</b>	.....
<b>Jüri Üyesi, Yıldız Teknik Üniversitesi</b>	.....
<b>Prof. Dr. Raşit KÖKER</b>	.....
<b>Jüri Üyesi, Sakarya Uygulamalı Bilimler Univ.</b>	.....

**Tezin Savunulduğu Tarih: 05.11.2021**

## **ÖNSÖZ VE TEŞEKKÜR**

İmalat sanayinin önemli yapı taşlarından biri olan Bilgisayar Destekli Sayısal Kontrollü (CNC) takım tezgâhlarının çalışma performansını artirmaya yönelik akademik ve endüstriyel çalışmalar yoğun olarak devam etmektedir.

Bu doğrultuda yapılan tez çalışmasında, takım tezgâhlarının kontrolüne ilişkin yapılan güncel bilimsel çalışmalar ışığında, bu alanda literatüre katkı sağlayan yeni matematiksel algoritma ve yöntemlerin yer aldığı yüksek performanslı kontrol ünitesi yazılımı geliştirilmiştir. Ayrıca, ülkemiz üretim sanayinde çok yaygın kullanılan CNC takım tezgâhlarında doğrudan kullanılabilecek seviyede yerli bir kontrol ünitesi ortaya çıkarmak çalışmanın önemli bir hedefi olmuştur.

Bu çalışmanın konusunun belirlenmesinden tamamlanmasına kadar olan süreçte bilgi, deneyim ve desteğini esirgemeyen danışman hocam Doç. Dr. Selçuk Kızır'e, çalışmalarımıza çok önemli destekler veren Turkuaz Elektromekanik firmasına ve Batuhan Kindan'a,

Türkiye Bilimsel ve Teknolojik Araştırma Kurumu - Bilim İnsanı Destekleme Birimine (TÜBİTAK-BİDEB) sağladığı lisansüstü bursu ile çalışmalarımıza yaptığı katkıdan dolayı,

Uzun ve zorlu bu süreçte her zaman yanımdayan ve desteğini hiçbir zaman esirgemeyen sevgili eşim Fatma Cömertoğlu Kelekçi'ye, doktora çalışmam sırasında dünyaya gelen ve varlığı ile enerji veren oğlum Tuna'ya,

Ayrıca hayatım boyunca desteklerini esirgemeyen ve bu günlere gelmemde büyük pay sahibi olan aileme,

İçtenlikle teşekkürlerimi sunarım.

Kasım – 2021

Ethem KELEKÇİ

## İÇİNDEKİLER

ÖNSÖZ VE TEŞEKKÜR .....	i
İÇİNDEKİLER .....	ii
ŞEKİLLER DİZİNİ .....	iv
TABLOLAR DİZİNİ .....	x
SİMGELER VE KISALTMALAR DİZİNİ .....	xi
ÖZET .....	xv
ABSTRACT .....	xvi
GİRİŞ .....	1
1. GENEL BİLGİLER .....	4
1.1. CNC Tezgâhlarında Eğri Uydurma Yöntemleri .....	10
1.2. CNC Tezgâhlarında Köşe Yumuşatma Yöntemleri .....	15
1.3. CNC Tezgâhlarında Kesici Takım İlerleme Hızı Planlaması .....	17
1.4. CNC Tezgâhlarında Yörünge Interpolasyon İşlemleri .....	20
1.5. CNC Tezgâhlarında Kinematik Konfigürasyon .....	21
2. CNC-FREZE TEZGÂHI G-KOD FONKSİYONLARININ ÇIKARILMASI .....	26
2.1. G00/G01 Doğrusal Hareket Komutları .....	27
2.2. G02/G03 Dairesel Hareket Komutları .....	31
2.2.1. Dairesel hareketin merkez noktasının tespit edilmesi .....	32
2.2.2. Dairesel hareketin başlangıç noktasının ve dairesel hareket miktarının hesaplanması .....	35
2.3. G06.2 NURBS Eğrisel Hareket Komutu .....	40
2.3.1. NURBS eğrileri .....	42
2.3.2. NURBS eğrisinin boyu .....	51
2.4. G05.1 Hassas İşleme Komutu .....	57
2.4.1. G1 nokta bulutu analizi .....	58
2.4.2. Düzenli dağılımlı (uniform) düğüm vektörü yöntemi .....	61
2.4.3. Universal düğüm vektörü yöntemi .....	62
2.4.4. Kiriş uzunluğuna (chord length) bağlı düğüm vektörü yöntemi .....	63
2.4.5. Merkezcil (centripetal) düğüm vektörü yöntemi .....	63
2.4.6. Yöntemlerin karşılaştırılması .....	64
3. HIZ PLANLAMA VE YÖRÜNGE İNTERPOLASYON ALGORİTMALARI .....	69
3.1. G01 Komutu için Yörünge Planlamasının Yapılması .....	69
3.2. G02/G03 Komutları için Yörünge Planlamasının Yapılması .....	82
3.3. Eğrisel Fonksiyonlar İçin Yörünge Planlamasının Yapılması .....	90
3.3.1. Eğrililik yarıçapı ve kiriş hatası (chord error) .....	91
4. CNC KONTROL ÜNİTESİ YAZILIM VE DONANIM GELİŞTİRME İŞLEMLERİ .....	98
4.1. Operatör Panel Arayüzünün Geliştirilmesi .....	98
4.2. TwinCat Yazılım İşlemleri .....	107
4.2.1. EtherCat protokolü .....	107
4.2.2. TwinCat programı .....	111
4.2.2.1. IO terminal EtherCat bağlantısının kurulması .....	113

4.2.2.2. Motor sürücü EtherCat bağlantısının kurulması .....	116
4.2.2.3. TwinCat PLC yazılımı.....	120
<b>5. DENEYSEL ÇALIŞMALAR .....</b>	<b>133</b>
5.1. AC Servo Motor Yörüngे Takibi ve Senkronizasyon Testleri .....	133
5.2. Endüstriyel 3-Eksen CNC-Freze Tezgâhı Kontrolü.....	143
5.2.1. Kaba talaş kaldırma işlemi.....	147
5.2.2. Slot açma işlemi .....	149
5.2.3. Konik küre açma işlemi .....	151
5.2.4. Genel finiş işlemi .....	155
5.2.5. Uygulama değerlendirmeleri.....	158
5.3. Endüstriyel 4-Eksen CNC-Freze Tezgâhı Kontrolü.....	158
5.3.1. Kinematik dönüşüm işlemleri .....	160
5.3.1.1. İleri kinematik dönüşümü.....	161
5.3.1.2. Ters kinematik dönüşümü .....	162
5.3.2. Kütük parçaya küresel form verme uygulaması.....	171
5.3.3. Dairesel cep boşaltma uygulaması .....	174
<b>6. SONUÇLAR VE ÖNERİLER .....</b>	<b>176</b>
<b>KAYNAKLAR .....</b>	<b>180</b>
<b>EKLER.....</b>	<b>187</b>
<b>KİŞİSEL YAYIN VE ESERLER .....</b>	<b>194</b>
<b>ÖZGEÇMİŞ .....</b>	<b>195</b>

## **ŞEKİLLER DİZİNİ**

Şekil 1.1. (a) CNC-Freze (b) CNC-Torna (c) CNC- Kalıp (d) CNC-Lazer .....	5
Şekil 1.2. CNC-Freze tezgâhı genel yapısı.....	5
Şekil 1.3. CNC tezgâhında ürün işleme adımları .....	6
Şekil 1.4. Post-Processor yapısı.....	7
Şekil 1.5. Operatör panelleri (a) Mazak SmoothX (b) Fanuc (c) Haas (d) Siemens 828D (e) Mitsubishi M70 .....	9
Şekil 1.6. (a) Quintic spline fonksiyonu ile eğri uydurma yöntemi (b) quintic-spline eğrisi .....	11
Şekil 1.7. Bezier fonksiyonu ile eğri uydurma .....	11
Şekil 1.8. Yengeç ve kelebek formlarının Bezier eğrisi ile çıkarılması .....	12
Şekil 1.9. Dörtlü Bezier segmentlerinin G3 interpolatif takım yollarına dönüştürülmesi .....	12
Şekil 1.10. (a) Nokta bulutu (b) Kuadratik B-spline fonksiyonu ile eğri uydurma işlemi .....	13
Şekil 1.11. Kelebek figürünün beşinci dereceden B-spline eğrisine dönüştürülmesi .....	14
Şekil 1.12. Nokta bulutlarının NURBS eğrilerine dönüştürülmesi .....	14
Şekil 1.13. Nokta bulutlarının kontur hatası sınırlaması altında NURBS eğrisine dönüştürülmesi.....	14
Şekil 1.14. Köşe yumusatması ile sert geçişlerin düzenlenmesi .....	15
Şekil 1.15. Global yörünge ve köşe yumusatma işlem sonuçları .....	16
Şekil 1.16. (a) NURBS eğrisi (b) kesici takım hız profili .....	18
Şekil 1.17. (a) NURBS kelebek eğrisi (b) CSFA yöntemi temelinde çıkarılan kesici takım hız profili.....	19
Şekil 1.18. Pythagorean-hodograph yıldız eğrisi (b) C2 süreklilikte oluştulan kesici takım hız profili.....	19
Şekil 1.19. NURBS kelebek eğrisinin CNC-Freze tezgâhı üzerinde işlenmesi .....	20
Şekil 1.20. NURBS eğrileri için kesici takım ilerleme hızı düzeltme işleminin uygulanması .....	21
Şekil 1.21. 5-eksen CNC-Freze tezgâh konfigürasyonları (a) ZA'B'-YX (b) B'C'-ZYX (c) ZXC'-B'Y (d) A'B'-XYZ .....	22
Şekil 1.22. Kesici takım kartezyen uzay yörüngesi ve oryantasyon yörüngesinin çıkarılması işlemi .....	23
Şekil 1.23. (a) CNC-Freze eksen yerleşimi (b) komut satırına karşılık gelen konum ve oryantasyonun gösterimi .....	23
Şekil 1.24. Aktif ve pasif RTCP'nin kesici takım yörüngelerine etkisi .....	24
Şekil 1.25. Senkronizasyonun sağlanması için doğrusal ve açısal hızların optimize edilmesi .....	25
Şekil 2.1. G00/G01 doğrusal hareket komutu.....	28
Şekil 2.2. G01 X12 Y7 Z-2 komutuna ilişkin eksen hareketleri .....	30
Şekil 2.3. G01 X30 Y-50 komutuna ilişkin eksen hareketleri.....	30
Şekil 2.4. G01 X50 komutuna ilişkin eksen hareketleri .....	31
Şekil 2.5. İki noktası ve yarıçapı bilinen dairenin merkez noktaları .....	33

Şekil 2.6.	Başlangıç noktasının $180^\circ$ karşı noktaları.....	34
Şekil 2.7.	Merkez noktası seçimine ilişkin durum diyagramı .....	34
Şekil 2.8.	G02 ve G03 komutları için başlangıç açısı ve radyüs açısının gösterimi.....	36
Şekil 2.9.	G17 G02 X9.019 Y2.975 R5 komutuna ilişkin eksen hareketleri .....	37
Şekil 2.10.	G18 G02 X9.019 Z2.975 R5 komutuna ilişkin eksen hareketleri .....	38
Şekil 2.11.	G19 G02 Y9.019 Z2.975 R5 komutuna ilişkin eksen hareketleri .....	38
Şekil 2.12.	G17 G03 X14.94 Y1.749 Z2 R14.976 komutuna ilişkin eksen hareketleri.....	39
Şekil 2.13.	Dairesel hareketin $180^\circ$ den büyük olma durumu .....	39
Şekil 2.14.	Negatif ve pozitif radyus değerinin kesici takım yörüngesine etkisi .....	40
Şekil 2.15.	Baz fonksiyonlarının özyinelemeli yapısı .....	44
Şekil 2.16.	Baz fonksiyon dereceleri .....	45
Şekil 2.17.	Uniform kübik baz fonksiyonları (düğüm vektörü: [0 1 2 3 4 5 6 7 8 9 10 11 12 13]) .....	47
Şekil 2.18.	NURBS eğrisinin segmentlerinin oluşturulması .....	48
Şekil 2.19.	NURBS eğrisinin Convex Hull özelliği .....	49
Şekil 2.20.	Yedi segmentli NURBS eğrisi (uniform baz fonksiyonlu) .....	50
Şekil 2.21.	Nonuniform kübik baz fonksiyonları (düğüm vektörü: [0 0 0 0 1 2 3 4 5 6 7 7 7]) .....	51
Şekil 2.22.	Yedi segmentli NURBS eğrisi (nonuniform baz fonksiyonlu) .....	51
Şekil 2.23.	a-b zaman aralığında eksen fonksiyonları .....	52
Şekil 2.24.	Kübik baz fonksiyonlarının türev fonksiyonları .....	54
Şekil 2.25.	(a) NURBS eğrisi (b) NURBS eğri boyuna karşılık gelen eksen hareketleri.....	55
Şekil 2.26.	Ağırlık vektörünün NURBS eğrisine etkisi (a) X-Y uzayı (b) X-Y-Z uzayı.....	55
Şekil 2.27.	Nokta bulutu analizi işlem adımları .....	60
Şekil 2.28.	Düğüm vektörü yöntemlerinin karşılaştırılması.....	65
Şekil 2.29.	Merkezil yöntem için oluşturulan kübik baz fonksiyonları.....	65
Şekil 2.30.	Düğüm vektör yöntemlerinin NURBS eğrisine etkisi.....	67
Şekil 3.1.	Jerk ve ivme sınırlırmalı hız profili.....	72
Şekil 3.2.	Hız profil türleri .....	73
Şekil 3.3.	Hız profil seçim algoritması .....	74
Şekil 3.4.	(a) Kesici takım yörüngesi (b) hareket boyuna ilişkin elde edilen eksen yörüngeleri (G01 X15 Y20 Z10 F3000) .....	77
Şekil 3.5.	Hedef jerk, ivme, hız ve yer değiştirme grafikleri (G01 X15 Y20 Z10 F3000) .....	78
Şekil 3.6.	(a) Hedef profiller sonucunda ortaya çıkan eksen yörüngeleri (b) hedef ve gerçekleşen yer değiştirme grafiklerinin karşılaştırılması.....	78
Şekil 3.7.	(a) Kesici takımın izleyeceği doğrusal hareket yörüngesi (b) bu yörünge için oluşturulan hız profili (G01 X40 Y25 Z10 F3000, G01 X50 Y90 Z65, G01 X10 Y120 Z-30) .....	80
Şekil 3.8.	Eksen yörüngeleri ve eksenel hız/ivme grafikleri (G01 X40 Y25 Z10 F3000, G01 X50 Y90 Z65, G01 X10 Y120 Z-30) .....	80
Şekil 3.9.	(a) Kesici takımın izleyeceği doğrusal hareket yörüngesi (b) bu yörünge için oluşturulan hız profili (G01 X40 Y20 Z20 F3000, G01 X80 Y35 Z30, G01 X115 Y55 Z40) .....	81

Şekil 3.10. Eksen yörüngeleri ve eksenel hız/ivme grafikleri (G01 X40 Y20 Z20 F3000, G01 X80 Y35 Z30, G01 X115 Y55 Z40).....	82
Şekil 3.11. $\beta$ açı aralıklarının gösterimi (a) Norm1 (b) Norm – 1 durumları için.....	83
Şekil 3.12. Hedef jerk, ivme, hız ve yer değiştirme grafikleri (G02 X9.019 Y2.975 R14.976 F1800).....	85
Şekil 3.13. G02 X9.019 Y2.975 R14.976 F1800 komutuna ilişkin eksen hareketleri.....	85
Şekil 3.14. Hedef ve gerçekleşen yer değiştirme grafiklerinin karşılaştırılması (G02 X9.019 Y2.975 R14.976 F1800).....	86
Şekil 3.15. Kartzyen uzayda işlenecek dairesel yörünge ve kesici takım hız profili.....	87
Şekil 3.16. Önerilen yöntem ve B-spline eğri uydurma yöntemi ile çıkarılan yörüngelerin karşılaştırılması .....	87
Şekil 3.17. Kartzyen uzayda işlenecek helisel yörünge ve CNC tezgâhının ve kesici takım hız profili.....	88
Şekil 3.18. Eksen yörüngeleri (a) dairesel hareket (b) helisel hareket için .....	89
Şekil 3.19. Önerilen interpolasyon yönteminin klasik yöntemle karşılaştırması (a) dairesel yörünge (b) helisel yörünge için.....	89
Şekil 3.20. Eğrilik yarıçapı ve kiriş hatası.....	91
Şekil 3.21. Denklem 3.13 parametrelerine göre elde edilen NURBS eğrisi .....	94
Şekil 3.22. Eğrilik grafiği ve eşik değeri üzerindeki bölgesel maksimum/minimum noktalarının bulunması .....	94
Şekil 3.23. Hedef jerk, ivme, hız ve yer değiştirme grafikleri (Şekil 3.21'deki NURBS eğrisi için) .....	95
Şekil 3.24. Hedef ve gerçekleşen yer değiştirme grafiklerinin karşılaştırılması.....	96
Şekil 3.25. NURBS kelebek eğrisi ve eğrilik grafiği .....	97
Şekil 3.26. NURBS kelebek eğrisine ilişkin kesici takım hız profili .....	97
Şekil 4.1. Geliştirilen operatör paneli.....	98
Şekil 4.2. Operatör panel arayüzü .....	99
Şekil 4.3. Operatör panel arayüzü bölümleri .....	99
Şekil 4.4. Operatör panel yazılımında G-M komut sınıflandırması .....	100
Şekil 4.5. NC dosyası okuma ve sınıflandırma işlemleri .....	101
Şekil 4.6. Makine (M), parça (A) ve bağıl (R) sıfırı referans noktaları .....	102
Şekil 4.7. Operatör panel arayüzünde parça ve bağıl sıfırlama işlemleri .....	103
Şekil 4.8. Operatör panel arayüzünde esnek yörünge inceleme işlemleri .....	106
Şekil 4.9. EtherCat çalışma yapısı .....	108
Şekil 4.10. EtherCat bağlantı yapısı .....	108
Şekil 4.11. EtherCat bağlantı yapısı (açık-kapalı).....	109
Şekil 4.12. Dağıtılmış saat kullanımı .....	110
Şekil 4.13. EtherCat frame yapısı.....	110
Şekil 4.14. TwinCat arayüzü .....	111
Şekil 4.15. ADS haberleşme protokolünün kullanımı.....	113
Şekil 4.16. CNC kontrol ünitesi haberleşme sistemi .....	113
Şekil 4.17. EtherCat bağlayıcıları.....	114
Şekil 4.18. EtherCat bağlayıcı ile IO terminal kurulumu .....	115
Şekil 4.19. EtherCat bağlayıcısına ait XML dosyasının TwinCat yazılımına eklenmesi.....	115
Şekil 4.20. IO terminaline bağlı modüllerin kontrolü .....	116

Şekil 4.21. Servo sürücüsüne ait XML dosyasının TwinCat yazılımına eklenmesi.....	117
Şekil 4.22. TwinCat yazılımı ile servo sürücünün kontrol edilmesi .....	118
Şekil 4.23. Master PC ile servo sürücü arasındaki fiziksel bağlantının kurulumu .....	118
Şekil 4.24. Servo sürücü PDO haritalandırması (mapping) .....	119
Şekil 4.25. TwinCat yazılımında PDO haritalarının kullanımı .....	119
Şekil 4.26. CNC kontrol ünitesi PLC yazılımı (ana program) .....	120
Şekil 4.27. CNC kontrol ünitesi PLC yazılımı (fonksiyon programları) .....	121
Şekil 4.28. AC servo motor pozisyon kontrol kapalı çevrim yapısı.....	122
Şekil 4.29. AC servo motor hız kontrol kapalı çevrim yapısı .....	122
Şekil 4.30. Sürücü kontrol parametreleri.....	123
Şekil 4.31. Sysmac Studio sürücü yapılandırma işlemi .....	124
Şekil 4.32. Sürücü yapılandırılması iterasyon işlemlerinin sonlanması.....	124
Şekil 4.33. CNC kontrol ünitesi ikili ping-pong buffer mekanizması.....	125
Şekil 4.34. Pozisyon, hız ve ivme vektörlerinin buffer mekanizmasına aktarılması .....	126
Şekil 4.35. Operatör panel arayüzünde otomatik mod seçimi.....	126
Şekil 4.36. İşlenen komut satırının gerçek zamanlı operatör panel arayüzünde takibi.....	127
Şekil 4.37. (a) JOG modunda manuel eksen kontrolü (b) eksen konumlarının gerçek zamanlı takibi .....	128
Şekil 4.38. (a) INC modunda hassas eksen kontrolü (b) eksen konumlarının gerçek zamanlı takibi .....	129
Şekil 4.39. (a) Eksenlerin referans noktalarına gönderilmesi işlemi (b) eksen konumlarının gerçek zamanlı takibi .....	129
Şekil 4.40. Tezgâhın makine sıfırına gönderilmesi işlemi .....	130
Şekil 4.41. CNC kontrol ünitesi el kumandası .....	131
Şekil 4.42. Manuel spindle kontrol işlemi.....	132
Şekil 5.1. Endüstriyel AC servo motorlu test düzeneği.....	133
Şekil 5.2. Fiziksel bağlantıların yapılması .....	134
Şekil 5.3. Üçgensel yörüngé takibi sonuçları (a) 0.2 Hz (b) 0.4 Hz (c) 1 Hz.....	134
Şekil 5.4. Üçgensel yörüngé takibi hataları (a) 0.2 Hz (b) 0.4 Hz (c) 1 Hz .....	135
Şekil 5.5. Üçgensel yörüngé takibi için (a) ortalama konum hata değerinin tespiti (b) maksimum konum hata değerinin tespiti .....	135
Şekil 5.6. $10^\circ$ genlik değerine sahip sinüzoidal yörüngé takibi sonuçları (a) 0.2 Hz (b) 0.4 Hz (c) 1 Hz.....	136
Şekil 5.7. $10^\circ$ genlik değerine sahip sinüzoidal yörüngé takibi hataları (a) 0.2 Hz (b) 0.4 Hz (c) 1 Hz.....	136
Şekil 5.8. $25^\circ$ genlik değerine sahip sinüzoidal yörüngé takibi sonuçları (a) 0.2 Hz (b) 0.4 Hz (c) 1 Hz.....	136
Şekil 5.9. $25^\circ$ genlik değerine sahip sinüzoidal yörüngé takibi hataları (a) 0.2 Hz (b) 0.4 Hz (c) 1 Hz .....	137
Şekil 5.10. $50^\circ$ genlik değerine sahip sinüzoidal yörüngé takibi sonuçları (a) 0.2 Hz (b) 0.4 Hz (c) 1 Hz .....	137
Şekil 5.11. $50^\circ$ genlik değerine sahip sinüzoidal yörüngé takibi hataları (a) 0.2 Hz (b) 0.4 Hz (c) 1 Hz .....	137
Şekil 5.12. Sinüzoidal yörüngé takibi için (a) ortalama konum hata değerinin tespiti (b) maksimum konum hata değerinin tespiti .....	138

Şekil 5.13. İki motorlu test düzeneği sistemi .....	139
Şekil 5.14. Üç motorlu sistemde fiziksel bağlantıların yapılması .....	139
Şekil 5.15. 42,832 satırlı NC dosyasının program çıktısı (uygulama 1) .....	140
Şekil 5.16. Gerçek zamanlı yörünge takibi sonuçları ve hata grafikleri (uygulama 1) .....	141
Şekil 5.17. 17,847 satırlı NC dosyasının program çıktısı (uygulama 2) .....	141
Şekil 5.18. 27,060 satırlı NC dosyasının program çıktısı (uygulama 3) .....	142
Şekil 5.19. Gerçek zamanlı yörünge takibi sonuçları ve hata grafikleri (uygulama 2) .....	142
Şekil 5.20. Gerçek zamanlı yörünge takibi sonuçları ve hata grafikleri (uygulama 3) .....	143
Şekil 5.21. 3-Eksen CNC-Freze tezgâhı açık versiyonu .....	144
Şekil 5.22. 3-Eksen CNC-Freze tezgâhı giydirilmiş versiyonu .....	144
Şekil 5.23. CNC tezgâhı elektrik panosu.....	145
Şekil 5.24. CNC kontrol ünitesi ile fiziksel sistem arasında kurulan bağlantı yapısı .....	146
Şekil 5.25. (a) İşlenecek kütük parça (b) işlenmiş parça.....	146
Şekil 5.26. Tarama başlığı (50 Ø) .....	147
Şekil 5.27. Kaba talaş kaldırma NC dosyasının program çıktısı.....	147
Şekil 5.28. Kaba talaş kaldırma işlemi için oluşan kesici takım yörüngesi ve eksen yörüngeleri .....	148
Şekil 5.29. Gerçek zamanlı yörünge takibi sonuçları (kaba talaş kaldırma) .....	148
Şekil 5.30. (a) Matkap başlığı (10.2 Ø) (b) radyuslu freze başlığı (10 Ø) .....	149
Şekil 5.31. Slot deliklerine ait program çıktısı .....	150
Şekil 5.32. Slot açma NC dosyasının program çıktısı .....	150
Şekil 5.33. Kesici takım yörüngesi/eksen yörüngeleri (a) slot delikleri (b) slot açma .....	150
Şekil 5.34. Gerçek zamanlı yörünge takibi sonuçları (a) slot delikleri (b) slot açma .....	151
Şekil 5.35. Konik küre kaba işleme NC dosyasının program çıktısı.....	151
Şekil 5.36. Kesici takım yörüngesi/eksen yörüngeleri (a) konik küre kaba (b) ) konik küre finiş.....	152
Şekil 5.37. Konik küre finiş işleme NC dosyasının program çıktısı .....	152
Şekil 5.38. Gerçek zamanlı yörünge takibi sonuçları (a) konik küre kaba işleme (b) konik küre finiş işleme .....	153
Şekil 5.39. Nokta bulutunun NURBS eğrisine dönüştürülmesi .....	154
Şekil 5.40. NURBS eğrisine ilişkin hız, ivme ve jerk grafikleri .....	154
Şekil 5.41. Eksen hız ve ivme grafikleri (a) küre kaba işleme (b) küre finiş işleme .....	155
Şekil 5.42. Genel finiş işleme NC dosyasının program çıktısı.....	156
Şekil 5.43. (a) Kesici takım yörüngesi/eksen yörüngeleri (b) gerçek zamanlı yörünge takibi sonuçları .....	156
Şekil 5.44. Genel finiş işlemi (a) öncesi (b) sonrası.....	157
Şekil 5.45. 4-Eksen CNC-LKM tezgâhı.....	159
Şekil 5.46. CNC-LKM tezgâhı elektrik panosu .....	160
Şekil 5.47. CNC kontrol ünitesi ile fiziksel sistem arasında kurulan bağlantı yapısı .....	160
Şekil 5.48. İleri kinematik dönüşümü.....	161
Şekil 5.49. Ters kinematik dönüşümü .....	162

Şekil 5.50. Döner tabla için örnek çalışma senaryosu.....	164
Şekil 5.51. Kesici takım yönelik açıları .....	164
Şekil 5.52. A açısının tanjant bölgelerine ayrılması .....	165
Şekil 5.53. (a) Saat yönünde (G02) dairesel hareket ve yönelik açıları (b) saat yönü tersinde (G03) dairesel hareket ve yönelik açıları.....	166
Şekil 5.54. Örnek bir nokta bulutundan elde edilmiş NURBS eğrisi üzerinde doğru A açılarının bulunması.....	166
Şekil 5.55. 4-Eksen NC dosya yörüngesinin ileri kinematik işlemlerle kartezyen uzay yörüngesine dönüştürülmesi.....	167
Şekil 5.56. Planlanan yörüğenin NC dosya yörüngesi ile karşılaştırılması.....	168
Şekil 5.57. (a) 4-Eksen NC dosya verileri (b) ters kinematik dönüşüm işlemi sonrası elde edilen 4-Eksen yörüngesi .....	168
Şekil 5.58. 4-Eksen CNC-LKM tezgâhi özelinde CNC kontrol ünitesi çalışma yapısı .....	170
Şekil 5.59. (a) Kaba işleme program çıktıları (b) finiş işleme program çıktıları.....	171
Şekil 5.60. (a) Küyük parça (b) kaba işleme ürün çıktıları (c) finiş işleme ürün çıktısı .....	171
Şekil 5.61. Kaba işleme uygulamasına ait bir bölümünün interpolasyon işlem detayları .....	172
Şekil 5.62. Gerçek zamanlı yörüğe takibi sonuçları (a) küre kaba işleme (b) küre finiş işleme .....	173
Şekil 5.63. (a) Dairesel cep boşaltma işlemi program çıktıları (b) ürün çıktıları .....	174
Şekil 5.64. Dairesel cep boşaltma uygulamasına ilişkin gerçek zamanlı yörüğe takibi sonuçları .....	175

## **TABLOLAR DİZİNİ**

Tablo 1.1. CNC-Freze tezgâhı G-kodları .....	8
Tablo 1.2. CNC-Freze tezgâhı M-kodları.....	9
Tablo 2.1. Başlangıç ve bitiş noktalarına göre bölge seçim işlemi.....	33
Tablo 2.2. Seçilen düzleme göre değişken değiştirme yönteminin uygulanması....	37
Tablo 2.3. Dairesel hareketin 180°den büyük olması durumunda bölge seçim işlemi .....	39
Tablo 2.4. NURBS eğri boyalarının karşılaştırılması .....	56
Tablo 2.5. Nokta bulutu analiz algoritması .....	59
Tablo 2.6. NURBS eğri boyalarının karşılaştırılması .....	68
Tablo 3.1. Hız, ivme ve jerk denklemleri.....	73
Tablo 3.2. Komut satır geçişlerine uygun Ve/s değerlerinin bulunması .....	83
Tablo 4.1. Operatör panel arayüzünde bulunan kontrol butonları.....	104
Tablo 4.2. CNC çalışma modlarına göre kontrol türleri.....	121
Tablo 5.1. Yörünge takibi hata değerleri.....	138
Tablo 5.2. Eksenel yörünge takibine ilişkin RMSE ve MSE hata değerleri (3- Eksen CNC-Freze Tezgâhı tüm uygulamaları) .....	157
Tablo 5.3. Eksenel yörünge takibine ilişkin RMSE ve MSE hata değerleri .....	175

## SİMGELER VE KISALTMALAR DİZİNİ

$L_{seg}$	: Segment uzunluğu
$k_i$	: Doğrusal hareket interpolasyon parametresi
$x_i$	: Kartezyen uzay x yörungesi
$y_i$	: Kartezyen uzay y yörungesi
$z_i$	: Kartezyen uzay z yörungesi
$T_s$	: Eksen veri yenileme hızı
$F$	: Kesici takım ilerleme hızı (mm/dk)
$V$	: Kesici takım ilerleme hızı (mm/s)
$xc_1$	: Dairesel hareketlerde x ekseninde 1. merkez noktası
$yc_1$	: Dairesel hareketlerde y ekseninde 1. merkez noktası
$xc_2$	: Dairesel hareketlerde x ekseninde 2. merkez noktası
$yc_2$	: Dairesel hareketlerde y ekseninde 2. merkez noktası
$x_{e1}$	: Başlangıç noktasının $180^\circ$ karşısındaki 1. x noktası
$x_{e2}$	: Başlangıç noktasının $180^\circ$ karşısındaki 2. x noktası
$y_{e1}$	: Başlangıç noktasının $180^\circ$ karşısındaki 1. y noktası
$y_{e2}$	: Başlangıç noktasının $180^\circ$ karşısındaki 2. y noktası
$\theta_{02}$	: G02 komutuna ilişkin dairesel hareket başlangıç açısı
$\theta_{03}$	: G03 komutuna ilişkin dairesel hareket başlangıç açısı
$\theta$	: Dairesel hareket açı miktarı
$R$	: Dairesel hareket yarıçapı
$\alpha_i$	: Dairesel hareket interpolasyon parametresi
$L_{rad}$	: Dairesel hareket uzunluğu
$K$	: G06.2 komutu düğüm vektörü
$P$	: G06.2 komutu NURBS eğri derecesi
$\alpha$	: G06.2 komutu $\alpha$ döner eksen kontrol noktaları
$\beta$	: G06.2 komutu $\beta$ döner eksen kontrol noktaları
$X$	: G06.2 komutu X ekseni kontrol noktaları
$Y$	: G06.2 komutu Y ekseni kontrol noktaları
$Z$	: G06.2 komutu Z ekseni kontrol noktaları
$C_u$	: NURBS eğri fonksiyonu
$B_{i,p}$	: NURBS eğrisi baz fonksiyonları
$w_i$	: NURBS eğrisi ağırlık vektörü
$P_i$	: NURBS eğrisi kontrol noktaları
$u$	: NURBS eğri parametresi
$t_i$	: Baz fonksiyon parametresi
$t_0$	: Kübik birinci baz fonksiyonun başlangıç noktası
$t_1$	: Kübik ikinci baz fonksiyonun başlangıç noktası
$t_2$	: Kübik üçüncü baz fonksiyonun başlangıç noktası
$t_3$	: Kübik dördüncü baz fonksiyonun başlangıç noktası
$t_4$	: Kübik beşinci baz fonksiyonun başlangıç noktası
$f_i^{(u)}$	: NURBS eğrisi segment fonksiyonu

$M$	: Baz fonksiyon matrisi
$m_{i,j}$	: Baz fonksiyon matris elemanları
$S(f, h)$	: Komposit Simpson fonksiyonu
$h$	: Komposit Simpson fonksiyon parametresi
$x_k$	: Komposit Simpson fonksiyon parametresi
$a$	: Komposit Simpson fonksiyonu başlangıç noktası
$b$	: Komposit Simpson fonksiyonu bitiş noktası
$B'_{i,p}$	: NURBS eğrisi baz fonksiyon türevi
$f_i^{(u)}$	: NURBS eğrisi segment fonksiyon türevi
$dx_{10}$	: X ekseninde birinci doğrusal hareket segmentinin bitiş ve başlangıç noktası arasındaki
$dy_{10}$	: Y ekseninde birinci doğrusal hareket segmentinin bitiş ve başlangıç noktası arasındaki fark değeri
$dz_{10}$	: Z ekseninde birinci doğrusal hareket segmentinin bitiş ve başlangıç noktası arasındaki fark değeri
$dx_{21}$	: X ekseninde ikinci doğrusal hareket segmentinin bitiş ve başlangıç noktası arasındaki fark değeri
$dy_{21}$	: Y ekseninde ikinci doğrusal hareket segmentinin bitiş ve başlangıç noktası arasındaki fark değeri
$dz_{21}$	: Z ekseninde ikinci doğrusal hareket segmentinin bitiş ve başlangıç noktası arasındaki fark değeri
$\theta_{(deg)}$	: Nokta bulutu analizine ilişkin açı değeri
$Q_i$	: Nokta bulutu içindeki veri noktaları
$L_{x1}$	: X eksenindeki hareket boyunun birinci doğrusal hareket boyuna oranı
$L_{y1}$	: Y eksenindeki hareket boyunun birinci doğrusal hareket boyuna oranı
$L_{z1}$	: Z eksenindeki hareket boyunun birinci doğrusal hareket boyuna oranı
$L_{*1}$	: * eksenindeki hareket boyunun birinci doğrusal hareket boyuna oranı
$L_{x2}$	: X eksenindeki hareket boyunun ikinci doğrusal hareket boyuna oranı
$L_{y2}$	: Y eksenindeki hareket boyunun ikinci doğrusal hareket boyuna oranı
$L_{z2}$	: Z eksenindeki hareket boyunun ikinci doğrusal hareket boyuna oranı
$L_{*2}$	: * eksenindeki hareket boyunun ikinci doğrusal hareket boyuna oranı
$V_{xMaxGap}$	: X ekseninde iki doğrusal hareket arasındaki maksimum hız farkı
$V_{yMaxGap}$	: Y ekseninde iki doğrusal hareket arasındaki maksimum hız farkı
$V_{zMaxGap}$	: Z ekseninde iki doğrusal hareket arasındaki maksimum hız farkı
$V_{*MaxGap}$	: * ekseninde iki doğrusal hareket arasındaki maksimum hız farkı
$\alpha_{xMax}$	: İki doğrusal hareket arasında X eksen motoru için izin verilen maksimum açısal hız farkı
$\alpha_{yMax}$	: İki doğrusal hareket arasında Y eksen motoru için izin verilen maksimum açısal hız farkı
$\alpha_{zMax}$	: İki doğrusal hareket arasında Z eksen motoru için izin verilen maksimum açısal hız farkı
$\alpha_{*Max}$	: İki doğrusal hareket arasında * eksen motoru için izin verilen maksimum açısal hız farkı
$C_x$	: X eksen motoruna bağlı aktarım organına ilişkin katsayı
$C_y$	: Y eksen motoruna bağlı aktarım organına ilişkin katsayı
$C_z$	: Z eksen motoruna bağlı aktarım organına ilişkin katsayı
$C_*$	: * eksen motoruna bağlı aktarım organına ilişkin katsayı

$V_{ex}$	: X eksenine ilişkin bulunan ilerleme hız değeri
$V_{ey}$	: Y eksenine ilişkin bulunan ilerleme hız değeri
$V_{ez}$	: Z eksenine ilişkin bulunan ilerleme hız değeri
$V_{e*}$	: * eksenine ilişkin bulunan ilerleme hız değeri
$V_e$	: İşleme alınan nihai ilerleme hız değeri
$j_1$	: Beş bölgeli jerk grafiğinin birinci bölgesi
$j_2$	: Beş bölgeli jerk grafiğinin ikinci bölgesi
$j_3$	: Beş bölgeli jerk grafiğinin üçüncü bölgesi
$j_4$	: Beş bölgeli jerk grafiğinin dördüncü bölgesi
$j_5$	: Beş bölgeli jerk grafiğinin beşinci bölgesi
$a_1$	: Beş bölgeli ivme grafiğinin birinci bölgesi
$a_2$	: Beş bölgeli ivme grafiğinin ikinci bölgesi
$a_3$	: Beş bölgeli ivme grafiğinin üçüncü bölgesi
$a_4$	: Beş bölgeli ivme grafiğinin dördüncü bölgesi
$a_5$	: Beş bölgeli ivme grafiğinin beşinci bölgesi
$f_1$	: Beş bölgeli hız grafiğinin birinci bölgesi
$f_2$	: Beş bölgeli hız grafiğinin ikinci bölgesi
$f_3$	: Beş bölgeli hız grafiğinin üçüncü bölgesi
$f_4$	: Beş bölgeli hız grafiğinin dördüncü bölgesi
$f_5$	: Beş bölgeli hız grafiğinin beşinci bölgesi
$J_m$	: Maksimum jerk değeri
$A_m$	: Maksimum ivme değeri (hızlanma)
$D_m$	: Maksimum ivme değeri (yavaşlama)
$V_{max}$	: Maksimum ilerleme hız değeri (mm/s)
$t_a$	: Hızlanma süresi
$t_c$	: Sabit hızlı ilerleme süresi
$t_d$	: Yavaşlama süresi
$V(k_i)$	: $k_i$ parametresine karşılık gelen ilerleme hız değeri
$L'(k_i)$	: Doğrusal hareket birinci türevi
$A(k_i)$	: $k_i$ parametresine karşılık gelen ivme değeri
$L''(k_i)$	: Doğrusal hareket ikinci türevi
$s_1$	: Beş bölgeli yer değiştirme grafiğinin birinci bölgesi
$s_2$	: Beş bölgeli yer değiştirme grafiğinin ikinci bölgesi
$s_3$	: Beş bölgeli yer değiştirme grafiğinin üçüncü bölgesi
$s_4$	: Beş bölgeli yer değiştirme grafiğinin dördüncü bölgesi
$s_5$	: Beş bölgeli yer değiştirme grafiğinin beşinci bölgesi
$\beta^{(r)}$	: Dairesel hareket komut geçiş kriterine ilişkin açı değeri
$V(\alpha_i)$	: $\alpha_i$ parametresine karşılık gelen ilerleme hız değeri
$R'(\alpha_i)$	: Dairesel hareket birinci türevi
$A(\alpha_i)$	: $\alpha_i$ parametresine karşılık gelen ivme değeri
$R''(\alpha_i)$	: Dairesel hareket ikinci türevi
$\kappa_i$	: Eğrilik değeri
$\rho_i$	: Eğrilik yarıçapı
$\delta_i$	: Kiriş hatası
$V_{u_i}$	: $u_i$ parametresine karşılık gelen ilerleme hız değeri
$\kappa_{min}$	: Eğrilik grafiğine ilişkin bögesel minimum noktaları
$\kappa_{max}$	: Eğrilik grafiğine ilişkin bögesel maksimum noktaları
$C'(u_i)$	: NURBS fonksiyonu birinci dereceden türevi

$A(u_i)$	: $u_i$ parametresine karşılık gelen ivme değeri
$C''(u_i)$	: NURBS fonksiyonu ikinci dereceden türevi
$C^{(m)}(u)$	: NURBS fonksiyonu m. dereceden türevi
$x_w$	: İş parçası kartezyen uzay x eksen koordinatı
$y_w$	: İş parçası kartezyen uzay y eksen koordinatı
$z_w$	: İş parçası kartezyen uzay z eksen koordinatı
$y_j$	: Eklem uzayı y eksen koordinatı
$z_j$	: Eklem uzayı z eksen koordinatı
$l_{tool}$	: İş mili pivot uzunluğu
$\theta_a$	: Eklem uzayı a eksen koordinatı
$\theta_c$	: Eklem uzayı c eksen koordinatı
$A_{in}$	: Kesici takım yönelim açı değeri (iç)
$A_{out}$	: Kesici takım yönelim açı değeri (dış)

## Kısaltmalar

ACC	: Acceleration (Hızlanma)
ADS	: Automation Device Specification (Otomasyon Cihaz Spesifikasyonu)
AUTO	: Automatic (Otomatik)
CAD	: Computer Aided Design (Bilgisayar Destekli Tasarım)
CAE	: Computer Aided Engineering (Bilgisayar Destekli Mühendislik)
CAM	: Computer Aided Manufacturing (Bilgisayar Destekli Üretim)
CFC	: Continuous Function Chart (Sürekli Fonksiyon Şeması Düzenleyicisi)
CNC	: Computer Numerical Control (Bilgisayarlı Sayısal Kontrol)
DCC	: Deceleration (Yavaşlama)
FBD	: Function Block Diagram (Fonksiyon Blok Diyagramı)
FCS	: Frame Check Sequence (Çerçeve Kontrol Dizisi)
FIR	: Finite Impulse Response (Sonlu Dürbü Yanıtı)
IL	: Instruction List (Talimat Listesi)
IO	: Input/Output (Giriş/Çıkış)
ISO	: International Organization for Standardization (Uluslararası Standardizasyon Kuruluşu)
LD	: Ladder Diagram (Merdiven Diyagramı)
MDI	: Manuel Data Input (Manuel Veri Girişi)
MSE	: Mean-Square Error (Ortalama Karesel Hata)
NC	: Numeric Control (Sayısal Kontrol)
NURBS	: Non-Uniform Rational B-Spline (Düzungün Olmayan Rasyonel B-Spline)
PDO	: Process Data Object (Proses Veri Nesnesi)
PLC	: Programmable Logic Controller (Programlanabilir Mantıksal Denetleyici)
POU	: Program Organization Units (Program Organizasyon Birimi)
REF	: Reference (Referans)
RMSE	: Root-Mean-Square Error (Ortalama Karekök Hatası)
RTCP	: Rotation Tool Center Point (İş Mili Merkez Noktası)
SDO	: Service Data Object (Servis Veri Nesnesi)
SFC	: Sequential Function Chart (Sıralı Fonksiyon Şeması)
ST	: Structured Text (Yapılardırılmış Metin)

## **TAKIM TEZGÂHLARI İÇİN SARSINTI VE İVME SINIRLANDIRMALI YÖRÜNGE PLANLAMA ALGORİTMASININ GELİŞTİRİLMESİ VE DOĞRULANMASI**

### **ÖZET**

Yapılan tez çalışmasında, metal, ahşap ya da diğer katı malzemelerin şekillendirildiği veya işlendiği talaşlı imalat sanayinin önemli bir parçası olan takım tezgâhları için sarsıntı ve ivme sınırlırmalı yörunge planlama algoritmaları temelinde kontrol ünitesi yazılımı geliştirilmiştir. Bilgisayar Destekli Sayısal Kontrollü (CNC) takım tezgâhları ISO standartlarına göre oluşturulan G ve M kodlarının yer aldığı Sayısal Kontrol (NC) dosyaları ile çalıştığı için, yapılan çalışmanın alt yapısı da G ve M kodları üzerine kurulmuştur. Bilgisayar tabanlı çalışan kontrol ünitesi yazılımı Visual Studio ortamında C# dili ile geliştirilmiştir. Geliştirilen yazılımda, önerilen yöntemlerle doğrusal, dairesel, helisel hareket komutlarına ilişkin yörunge planlama işlemleri yapılmakta ve G06.2 Düzgün Olmayan Rasyonel B-Spline (NURBS) komutları ile verilen düğüm vektörü, kontrol noktaları ve ağırlık vektörleri üzerinden NURBS eğrisel yörüngeleri oluşturulmaktadır. Ayrıca NURBS komutları bulunmayan NC dosyalar için, G05.1 komutuna ilişkin kenar yönetim algoritması uygulanarak kartezyen uzayda G01 nokta bulutu analizi yapılmaktadır. Kenar yönetimi kistaslarına giren G01 komutlarından oluşan nokta bulutlarının daha hassas yörüngelere dönüştürülmesinde kullanılmak üzere NURBS eğri uydurma fonksiyonlarının çıkartılmaktadır. Tüm yörüngenin yüksek hassasiyet ve yüksek hızda işlenmesi için özel kritik nokta analizi yapılmakta ve kritik noktalarda veya komut geçiş noktalarında olması gereken hız değerleri tespit edilmektedir. Çalışma kapsamında önerilen yöntemlerle, belirlenen hız değerlerine uygun, sabit jerkli ve jerk/ivme sınırlırmalı hız profilleri üretilek yüksek performansta titreşimsiz üretim işlemi gerçekleştirilmektedir.

Geliştirilen kontrol ünitesi farklı eksen konfigürasyonlarına sahip iki endüstriyel CNC-Freze tezgâhi üzerinde uygulanarak çalışmanın endüstriyel yeterliliği test edilmiştir. Yapılan ürün işleme uygulamalarında NC dosyalarının hatasız bir şekilde tezgâh yörüngelerine dönüştürüldüğü ve EtherCat protokolü üzerinden eksen motorlarına veri kaybı olmadan ulaştırıldığı gözlemlenmiştir. Ayrıca tüm uygulamalarda CNC-Freze tezgâhlarının hedeflendiği gibi titreşimsiz çalışması ve ürün çıktılarında yapılan ölçümlerde hataların mikron seviyelerde olması geliştirilen kontrol ünitesinin matematik ve yazılım alt yapısının güçlü ve kapsamlı olduğunu göstermiştir.

**Anahtar Kelimeler:** CNC Tezgâhi Kontrol Ünitesi, Eğri Uydurma, Jerk ve Ivme Sınırlırmalı Hız Profili, NURBS, Yörunge Planlama.

## **DEVELOPMENT AND VERIFICATION OF JERK / ACCELERATION LIMITED TRAJECTORY PLANNING ALGORITHM FOR MACHINE TOOLS**

### **ABSTRACT**

In this thesis, a Computer Numerical Control (CNC) software is developed on the basis of jerk and acceleration limited trajectory planning algorithms for machine tools that are handling metal, wood, or other rigid materials by cutting, milling, turning, or other forms of deformations. Since CNC machine tools work with Numerical Control (NC) files including G and M codes created according to ISO standards, the structure of the study is built on G and M codes. The PC-Based software of the control unit is developed in a Visual Studio environment with C# language. In the developed software, the trajectory planning process related to linear, circular, and helical motion commands of CNC-Milling Machines is achieved with the proposed methods, and Non-Uniform Rational B-Spline (NURBS) trajectories can be created using node vector, control points, and weight vectors given by G06.2 NURBS command. In the case of NC files that do not support G06.2 command, G01 point cloud analysis in cartesian space is applied by the edge management algorithm related to the G05.1 command. After that NURBS curve-fitting procedure is implemented to the point clouds of G01 commands in the edge management criteria to produce a smoother trajectory. In order to provide high-precision and high-speed machine operations, required velocity values at critical points or command transition points are determined, and a high-performance and vibration-free production process is provided by a constant jerk and jerk/acceleration limited velocity profiles based on the proposed algorithms.

The industrial adequacy of the CNC software developed in this study is verified by the experimental applications on two industrial CNC-Milling machines with different axis configurations. During the experimental applications, it has been observed that the NC files are converted into machine trajectories without error and transmitted to the axis motors via the EtherCat protocol without data loss. In addition, the vibration-free operation of CNC-Milling machines in all applications and the micron errors in the measurements on the product outputs show that the mathematical and software structure of the developed control unit is robust and comprehensive.

**Keywords:** CNC Machine Control Unit, Curve Fitting, Jerk and Acceleration Limited Velocity Profile, NURBS, Trajectory Planning.

## GİRİŞ

Takım tezgâhlarının çalıştırılmasının, durdurulmasının, takım değiştirilmesinin, eksen hareketlerinin ve buna benzer tezgâhın çalışması ile ilgili tüm işlemlerin bir kontrol ünitesi tarafından yönetildiği bilgisayar destekli sayısal kontrollü takım tezgâhları (CNC tezgâhları), otomotiv, mobilya, elektronik gibi pek çok sanayi dalında yaygın olarak kullanılmaktadır. Tezgâh operasyonlarının yüksek hassasiyete sahip olması, tezgâhın çalışma temposunun her zaman yüksek olması ve aynı hassasiyette parça üretimini mümkün kılmak, CNC tezgâhlarının imalat sanayinde yaygın kullanılmasının başlıca sebepleri arasında sıralanabilir. Belirtilen özelliklerin bir CNC tezgâhında bulunması tezgâhın kinematik ve dinamik yapılarının hedeflenen hareket kabiliyeti için yeterli olmasını ve kontrol ünitesinin yüksek performans göstermesini gerektirmektedir. Bu kapsamda bir CNC tezgâhı, tezgâhın mekanik yapısı ve kontrol ünitesi olmak üzere iki başlıkta değerlendirilebilir. CNC tezgâhlarının mekanik tasarımları ve üretimi tüm dünyada çok sayıda firma tarafından yüksek miktarlarda gerçekleşirken, CNC kontrol üniteleri uluslararası etkinliği olan sınırlı sayıda firma tarafından üretilmektedir. Bu nedenle hem endüstriyel hem de akademik yenilikçi ve özgün çalışmalar, daha çok CNC kontrol üniteleri üzerinde yoğunlaşmıştır.

CNC tezgâhları kullanım özelliklerine göre CNC-Freze, CNC-Torna, CNC-Taşlama, CNC-Kalıp İşleme vb. gruplara ayrılmaktadır. Tez çalışması kapsamında öncelik verilen alan pek çok sanayi alanında yaygın olarak kullanılan CNC-Freze tezgâhları olmuştur. Fakat geliştirilen kontrol ünitesinin diğer CNC tezgâhlarına da uygulanabilmesi, tezgâh yapılarına uygun temel değişikliklerin kontrol ünitesine tanımlanması ile mümkün olacaktır. Tezgahların eksen sayıları ve eksenler arası senkronizasyon farklılıklarını kontrol ünitesi tarafından değişikliğe ihtiyaç olan yerler olarak ifade edilebilmektedir. Bunun dışında genel kontrol alt yapısı tüm CNC tezgâhları için benzer yapıda kurulmaktadır.

Titreşimsiz, yüksek hız ve yüksek hassasiyetli tezgâh hareketlerinin sağlanması tüm endüstriyel CNC tezgâhlarının temel hedefidir. Bu üç temel hedefe ise doğru yörünge

planlaması, doğru kinematik ve dinamik analizlerin yapılması (motor kapasitelerine uygun ivme ve jerk değerlerinin tespit edilmesi), uygun hız ve ivme profillerinin belirlenmesi (optimize edilmiş hız ve ivme profili), bu profillere uygun yörünge interpolasyonunun yapılması ve bu yörüngelerin senkronize olarak eksen motorlarına gönderilmesi işlemlerinin sonucunda ulaşılmaktadır.

Bu hedefler doğrultusunda yapılan çalışmada, yüksek performans, yüksek hassasiyet ilkesi temelinde, günümüz endüstriyel haberleşme protokollerı arasında neredeyse en hızlı ve güvenli yapıya sahip EtherCat protokolünü kullanan, günümüz kontrol ünitelerinden farklı olarak Programlanabilir Mantıksal Denetleyici (PLC) veya hareket kontrolörü yerine bilgisayar tabanlı kontrol (PC Based Control) alt yapısının kurulduğu, doğrusal, dairesel, helisel ve Düzgün Olmayan Rasyonel B-Spline (NURBS) eğrisel yörüngelerinin sabit jerkli hız profilleri ile titresimsiz tezgâh hareketlerini garanti eden özgün yüzey işleme algoritmalar ile oluşturulduğu, sahadan alınan bilgiler doğrultusunda veya özel isterlere göre operatör panelinin ve kullanıcı arayüzüünün değiştirilebildiği, matematik altyapısı ve yazılımı güçlü, güncel ve geleneksel makine teorisine sahip bir CNC kontrol ünitesi geliştirilmiştir. Bu yenilikçi yönlerinin yanında temelde bir CNC tezgâhından beklenen doğrusal, dairesel, helisel, spiral, eğrisel hareketleri gerçekleştiren, ISO (International Organization for Standardization) standartlarına uygun yazılan G kodlarını ve yardımcı M kodlarını tanıyan, dokunmatik ekran ve diğer kontrol donanımlarından oluşan arayüz üzerinden, makine sıfırı, parça sıfırı, eksen tanımlama, parametre girme gibi tezgâh ayarlarının ve program yazma-değiştirme, spindle aç-kapat gibi tezgâh operatörünün manuel kullanımına yönelik tüm işlemlerin yapma kabiliyeti olan endüstriyel uygulamalara uygun bir çalışma yapılmıştır.

Kontrol üniteleri önemli derecede modern bilimsel çalışmalarında kullanılan mekanik, elektronik ve yazılımsal alt yapı gerektirmektedir. Güncel bilimsel çalışmaların yakından takip edilmesi, yeni geliştirilen yöntem ve teknolojilerin doğrudan uygulanabilmelerine imkân veren bir tez çalışması olması amaçlanmıştır. Böylelikle hem akademik anlamda güncel literatürün takip edilmesi ve literatüre katkı sağlayacak çözümler üretilebilmesi, hem de ülkemizde hizmet veren firmalara katkı sağlayarak CNC ithalatını azaltacak yerli üretim olması yönlerinden faydalı bir çalışma olduğu

düşünülmektedir. Bu tezde yapılan çalışmalar genel olarak altı ana başlık altında incelenmiştir.

Tez çalışmasının birinci bölümünde, CNC tezgâhlarının yapısı hakkında genel bilgiler verilmiş ve CNC kontrol ünitelerine yönelik literatürde yapılan çalışmalar alt başlıklar altında incelenmiştir.

İkinci bölümde, CNC-Freze tezgâhlarında hareket komutlarına ilişkin G-kod fonksiyonları çıkartılmış ve tez çalışması kapsamında geliştirilen yörunge planlama algoritmaları hakkında bilgiler verilmiştir.

Üçüncü bölümde, G-kod dosyası temelinde çıkarılan yörüngelerin, CNC tezgâhında titreşimsiz ve yüksek hassasiyette işlenebilmesi için geliştirilen hız planlama ve yörunge interpolasyon algoritmalarına yer verilmiştir.

Dördüncü bölümde, geliştirilen operatör paneli, operatör panel arayüzü ve CNC kontrol ünitesi yazılımı hakkında detaylı anlatım yapılmıştır.

Beşinci bölümde, deney setlerinde ve endüstriyel CNC-Freze tezgâhlarında yapılan deneysel çalışmalara ilişkin sonuçlar verilmiştir.

Altıncı bölümde ise bu tez çalışması kapsamında elde edilen tüm sonuçlar özet şeklinde anlatılarak genel bir sonuç elde edilmiştir. Ayrıca ilerde yapılabilecek iyileştirmeler ve bu konu ile ilgili yapılabilecek çalışmalar hakkında fikirler sunulmuştur.

## **1. GENEL BİLGİLER**

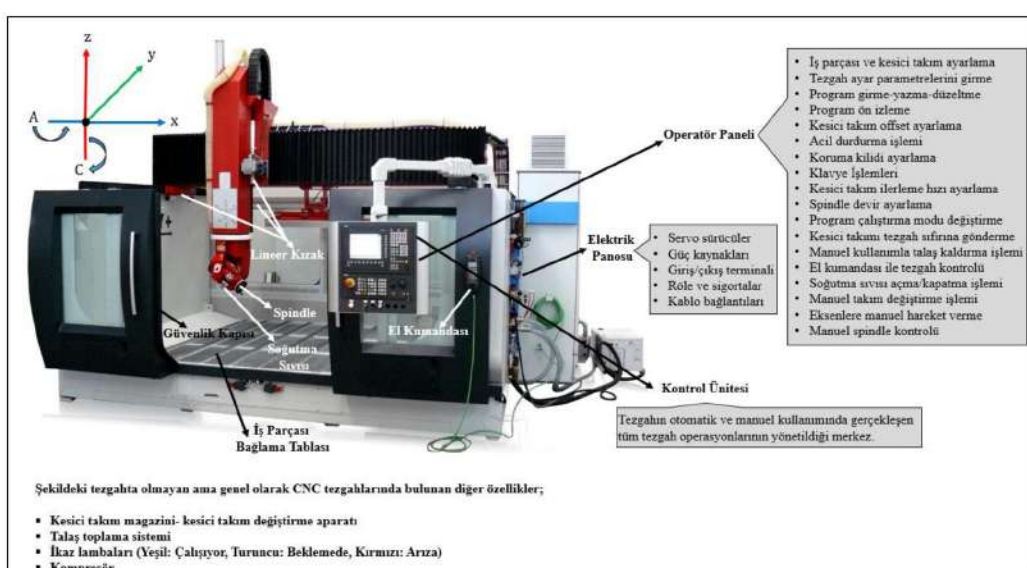
Kesici takımların, bir bilgisayar aracılığıyla otomatik olarak kontrol edilerek şekil verilecek iş parçasının üzerinde operasyonda bulunduğu talaşlı imalat işlemi, II. Dünya savaşının sonrasında ABD hava kuvvetlerinin ihtiyacı olan karmaşık uçak parçalarının üretimi için ortaya çıkmış ve Nümerik Kontrol (NC) ismini almıştır. Bu alanda kullanılan makinalar da NC tezgâhlar olarak sınıflandırılmıştır. 1952 yılında ilk olarak bir CINCINNATTI-HYDROTEL freze tezgâhını Nümerik Kontrol ile teçhiz ederek bu alandaki ilk başarılı çalışmayı gerçekleştirmiştir. Yapılan çalışmalar sonrasında NC makinelerin kullanımı yaygınlaşmaya başlayarak torna, freze, matkap, taşlama vb. takım tezgâhlarında yaygın olarak kullanılmaya başlanmıştır. Bütün NC takım tezgâhlarının kendilerine özgü kapasite, operasyon yetenekleri ve bir takım karakteristik özellikler vardır. NC takım tezgâhlarında hafıza bulunmadığından bu tür tezgâhlarda blok verileri sıra ile okunarak işleme konulmaktadır. Bu nedenle bir iş parçasının imalatı esnasında tezgâhın kontrol ünitesi (Machine Control Unit) bir bloktaki bütün verileri okuyarak tezgâhta gereken işlem operasyonları yerine getirilmekte ve operasyonlar tamamlandıktan sonra bir sonraki adıma geçilmektedir. Bu işlem sırasıyla program sonuna kadar devam ettiği için uzun bir üretim süreci ortaya çıkmaktaydı.

Elektronik gelişmeler sonrasında NC makinelerin yerini daha kapsamlı üretime imkân veren CNC tezgâhları almaya başlamıştır. CNC tezgâhlarında temel düşüncenin takım tezgâhlarının sayı, harf vb. sembollerden meydana gelen ve belirli bir mantığa göre kodlanmış komutlar yardımıyla işletilmesi ve tezgâh kontrol ünitesi tarafından yönlendirilmesi olarak ifade edilebilmektedir. CNC kontrol ünitesi programların muhafaza edilebilmelerinin yanında parça üretime her aşamasında programı durdurma, programda gerekli olabilecek değişiklikleri yapabilme, programa kalınan yerden tekrar devam edebilmesini sağlamaktadır. CNC kontrol ünitesinde bilgisayar kullanımı sonucu diğer pek çok bilgisayar ve sistemleriyle iletişim kurabilme avantajına sahiptir. Ayrıca parça imalatına geçilmeden önce görüntü ünitesi yardımıyla grafik olarak ürün program çıktısı

görülebilmekte ve kesici aletlerin değiştirilmeleri herhangi bir manuel müdahale olmaksızın yapılabilmektedir. “CNC” kavramı bir tezgâhın üretim işlemlerinin bir kontrol birimi tarafından otomatik yapıldığını ifade etmektedir. Bu nedenle Şekil 1.1’de görüldüğü gibi tezgâh türüne göre CNC-Freze, CNC-Torna, CNC-Kalıp İşleme, CNC-Lazer vb. grplara ayrılmaktadır.

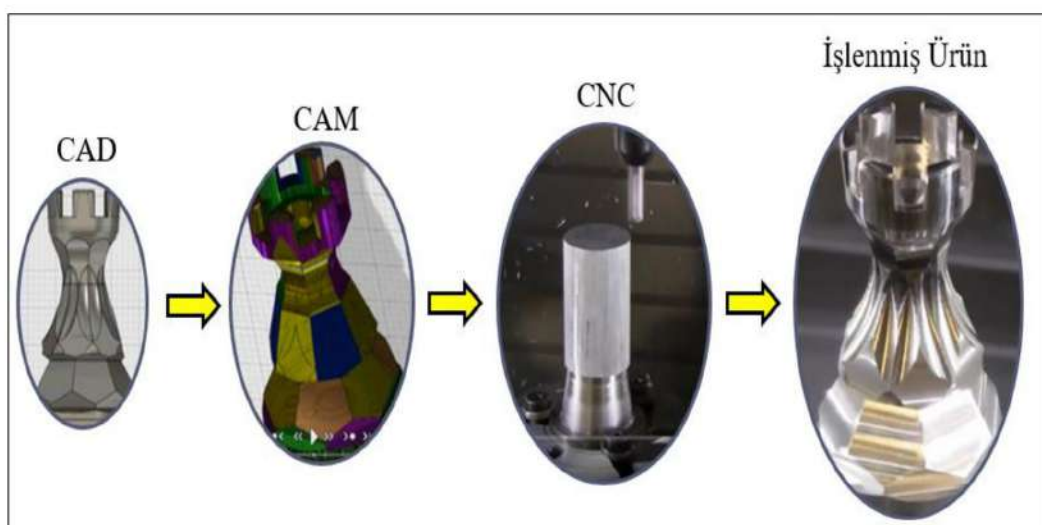


Şekil 1.1. (a) CNC-Freze (b) CNC-Torna (c) CNC- Kalıp (d) CNC-Lazer



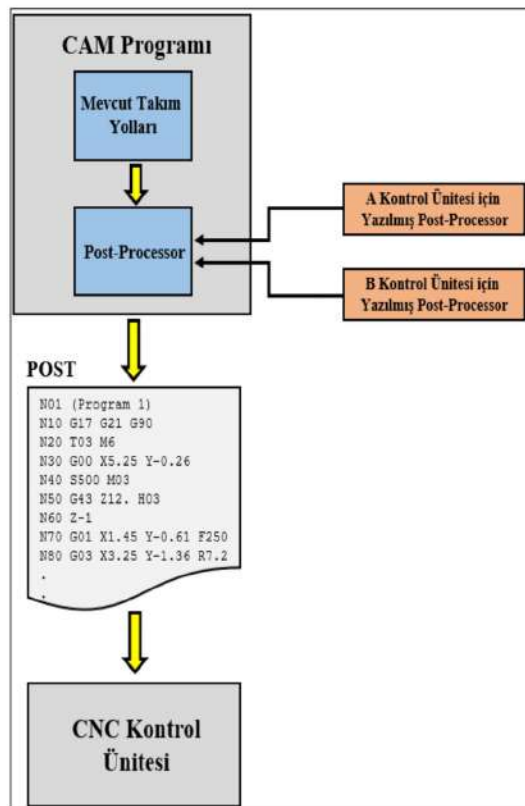
Şekil 1.2. CNC-Freze tezgâhı genel yapısı

Bu çalışmada öncelik verilen alan pek çok sanayi alanında yaygın olarak kullanılan CNC-Freze tezgâhları olduğu için, bir CNC tezgâhlarının genel yapısı, Şekil 1.2'de yer alan 5 eksen CNC-Freze tezgâhı üzerinde gösterilmiştir. CNC tezgâhları farklı gruplara ayrılsa da temel kontrol yapıları benzerlik göstermektedir. Bir CNC tezgâhının kontrolü, ISO standartlarına uygun yazılan G kodları ve yardımcı M kodları temelinde gerçekleşmektedir. G-Kodları CNC tezgâhlarının temel hareket planlamasına ilişkin noktasal bilgileri içermektedir. G Kodları, genellikle Bilgisayar Destekli Tasarım (CAD) ortamında tasarlanan bir ürününün CAM (Computer Aided Manufacturing) programlarında sanal işleme sonucunda text dosyası olarak alınan, CNC tezgâhlarının çalışma davranışlarını içeren bir programlama dilidir. M-Kod olarak tanımlanan yardımcı CNC kodları ile birlikte CNC tezgâhının kontrol ünitesine yüklenmektedir. Yüklenen bu dosya tezgâhın tüm üretim/işleme sürecini yönetmektedir. CAD programında tasarlanan bir ürüne ait ürün işlemde adımları Şekil 1.3'te gösterilmiştir.



Şekil 1.3. CNC tezgâhında ürün işleme adımları

G Kodlarının belli standartlara göre yazılması o kodların her CNC tezgâhında doğrudan uyarlanacağı anlamına gelmemektedir. Bu durumun nedenleri arasında her tezgâhın kendine özgü eksen takımının olması, komut isterlerinin kontrol ünite markalarına göre farklılık gösterebilmesi veya otomatik kesici takım değiştirme gibi yardımcı özelliklerinin olması gösterilebilir. Bu farklılıkların önüne geçmek için ise Şekil 1.4'te görüldüğü gibi Post-İşleyici (Post-Processor) yöntemi geliştirilmiştir. G kodu ile yazılmış bir program dosyası Post olarak ifade edilmektedir.



Şekil 1.4. Post-Processor yapısı

Post-İşleyici bir G-Kod dosyasının CNC kontrol ünitesinin anlayacağı formata çevirme görevini üstlenmektedir. Örneğin, G-Kod standartlarına göre dairesel hareketlerin tanımlanmasında iki yöntem kullanılır. Tezgâh kontrol ünitesinin isteği doğrultusunda dairesel hareketler ya radyus yarıçap (R) bilgisi ile ya da radyus merkez bilgileri (I, J, K) ile belirtilir. Bu seçim işlemini düzenleyen birim Post- İşleyicidir. Bedenenle G-kod dosyası oluşturulmadan önce CAM programlarında ya da harici post-işleyici programlarında CNC tezgâh konfigürasyonuna ve kontrol ünitesi özelliğine uygun post işleme yapılması gereklidir. Her kontrol ünitesinin G-kod işleme kapasitesi farklı olsa da endüstriyel CNC-Freze tezgâhlarında yaygın olarak kullanılan G ve M kodları Tablo 1.1 ve 1.2'de verilmiştir. Temelde G-kodları, hareket komutları, düzlem seçim komutları, hazır çevrim komutları, ilerleme seçim komutları ve kesici takım boy-çap telafi komutları olarak sınıflandırılabilir. Bu sınıflar arasında tezgâhın doğrudan çalışma performansına etki eden en önemli G-kodları ise hareket komutlarıdır. Bu hareket komutlarının analiz ve interpolasyon becerisi, tezgâhın doğru üretim yapmasına, titreşimsiz çalışmasına, ürün işleme hızına, enerji tüketimine, tekrarlanabilir çalışmasına ve kesici takımın ve iş milinin çalışma ömrüne doğrudan

etki etmektedir. Bu nedenle bir CNC tezgâhının yüksek performansta çalışabilmesi kontrol ünitesinin yazılım kalitesine bağlıdır.

Tablo 1.1. CNC-Freze tezgâhı G-kodları

G-KOD	AÇIKLAMA	G-KOD	AÇIKLAMA
<b>G0</b>	Boşta Hızlı İlerleme	<b>G67</b>	Kullanıcı Programı Çağırma İptali
<b>G1</b>	Doğrusal Kesme Hızıyla İlerleme	<b>G73</b>	Derin Delik Delme Çevrimi - Gagalayarak
<b>G2</b>	Saat Yönünde Dairesel Hareket	<b>G74</b>	Ters Diş Çekme Çevrimi
<b>G3</b>	Saat Yönüünün Tersinde Dairesel Hareket	<b>G76</b>	Delikte Çap İşleme ( Büyüütme ) Çevrimi
<b>G4</b>	Bekleme Zamanı	<b>G80</b>	Çevrim İptali
<b>G10</b>	Programlanabilir Bilgi Girişi Ve Değiştirme	<b>G81</b>	Punta Açma Ve Delik Delme Çevrimi
<b>G17</b>	X-Y Çalışma Yüzeyi Seçimi	<b>G82</b>	Delik Delme Çevrimi
<b>G18</b>	X-Z Çalışma Yüzeyi Seçimi	<b>G83</b>	Derin Delik Delme Çevrimi - Gagalayarak
<b>G19</b>	Y-Z Çalışma Yüzeyi Seçimi	<b>G84</b>	Diş Çekme Çevrimi
<b>G20</b>	İnç Ölçü Sistemi	<b>G84.2</b>	Sabit Diş Çekme Çevrimi
<b>G21</b>	Metrik Ölçü Sistemi	<b>G84.3</b>	Sabit Ters Diş Çekme Çevrimi
<b>G28</b>	Referans Noktasına Dönüş	<b>G85</b>	Çap İşleme Çevrimi
<b>G30</b>	2. Referans Noktasına Dönüş	<b>G86</b>	Çap İşleme Çevrimi
<b>G31</b>	Atlama Fonksiyonu	<b>G87</b>	Tersten Çap İşleme Çevrimi
<b>G40</b>	Takım Çapı ( D ) Kompanzasyonu İptali	<b>G88</b>	Çap İşleme Çevrimi
<b>G41</b>	Takım Çapı ( D ) Kompanzasyonu Sol	<b>G89</b>	Çap İşleme Çevrimi
<b>G42</b>	Takım Çapı ( D ) Kompanzasyonu Sağ	<b>G90</b>	Mutlak Ölçüm
<b>G43</b>	Takım Boyu Kompanzasyonu + Yönde	<b>G91</b>	Artımsal Ölçüm
<b>G44</b>	Takım Boyu Kompanzasyonu - Yönde	<b>G92</b>	İş Parçası Koordinatını Kaydırma
<b>G49</b>	Takım Boyu Kompanzasyonu İptali	<b>G94</b>	İllerleme Milimetre / Dakika
<b>G52</b>	İş Parçası Koordinatını Değiştirme Ve İptali	<b>G95</b>	İllerleme Milimetre / Devir
<b>G54-G59</b>	İş Parçası Koordinat Sistemi Tanımlama	<b>G98</b>	Çevrimde Başlangıç – Bitiş Emniyet Noktası
<b>G65</b>	Kullanıcı Programı Komutu	<b>G99</b>	Çevrimde Başlangıç – Bitiş Tanımlanan Nokta
<b>G66</b>	Kullanıcı Programı Çağırma		

Üretim anındaki hareket kontrol işlemlerinin iyi yönetilmesinin yanında, makine sıfırı, parça sıfırı, eksen tanımlama, parametre girme gibi tezgâh ayarlarının ve program yazma-değiştirme, spindle aç-kapat gibi tezgâh operatörünün kullanımına yönelik tüm işlemlerin yürütüleceği dokunmatik ekran ve gerekli diğer kontrol donanımlarından oluşan bir operatör paneline de ihtiyaç vardır.

Tablo 1.2. CNC-Freze tezgâhı M-kodları

M KOD	AÇIKLAMA	M KOD	AÇIKLAMA
<b>M0</b>	Program Durdurma	<b>M30</b>	Program Sonu
<b>M1</b>	İsteğe Bağlı Program Durdurma	<b>M40</b>	4. Eksen Kapat
<b>M2</b>	Program Sonu	<b>M41</b>	4. Eksen Açı
<b>M3</b>	İş Mili Saat Yönü Döndür	<b>M45</b>	Talaş Konveyörünü Açı
<b>M4</b>	İş Mili Saat Yönü Tersi Döndür	<b>M46</b>	Talaş Konveyörünü Kapat
<b>M5</b>	İş Mili Stop	<b>M61</b>	X Eksen Karşı Ayna Görüntüsü Kapalı
<b>M6</b>	Otomatik Takım Değiştirme	<b>M62</b>	Y Eksen Karşı Ayna Görüntüsü Kapalı
<b>M7</b>	Takım İçi Su Verme	<b>M64</b>	4. Eksen Karşı Ayna Görüntüsü Kapalı
<b>M8</b>	Soğutma Suyunu Açı	<b>M71</b>	X Eksen Karşı Ayna Görüntüsü Açık
<b>M9</b>	Soğutma Suyunu Kapat	<b>M72</b>	Y Eksen Karşı Ayna Görüntüsü Açık
<b>M13</b>	M3+M8	<b>M74</b>	4. Eksen Karşı Ayna Görüntüsü Açık
<b>M14</b>	M4+M8	<b>M98</b>	Alt Program Çağırma
<b>M19</b>	İş Mili Pozisyonlu Durdur	<b>M99</b>	Alt Program Sonu
<b>M29</b>	Kılavuz Çekme		



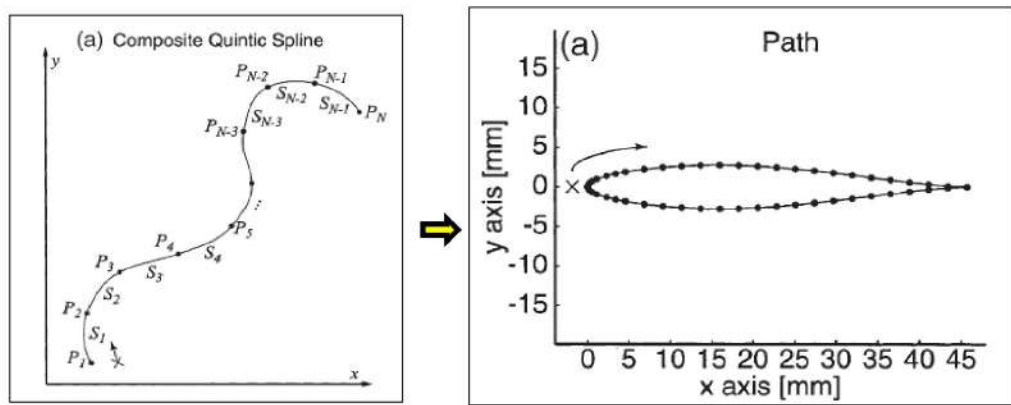
Şekil 1.5. Operatör panelleri (a) Mazak SmoothX (b) Fanuc (c) Haas (d) Siemens 828D (e) Mitsubishi M70

Operatör panel tasarımı ve panel üzerindeki arayüz yazılımının kalitesi de CNC kontrol üniteleri için önemli olan diğer önemli unsurdur. Endüstriyel kontrol ünitesi alanında hizmet veren önemli firmalar da operatör paneli tasarımasına ve yazılımına çok önem vermektedirler. Çünkü operatör tarafından sıkılıkla kullanılan bu panelin hem kullanıcı dostu, hem pratik hem de anlaşılır olması ürün tercihlerinde önemli rol oynamaktadır. CNC kontrol ünitesi olarak ülkemizde tercih edilen önemli firmalara ait güncel operatör panelleri Şekil 1.5'te verilmiştir. CNC tezgâhları endüstriyel üretim alanında büyük öneme sahip oldukları için, CNC tezgâhlarının performansını ve ürün işleme kabiliyetlerini artırmaya yönelik önemli akademik çalışmalar bulunmaktadır. Literatürdeki çalışmalar eğri uydurma (curve fitting), köşe yumusatma (corner smoothing), kesici takım ilerleme hız planlaması (feedrate scheduling) ve interpolasyon algoritmaları (interpolation methods) olmak üzere temelde dört bölümde incelenmiştir. Bunlara ek olarak farklı kinematik konfigürasyon çözümlerine ve özellikle 4 / 5 eksen CNC-Freze tezgahlarına yönelik yörunge planlama algoritmalarına ilişkin yapılan çalışmalar da literatürdeki diğer önemli ve güncel çalışmalar arasında bulunmaktadır.

### **1.1. CNC Tezgâhlarında Eğri Uydurma Yöntemleri**

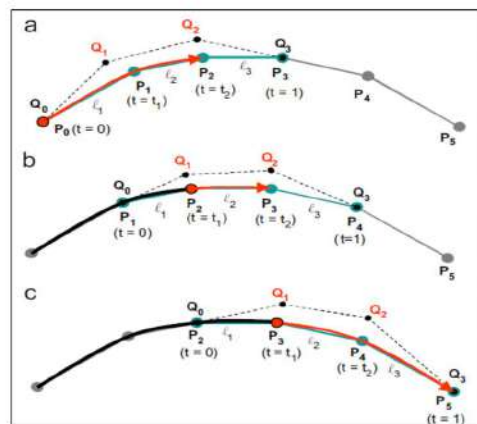
Genel anlamda bir ürün işlemesinde en çok karşılaşılan G-komutları G01 (doğrusal hareket) ve G02/G03 (dairesel hareket) komutlarıdır [1]. Literatürde, doğrusal hareketler temelinde titresimsiz tezgâh hareketleri ile pürüzsüz ürün işlenmesine yönelik çok sayıda güncel çalışma bulunmaktadır. Bu çalışmaların ortak hedefi ise CNC tezgâhlarını maksimum hız ve maksimum hassasiyet ile kontrol etmektir. Hız ve hassasiyet kavramları birbirine göre ters orantılı oldukları için bu iki durum arasında optimum değerlerin elde edilmesine yönelik yeni yöntemler geliştirilmektedir. Fakat doğrusal hareketler kadar önemli olan bir diğer hareket tipi ise dairesel hareketlerdir. Çünkü neredeyse tüm ürün çıktılarının hatlarında bir yumuşaklıık vardır. Bu yumuşak geçişler ise çoğu zaman dairesel hareketlerle sağlanır. CAM programlarında dairesel hareket seçeneği kapatılarak dairesel hareketler G01 komutları ile mikro boylardaki doğrusal hareketler üzerinden tezgâhta işlenebilmektedir. Bu yöntemde tezgâhın tüm üretim sürecinde G01 komutları kullanıldığı için kontrol kolaylığı ortaya çıkmaktadır. Bu nedenle akademik çalışmalarda sıkılıkla tercih edilen bir yöntem olmuştur. Mikro boylardaki doğrusal hareketler, yapılan çalışmalarda nokta bulutu olarak kullanılmakta

ve bu nokta bulutları özel eğri uydurma (curve fitting) yöntemleri ile hassas yörüngelere dönüştürülerek CNC tezgâhının üretim süreci kontrol edilmektedir [2-3]. Erkorkmaz ve Altintas [4] G-kod dosyasında verilen G01 noktalarını kompozit quintic-spline eğri uydurma yöntemi ile hassas yörüngelere dönüştürerek CNC tezgâh üzerindeki eksen motorlarının hız, ivme ve jerk kapasitelerini aşmayan kontrol işlemi yapmışlardır. Şekil 1.6-a'da yer alan kompozit quintic-spline eğri uydurma yöntemi ile Şekil 1.6-b'de görülen nokta bulutları hassas bir yörungeye dönüştürülerek tezgâh üzerinde işlenmiştir.



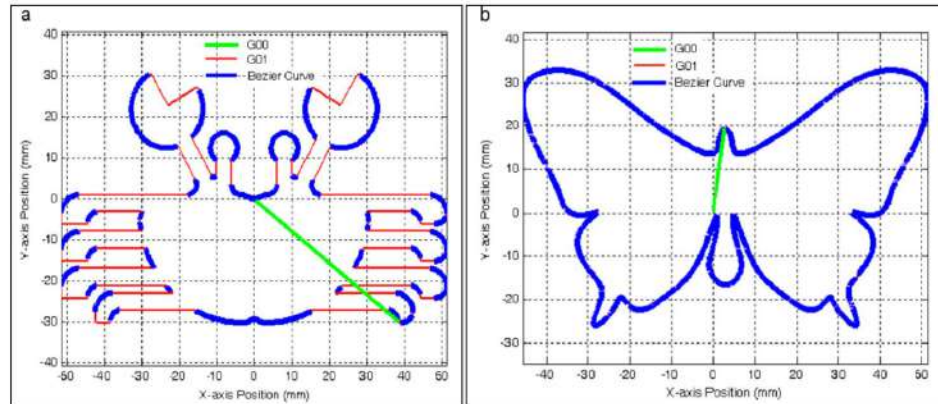
Şekil 1.6. (a) Quintic spline fonksiyonu ile eğri uydurma yöntemi (b) quintic-spline eğrisi [4]

Yau ve Wang [5] Bezier eğrisi fonksiyonlarını kullanarak iki boyutlu uzaydaki (X-Y) nokta bulutlarını hassas yörüngelere dönüştürmüştür. Bezier eğrileri Şekil 1.7'de görülen kontrol noktalarını ( $Q_0, Q_1, Q_2$ ) kullanarak istenilen veri noktalarından ( $P_0, P_1, P_2$ ) geçen eğrilerin oluşturulması için kullanılmıştır.



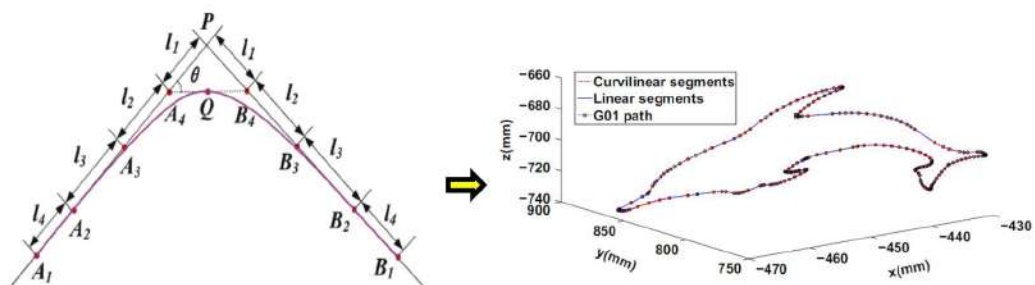
Şekil 1.7. Bezier fonksiyonu ile eğri uydurma [5]

Yapılan çalışmada kelebek ve yengeç yörüngeler Bezier eğrileri ile Şekil 1.8'de görüldüğü gibi elde edilmiş ve küçük çevrim ve yörünge hatasıyla CNC tezgâhı tarafından işlenmesi sağlanmıştır.



Şekil 1.8. Yengeç ve kelebek formlarının Bezier eğrisi ile çıkarılması [5]

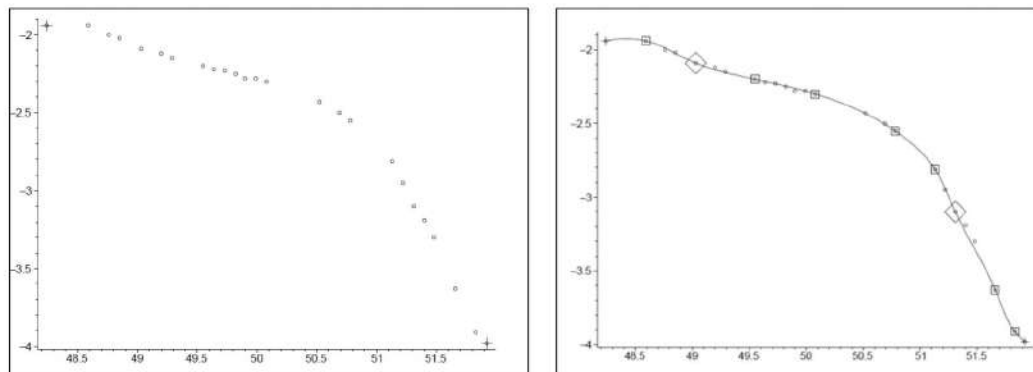
Bezier fonksiyonları kullanılan bir diğer çalışmada ise Fan ve diğerleri [6] G01 komutlarından oluşan nokta bulutlarını kabul edilebilir kontur hatasıyla dörtlü Bezier segmentlerinden oluşan G3 interpolatif takım yollarına dönüştüren gerçek zamanlı takım yolu yumusatma algoritması önermişler ve CNC tezgâhı üzerinde başarılı hassas yüzey işleme uygulamaları gerçekleştirmiştir. Kartzyen uzaydaki (X-Y-Z) G01 nokta bulutlarını önerdikleri dörtlü Bezier segment yöntemi ile nasıl hassas yörüngeye dönüştürdükleri Şekil 1.9'da gösterilmiştir.



Şekil 1.9. Dörtlü Bezier segmentlerinin G3 interpolatif takım yollarına dönüştürülmesi [6]

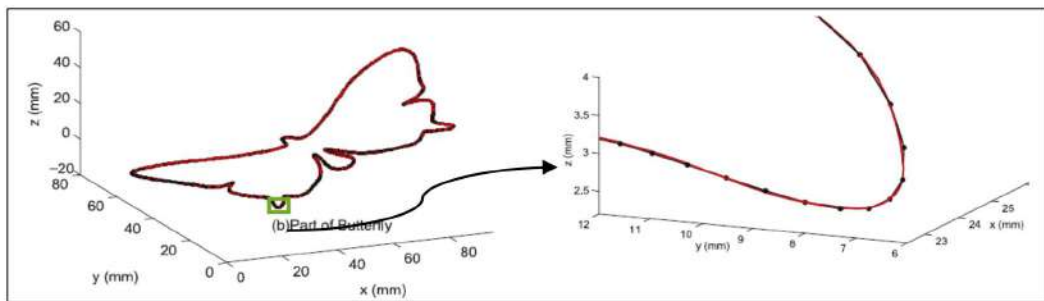
Akilan ve Jingyan [7] daha yüksek seviyeli dinamik durumlara sahip problemler için optimal bir minimum zaman yörüngeyi sağlayabilen sezgisel bir yörünge planlama algoritması önermişlerdir. Çalışmalarında, yörüngeyi takım yolu boyunca nokta nokta optimize etmek yerine, yüksek sıralı sürekliliğe sahip parçalı eğri interpolasyonu ile

konum-hız faz düzlemindeki bir dizi düğüm noktalarını kullanarak oluşturmuşlardır. Literatürdeki en gelişmiş eğri uydurma yöntemlerinden olan B-Spline ve NURBS eğrileri üzerine de önemli çalışmalar yapılmıştır. Mei ve diğerleri [8] kuadratik B-spline eğrisini kullanarak eğrinin istenilen noktalardan geçmesi için B-spline eğrisi üzerinde eğri uydurma algoritması geliştirerek CNC üzerinde uygulamışlardır. Bu çalışmanın önemli katkılardan birisi de nokta bulutlarının tam üzerinden geçen bir yörunge yerine, sınırlı kontur hatası ile nokta bulutunu takip eden bir yörunge kullanılması olmuştur. Şekil 1.10-a'da yer alan nokta bulutu, Şekil 1.10-b'de görüldüğü gibi verilen noktaların tam üzerinden geçmeyen B-spline eğrisine dönüştürülmüştür.



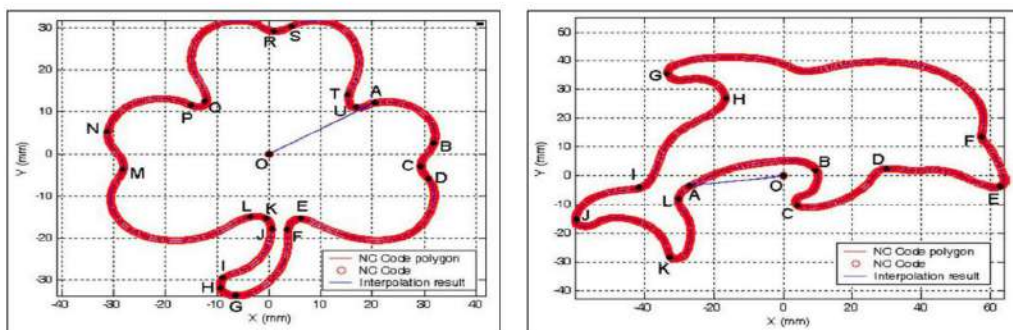
Şekil 1.10. (a) Nokta bulutu (b) Kuadratik B-spline fonksiyonu ile eğri uydurma işlemi [8]

Sneha T. ve Yusuf A. [9] çoklu doğrusal parçaları beşinci dereceden B-spline (quintic B-spline) eğrilerine dönüştürerek kartezyen uzayda belirlenen tolerans limitinde kontur hatası ile C3 sürekliliğinde yörüngeler elde etmişler ve gerçek zamanlı kontrol uygulaması ile çalışmalarını test etmişlerdir. Lin ve diğerleri [10] CNC tezgâhlarında titreşimsiz ve hassas ürün işlemesi yapmak için bir doğru parçası ile bir eğri parçası arasındaki Hausdorff mesafesini kullanarak G01 çoklu doğrusal parçalar için bir kübik B-spline temelli bir eğri uydurma algoritması geliştirmişler ve geleneksel iki aşamalı model yerine, hata kısıtlamaları ve dinamik kısıtlamalara sahip birleşik bir yörunge planlama modeli önermişlerdir. Önerdikleri yöntemin doğrulanmasında Şekil 1.11'de yer alan kelebek figürünü kullanarak hassas yörunge planlaması yaptıklarını ispat etmişlerdir.

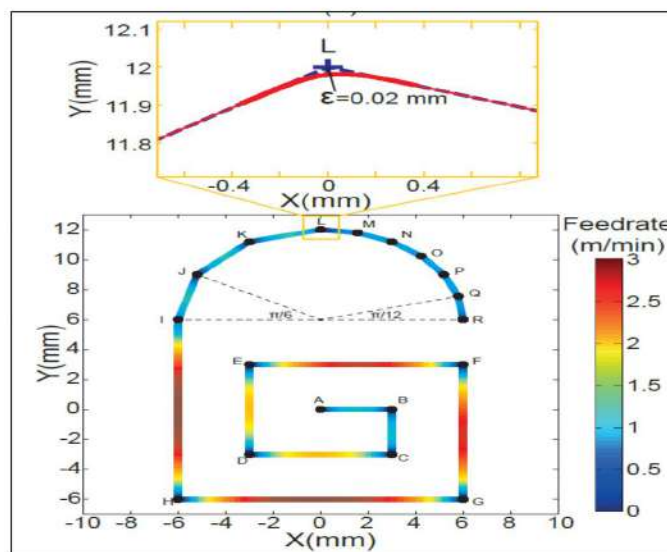


Şekil 1.11. Kelebek figürünün beşinci dereceden B-spline eğrisine dönüştürülmesi [10]

Yau ve Wang [11] diğer bir çalışmalarında CAM programından aldıkları G-kod dosyasındaki nokta bulutlarını, X-Y uzayında NURBS eğrilerine dönüştürerek CNC tezgâhı üzerinde Şekil 1.12'de yer alan nokta bulutlarını kullanarak gerçek zamanlı hassas ürün işlemesi yapmışlardır.



Şekil 1.12. Nokta bulutlarının NURBS eğrilerine dönüştürülmesi [11]

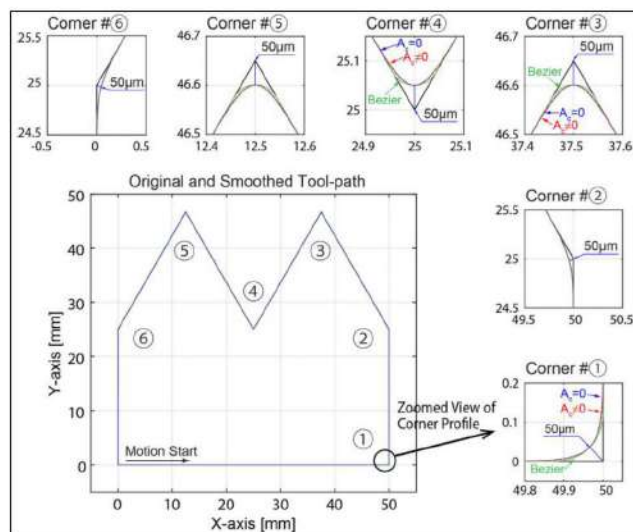


Şekil 1.13. Nokta bulutlarının kontur hatası sınırlaması altında NURBS eğrisine dönüştürülmesi [12]

NURBS eğri uydurma yöntemlerine ilişkin bir diğer çalışmada, Beudaert ve diğerleri [12] CAM programında dairesel hareket seçeneğini kapatarak dairesel ve doğrusal hareketleri mikro boylardaki G01 komutları ile tanımlamışlar ve bu G01 noktalarını kullanarak sınırlı kontur hatası ( $\epsilon$ ) ile Şekil 1.13'te görüldüğü gibi hassas NURBS eğrisel yörüngelere dönüştürmüştürlerdir.

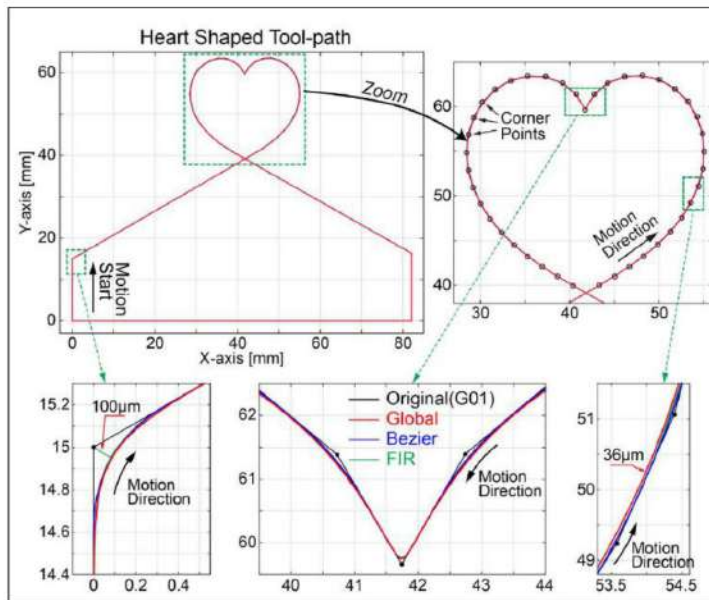
## 1.2. CNC Tezgâhlarında Köşe Yumuşatma Yöntemleri

Eğri uydurma yöntemi kadar önemli olan bir diğer çalışma alanı ise CNC tezgâhlarında işlenecek yörüngelere köşe yumusatma yöntemlerinin uygulanması olmuştur. Bu alandaki çalışmalarında, CNC tezgâhlarının her G komut satırı arasında dur/kalk yapmasını önlemek için yörüngelerde keskin geçişler yumuşak geçişlere dönüştürülecek şekilde tezgâh hareketlerinde süreklilik sağlanmaya çalışılmıştır. Yan ve diğerleri [13] yaptıkları çalışmada beş eksenli doğrusal segmentlerin köşelerini düzeltmek ve G2 sürekliliği ile pürüzsüz takım yolunu oluşturmak için çift kübik NURBS (Non-Uniform Rational B-Spline) eğrisi temelli yörunge planlama algoritması geliştirmiştirlerdir. Tajima ve Sencer [14] dur/kalk yapmadan yüksek hızda tezgâh operasyonları gerçekleştirmek için köşe yumusatma algoritması önermişlerdir. Çalışmalarında Şekil 1.14'te yer alan yörunge üzerinden köşe noktalardaki sert geçişlerin nasıl yumuşak geçişlere dönüştürüldüğünü göstermişlerdir.



Şekil 1.14. Köşe yumusatması ile sert geçişlerin düzenlenmesi [14]

Tajima ve Sencer aynı alandaki diğer bir çalışmalarında [15] G01 noktalarından oluşan ana yörunge üzerinde hem global yörunge yumusatma işlemi hem de köşe yumusatma işlemi yapan algoritma önermişler ve gerçek zamanlı deneyel sonuçları Şekil 1.15'te yer aldığı gibi Sonlu Dörtü Yanıtı (FIR) ve Bezier eğri uydurma yöntemleri ile karşılaştırmışlar ve bu yöntemlere göre başarılı sonuçlar almışlardır.



Şekil 1.15. Global yörunge ve köşe yumusatma işlem sonuçları [15]

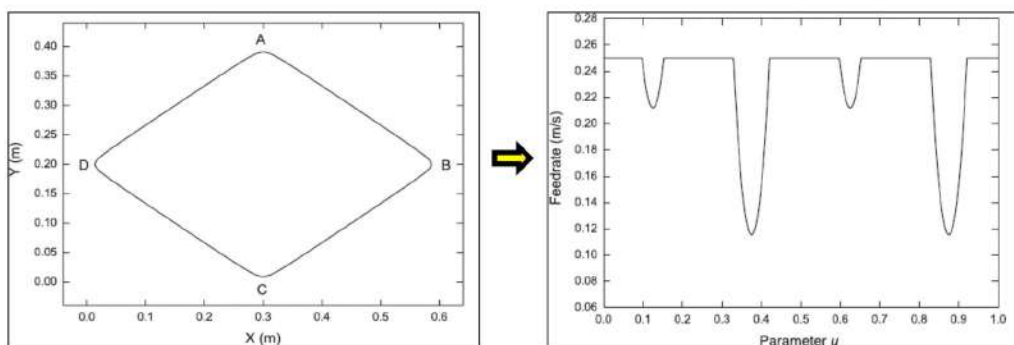
Han ve diğerleri [16] G01 komut geçişlerinde tezgâh operasyonlarında  $C^2$  sürekliliğini sağlamak için bölgesel köşe yumusatma yöntemi geliştirerek endüstriyel CNC tezgâhlarının kontrolüne katkı sağlayacak bir çalışma yapmışlardır. Literatürde bu alandaki çalışmalardan farklı olarak Zhang ve diğerleri [17] tezgâh kinematik sınırlandırması altında tezgâhın dinamik davranışlarını da dikkate alarak komut geçişleri arasındaki hareketleri yumusatmaya yönelik bir çalışma yapmışlar ve CNC tezgâhlarında yörunge planlaması üzerine önemli bir katkı sağlamışlardır. Ayrıca tezgâh kinematik yapısının ön planda olduğu diğer bir çalışmada, Tajima ve Sencer [18] yüksek hızlı CNC takım tezgâhları için yeni bir kinematik köşe düzeltme tekniği sunmuşlar ve kısa G01 hareketlerinden ötürün verilen referans takım yollarını yayalar ve eğriler aracılığıyla geometrik olarak daha hassas ve sürekli yörungelere dönüştürmüştürlerdir. Bu alandaki güncel çalışmaların birisini de Huang ve diğerleri [19] yapmışlardır. Çalışmalarında geometrik eğrinin ve besleme hızı profilinin integral

planlamasını gerçekleştirmek için bir çift kama şeklindeki yivlere dayanan geometrik ve kinematik kısıtlamalar altında çoklu doğrusal parçalar için yeni bir yumusatma yöntemi geliştirmiştirlerdir. Ayrıca literatürde [19] çalışmasıyla aynı amaca sahip ama farklı yöntemler önerilen önemli çalışmalar da bulunmaktadır [20–28].

### 1.3. CNC Tezgâhlarında Kesici Takım İlerleme Hızı Planlaması

CNC tezgâhı üzerinde işlenecek bir ürün için çoğu zaman binlerce satır G-kod dosyasına ihtiyaç duyulmaktadır. Bu G-kod dosyasına bağlı çıkarılan yörünge planlamasında eğri uydurma, köşe yumusatma ya da klasik doğrusal, dairesel veya helisel yörünge planlama algoritmalarından hangisi kullanılırsa kullanılsın mutlaka kesici takım için hız planlaması yapılması gereklidir. Bir CNC tezgâhının tüm operasyon boyunca sabit hızda çalışması hem kesici takımın hem de eksen motorlarının uzun ömürlü olması açısından çok önemlidir. Fakat neredeyse hiçbir uygulamada bir CNC tezgâhı tüm operasyon boyunca sabit hızda çalışmamaktadır. Çünkü tüm yörünğenin sabit hızda işlenmesi üç boyutlu uzayda kesici takımın yaptığı hareketin her örnekleme zamanında aynı uzunlukta olmasını gerektirmektedir. Fakat yörünğenin her bölgesi için sabit uzunlukta değişim oluşturacak bir hareket planlaması yapmak, ürün yüzey kalitesi yönünden olumsuz sonuç vermektedir. Kontrol ünitesi eksenlere sabit örnekleme zamanında bilgi göndereceği için belirlenen sabit hız doğrudan her adımdaki hareket boyunun aynı olmasını gerektirecektir. Bu durumda sabit hızın yörünğenin hangi bölgesi göz önünde bulundurarak belirlendiği önemli hale gelmektedir. Eğer eğrinin en hassas değişimler olan bölgesi dikkate alınmış ise hız değerinin düşük olması gerekmektedir. Bu nedenle yörünge üzerinde diğer bölgeler de yavaş işlenecek ve ürün işleme süresi artacaktır. Yörünğenin normal veya az hassas olan bölgelerine göre seçilen bir hız olması durumunda ise hareket boyları uzayacak dolayısıyla eğrisel hareketlerin yoğun olduğu yerlerde veri kayıpları artmış olacaktır. Sonuç olarak kesici takımın operasyon boyunca sabit hızda kalması ya işlem süresini artırmakta ya da hassas bölgelerde veri kaybına neden olmaktadır. Bu doğrultuda, işlenecek ürün özelinde kesici takım için hız planlaması yapılması CNC tezgâhlarında kritik öneme sahip olmuştur. Bu alanda yapılan akademik çalışmalar da CNC tezgâhlarının kontrol ve ürün işleme kalitelerinin artmasında önemli rol oynamışlardır [29–43].

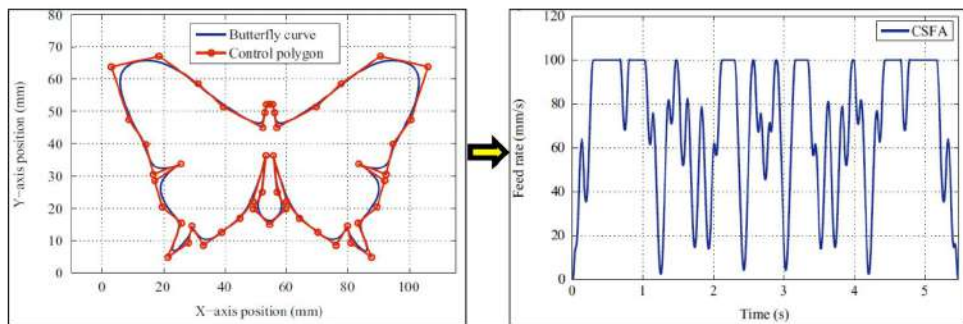
Yeh ve Hsu [44] NURBS eğrilerinin interpolasyonunda kullanılmak üzere kırış ve kontur hata sınırlandırması altında adaptif hız planlama algoritması önermişlerdir. [44] çalışmasına benzer olarak Liu ve diğerleri [45] eğrilerdeki keskin köşeler veya ilerleme hızına duyarlı köşeler, yüksek frekanslı bileşenler veya makinenin doğal olanlarıyla eşleşen frekanslar ve yüksek sarsıntılar olmak üzere işleme dinamikleri üç bölüme ayırmışlar ve belirtilen dinamik etkenler doğrultusunda NURBS eğrisi özelinde adaptif hız planlama algoritması geliştirmiştir. Yine NURBS eğrileri üzerine Xu ve diğerleri [46] eksen motorlarının ivmelenme ve jerk kapasitelerini aşmayan otomatik hız ve hassasiyet optimizasyonu yapan yeni bir hız planlama yöntemi geliştirmiştir. Çalışmalarında Şekil 1.16-a'da yer alan NURBS eğrisini kullanmışlar ve bu eğrinin yüksek hız ve yüksek hassasiyet işlenmesi için Şekil 1.16-b'deki kesici takım hız profilini elde etmişlerdir.



Şekil 1.16. (a) NURBS eğrisi (b) kesici takım hız profili [46]

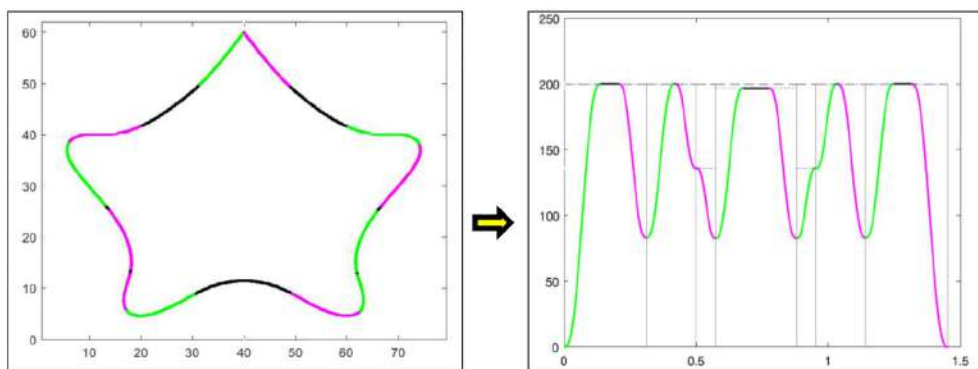
Tsai ve diğerleri [47] ise düzlemsel yüzeyde keskin köşe tespiti, jerk sınırlandırması ve kırış ve kontur hata (chord-contour error) sınırlandırmaları altında oluşturdukları hız ve ivme profillerini kullanarak CNC tarafından işlenecek NURBS eğrilerinin interpolasyon işlemlerini yapmışlardır. Bu çalışmanın önemli noktalarından birisi kırış hatası ile kontur hatasının ortak değerlendirme sonrasında hız profilinin çıkarılması olmuştur. Kırış hatası yörüngevinin işleme hassasiyetine ilişkin bir parametreyi ifade ederken, kontur hatası tezgâhin dinamik yapısına ve motor (eksen) kontrolüne ilişkin bir parametre olarak karşımıza çıkmaktadır. Bu doğrultuda çalışmada önerilen yöntemle hem yörüngevin kırış hata limiti içinde interpolate edilmesi sağlanırken, hem de tezgâhin hedeflenen yörüngeyi belirlenen kontur hata limiti içinde işlenmesi sağlanmıştır. Bu alanda literatüre katkı sağlayacak önemli çalışmalarдан birisi de Du ve diğerleri tarafından yapılmıştır. Çalışmalarında [39] sınırlı jerk, ivme ve ilerleme

hızı ile tamamlanmış bir S-şekil (S-shape) ilerleme hız planlama yaklaşımı (CSFA) sunmuşlardır. CNC tezgahında işlenecek NURBS eğrisinin kritik noktalarını tespit ederek her iki kritik nokta arasında yedi farklı hız profilinden optimal hız ve hassasiyet değerleri doğrultusunda en uygun hız profilini seçmişler ve etkili sonuçlar almışlardır. Şekil 1.17-a'da yer alan kelebek figürü için CSFA yöntemi ile kesici takım için optimize edilmiş hız profilini Şekil 1.17-b'de görüldüğü gibi elde etmişlerdir.



Şekil 1.17. (a) NURBS kelebek eğrisi (b) CSFA yöntemi temelinde çıkarılan kesici takım hız profili [39]

Giannelli ve diğerleri [48] ise özgün eğri uydurma yöntemi ile özgün kesici takım ilerleme hız algoritması geliştirmeye yönelik önemli bir çalışma yapmışlardır. Öncelikle G-kod dosyasından alınan G01 nokta bulutları üzerinde kırılma nokta analizi yapmışlar ve kırılma noktalarının tespit edilmesinden sonra eğriler Pythagorean-hodograph eğrisiyle uydurulmuş ve bu eğriye uygun C2 sürekliliğnde beşli hız profilinden en uygun olanı seçilerek nihai kesici takım ilerleme hız profilin oluşturulmuştur. Şekil 1.18-a'da yer alan yıldız figürünün renk değişimi ile göstermiş oldukları her kırılma noktasında hız profilinin nasıl değiştiği Şekil 1.18-b'deki nihai kesici takım hız eğrisinde görülmektedir.



Şekil 1.18. Pythagorean-hodograph yıldız eğrisi (b) C2 sürekliliğnde oluşturulan kesici takım hız profili [48]

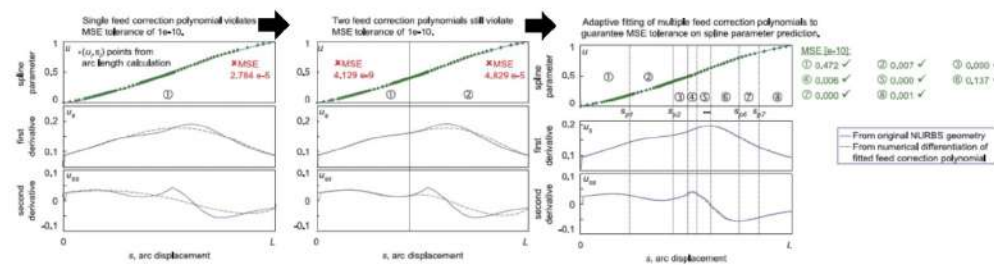
#### 1.4. CNC Tezgâhlarında Yörünge İnterpolasyon İşlemleri

Kartezyen uzayda kesici takım yörüngesi çıkartıldıktan sonra yapılan ilerleme hız planlamasına uygun olarak CNC tezgâhında ürünü işlemek üzere eksen motorlarına eksen yörüngelerinin gönderilmesi gereklidir. Eksen motorlarına gidecek yörüngelere ise interpolasyon işlemi sonunda ulaşmaktadır. Planlanan hız profilinin CNC tezgâhi üzerinde de hedeflendiği şekilde gerçekleştirilebilmesi için interpolasyon işleminin dikkatli yapılması gereklidir. Çünkü hız profilinin planlanması kesici takımın bire bir bu hız profiline uygun hareket edeceğini garanti etmemektedir. Literatürde interpolasyon işlemi için en çok tercih edilen yöntem Taylor Denklemleri olmuştur. Bu yöntemde kesici takım hız, ivme ve jerk profilleri ile işlenecek yörüngenin her örnekleme zamanındaki birinci ve ikinci türevleri ve örnecleme zaman değeri kullanılmaktadır. Taylor serisi kartezyen uzaydaki kesici takımın izleyeceği yörüngenin gerçekleşmesi için gerekli olan eksen motor verilerini doğrudan vermemektedir. Bu verilere ulaşmak için kullanılması gereken her örnekleme zamanındaki interpolasyon parametresini tespit etmektedir. Ayrıca Taylor Denklemleri ile interpolasyon işlemleri genel bir yapıyı oluşturmaktadır. NURBS, Bezier eğrileri, quintic/quadratic B-spline eğrileri, doğrusal/dairesel hareketler fark etmeksiz uygun altyapı ile istenilen yörüngede kullanabilmektedir. An-Chen Lee ve arkadaşları [49] NURBS eğrisinin interpolasyon işleminde ikinci dereceden Taylor Denklemlerini kullanarak NURBS interpolasyon parametresini ( $u$ ) tespit etmişlerdir. Bu parametre üzerinden ise X ve Y eksen motorlarına gönderilecek yörüngeleri elde ederek X-Y uzayında Şekil 1.19'da yer alan uygulamayı yapmışlardır.



Şekil 1.19. NURBS kelebek eğrisinin CNC-Freze tezgâhı üzerinde işlenmesi [49]

Huang ve diğerleri [19] önerdikleri köşe yumusatma algoritmasının interpolasyon işleminde ikinci dereceden Taylor Denklemlerini kullanarak X-Y-Z uzayında ürün işleme uygulamaları yapmışlardır. Taylor Denklemleri çok sayıda çalışmada tercih edilen yöntem olsa da farklı interpolasyon algoritması geliştirmek veya kullanmak mümkündür. Bu alanda, Heng ve Erkorkmaz [36] kesici takım ilerleme hız düzeltme polinom kavramı (feed correction polynomial concept) geliştirmişler ve performans değerlendirmesini birinci dereceden Taylor Denklem sonuçları ile karşılaştırarak yapmışlardır. Ayrıca kullandıkları yörunge için, önerdikleri yöntemin birinci derecen Taylor Denklemlerine göre daha kararlı olduğunu belirtmişlerdir. Şekil 1.20'de yer alan NURBS eğrisine ait yer değiştirme grafiği üzerinde interpolasyon parametresinin ( $u$ ) hedeflenen hız profiline belirtilen tolerans limitleri içinde benzemesi için nasıl ara böülümlere ayrıldığını göstermişlerdir.

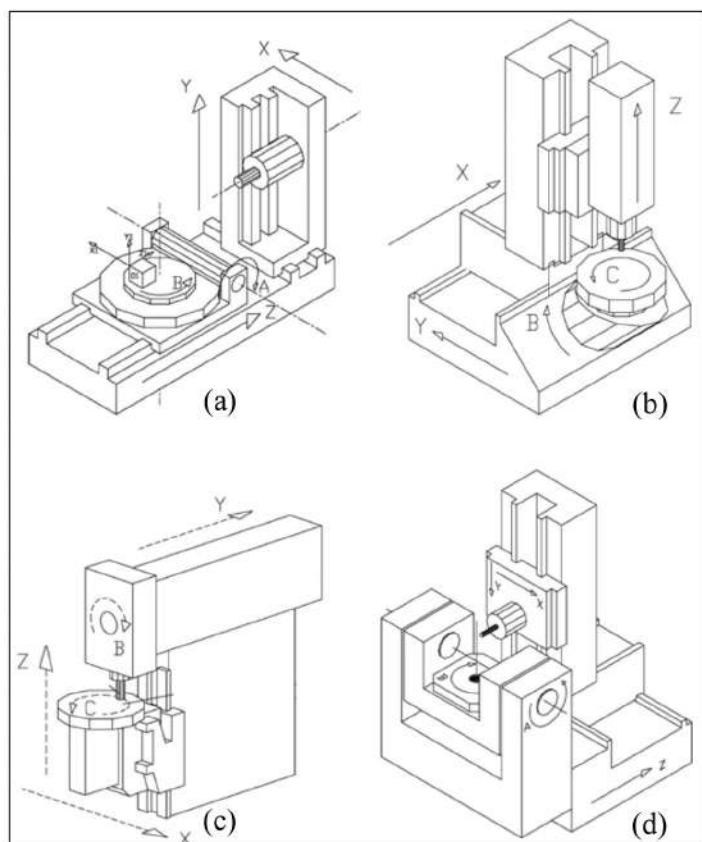


Şekil 1.20. NURBS eğrileri için kesici takım ilerleme hızı düzeltme işleminin uygulanması [36]

### 1.5. CNC Tezgâhlarında Kinematik Konfigürasyon

CNC tezgâhlarında eksenler kartezyen koordinat sistemine göre tanımlanmaktadır. Tabla ve kesici takım hareketlerine uygun ise eksen atamaları yapılmaktadır. Eksen sayısı ve eksen konfigürasyonu CNC tezgâhlarında kinematik dönüşüm işlemleri için önemli olan iki temel unsurdur. Endüstriyel CNC-Freze tezgâhları çoğunlukla 3-eksen, 4-eksen ve 5-eksen yapılarda kullanılmaktadır. CNC tezgâhlarının eksen sayılarının birbirlerine göre farklılık gösterebilmesinin yanında, aynı sayıda eksen takımına sahip CNC tezgâhları kullanım amacına, hareket kabiliyetlerine ve işlenen ürün yapısına göre farklı yapılandırmalara da sahip olabilmektedir [Knematics klasöründeki yayınları ekle]. Bu durum ise her farklı CNC tezgâhı için ayrı kinematik analiz işlemi gerektirmektedir. Şekil 1.21'de 5-eksen CNC-Freze tezgâhlarının kesici takım ve tabla hareketleri temelinde oluşturulmuş farklı yapıları gösterilmiştir [50]. Bu tezgâhların sınıflandırılması eksenin döner veya doğrusal (prizmatik) olmasına ve o eksendeki

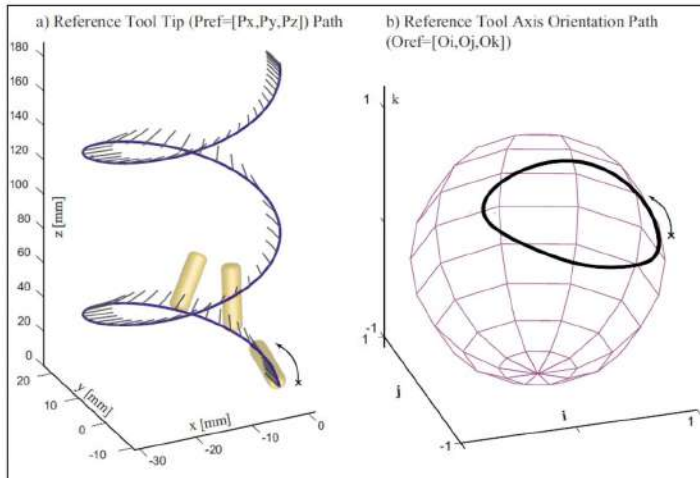
hareketin tabladan veya kesici takımdan sağlanmasına göre yapılmaktadır. Örneğin Şekil 1.21-a'da yer alan CNC-Freze modeli A'B'-ZYX olarak isimlendirilmiştir. Bu isimlendirme şu şekilde açıklanmaktadır; A'B' eksenleri iş parçasına ait döner eksenler, ZYX eksenleri ise kesici takıma ait prizmatik eksenlerdir. Aynı Şekil 1.21-c'de ZX'C'-BY model tezgâhta, prizmatik Z eksenini ve döner XC eksenini iş parçasının (tablanın) hareketini sağlarken, prizmatik BY eksenleri kesici takıma hareket verildiği anlamına gelmektedir.



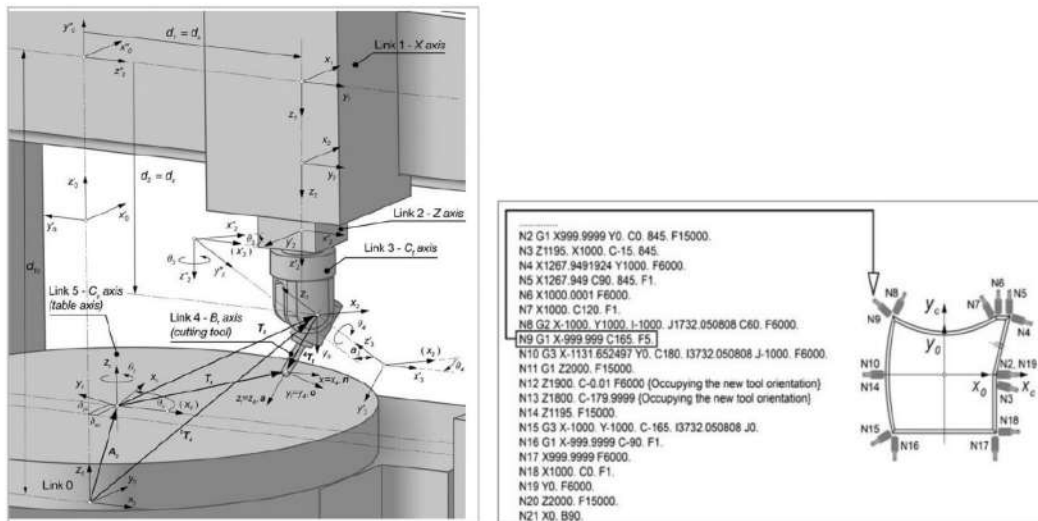
Şekil 1.21. 5-eksen CNC-Freze tezgâh konfigürasyonları  
 (a) ZA'B'-YX (b) B'C'-ZYX (c) ZXC'-B'Y (d) A'B'-XYZ [50]

CNC tezgâhlarında kinematik yapının değişmesi yörunge planlama ve kontrol işlemlerinin o tezgâha özgün yöntemlerle yapılmasını gerektirebilmektedir. Bu doğrultuda literatürde farklı yapılardaki CNC-Freze tezgâhlarının kontrolüne yönelik çok sayıda önemli çalışma bulunmaktadır [51–66]. Sencer ve Altintas [67] 5 eksen (X-Y-Z-A-C) bir CNC-Freze tezgahının doğrusal ve açısal eksen hareketlerinde senkronizasyon sağlayarak kontur hatasının minimize edilmesine ilişkin bir yöntem

geliştirilmiştir. Çalışmada doğrusal X-Y-Z ekseninde oluşan yörüngeler ile A-C döner eksenlerinde oluşan kesici takım oryantasyon yörüngesi Şekil 1.22'de yer aldığı gibi ayrı ayrı fakat birbirine senkronize oluşturularak kontur hatası minimize edilmiştir.



Şekil 1.22. Kesici takım kartezyen uzay yörüngesi ve oryantasyon yörüngesinin çıkarılması işlemi [67]

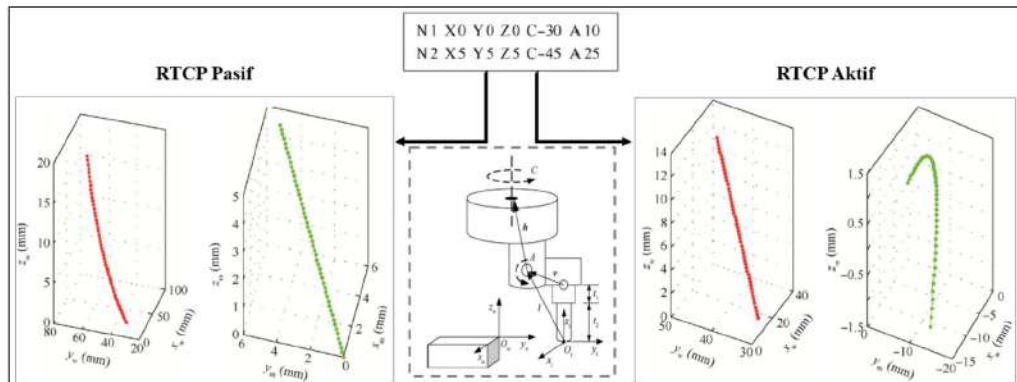


Şekil 1.23. (a) CNC-Freze eksen yerleşimi (b) komut satırına karşılık gelen konum ve oryantasyonun gösterimi [56]

Kvrgic ve diğerleri [56] 2 eksen (X, Z) doğrusal 3 eksen ( $C_t$ ,  $B$ ,  $C_y$ ) döner olmak üzere Şekil 1.23-a'da görülen 5-kisen CNC-Freze tezgâhının kartezyen-eklem uzayı arasındaki ilişkiyi temsil eden ileri ve ters kinematik denklemlerini çıkartmışlardır ve bu denklemleri 5-eksen G-kod dosyasındaki yer alan noktasal verilerle birlikte kullanarak tezgâhın kontrolünü sağlamışlardır. 5-eksen G-kod dosyasında yer alan her satır kodun

işlenmesi sonucunda kesici takımın bulunduğu pozisyon ve oryantasyon tezgah özelinde önerdikleri yöntem ile Şekil 1.23-b'deki gibi elde edilmiştir.

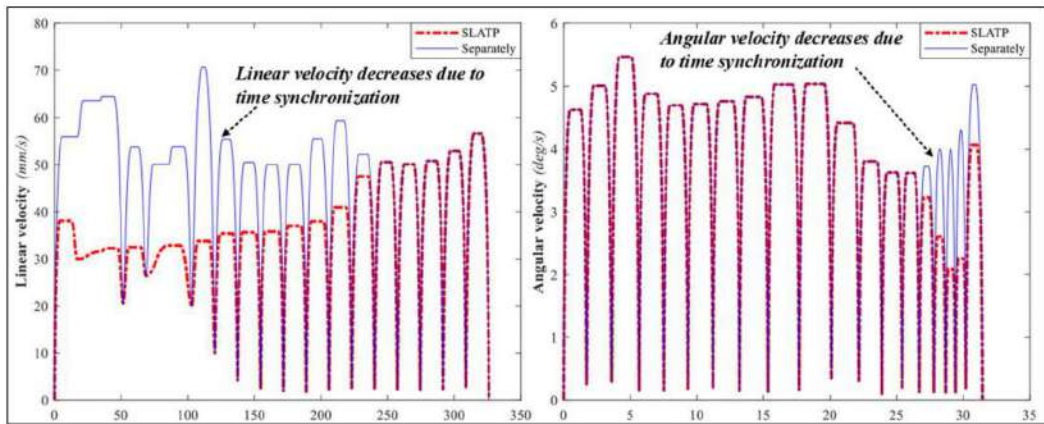
Feng ve diğerleri [58] farklı konfigürasyondaki 5-eksen CNC tezgâhların kontrolünde kullanılmak üzere ileri ve ters kinematik dönüşüm işleminin otomatik yapıldığı bir kütüphane geliştirmiştirlerdir. Ayrıca çalışmanın önemli noktalarından birisi de kesici takım dönme merkez noktasının (RTCP: Rotation Tool Center Point) aktif ve pasif durumlarına göre yörünge planlama yapılması olmuştur. Çalışmalarında Şekil 1.24'te yer alan kesici takımın C-A oryantasyon açısı ile döndüğü X-Y-Z eksenlerinin ise doğrusal olduğu 5-eksen bir CNC-Freze tezgahında RTCP'nin aktif ve pasif olmasına göre tezgah üzerinde gerçekleşecek yörüngenin nasıl değiştigini göstermişlerdir. CAM programında RTCP'nin aktif ve pasif olma durumu G43 ve G49 komutları ile belirtilmektedir. Eğer CAM programının RTCP'nin aktif olduğunu varsayıarak ürettiği bir G-kod dosyası CNC tezgâhının kontrol ünitesi tarafından RTCP'nin pasif olduğu bir yörünge planlaması yaparsa hatalı ürün işlemesi gerçekleşir. Bu nedenle [58], RTCP ayrıntısının yer aldığı önemli bir çalışma olmuştur.



Şekil 1.24. Aktif ve pasif RTCP'nin kesici takım yörüngelerine etkisi [58]

Kinematik konfigürasyonun ön planda olduğu bir diğer önemli çalışma ise Huang ve diğerleri tarafından yapılmıştır. Bu çalışmada [68] 5-eksen (X-Y-Z-A-C) bir CNC-Freze tezgâhının minimum kontur hatası ile ürün işlemesi yapabilmesi amacıyla, doğrusal hareket ve açısal hareketler için ayrı ayrı planlanan hız profillerinin eksen motorlarının hareket kabiliyetlerine uygun tekrar optimize edilmesine yönelik yöntem önermişlerdir. Geliştirdikleri yöntem motor hareket kabiliyetlinin ön planda tutarak doğrusal ve döner eksenler arası senkronizasyonu maksimum seviyeye çıkarmıştır.

Şekil 1.25'te yer alan grafikle doğrusal hız planlamasının ve açısal hız planlamasının senkronizasyonu bozmamak için nasıl güncellendiğini göstermişlerdir.



Şekil 1.25. Senkronizasyonun sağlanması için doğrusal ve açısal hızların optimize edilmesi [68]

## **2. CNC-FREZE TEZGÂHI G-KOD FONKSİYONLARININ ÇIKARILMASI**

CNC tezgâhında bir ürününün nasıl işleneceği CAM programları tarafından belirlenmektedir. CAM programının sahip olduğu ürün işleme algoritmasına uygun üretilen G-kod dosyası CNC kontrol ünitesinde tarafından çalıştırılmaktadır. Ürün işleme süreci ise doğrusal, dairesel, helisel ve eğrisel hareketler tarafından kontrol edilmektedir. Fakat CNC kontrol ünitesinin kabiliyetine göre bu hareket türlerinden hepsi ya da bir kısmı desteklenebilmektedir. Bu durumda CAM programı içerisinde kontrol ünitesi özelliğine göre seçim yapılarak doğru G-kod dosyasının üretilmesi önemlidir. Doğrusal hareketler G00 ve G01 komutları ile iki farklı yapıda kullanılmaktadır. G00 komutu tezgâhin boşta hareketini temsil etmektedir ve bu hareketlerde tezgâh maksimum hızda çalışmaktadır. G01 komutu ise kesici takımın ürün üzerinde talaş kaldırarak hareket etmesini ifade etmektedir. Doğrusal talaş kaldırma hareketi G-kod dosyasında verilen hız değerine uygun gerçekleşmektedir. Dairesel hareketler ise saat yönünde ve saat tersi yönünde olmak üzere G02 ve G03 komutları ile tanımlanmaktadır. Dairesel hareketler kartezyen uzayda seçili XY, XZ veya YZ düzlemlerinde yani iki boyutta gerçekleşmektedir. Fakat boşta kalan diğer eksende dairesel harekete senkronize çalışan doğrusal bir hareket tanımlanabilir. Bu durumda üç boyutlu uzayda helisel bir hareket meydana gelmektedir. Eğrisel hareketler ise tezgâh üzerinde işlenen ürün yüzey kalitesine doğrudan etki eden en önemli hareket türlerinden birisidir. Bir CNC-Freze tezgahında, bir ürün genellikle kaba ve hassas (finiş) işleme olmak üzere iki adımda işlenmektedir. Kaba işlemede daha çok doğrusal ve dairesel hareketler ön planda iken, hassas işlemede ise eğrisel hareketler kullanılmaktadır. Çünkü neredeyse hiçbir ürün keskin yüzeyleri olan düzgün bir geometrik şeke sahip değildir. Net geometrik şeke olmayan bu ürünler ise hassas işlemedeki eğrisel hareketlerle hedeflenen ürün çıktısına dönüştürülmektedir. CAM programları tarafından desteklenen tek eğrisel komut ise G06.2 komutu ile kullanılan NURBS eğrisel hareketidir. G06.2 komutu ile birlikte düğüm vektörü (knot vector), kontrol noktaları (control points) ve ağırlık vektör (weight vector) parametreleri verilerek CNC tezgâhi üzerinde CAM programı tarafından belirlenen eğrisel hareketin aynısının işlenmesi sağlanır. Fakat çok sayıda CNC tezgâhi kontrol

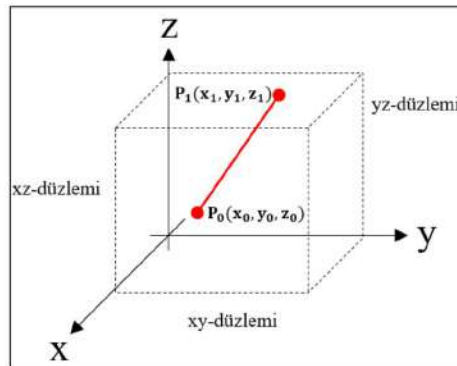
ünitesinde G06.2 komut desteği bulunmamaktadır. Ayrıca G06.2 komut desteği kontrol ünitesinde olsa bile kullanılan CAM programında NURBS işleme özelliği olmayabilir. Bu durumlarda eğrisel hareketler G01 komutları ile mikro boylardaki doğrusal hareketlere dönüştürülür ve G05.1 Q1 komutu ile birlikte hassas ürün işleme özelliği açılır. Bu komut G-kod dosyası içinde eğrisel veya dairesel hareketlerin mikro boylardaki doğrusal hareketlerle ifade edildiğini ve bu noktaların bir eğri uydurma yöntemi ile hassas yörüngelere dönüştürülebileceğini söylemektedir. G06.2 komutunda olduğu gibi G05.1 komut özelliği de her CNC kontrol ünitesinde bulunmayabilir. G05.1 komut desteğinin olmaması durumunda ise iki açıdan tehdit oluşmaktadır. Çok sayıda ardışık doğrusal hareket tezgâhın titreşimli veya dur/kalk yaparak çalışmasına neden olurken aynı zamanda da eğrisel/dairesel hareket kadar yumuşak geçişler olmayacağı için ürün üzerinde pürüzlülük sorunu oluşabilmektedir. Bu bilgiler doğrultusunda, bir CNC kontrol ünitesi G00, G01, G02, G03, G05.1 ve G06.2 hareket komutlarının hepsini desteklerse, CAM programının ürün işleme algoritma performansı nasıl olursa olsun tezgâh üzerinde işlenen ürün çıktısı yüksek hassasiyette olur değerlendirmesini yapmak mümkündür.

## 2.1. G00/G01 Doğrusal Hareket Komutları

Kartezyen uzayda iki nokta arasındaki hareketi tanımlayan doğrusal hareket komutları CNC tezgâhlarındaki tüm ürün işleme uygulamalarında kullanılmaktadır. Kesici takımın boşta hareketi G00 komutu, ürün üzerinde talaş kaldırımalı hareketi ise G01 komutu ile temsil edilmektedir. G00 ve G01 komutları Denklem (2.1)'de gösterilen komut yapısına sahiptirler.

$$\begin{aligned} & \text{G00 X ... Y ... Z ...} \\ & \text{G01 X ... Y ... Z ... F...} \end{aligned} \tag{2.1}$$

Tezgâh kontrol ünitesinin ilgili komutu çalıştırmadan önce bulunduğu konum  $P_0(x_0, y_0, z_0)$  noktası ile ifade edilmektedir. G00 veya G01 komutunda bulunan X, Y ve Z noktaları ise Şekil 2.1'de görüldüğü gibi kesici takımın gitmesi gereken  $P_1(x_1, y_1, z_1)$  noktasını göstermektedir.  $P_0$  ve  $P_1$  noktası arasındaki doğrusal hareket her zaman üç boyutlu (x-y-z) uzayda olmak zorunda değildir. Bu nedenle G00 ve G01 komutları Denklem (2.2)'de gösterilen farklı yapılarda da kullanılabilmektedir.



Şekil 2.1. G00/G01 doğrusal hareket komutu

G00 X ... Z ...

G00 X ...

G01 X ... Y ... Z ...

(2.2)

G01 X ... Y ... F...

G01 Y ... F...

G01 Y ... Z ...

Bir ürün işleme sürecinde, kesici takım her zaman ürün üzerinde talaş kaldırarak ilerleme zorunda değildir. İşlenecek ürün yapısına göre kesici takımın ürüne temas etmemesi gereken çok sayıda boş tezgâh hareketleri bulunmaktadır. Ürün işleme zamanından kazanmak için tezgâhin bu boş alandaki doğrusal hareketleri tezgâh yapısına uygun belirlenen maksimum hızda sağlanır. Bu nedenle G00 komutu ile birlikte bir hız bilgisi kullanılmasına (F) ihtiyaç duyulmamaktadır. G01 komutunda ise durum biraz farklıdır. İşlenen ürün yapısına, kesici takım kalitesine, ürün üzerinde işlenen yerin hassasiyetine vb. durumlara göre, talaş kaldırarak ilerlemeye G01 komutu ile birlikte verilen hız bilgisine uymak gereklidir. Eğer ilgili komut satırında, Denklem (2.2)'de verilen örnek yapılarda görüldüğü gibi F bilgisi yoksa bir önceki G01 komutunda verilen F bilgisi o anki komutunda hız değeri olmuş olur. Yeni bir F komutu gelene kadar bu sistem devam etmektedir. Komut satırında bulunan F değerinin hangi birimde kullanıldığı da dikkat edilmesi gereken diğer önemli detaydır. Tezgâhlarda çoğunlukla tercih edilen ilerleme hız birimi [mm/dak] ve [mm/devir]'dir

ve G94/G95 komutları ile seçim yapılır. G94 komutu [mm/dak], G95 komutu ise [mm/devir] seçimi için kullanılmaktadır. Eğer G-kod dosyasında seçim işlemi belirtilmemiş ise [mm/dak] varsayılan hız birimi olarak ayarlanmaktadır.

Doğrusal hareketler tek boyutlu, iki boyutlu veya üç boyutlu uzayda gerçekleşebildiği için hareket planlamasının uzaydan bağımsız yapılması gereklidir. Tüm hareket olasılıkları için ortak olan payda,  $P_0$  ve  $P_1$  noktası arasındaki hareketin uzunluğuudur. Her satırdaki G komutunda yapılan hareket tezgâh üzerinde işlenen tüm hareketin segmentleri olduğu için, bu çalışmada hareket uzunlukları  $L_{seg}$  değişkeni ile ifade edilmektedir ve doğrusal hareket için  $L_{seg}$  değeri Denklem (2.3) eşitliği ile elde edilmektedir.

$$L_{seg} = \sqrt{(x_1 - x_0)^2 + (y_1 - y_0)^2 + (z_1 - z_0)^2} \quad (2.3)$$

İlgili segment uzunluğunun bulunmasından sonra ise doğrusal hareketin eksenler tarafından senkronize gerçekleşmesi için Denklem (2.4)'te yer alan eşitlikler kullanılarak eksen yörüngeleri bulunmaktadır.

$$\begin{aligned} x_i &= \frac{(x_1 - x_0)k_i + (x_0)(L_{seg})}{L_{seg}}, & y_i &= \frac{(y_1 - y_0)k_i + (y_0)(L_{seg})}{L_{seg}}, \\ z_i &= \frac{(z_1 - z_0)k_i + (z_0)(L_{seg})}{L_{seg}} \end{aligned} \quad (2.4)$$

Denklemde yer alan  $i$  değeri, hareket uzunluğuna, örnekleme zamanına ve ilgili komutta verilen ilerleme hızına ( $F$ ) bağlı olarak değişen eksen veri boyutunu,  $k_i$  parametresi ise her örnekleme zamanındaki interpolasyon parametresini temsil etmektedir. Eğer kesici takım için bir hız planlaması yapılmadığı varsayırlı ise  $k$  ve  $i$  parametreleri Denklem (2.5)'te görüldüğü gibi elde edilir.

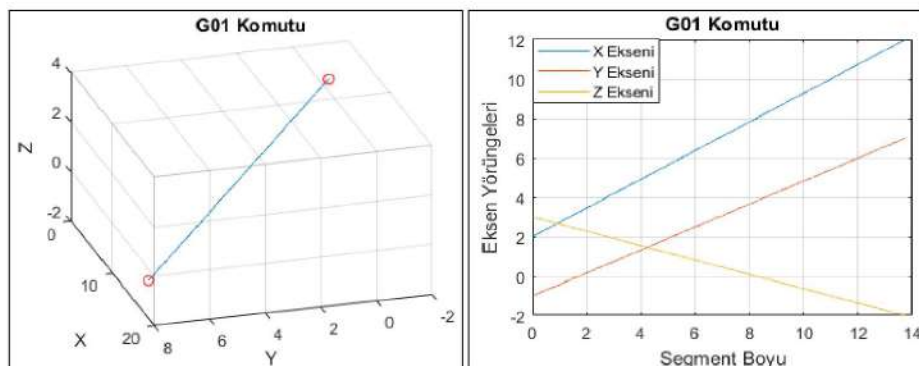
$$\begin{aligned} i &= \frac{L_{seg}}{(V)(T_s)}, & V &= \frac{F}{60} \\ k_{i+1} &= k_i + \frac{L_{seg}}{(V)(T_s)}, & k_0 &= 0 \end{aligned} \quad (2.5)$$

Fakat tezgâhın kalkış ve duruş hareketlerinin kontrol edilmesi veya komut satırları arasındaki hız geçişlerinin optimize edilmesi gibi işlemlerin yürütüldüğü ileri seviye hız planlamalarına bağlı eksen yörüngelerinin elde edilmesinde, Denklem (2.5)'te yer alan eşitlikler kullanılmamaktadır. Bu nedenle  $i$  ve  $k$  değerlerinin bir hız planlamasına bağlı bulunması interpolasyon işlemleri bölümünde detaylı anlatılmıştır. Kartezyen uzaydaki doğrusal hareket uzunluğuna bağlı eksen yörüngelerinin nasıl olduğunu göstermek için Denklem (2.6)-(2.8)'de yer alan G01 komutları örnek olarak kullanılmıştır. Kesici takımın kartezyen uzaydaki hareketleri ve bu hareketlere ait eksen yörüngeleri Şekil 2.2-2.4'te sırasıyla verilmiştir.

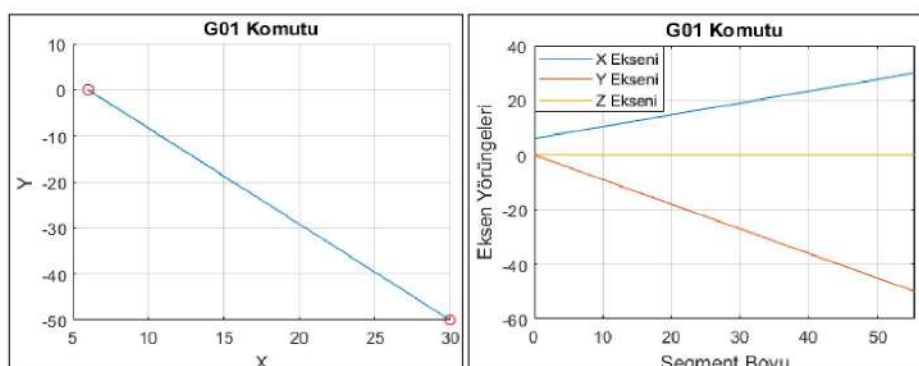
$$G01 X12 Y7 Z-2 \quad (x_0 = 2, y_0 = -1, z_0 = 3) \quad (2.6)$$

$$G01 X30 Y-50 \quad (x_0 = 6, y_0 = 0, z_0 = 0) \quad (2.7)$$

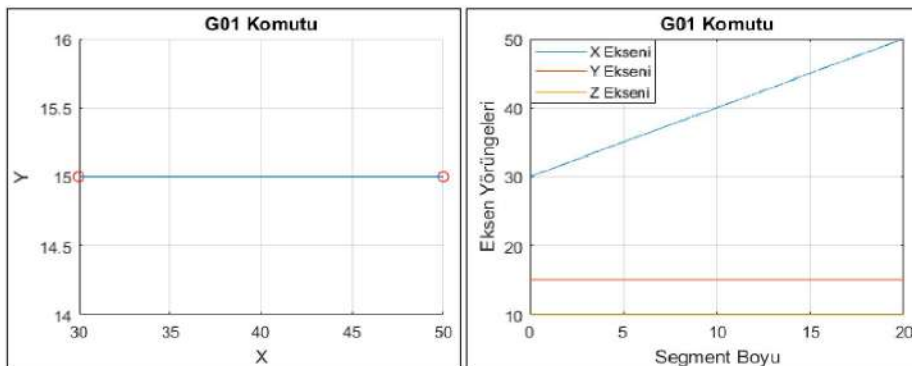
$$G01 X50 \quad (x_0 = 30, y_0 = 15, z_0 = 10) \quad (2.8)$$



Şekil 2.2. G01 X12 Y7 Z-2 komutuna ilişkin eksen hareketleri



Şekil 2.3. G01 X30 Y-50 komutuna ilişkin eksen hareketleri



Şekil 2.4. G01 X50 komutuna ilişkin eksen hareketleri

Bu üç uygulamada herhangi bir hız planlaması yapılmadığı için şekillerdeki eksen yörüngelerinde görüleceği üzere eksenlerde kalkış ve duruş kontrolü bulunmamaktadır. Bu nedenle her örnekleme zamanında eksen hareketleri sabit artış göstermiş ve nihai eksen yörüngeleri de doğrusal fonksiyonlardan oluşmuştur.

## 2.2. G02/G03 Dairesel Hareket Komutları

G-Kod standartlarına göre dairesel hareketlerin tanımlanmasında iki yöntem kullanılır. Tezgâh kontrol ünitesinin isteği doğrultusunda dairesel hareketler ya radyus yarıçap ( $R$ ) bilgisi ile ya da radyus merkez bilgileri ( $I, J, K$ ) ile belirtilir. Bu seçim işlemini düzenleyen birim Post- Processor'dür. Endüstride kullanılan CNC tezgâhlarında genellikle  $R$  verisine bağlı dairesel hareket planlama işlemi yapılmaktadır. Bunun en büyük sebebi ise manuel program yazımında radyus merkez bilgilerinin yani  $I, J, K$  verilerinin tespitinin çok zor olmasıdır. Radyus yarıçap bilgisi tüm teknik resimlerde gösterilmektedir. Bir operatör teknik resimdeki  $R$  bilgilerini kullanarak çok kolay manuel program yazabilmektedir. Bu nedenle bu çalışmada da dairesel hareketlerde  $R$  verisi kullanılmaktadır.

G02 komutu belirtilen noktalar arasında saat yönündeki dairesel hareketi ifade etmektedir. Tezgâhlarda genellikle G17 (XY) düzlemi varsayılan düzlemdir. Eğer G02 komutu öncesinde G18 veya G19 düzlem seçimi yapılmamış ise kontrol ünitesi XY düzlemine göre dairesel hareket işlemi yapar. “G02 X... Y... Z... R...” saat yönündeki dairesel bir hareketin genel tanımlama şeklidir. Bu komutta yer alan kartezyen uzaydaki X-Y-Z noktaları tezgâhin hareket bitiminde ulaşması gereken pozisyon bilgileridir. Bu komutu G17 düzlemi için yorumlamak gerekirse, G02

komutu ile verilen X-Y noktasına R yarıçapında dairesel bir hareket yap, eğer bulunduğu Z noktası ile G02 komutunda bulunan Z noktası arasında bir farklılık varsa yeni verilen Z noktasına dairesel harekete senkronize olarak doğrusal hareket işlemi gerçekleştir anlamı çıkmaktadır. (Karışıklıkların önüne geçebilmek için çalışmanın bundan sonraki bölümlerinde aksi belirtilmediği takdirde G17 düzlemi seçilmiş varsayılacaktır). G03 komutu da format olarak (G03 X... Y... Z... R...) G02 komutu ile aynı olmakla birlikte tezgâhin saat yönünün tersinde hareket yapması gerektiğini göstermektedir. G02 komutu ile benzer olarak verilen G03 komutun G17 düzlemi için yorumu, X-Y noktasına R yarıçapında dairesel bir hareket yap, eğer bulunduğu Z noktası ile G03 komutunda bulunan Z noktası arasında bir farklılık varsa yeni verilen Z noktasına dairesel harekete senkronize olarak doğrusal hareket işlemi gerçekleştirmişdir. Verilen bilgiler doğrultusunda, dairesel yörunge planlaması sürecine aşağıda verilen işlem adımları sırasıyla uygulanması ile başlanmaktadır.

- G02/G03 komutu ile verilen X-Y noktalarından geçen R yarıçapındaki radyüsün merkezinin bulunması,
- Belirtilen noktalardan geçen iki daire bulunduğu için hangi dairenin seçileceğinin belirlenmesi,
- Radyüsün başlangıcının dairenin hangi noktasına karşılık geldiğinin belirlenmesi,
- Radyüsün kaç derecelik olduğunun ölçülmesi.

### 2.2.1. Dairesel hareketin merkez noktasının tespit edilmesi

G02/G03 komutundaki X-Y ve R verilerine göre verilen noktalardan geçen iki daire merkezine ilişkin eşitlikler Denklem (2.9)-(2.12)'de verilmiştir.

$$x_{c_1} = \frac{-(x_0 + x_1) \rho - |(y_0 - y_1)| \sqrt{4r^2 - (x_0)^2 + 2x_0x_1 - (x_1)^2 - (y_0)^2 + 2y_0y_1 - (y_1)^2}}{2\rho} \quad (2.9)$$

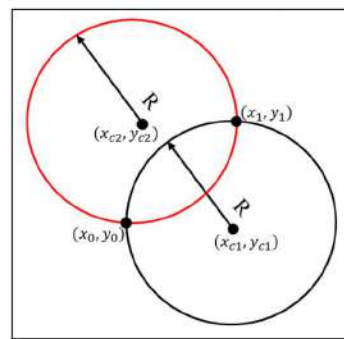
$$x_{c_2} = \frac{(x_0 + x_1) \rho + |(y_0 - y_1)| \sqrt{4r^2 - (x_0)^2 + 2x_0x_1 - (x_1)^2 - (y_0)^2 + 2y_0y_1 - (y_1)^2}}{2\rho} \quad (2.10)$$

$$\rho = \sqrt{(x_0)^2 - 2x_0x_1 + (x_1)^2 + (y_0)^2 - 2y_0y_1 + (y_1)^2}$$

$$y_{c_1} = -\frac{(2(x_0 - x_1)x_{c_1}) - (x_0)^2 - (y_0)^2 + (x_1)^2 + (y_1)^2}{2(y_0 - y_1)} \quad (2.11)$$

$$y_{c_2} = -\frac{(2(x_0 - x_1)x_{c_2}) - (x_0)^2 - (y_0)^2 + (x_1)^2 + (y_1)^2}{2((y_0 - y_1))} \quad (2.12)$$

Eşitlikte  $(x_{c_1}, y_{c_1})$  bir dairenin merkez noktaları,  $(x_{c_2}, y_{c_2})$  ise diğer dairenin merkez noktalarıdır.  $(x_0, y_0)$  tezgâhin dairesel harekete başlamadan önce bulunduğu başlangıç noktası,  $(x_1, y_1)$  ise dairesel hareket sonucunda ulaştığı bitiş noktasıdır. Şekil 2.5'te, verilen noktalar arasından geçen R yarıçapındaki iki dairenin nasıloluştuğu görülmektedir.



Şekil 2.5. İki noktası ve yarıçapı bilinen dairenin merkez noktaları

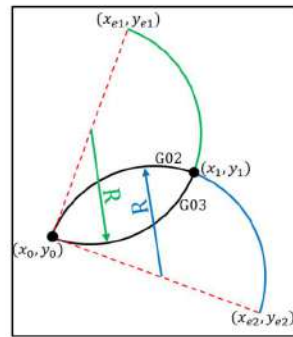
Dairesel hareketin G kod dosyasına uygun olması için merkez seçiminin doğru yapılması gerekmektedir. Merkez seçim işlemi çalışma kapsamında geliştirilen algoritma ile sağlanmaktadır. Önerilen yöntem çok fazla olasılık olduğu için radyüs hareketini başlangıç ve bitiş noktalarına göre dört bölgeye ayırmaktadır. G02 ve G03 komutları için bölge seçim yöntemi Tablo 2.1'de ayrı ayrı verilmiştir.

Tablo 2.1. Başlangıç ve bitiş noktalarına göre bölge seçim işlemi

	$(x_1 > x_0)$ & $(y_1 \geq y_0)$	$(x_1 \geq x_0)$ & $(y_0 > y_1)$	$(x_0 > x_1)$ & $(y_0 \geq y_1)$	$(x_0 \geq x_1)$ & $(y_1 > y_0)$
<b>G02</b>	1. Bölge	2. Bölge	3. Bölge	4. Bölge
	$(x_1 < x_0)$ & $(y_1 \geq y_0)$	$(x_1 \leq x_0)$ & $(y_0 > y_1)$	$(x_0 < x_1)$ & $(y_0 \geq y_1)$	$(x_0 \leq x_1)$ & $(y_1 > y_0)$
<b>G03</b>	1. Bölge	2. Bölge	3. Bölge	4. Bölge

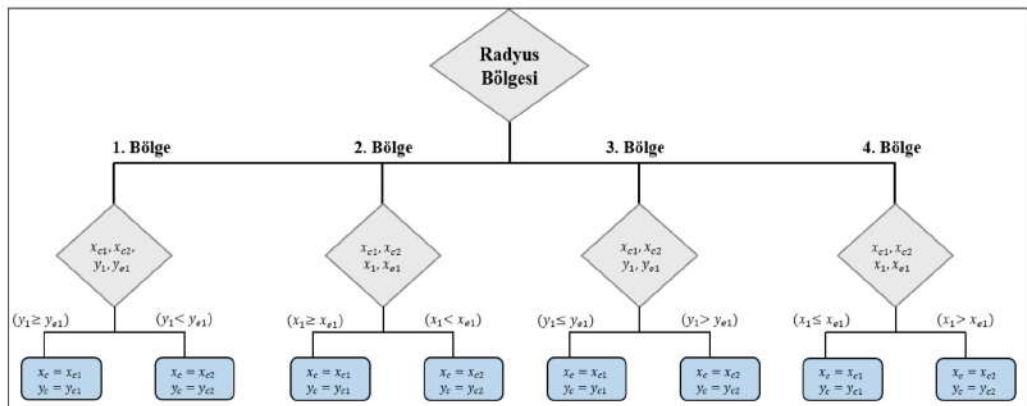
Doğru bölge seçimi yapıldıktan sonra başlangıç noktasının  $(x_0, y_0)$   $180^\circ$  karşısına denk gelen  $(x_{e1}, y_{e1})$  ve  $(x_{e2}, y_{e2})$  noktaları Denklem (2.13) ile Şekil 2.6'da görüldüğü gibi bulunmaktadır.

$$\begin{aligned} x_{e1} &= x_0 + 2(x_{c1} - x_0); y_{e1} = y_0 + 2(y_{c1} - y_0) \\ x_{e2} &= x_0 + 2(x_{c2} - x_0); y_{e2} = y_0 + 2(y_{c2} - y_0) \end{aligned} \quad (2.13)$$



Şekil 2.6. Başlangıç noktasının  $180^\circ$  karşı noktaları

Bölge seçimi yapılip,  $(x_{e1}, y_{e1})$  ve  $(x_{e2}, y_{e2})$  noktaları tespit edildikten sonra Şekil 2.7'de durum diyagramı ile verilmiş G02/G03 komutları için merkez seçim algoritması kullanılmaktadır. Önerilen yöntem kartezyen uzayda oluşabilecek tüm dairesel hareket olasılıklarını kapsadığı için tekrarlanabilir ve güvenilir bir yapıya sahiptir. Sonuç olarak ilgili dairesel hareketin merkezi, durum diyagramı çıktısı olan  $(x_c, y_c)$  noktasıdır.



Şekil 2.7. Merkez noktası seçimi ile ilişkili durum diyagramı

## 2.2.2. Dairesel hareketin başlangıç noktasının ve dairesel hareket miktarının hesaplanması

İstenen radyusün başlangıç noktasının, belirlenen merkez noktasına göre ortaya çıkan dairesel yörüngenin hangi noktasına karşılık geldiği Denklem (2.14) ve (2.15)'teki eşitlikler kullanılarak G02 ve G03 komutları için ayrı ayrı hesaplanmaktadır.  $\theta_{02}$  G02 komutu ile verilen saat yönündeki dairesel hareketin daire üzerindeki başlangıç açısı,  $\theta_{03}$  ise G03 komutuna ilişkin saat yönünün tersinde oluşan dairesel hareketin ilgili daire üzerindeki başlangıç açı değeridir.

$$\theta_{02} = \begin{cases} \tan^{-1} \left( -\frac{(y_0 - y_c)}{(x_0 - x_c)} \right) & \text{if } (x_0 > x_c) \\ 180 + \tan^{-1} \left( -\frac{(y_0 - y_c)}{(x_0 - x_c)} \right) & \text{aksi halde} \end{cases} \quad (2.14)$$

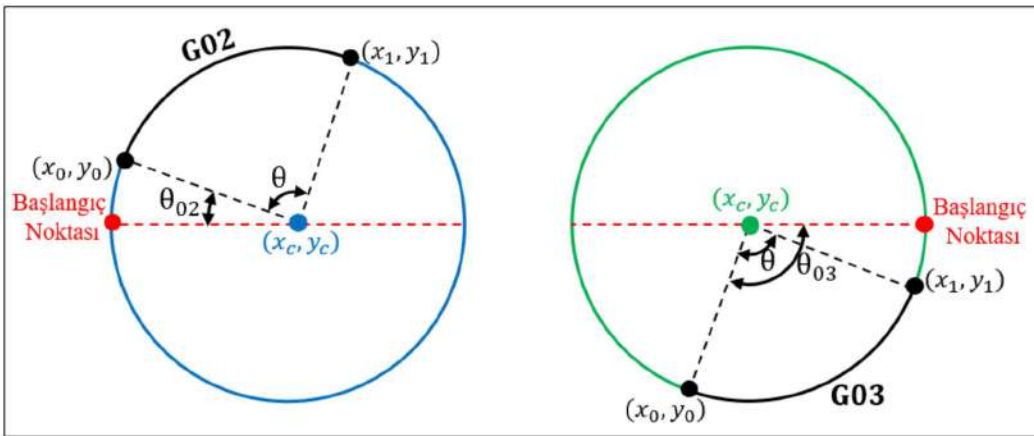
$$\theta_{03} = \begin{cases} \tan^{-1} \left( \frac{(y_0 - y_c)}{(x_0 - x_c)} \right) & \text{if } (x_0 > x_c) \\ 180 + \tan^{-1} \left( \frac{(y_0 - y_c)}{(x_0 - x_c)} \right) & \text{aksi halde} \end{cases} \quad (2.15)$$

Son adımda ise radyusün  $(x_0, y_0)$  noktasından sonra kaç derecelik açı yapacağıının belirlenmesi gerekmektedir. Radyüs açı değeri  $\theta$  değişkeni ile ifade edilmekte ve G02 komutu için Denklem (2.16), G03 komutu için ise Denklem (2.17) ile hesaplanmaktadır.

$$\theta = 180 - 2 \tan^{-1} \left( \frac{\sqrt{(x_1 - x_c)^2 + (y_1 - y_c)^2}}{\sqrt{(x_0 - x_1)^2 + (y_0 - y_1)^2}} \right) \quad (2.16)$$

$$\theta = 2 \tan^{-1} \left( \frac{\sqrt{(x_1 - x_c)^2 + (y_1 - y_c)^2}}{\sqrt{(x_0 - x_1)^2 + (y_0 - y_1)^2}} \right) \quad (2.17)$$

Önerilen yöntem doğrultusunda, G-kod dosyasına göre takip edilmesi gereken dairesel bir yörüngenin elde edilmesi için gereken tüm değişkenler G02 ve G03 komutları için Şekil 2.8-a ve 2.8-b'de ayrı ayrı gösterilmiştir.



Şekil 2.8. G02 ve G03 komutları için başlangıç açısı ve radyüs açısının gösterimi

Dairesel hareket önceki bölümde bahsedildiği gibi seçilen düzlem özelliğine göre iki eksende gerçekleşir. Eğer üçüncü eksen için de bir hareket söz konusu ise yani kartezyen uzayda helisel bir hareket varsa, bu eksen içinde dairesel harekete senkronize doğrusal bir yörünge tanımlanmalıdır. G17 düzlemindeki dairesel bir hareket için X/Y eksenlerinde oluşan yörüngeler ve X-Y eksen hareketine senkronize olan üçüncü eksen (Z) için oluşturulan yörünge denklemleri G02 ve G03 komutları için Denklem (2.18) ve (2.19)'da ayrı ayrı verilmiştir.

$$x_i = (-R) \cos(\alpha_i) + x_c$$

$$y_i = (R) \sin(\alpha_i) + y_c \quad , \quad \alpha_i = [\theta_{02} \frac{\pi}{180}, (\theta_{02} + \theta) \frac{\pi}{180}] \quad (2.18)$$

$$z_i = z_0 + \text{sign}(z_1 - z_0)(\alpha_i - \theta_{02}) \frac{|z_1 - z_0|}{\theta}$$

Her düzlem için farklı denklem yapısı kurulmaması için Tablo 2.2'de yer alan değişken değiştirme yöntemi önerilmektedir. Eğer bu yöntem kullanılırsa X-Y eksenin her zaman dairesel, Z eksenin de doğrusal hareket eksenini olmaktadır.

$$x_i = (R) \cos(\alpha_i) + x_c$$

$$y_i = (R) \sin(\alpha_i) + y_c \quad , \quad \alpha_i = [\theta_{03} \frac{\pi}{180}, (\theta_{03} + \theta) \frac{\pi}{180}] \quad (2.19)$$

$$z_i = z_0 + \text{sign}(z_1 - z_0)(\alpha_i - \theta_{03}) \frac{|z_1 - z_0|}{\theta}$$

Tablo 2.2. Seçilen düzleme göre değişken değiştirme yönteminin uygulanması

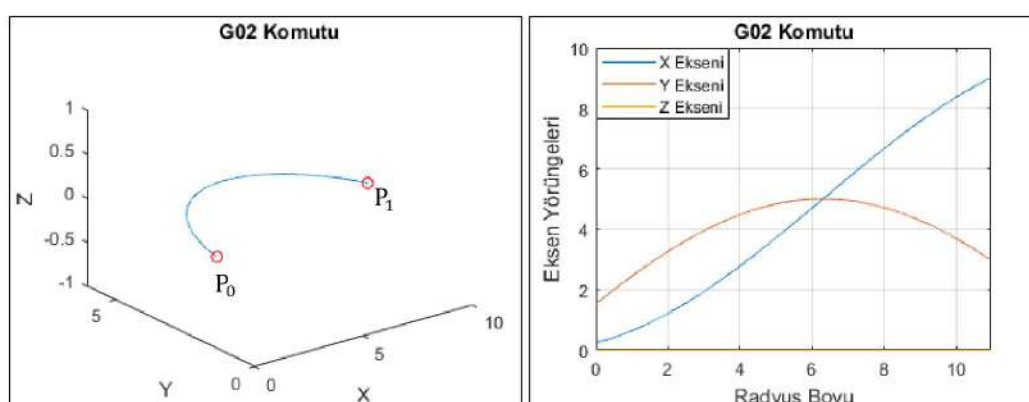
G17 (XY Düzlemi)	G18 (XZ Düzlemi)	G19 (YZ Düzlemi)
$x = x$	$x = x$	$x = y$
$y = y$	$y = z$	$y = z$
$z = z$	$z = y$	$z = x$

Denklem (2.18) ve (2.19)'da yer alan  $i$  değeri, eksen veri boyutunu,  $\alpha_i$  parametresi ise her örneklemde zamanındaki interpolasyon parametresini temsil etmektedir. Eğer kesici takım için bir hız planlaması yapılmadığı varsayılar ise  $\alpha$  ve  $i$  parametreleri Denklem (2.20)'de görüldüğü gibi elde edilir.

$$i = \frac{L_{\text{rad}}}{(V)(T_s)}, \quad L_{\text{rad}} = (R) \left( \theta \frac{\pi}{180} \right), V = \frac{F}{60}$$

$$\alpha_{i+1} = \alpha_i + \frac{(V_{\text{max}})(T_s)(\theta \frac{\pi}{180})}{L_{\text{rad}}} \quad , \quad \alpha_0 = \theta_{02/03} \left( \frac{\pi}{180} \right) \quad (2.20)$$

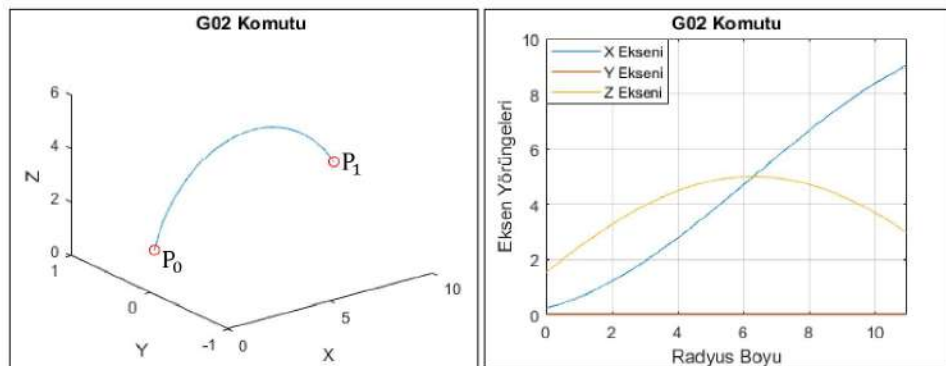
Kartezyen uzaydaki dairesel hareket uzunluğuna bağlı eksen yörüngelerinin nasıl olduğunu ve düzleme seçiminin kesici takım yörüngesi üzerindeki etkisini göstermek için Denklem (2.21)-(2.23)'te yer alan G02 komutları örnek olarak kullanılmıştır. Kesici takımın kartezyen uzaydaki hareketleri ve bu hareketlere ait eksen yörüngeleri Şekil 2.9-2.11'de sırasıyla verilmiştir.



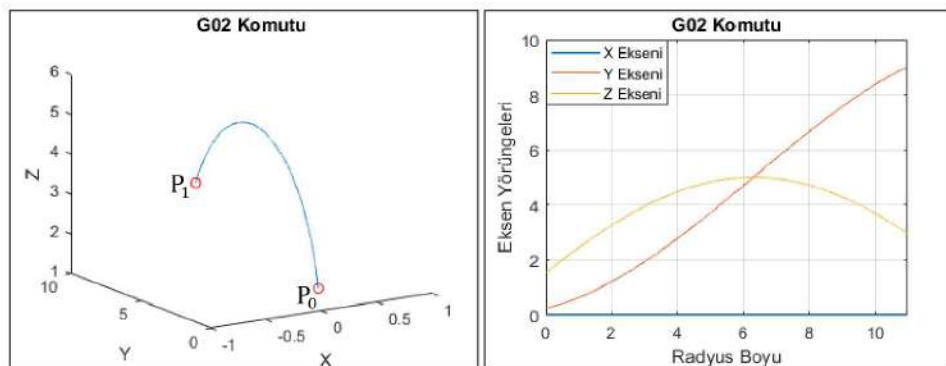
G17 G02 X9.019 Y2.975 R5 ( $x_0 = 0.24, y_0 = 1.53, z_0 = 0$ ) (2.21)

G18 G02 X9.019 Z2.975 R5 ( $x_0 = 0.24, y_0 = 0, z_0 = 1.53$ ) (2.22)

G19 G02 Y9.019 Z2.975 R5 ( $x_0 = 0, y_0 = 0.24, z_0 = 1.53$ ) (2.23)



Şekil 2.10. G18 G02 X9.019 Z2.975 R5 komutuna ilişkin eksen hareketleri

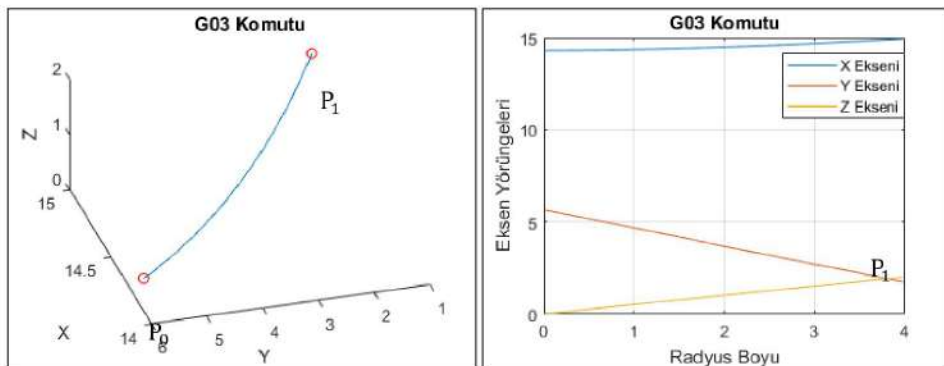


Şekil 2.11. G19 G02 Y9.019 Z2.975 R5 komutuna ilişkin eksen hareketleri

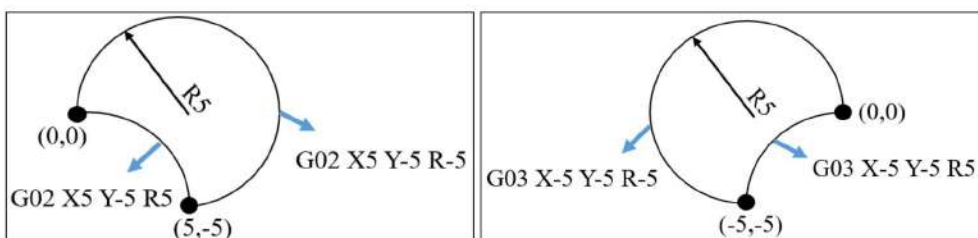
Ayrıca seçili düzlemede iki eksende oluşan dairesel harekete senkron üçüncü eksende oluşan doğrusal hareketin bulunduğu Denklem (2.24)'te yer alan G03 komut satırına ilişkin sonuçlar ise Şekil 2.12'de verilmiştir.

G17 G03 X14.94 Y1.749 Z2 R14.976 ( $x_0 = 14.32, y_0 = 5.66, z_0 = 0$ ) (2.24)

G02 ve G03 komutlarında 180 dereceye kadar olan dairesel hareketler için yukarıda bahsedilen yöntemler kullanılmaktadır. Fakat dairesel hareketin 180 dereceden büyük olması durumunda özel durumlar söz konusudur. Bunun nedeni eğrinin 180 dereceyi geçmesi durumunda bitiş noktasına aynı yarıçaplı iki farklı eğriyle ulaşılabilmesidir (Şekil 2.13).



Şekil 2.12. G17 G03 X14.94 Y1.749 Z2 R14.976 komutuna ilişkin eksen hareketleri



Şekil 2.13. Dairesel hareketin  $180^\circ$ 'den büyük olma durumu

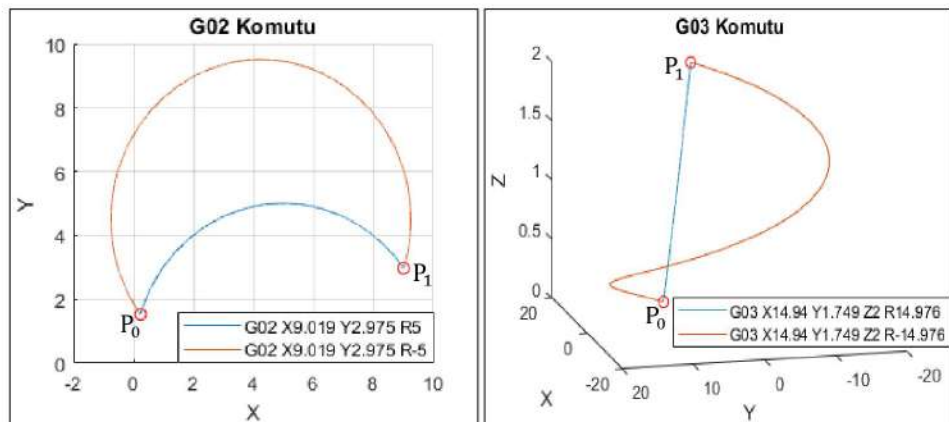
Bu durumda karmaşıklığın önüne geçmek için CAM programları eğrinin  $180^\circ$  dereceden büyük olması durumunda yarıçapın negatif değerle belirtilmesi yöntemini kullanmaktadır. Bu doğrultuda yapılan çalışmada G-kod dosyasında negatif değerli radyus bilgisine rastlanırsa Tablo 2.1'de yer alan merkez seçim işlemi yerine Tablo 2.3 kullanılmaktadır.

Tablo 2.3. Dairesel hareketin  $180^\circ$ 'den büyük olması durumunda bölge seçim işlemi

	$(x_1 \geq x_0)$ & $(y_0 > y_1)$	$(x_0 > x_1)$ & $(y_0 \geq y_1)$	$(x_0 \geq x_1)$ & $(y_1 > y_0)$	$(x_1 > x_0)$ & $(y_1 \geq y_0)$
<b>G02</b>	1. Bölge	2. Bölge	3. Bölge	4. Bölge
	$(x_1 \leq x_0)$ & $(y_0 > y_1)$	$(x_0 < x_1)$ & $(y_0 \geq y_1)$	$(x_0 \leq x_1)$ & $(y_1 > y_0)$	$(x_1 < x_0)$ & $(y_1 \geq y_0)$
<b>G03</b>	1. Bölge	2. Bölge	3. Bölge	4. Bölge

Denklem (2.21) ve (2.24)'te bulunan G02 ve G03 komut satırlarında radyus değerinin negatif olması durumunda, Şekil 2.14'te görülen yörüngeler elde edilmektedir. Bu

sonuçlardan, dairesel hareketin 180 dereceden büyük olması durumunda kesici takım yörüngesin de önemli değişikliğe sebep olduğu görülmektedir.



Şekil 2.14. Negatif ve pozitif radyus değerinin kesici takım yörüngesine etkisi

### 2.3. G06.2 NURBS Eğrisel Hareket Komutu

İşlenen yüzey üzerinde dairesel interpolasyon ile ifade edilmeyen eğrilerin olması durumunda, CNC kontrol üniteleri yazılım özelliklerine göre iki farklı çözüm üzerinden işlem yapmaktadır. Bunlardan birisi eğriyi küçük aralıklarla parçalara ayırarak işlem yapmaktadır. Bu işlem basit olmasına rağmen iki yönden olumsuz sonuç oluşturabilmektedir. Birincisi elde edilen son yüzeyin küçük parçalı hareketlerden dolayı pürüzlü olması, ikincisi ise bir eğriyi çok sayıda nokta ile parçalara ayırdığı için yoğun G1 koduna bağlı program çıkarmasıdır. Ayrıca çok sayıda ardışık doğrusal hareket tezgâhın titreşimli veya dur/kalk yaparak çalışmasına neden olabilmektedir. Eğer mikro boylardaki doğrusal parçalar hassas bir eğriye dönüştürülür ise, bu durumda da ana yörüngede sapmalar yani kontur hataları oluşacaktır. Bu nedenle CAM programının ürettiği G-kod dosyasına bire bir bağlı kalmak hem işlenecek ürün kalitesi yönünden hem de tezgâhın titreşimsiz ve dur/kalk yapmadan çalışabilmesi yönünden çok önemlidir. Gelişmiş CNC tezgâhlarında eğrisel hareketler parçalara ayrılmış yoğun G01 noktalarının bulunduğu G-kod dosyası yerine G06.2 komutu üzerinden NURBS (Non-Uniform Rational B-Splines) komutları ile işlenmektedir. Eğer bir CNC tezgâhında G06.2 komutu çalıştırılabilir ise, CAM programında NURBS komutu aktif hale getirilerek ilgili yerlerde NURBS komutları da üretilebilmektedir. NURBS komutlarının en büyük avantajı ise eğri uydurma işlemine gerek duyulmadan CAM programındaki yörüngenin bire bir aynısının tezgâhta

işlenebilmesidir. NURBS eğrisinin oluşturulabilmesi için eğri derecesi, düğüm vektörü, kontrol noktaları ve ağırlık vektörü bilgilerine ihtiyaç vardır. Bu kapsamda G-kodları ile NURBS eğrisi Denklem (2.25)'te görülen yapı ile tanımlanmaktadır.

G06.2 [P] K ... X ... Y ... Z ...  $\alpha$  ...  $\beta$  ... R ... F ...

K ... X ... Y ... Z ...  $\alpha$  ...  $\beta$  ... R ...

K ... X ... Y ... Z ...  $\alpha$  ...  $\beta$  ... R ...

K ... X ... Y ... Z ...  $\alpha$  ...  $\beta$  ... R ...

K...

K...

K...

(2.25)

K...

X-Y-Z: Kontrol Noktaları (Kartezyen Uzayında)

$\alpha - \beta$ : Kontrol Noktaları (Döner Eksen)

K: Düğüm Vektörü

R: Ağırlık Vektörü

P: NURBS eğri derecesi

F: İlerleme Hızı

Eğri derecesi ne olursa olsun düğüm vektörü, kontrol noktaları ve ağırlık vektörü bilgileri mutlaka kod içerisinde yer almaktadır. Fakat eğri derecesi komut satır sayısı açısından önem teşkil etmektedir. Çünkü Denklem (2.25)'de görüldüğü üzere düğüm vektörü verisi (K) kontrol noktaları ve ağırlık vektör verisinden (R) sonraki satırlarda tek başına devam etmektedir. Devam eden satır sayısını belirleyen parametre ise eğri derecesidir. Tezgâh üzerinde çoğulukla ikinci dereceden (quadratic NURBS) veya üçüncü dereceden (cubic NURBS) eğrileri kullanılmaktadır. Denklem (2.26)'da, üç

eksen (X-Y-Z) bir tezgâhta üçüncü dereceden ( $P=3$ ) bir NURBS eğrisi işlenmesi için gerekli olan G-kod yapısı örnek olarak gösterilmiştir.

G06.2 [3] K ... X ... Y ... Z ... R ... F ...

K ... X ... Y ... Z ... R ...

K ... X ... Y ... Z ... R ...

K ... X ... Y ... Z ... R ...

(2.26)

K...

K...

K...

K...

### 2.3.1. NURBS eğrileri

Doğadaki oluşumlara veya günlük hayatı kullanılan araç gereçlere baktığımızda geometrik formların, keskin hatlara sahip yapılardan çok yumuşak hatlı eğrisel yapıarda olduğu görülür. CNC tezgâhlarında işlenen ürünlerde bu doğrultuda çoğunlukla eğrisel formlarda olmaktadır. Araçlar ve uçaklar temelinde mekanik üretimin büyük öneme sahip olduğu 2. Dünya savaşı döneminde, üretim sürecinin tekrarlanabilir olması ve ürünlerin tasarımlı yapan kişi dışında da anlaşılabilir yapıda olması için eğrisel formların matematiksel olarak ifade edilebilmesi için çalışmaları yapılmaya başlanmıştır. Bu alanda yapılan çalışmaların başında polinom fonksiyonları gelmiştir. Polinom fonksiyonlarını, 1959 yılında, Paul de Faget de Casteljau isminde, Citroën'de çalışan bir Fransız otomotiv mühendisi tarafından çıkarılan Bezier eğrileri takip etmiştir. Aynı yıllarda, Renault'da silindir parçalarının kesimi üzerinde incelemeler yapan bir başka Fransız otomotiv mühendisi Pierre Bézier de benzer bir yaklaşımla araştırmalarını sürdürmüştür. 1970 yılında Rich Riesenfeld tarafından geliştirilen ileri seviye B-spline eğrisel fonksiyonları ise bu alandaki en önemli çalışmalardan birisi olmuştur. Çünkü B-spline fonksiyonlarının dönemin gelişmiş fonksiyonlarından Bezier eğrilerine göre önemli avantajları bulunmaktadır. Bu

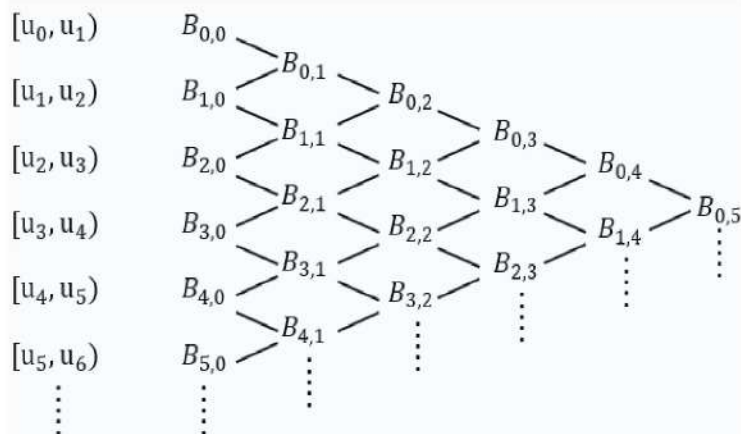
avantajlar şu şekilde özetlenebilir; Bezier eğri fonksiyonlarının derecesi kontrol noktalarının sayısına bağlı olurken B-spline eğrilerinde kontrol noktası sayısı fonksiyonun derecesini etkilememektedir. Bununla beraber Bezier eğrilerinde  $C^1$  sürekliliğin sağlanması kolay olurken  $C^2$  sürekliliğinin sağlanması zorlaşmaktadır.  $C^2$  Süreklliliği ise eğriyi oluşturan parçalı fonksiyonların birinci ve ikinci türevlerinin eşit olması anlamına gelmektedir. Bu durumda en az  $C^2$  sürekliliği gerektiren işlemler için Bezier eğrisinin uygulamasını zorlaştırmaktadır. Bu nedenle eğrinin türevlerinin de önemli olduğu zamanlar B-Spline eğrilerinin kullanılmasının daha uygun olduğunu göstermektedir. Birçok noktada avantaj sağlayan B-spline eğrileri üzerine çalışmalar devam etmiş ve bir kademe daha ileriye giderek NURBS eğrisel fonksiyonları geliştirilmiştir. NURBS eğrilerinin ve yüzeylerinin gerçek zamanlı, etkileşimli olarak oluşturulması ise ilk olarak 1989'da Silicon Graphics iş istasyonlarında ticari olarak sağlanmış ve 1993 yılında, NURBS adı verilen PC'ler için ilk etkileşimli NURBS modelleyicisi, Berlin Teknik Üniversitesi ile işbirliği yapan küçük bir başlangıç şirketi olan CAS Berlin tarafından geliştirilmiştir.

Günümüzde de NURBS eğrileri bilgisayar destekli tasarım ( CAD ), imalat ( CAM ) ve mühendislikte ( CAE ) aktif olarak kullanılmakta ve IGES, STEP, ACIS ve PHIGS gibi çok sayıda endüstriyel dosya standartlarının bir parçası olarak karşımıza çıkmaktadır. NURBS eğrilerinin endüstriyel üretim sürecinin önemli yapı taşlarından olan CAD, CAM ve CAE tarafından desteklenmesi, CNC tezgâh kontrol ünitesi tarafından tanınan G-kod dosyalarında da kullanılabilmesini sağlamıştır. NURBS eğrilerinin endüstriyel üretim sürecinin tüm aşamalarında kullanılmasının en büyük sebebi, sadece üç parametre (kontrol noktası, düğüm vektörü ve ağırlık vektörü) ile tüm eğrisel fonksiyonların oluşturulabilir olmasıdır. Az parametre ile ileri seviye eğrisel formların tanımlanması, CNC tezgâhlar açısından G-kod dosya boyutunun önemli derecede düşürülmesi yönünden de büyük avantaj sağlamaktadır. Yukarıda belirtildiği gibi bu kadar avantajlı bir yapıya sahip eğrisel fonksiyonların her CNC kontrol ünitesi yerine gelişmiş kontrol ünitelerinde kullanılıyor olması ise matematiksel işlemlerin ağırlığından kaynaklanmaktadır. G06.2 NURBS komutlarının okunmasından tezgâh motorlarına gönderilecek nihai yörüngelerin elde edilmesine kadar çok önemli matematiksel işlem süreci bulunmaktadır. B-spline eğrileri, kontrol noktaları ile tanımlanır ve hedeflenen bir nokta kümesine veya yüzeye yaklaşım

yapmak için kullanılır. Ayrıca noktaların bulunduğu uzaydan bağımsız olarak tanımlanan düğüm vektörü olarak ifade edilen bir parametre uzayına ihtiyaç bulunur [69]. Düğüm vektörü düzgün dağılımlı (uniform) olabileceği gibi, hedef noktaları daha iyi yaklaşım yapmak üzere çeşitli metotlarla düzgün olmayan bir dağılım (nonuniform) şeklinde de tanımlanabilir. NURBS eğrileri ise düğüm vektörlerinin düzgün olmayan bir dağılım gösterdiği ve B-spline eğrilerine ek olarak ağırlık vektörünün bulunduğu eğrilerdir. NURBS eğrilerinin bilgisayar ortamında elde edilmesi için öz yinelemeli bir yapıya sahip Cox-de Boor algoritması kullanılmaktadır. Bir NURBS eğrisi öz yinelemeli formda Denklem (2.27)'de görülen eşitlikle ifade edilmektedir.

$$C_u = \frac{\sum_{i=0}^{n-1} B_{i,p}(u) w_i P_i}{\sum_{i=0}^{n-1} B_{i,p}(u) w_i} \quad (2.27)$$

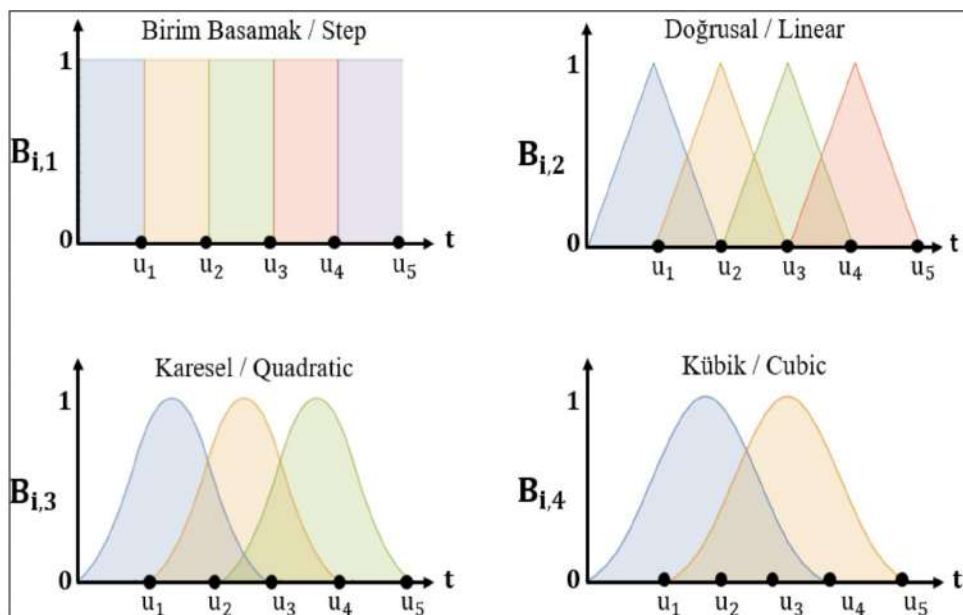
Denklemde,  $u$ : düğüm vektör parametresini,  $C_u$ : düğüm vektör parametresi temelinde elde edilen NURBS eğrisini,  $B$ : öz yinelemeli yapıya sahip baz fonksiyonlarını,  $n$ : kontrol noktası sayısını,  $w$ : ağırlık vektörünü,  $P$ : kontrol noktasını,  $p$ : ise baz fonksiyon derecesini ifade etmektedir. Düğüm vektörü, ağırlık vektörü ve kontrol noktaları bilinen parametreler olduğu için, Denklem (2.27)'de önemli olan parametre, Şekil 2.15'te genel yapısı görülen özyinelemeli baz fonksiyonlarıdır ( $B$ ).



Şekil 2.15. Baz fonksiyonlarının özyinelemeli yapısı

Şekilde görüldüğü üzere baz fonksiyon derecesi arttıkça matematiksel işlem ağırlığı ortaya çıkmakta ve buna bağlı NURBS eğrisinin sürekliliği de artmaktadır. NURBS eğrisinin sürekliliğinin artması eğrinin türevleri açısından olumlu sonuç verirken,

matematiksel işlem ağırlığı açısından da olumsuz bir durum ortaya çıkarmaktadır. Bu nedenle NURBS eğrisinin devamlılığı ve matematiksel işlem ağırlığı arasında optimum bir baz fonksiyon derecesi belirlemek gerekmektedir. Baz fonksiyonlarının fonksiyon derecesine göre nasıl değiştiğini göstermek için beş düğüm vektörü üzerinden, birinci derece (step), ikinci derece (linear), üçüncü derece (quadratic) ve üçüncü derece (cubic) baz fonksiyonları Şekil 2.16'da örnek olarak gösterilmiştir. Şekilde görüldüğü üzere fonksiyon derecesi arttıkça düğüm vektörleri arasında oluşan eğri sayısı azalmakta ve eğrilerin sürekliliği artmaktadır. CNC tezgâhlarının kontrolünde kesici takım hız, ivme ve jerk parametrelerinin kontrol altında tutulabilmesinde, NURBS eğrisinin  $C^2$  sürekliğine sahip olması büyük avantaj sağlamaktadır. NURBS eğrilerinde  $C^2$  sürekliği ise üçüncü derece (cubic) baz fonksiyonları ( $p=4$ ) ile sağlandığı için çalışmanın devamında bütün anlatımlar kübik baz fonksiyonları üzerinden yapılacaktır.



Şekil 2.16. Baz fonksiyon dereceleri

NURBS eğrilerine ilişkin baz fonksiyonları Denklem (2.28)'de görülen öz yinelemeli eşitlikle elde edilmektedir.

$$B_{i,1} = \begin{cases} 1 & t_i \leq t < t_{i+1} \\ 0 & \text{diğer} \end{cases} \quad (2.28)$$

$$B_{i,p}(t) = \frac{t - t_i}{t_{i+p-1} - t_i} B_{i,p-1}(t) + \frac{t_{i+p} - t}{t_{i+p} - t_{i+1}} B_{i+1,p-1}(t)$$

Denklem (2.28)'de görülen genel denklem yapısı, birinci kübik baz fonksiyonu için ( $i=0$  ve  $p=4$ ) Denklem (2.29)'da yer alan yapıya dönüştürmektedir.

$$B_{0,4}(t) = \frac{t - t_0}{t_3 - t_0} B_{0,3}(t) + \frac{t_4 - t}{t_4 - t_1} B_{1,3}(t) \quad (2.29)$$

Denklem (2.29)'un çözümü için gerekli öz yinelemeli parametreler Denklem (2.30)'da görüldüğü gibi elde edilmektedir.

$$\begin{aligned} B_{0,3}(t) &= \frac{t - t_0}{t_2 - t_0} B_{0,2}(t) + \frac{t_3 - t}{t_3 - t_1} B_{1,2}(t) \\ B_{0,2}(t) &= \frac{t - t_0}{t_1 - t_0} B_{0,1}(t) + \frac{t_2 - t}{t_2 - t_1} B_{1,1}(t) \\ B_{1,3}(t) &= \frac{t - t_1}{t_3 - t_1} B_{1,2}(t) + \frac{t_4 - t}{t_4 - t_2} B_{2,2}(t) \\ B_{2,2}(t) &= \frac{t - t_2}{t_3 - t_2} B_{2,1}(t) + \frac{t_4 - t}{t_4 - t_3} B_{3,2}(t) \\ B_{1,2}(t) &= \frac{t - t_1}{t_2 - t_1} B_{1,1}(t) + \frac{t_3 - t}{t_3 - t_2} B_{2,1}(t) \end{aligned} \quad (2.30)$$

Denklem (2.30)'da bulunan eşitlikler, Denklem (2.29)'da kullanılarak Denklem (2.31)'de görülen genel denklem takımı elde edilmektedir.

$$\begin{aligned} B_{0,4}(t) &= \frac{t - t_0}{t_3 - t_0} \left( \frac{t - t_0}{t_2 - t_0} \left( \frac{t - t_0}{t_1 - t_0} + \frac{t_2 - t}{t_2 - t_1} \right) + \frac{t_3 - t}{t_3 - t_1} \left( \frac{t - t_1}{t_2 - t_1} + \frac{t_3 - t}{t_3 - t_2} \right) \right) \\ &\quad + \frac{t_4 - t}{t_4 - t_1} \left( \frac{t - t_1}{t_3 - t_1} \left( \frac{t - t_1}{t_2 - t_1} + \frac{t_3 - t}{t_3 - t_2} \right) + \frac{t_4 - t}{t_4 - t_2} \left( \frac{t - t_2}{t_3 - t_2} + \frac{t_4 - t}{t_4 - t_3} \right) \right) \end{aligned} \quad (2.31)$$

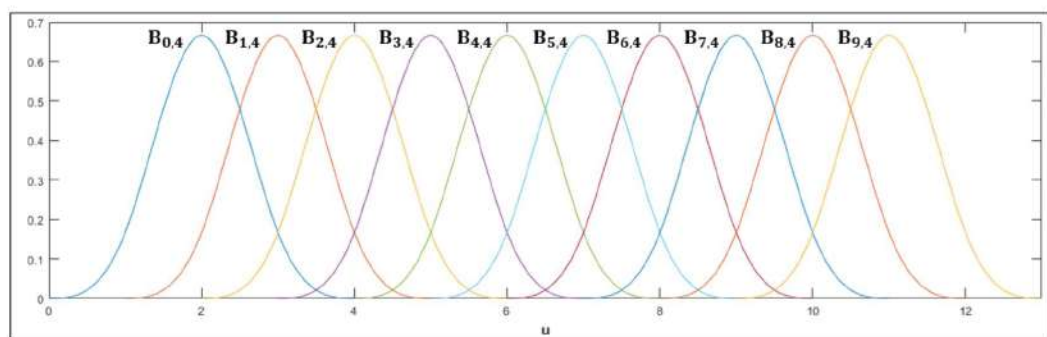
Şekil 2.31'den hatırlanacağı üzere, üçüncü dereceden kübik baz fonksiyonları beş düğüm noktası arasında oluşmakta ve her iki düğüm vektörü arasında ayrı bir fonksiyonla tanımlanmaktadır. Bu nedenle Denklem (2.31)'de yer alan  $B_{0,4}(t)$  fonksiyonu Denklem (2.32)'de görüldüğü gibi beş parçalı fonksiyon yapısına dönüştürmektedir.

$$B_{0,4}(t) = \begin{cases} \frac{(t-t_0)^3}{(t_1-t_0)(t_2-t_0)(t_3-t_0)} & , t_0 \leq t < t_1 \\ \left( \frac{t-t_0}{t_2-t_0} \frac{t_2-t}{t_2-t_1} + \frac{t_3-t}{t_3-t_1} \frac{t-t_1}{t_2-t_1} \right) \frac{t-t_0}{t_3-t_0} + \left( \frac{t-t_1}{t_2-t_1} \frac{t-t_1}{t_3-t_1} \right) \frac{t_4-t}{t_4-t_1} & , t_1 \leq t < t_2 \\ \left( \frac{t_3-t}{t_3-t_1} \frac{t_3-t}{t_3-t_2} \right) \frac{t-t_0}{t_3-t_0} + \left( \frac{t-t_1}{t_3-t_1} \frac{t_3-t}{t_3-t_2} + \frac{t_4-t}{t_4-t_2} \frac{t-t_2}{t_3-t_2} \right) \frac{t_4-t}{t_4-t_1} & , t_2 \leq t < t_3 \\ \frac{(t_4-t)^2}{(t_4-t_1)(t_4-t_2)(t_4-t_3)} & , t_3 \leq t < t_4 \\ 0 & \text{diğer} \end{cases} \quad (2.32)$$

NURBS eğrisine ait düğüm vektör elemanlarının doğrusal artması (uniform) durumunda baz fonksiyonları eş değer olarak elde edilmektedir. Denklem (2.32)'de yer alan eşitlikler, düğüm vektörünün doğrusal artması durumunda  $[0, 1, 2, \dots, n]$  Denklem (2.33) eşitliğine dönüşmektedir.

$$B_{0,4}(t) = \begin{cases} \frac{t^3}{6} & , t_0 \leq t < t_1 \\ \frac{(-3t^3+12t^2-12t+4)}{6} & , t_1 \leq t < t_2 \\ \frac{3t^3-24t^2+60t-44}{6} & , t_2 \leq t < t_3 \\ \frac{-t^3+12t^2-48t+64}{6} & , t_3 \leq t < t_4 \\ 0 & \text{diğer} \end{cases} \quad (2.33)$$

Şekil 2.17'de, Denklem (2.33) yardımıyla bulunan doğrusal artımlı,  $[0, 1, \dots, 13]$  düğüm vektörüne sahip kübik NURBS eğrisine ait baz fonksiyonları örnek olarak verilmiştir.



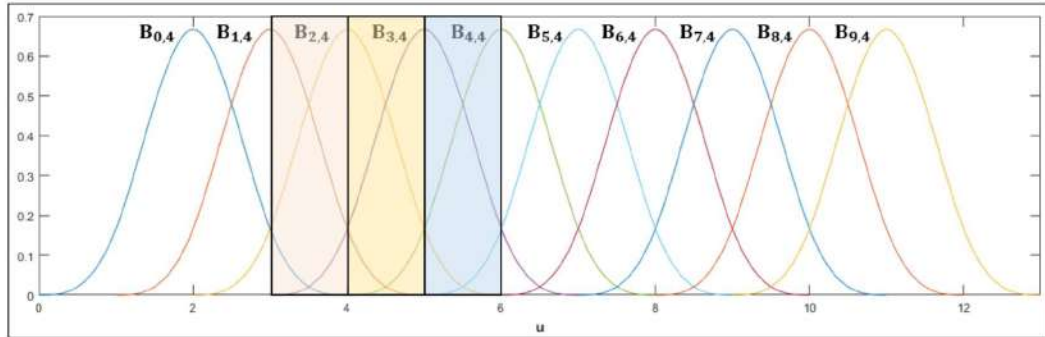
Şekil 2.17. Uniform kübik baz fonksiyonları (düğüm vektörü:  $[0 1 2 3 4 5 6 7 8 9 10 11 12 13]$ )

Baz fonksiyonlarının bulunmasından sonraki işlem ise kontrol noktaları ile baz fonksiyonlarını kullanarak NURBS eğrisinin segmentlerini elde etmektir. Kübik baz

fonksiyonlarına sahip bir NURBS eğrisi, “n-3” tane segmentten oluşmaktadır. Segment fonksiyonları ( $f(t)$ ), Denklem (2.34)'te verilen eşitlikle bulunmaktadır.

$$f(t) = \sum_{i=0}^{n-1} \frac{B_{i,4}(t)(P_i)((w_i))}{(P_i)((w_i))}, \quad t \in [u_3, u_n] \quad (2.34)$$

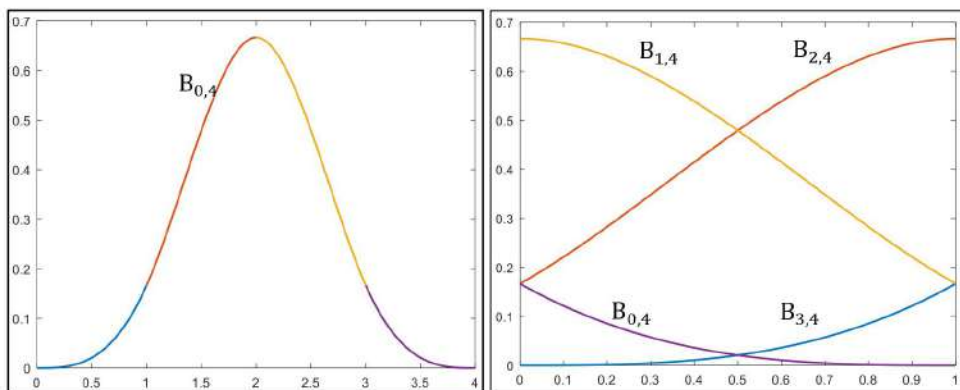
Kübik bir baz fonksiyonu önceki bölümde de belirtildiği gibi dört parçadan oluşmaktadır. NURBS eğrisini oluşturan her bir segment ise ardışık dört baz fonksiyonun birer parçasını kullanarak bulunmaktadır. Şekil 2.18'de taralı alanlarla gösterilmiş, dört farklı baz fonksiyonun dört parçası kübik NURBS eğrisinin bir segmentini oluşturmaktadır.



Şekil 2.18. NURBS eğrisinin segmentlerinin oluşturulması

Şekil 2.32'deki taralı alandaki işlemlerin daha pratik olarak yapılması için Convex Hull özelliği kullanılarak, 0-1 arasında değer alan  $u$  değişkenine göre, Denklem (2.33)'teki eşitlikler, Denklem (2.35)'te görüldüğü gibi tekrar düzenlenmektedir.

$$\begin{aligned} B_{i,4}(u) &= \frac{u^3}{6}, & , u = t, & 0 \leq t < 1 \\ B_{i-1,4}(u) &= \frac{-3u^3 + 3u^2 + 3u + 1}{6}, & , u = t - 1, & 1 \leq t < 2 \\ B_{i-2,4}(u) &= \frac{3u^3 - 6u^2 + 4}{6}, & , u = t - 2, & 2 \leq t < 3 \\ B_{i-3,4}(u) &= \frac{(1-u)^3}{6}, & , u = t - 3, & 3 \leq t < 4 \end{aligned} \quad (2.35)$$



Şekil 2.19. NURBS eğrisinin Convex Hull özelliği

Şekil 2.32'de görülen bir baz fonksiyonunun ( $B_{0,4}$ ) dört parçası ve yine Şekil 2.32'deki birinci taralı alanın, Convex Hull özelliği kullanılarak 0-1 arasında değer alan  $u$  parametresine göre nasıl oluşturulduğu Şekil 2.19'da örnek olarak verilmiştir

Son olarak elde edilen parçalı fonksiyonlar, Denklem (2.36)'da görüldüğü gibi sırasıyla NURBS eğrisine ait kontrol noktaları ile işleme alınarak  $u$  parametresi temelli segment fonksiyonlarına ( $f_i(u)$ ) ulaşılmaktadır.

$$f_i(u) = \sum_{j=0}^3 \frac{B_{i-3+j}(u)(P_{i-3+j})(w_{i-3+j})}{(P_{i-3+j})(w_{i-3+j})}, \quad u \in [0,1], \quad i \in [3, n-1] \quad (2.36)$$

Denklem (2.35)'te görülen eşitlik doğrusal artımlı baz fonksiyonları için Denklem (2.37) ile matris formda da ifade edilebilmektedir. Kübik baz fonksiyonları olmasından dolayı Denklem 2.37'de fonksiyon derecesi ve  $i$  değeri 3 olarak alınmıştır. Baz fonksiyon derecesi arttıkça matris ve vektör boyutları da artış göstermekte ve dolayısıyla segment fonksiyonlarının işlem yoğunluğu artmaktadır.

$$f_i(u) = \frac{1}{6} (u^3, u^2, u, 1) \begin{pmatrix} -1 & 3 & -3 & 1 \\ 3 & -6 & 3 & 0 \\ -3 & 0 & 3 & 0 \\ 1 & 4 & 1 & 0 \end{pmatrix} \begin{pmatrix} P_{i-3} \\ P_{i-2} \\ P_{i-1} \\ P_i \end{pmatrix}, \quad i \in [3, n-1] \quad (2.37)$$

Baz fonksiyonlarının doğrusal artımlı düğüm vektörüne sahip olması durumunda farklı derecelerden NURBS eğrilerini de Denklem (2.38)'de görüldüğü gibi matris formda yazmak mümkün olmaktadır.

$$f_i^p(u) = \frac{1}{6} (u^{p-1}, u^{p-2}, \dots, u^1, 1) M \begin{pmatrix} p_{i-p-1} \\ p_{i-p} \\ \vdots \\ p_{i-1} \\ p_i \end{pmatrix}, i \in [p-1, n-1]$$

$$M = \begin{bmatrix} m_{0,0} & \cdots & m_{0,p-1} \\ \vdots & \ddots & \vdots \\ m_{p-1,0} & \cdots & m_{p-1,p-1} \end{bmatrix} \quad (2.38)$$

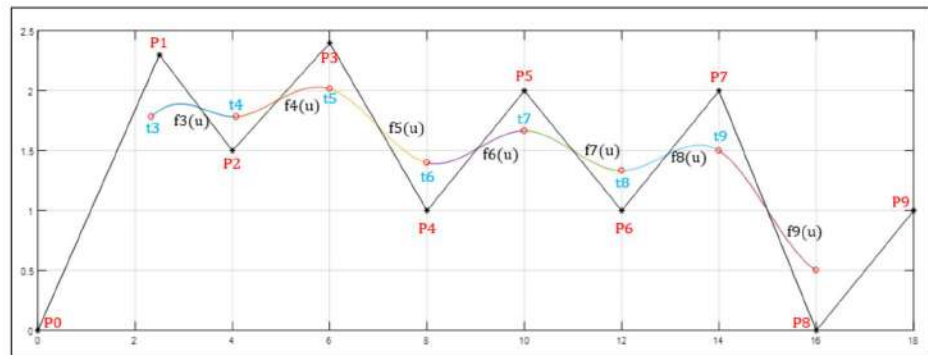
$$m_{i,j} = \frac{1}{(p-1)!} \binom{p-1}{i} \sum_{k=j}^{p-1} (p-1-k)^i (-1)^{k-j} \binom{p}{k-j}$$

Şekil 2.17'de görülen baz fonksiyonları, Denklem (2.39)'da verilen kontrol noktaları ve Denklem (2.40)'ta yer alan ağırlık vektörü ile işleme alınarak, X-Y uzayında Şekil 2.20'de görüldüğü gibi örnek bir NURBS eğrisi elde edilmiştir.

$$X \text{ Kontrol Noktası: } [0, 2.5, 4.0, 6.0, 8.0, 10.0, 12.0, 14.0, 16.0, 18.0] \quad (2.39)$$

$$Y \text{ Kontrol Noktası: } [0, 2.3, 1.5, 2.4, 1.0, 2.0, 1.0, 2.0, 0.0, 1.0]$$

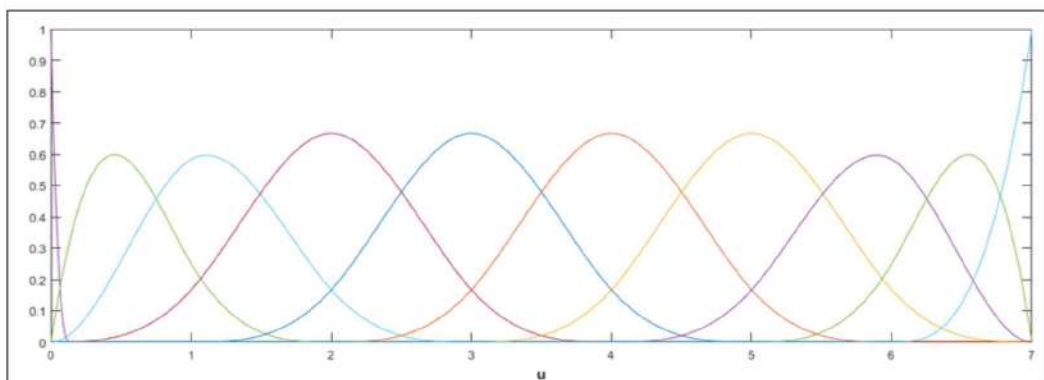
$$W: [1.0, 1.0, 1.0, 1.0, 1.0, 1.0, 1.0, 1.0, 1.0] \quad (2.40)$$



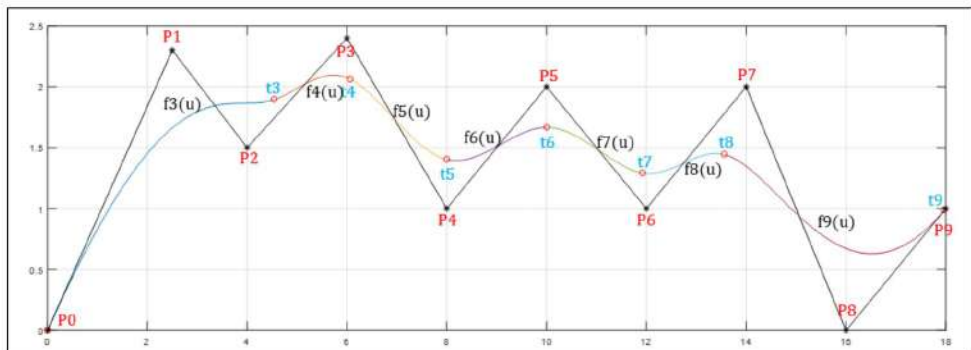
Şekil 2.20. Yedi segmentli NURBS eğrisi (uniform baz fonksiyonlu)

Şekil 2.20'de görüldüğü üzere on kontrol noktası için yedi tane kubik segment fonksiyonları ardışık olarak birleşerek NURBS eğrisini oluşturmuşlardır. Bir NURBS eğrisinin düğüm vektörünün değişmesi sonucunda kontrol noktaları aynı kalsa da eğrinin fonksiyonu değişmektedir. Şekil 2.21'de, Şekil 2.20'deki NURBS eğrisi ile aynı kontrol noktalarına fakat farklı düğüm vektörüne sahip bir NURBS eğrisine ait baz fonksiyonları, Şekil 2.22'de ise segmentlerin toplamı sonucu ortaya çıkan NURBS

eğrisi verilmiştir. Yeni oluşturulan baz fonksiyonları, Şekil 2.21'de dikkat edileceği üzere eş değer değildir. Bunun nedeni düğüm vektörünün doğrusal artımlı (uniform) değil düzensiz artan (non-uniform) yapıda olmasından kaynaklanmaktadır. Ayrıca kübik NURBS eğrisinin ilk ve son dört düğüm vektör elemanının aynı olması durumunda NURBS eğrisinin başlangıç ve bitiş noktaları Şekil 2.20'deki NURBS eğrisinin aksine kontrol noktaları ile kesiştiği görülmektedir (Şekil 2.22).



Şekil 2.21. Nonuniform kübik baz fonksiyonları (düğüm vektörü: [0 0 0 0 1 2 3 4 5 6 7 7 7 7])

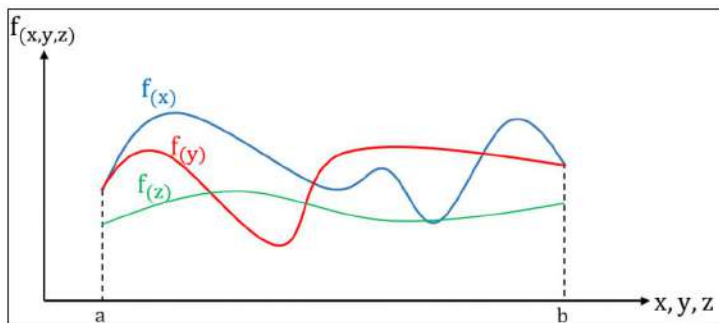


Şekil 2.22. Yedi segmentli NURBS eğrisi (nonuniform baz fonksiyonlu)

### 2.3.2. NURBS eğrisinin boyu

Doğrusal ve dairesel hareketlerde olduğu gibi NURBS eğrisel hareketlerde de kartezyen uzaydaki X-Y-Z eksen yörüngeleri hareket boyuna göre üretilmektedir. Bu nedenle eğrisel yörüngenin kartezyen uzaydaki hareket miktarının hesaplanması gereklidir. Örneğin X-Y-Z uzayında oluşan eğrisel bir hareketin eksen yörüngeleri Şekil 2.23'te görüldüğü gibi varsayılmı. Bu eğrisel hareketin boyu normalde Denklem (2.41) eşitliği ile bulunabilmektedir. Fakat NURBS eğrisinin çok sayıda parçalı

fonksiyondan oluşması eğri boyunun analitik olarak Denklem (2.41) ile hesaplanması zorlaştırmaktadır.



Şekil 2.23. a-b zaman aralığında eksen fonksiyonları

$$L = \int_a^b \sqrt{f'(x)^2 + f'(y)^2 + f'(z)^2} \quad (2.41)$$

NURBS eğrisinin yapısı gereği oluşan hesaplama yoğunluğunun önüne geçilmesi için literatürde sayısal (numerical) eğri boyu hesaplama yöntemleri önerilmiştir. Bu sayısal yöntemlerin en başında ise Simpson kuralı gelmektedir [70]. Literatürdeki çalışmalara bakıldığından Simpson fonksiyonun daha çok B-spline eğrilerinin boy hesabında kullanıldığı görülmektedir. Fakat NURBS eğrilerinde bulunan ağırlık vektörü (özellikle yüksek ağırlık değerlerinde) Simpson kuralının hesaplama performansını olumsuz etkilediği gözlemlenmiştir. Bu nedenle tez çalışmasında NURBS eğrisinin boy hesabında Kompozit Simpson Kuralı (Composite Simpson's Rule) kullanılmaktadır. Aslında Kompozit Simpson Kuralı, bir fonksiyona aralıklı (sayısal) integrasyon işlemi uygulanmasını sağlamaktadır. Eğrinin boy hesabı için kullanılan Denklem (2.41)'deki eşitliğin sürekli değil de aralıklı parametrelerle hesaplanabilmesinde sayısal integrasyon yöntemlerinden birisi olan Kompozit Simpson Kuralının kullanılması büyük avantaj sağlamaktadır. Kompozit Simpson fonksiyonu S(f, h) ile ifade edilmekte ve Denklem (2.42)'de yer alan eşitlikle tanımlanmaktadır.

$$S(f, h) = \frac{h}{3} \sum_{k=1}^{M/2} (f(x_{2k-2}) + 4f(x_{2k-1}) + f(x_{2k})) \quad (2.42)$$

Denklemde;  $h = \frac{(b-a)}{2M}$ ,  $x_k = a + kh$ ,  $k = 0, 1, \dots, 2M$  olarak kabul edilmektedir.

Denklem (2.42)'deki eşitlikle genişletilirse,  $S(f, h)$  fonksiyonu Denklem (2.43)'e dönüşmektedir.

$$S(f, h) = \frac{h}{3} (f_0 + 4f_1 + 2f_2 + 4f_3 + \dots + 2f_{2M-2} + 4f_{2M-1} + f_{2M})$$

$$S(f, h) = \frac{h}{3} (f_a + f_b) + \frac{2h}{3} \sum_{k=1}^{M-1} f(x_{2k}) + \frac{4h}{3} \sum_{k=1}^M f(x_{2k-1}) \quad (2.43)$$

Denklem (2.43)'te yer alan son eşitlik, bir fonksiyonun  $2M$  kadar aralıklara bölünmesi sonucu ortaya çıkan integrasyon hesabıdır. Dolayısıyla Denklem (2.44)'te görüldüğü gibi sürekli integral işlemini temsil etmektedir.

$$\int_a^b f(x) dx \approx S(f, h) \quad (2.44)$$

Denklem (2.41) üzerinden belirtildiği üzere NURBS eğrisinin boy hesabı için eğrinin türev fonksiyonlarına ihtiyaç vardır. NURBS eğrisine ait kübik baz fonksiyon türev eşitlikleri Denklem (2.45)'te görüldüğü gibi elde edilmektedir.

$$B'_{0,4}(t) = \begin{cases} \frac{3t^2 - 6t(t_0) + 3t_0^2}{(t_1 - t_0)(t_2 - t_0)(t_3 - t_0)} \\ \frac{2t_2 t - 3t^2 - 2t_0 t_2 + 4t t_0 - t_0^2}{(t_2 - t_0)(t_2 - t_1)(t_3 - t_0)} + \frac{2tt_3 - 3t^2 - t_0 t_3 + 2t t_0 - t_0 t_3 + 2tt_1 - t_1 t_0}{(t_3 - t_1)(t_2 - t_1)(t_3 - t_0)} + \frac{2tt_4 - 3t^2 + 2t_1 - t_1^2}{(t_2 - t_1)(t_3 - t_1)(t_4 - t_1)} \\ \frac{t_3^2 - 4t_3 + 2t_3 t_0 + 3t^2 - 2t t_0}{(t_3 - t_1)(t_3 - t_2)(t_3 - t_0)} + \frac{t_3 t_4 - 2t t_3 + t_1 t_3 - 2t t_4 + 3t^2 + t_1 t_4 - 2t t_1}{(t_3 - t_1)(t_3 - t_2)(t_4 - t_1)} + \frac{t_4^2 - 4t t_4 + 2t_2 t_4 + 3t^2 - 2t t_2}{(t_4 - t_2)(t_3 - t_2)(t_4 - t_1)} \\ \frac{-3t_4^2 + 6t t_4 - 3t^2}{(t_4 - t_2)(t_4 - t_3)(t_4 - t_1)} \\ 0 \end{cases} \quad (2.45)$$

Her iki düğüm vektörü arasında kalan taralı alan fonksiyonları ise Denklem (2.46)'da gösterilmiştir.

$$B'_{i,4}(u) = \frac{-3u_4^2 + 6u \cdot u_4 - 3u^2}{(u_4 - u_2)(u_4 - u_3)(u_4 - u_1)} \quad (2.46)$$

$$B'_{i-1,4}(u) = \frac{u_3^2 - 4u_3 + 2u_3u_0 + 3u^2 - 2u(u_0)}{(u_3 - u_1)(u_3 - u_2)(u_3 - u_0)} \\ + \frac{u_3u_4 - 2u(u_3) + u_1u_3 - 2u(u_4) + 3u^2 + u_1u_4 - 2u(u_1)}{(u_3 - u_1)(u_3 - u_2)(u_4 - u_1)} \\ + \frac{u_4^2 - 4u(u_4) + 2u_2u_4 + 3u^2 - 2u(u_2)}{(u_4 - u_2)(u_3 - u_2)(u_4 - u_1)}$$

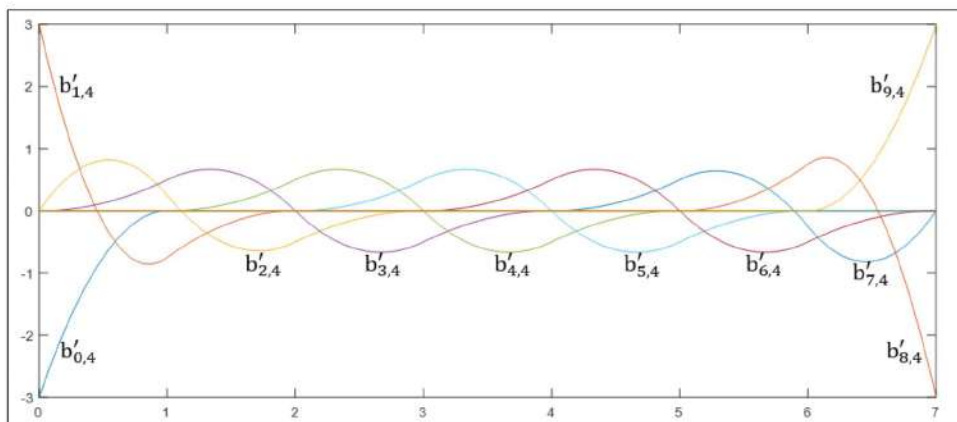
$$B'_{i-2,4}(u) = \frac{2u_2u - 3u^2 - 2u_0u_2 + 4u(u_0) - u_0^2}{(u_2 - u_0)(u_2 - u_1)(u_3 - u_0)} \\ + \frac{2u(u_3) - 3u^2 - u_0u_3 + 2u(u_0) - u_0u_3 + 2u(u_1) - u_1u_0}{(u_3 - u_1)(u_2 - u_1)(u_3 - u_0)} \\ + \frac{2u(u_4) - 3u^2 + 2u_1 - u_1^2}{(u_2 - u_1)(u_3 - u_1)(u_4 - u_1)}$$

$$B'_{i-3,4}(u) = \frac{3u^2 - 6u(u_0) + 3u_0^2}{(u_1 - u_0)(u_2 - u_0)(u_3 - u_0)}$$

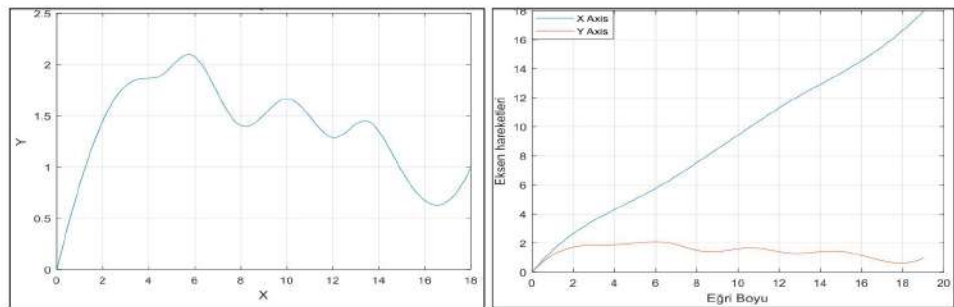
Son olarak baz fonksiyon türevleri üzerinden segment fonksiyonlarının türevleri hesaplanarak NURBS eğrisinin boy bilgisine ulaşılmaktadır.

$$f'_i(u) = \sum_{j=0}^3 \frac{B'_{i-3+j}(u)(P_{i-3+j})(w_{i-3+j})}{(P_{i-3+j})(w_{i-3+j})}, \quad u \in [u_0, u_n], i \in [3, n-1] \quad (2.47)$$

Denklem (2.46)'da yer alan fonksiyonlar kullanılarak, Şekil 2.21'deki baz fonksiyonlarının türevleri Şekil 2.24'te görüldüğü gibi bulunmuştur. Bu türev fonksiyonları Kompozit Simpson fonksiyonunda kullanılarak, Şekil 2.25-a'da görülen NURBS eğrinin boyu 19.02 mm olarak hesaplanmıştır. Bu boy bilgisi kullanılarak eksen hareketleri Şekil 2.25-b'de görüldüğü gibi elde edilmiştir.

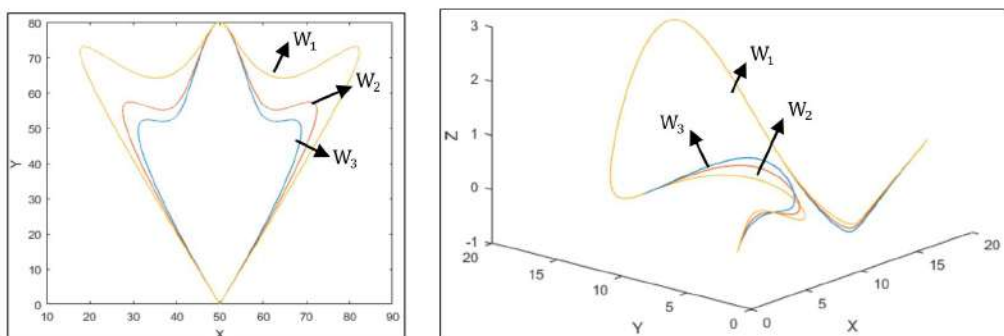


Şekil 2.24. Kübik baz fonksiyonlarının türev fonksiyonları



Şekil 2.25. (a) NURBS eğrisi (b) NURBS eğri boyuna karşılık gelen eksen hareketleri

Ayrıca klasik Simpson fonksiyonunun boy hesaplama performansının ağırlık vektör etkisinden dolayı olumsuz etkilendiği belirtilmiştir. Bu durumun doğrulanması için klasik Simpson ve Komposit Simpson fonksiyonlarının eğri boyu hesaplama performansları Şekil 2.26'da yer alan NURBS eğrileri üzerinden karşılaştırılmıştır.



Şekil 2.26. Ağırlık vektörünün NURBS eğrisine etkisi (a) X-Y uzayı (b) X-Y-Z uzayı

X Kontrol Noktası: [50, 100, 60, 50, 40, 0, 50]

Y Kontrol Noktası: [0, 100, 40, 100, 40, 100, 0]

Z Kontrol Noktası: [0, 0, 0, 0, 0, 0, 0]

Düğüm Vektörü: [0 0 0 0 0.25 0.5 0.75 1 1 1 1] (2.48)

W1: [1 1 1 1 1 1 1]

W2: [1 1 5 5 5 1 1]

W3: [1 1 10 10 10 1 1]

Şekil 2.26'da görüleceği üzere her grafikte üç farklı NURBS eğrisi bulunmaktadır. Ağırlık vektörü etkisiyle boy hesaplama performanslarının nasıl etkilendiğini görmek için, kontrol noktaları ve düğüm vektörleri aynı fakat ağırlık vektörleri farklı eğriler kullanılmıştır. Şekil 2.40-a'da yer alan X-Y uzayındaki NURBS eğrilerinin parametreleri Denklem (2.48)'de, Şekil 2.40-b'de bulunan X-Y-Z uzayındaki NURBS eğrilerinin parametreleri ise Denklem (2.49)'da verilmiştir.

X Kontrol Noktası: [0, 0, 6, 4, 1, 5, 11, 15, 12, 10, 16]

Y Kontrol Noktası: [1, 0, 0, 2, 11, 16, 16, 11, 2, 0, 0]

Z Kontrol Noktası: [0, 1, 0, 2, 0, 0, 4, 0, -1, 0, 1]

Düğüm Vektörü: [0 0 0 0 0.125 0.25 0.375 0.5 0.625 0.75 0.875 1 1 1 1] (2.49)

W1: [1 1 1 1 1 1 1 1 1 1 1 1]

W2: [1 2 2 1 1 1 1 1 1 2 2 1]

W3: [1 5 5 1 1 1 1 1 1 5 5 1]

Tablo 2.4. NURBS eğri boylarının karşılaştırılması

	<b>Gerçek Boy</b>	<b>Kompozit Simpson</b>	<b>Klasik Simpson</b>
<b>Şekil 2.26-(a): W1</b>	244.9780	245.0427	246.1188
<b>Şekil 2.26-(a): W2</b>	200.6809	200.7528	197.6788
<b>Şekil 2.26-(a): W3</b>	186.7727	186.8131	181.8085
<b>Şekil 2.26-(b): W1</b>	47.8306	47.9098	48.6394
<b>Şekil 2.26-(b): W2</b>	48.8923	49.0004	50.4720
<b>Şekil 2.26-(b): W3</b>	50.1599	50.2316	52.9810

Şekil 2.26'da bulunan altı farklı NURBS eğrisi için hesaplanan gerçek boy değerleri ile klasik ve kompozit Simpson yöntemlerinden elde edilen boy değerleri Tablo 2.4'te verilmiştir.

$$L = \sum_{i=1}^{k-1} \sqrt{(x(i+1) - x(i))^2 + (y(i+1) - y(i))^2 + (z(i+1) - z(i))^2} \quad (2.50)$$

Tabloda verilen gerçek boy değerleri ( $L$ ), NURBS eğrisinin mikro parçalara ayrıldıktan sonra Denklem (2.50) eşitliği kullanılarak hesaplanmıştır. Denklemde  $k$ , NURBS eğrisini bölünmüş parça sayısını,  $x$ ,  $y$  ve  $z$  değerleri ise kartezyen uzayda ilgili eksenlerde oluşan vektörleri temsil etmektedir.

#### 2.4. G05.1 Hassas İşleme Komutu

CNC tezgâhlarında G01 komutları, önceki bölümlerde de belirtildiği üzere iki farklı amaçla kullanılmaktadır. G01 komutunun öncelikli görevi noktadan noktaya doğrusal hareket yapmaktadır. Bir diğer önemli görevi ise eğrisel bir hareketin mikro boylardaki parçalarını oluşturmaktır. Eğer CAM programında veya CNC kontrol ünitesinde NURBS işleme desteği yoksa ürün üzerinde işlenmesi gereken hassas yörüngeler, CAM tarafından parçalara bölünerek G-kod dosyasında G01 komutları üzerinden verilmektedir. Hassas (eğrisel) bir yörüngenin hangi parça boyalarında bölünmesi gerektiğini kararını CAM programı vermektedir. Fakat tüm CAM programları için ortak olan durum ise, G-kod dosyasının boyutunu çok artırmayacak şekilde bölme işleminin gerçekleştirilmesi olacaktır. Çünkü parça sayısının ürün üzerinde hassaslığı sağlamak için çok fazla olması, G-kod dosyasının boyutunu önemli derecede artıracaktır. Bu doğrultuda eğrisel bir yörüngeyi yüksek hassasiyette ifade edemese de parça sayısının optimum seviyede olması gerekmektedir. Bu nedenle eğrisel bir yörüngenin parçalarının yer aldığı bir G-kod dosyasındaki G01 komutlarını kullanarak hassas (pürüzsüz) bir yüzey elde etmek mümkün olmamaktadır. Ayrıca çok sayıda ardışık doğrusal hareketin tezgâhın titreşimli veya dur/kalk yaparak çalışmasına neden olması da dikkat edilmesi gereken diğer önemli bir sorun olarak karşımıza çıkmaktadır. Gelişmiş endüstriyel CNC tezgâhlarında parçalı G01 komutlarının hassas yörüngeye dönüştürilebilmesi için G05.1 komutu kullanılmaktadır. Bu komut, G-kod dosyası içinde bir analiz yapılması gerektiğini ve gerekli bölgelerde G01 komutları ile verilen noktaların bir nokta bulutu olarak kabul edilip bu nokta bulutunun eğrisel bir yörüngeye dönüştürülmesi gerektiğini ifade etmektedir. Bu nedenle G05.1 komutuna ilişkin net bir matematiksel fonksiyon tanımı bulunmamaktadır. G-kod dosya analizinin nasıl yapılacağı veya oluşturulan nokta bulutunun hangi yöntemlerle eğrisel

yörüngelere dönüştürüleceği CNC kontrol ünitesi içindeki yazılımın özeline kalmaktadır. Literatürde CNC tezgâhlarında eğri uydurma yöntemlerine ilişkin yapılmış çalışmalar Bölüm 1.1'de verilmiştir. Fakat eğri uydurma işleminden önce yapılması gereken analiz işlemlerine bu çalışmalarda degenilmemiştir. Bu durumun en önemli sebebi ise akademik çalışmalar da endüstriyel G-kod dosyaları değil de daha çok kıyaslama (benchmark) dosyalarının kullanılmasıdır [71-92]. Kıyaslama dosyalarının gerçek uygulama dosyalarına göre çok küçük boyutta olması ve bu dosyalarda doğrudan nokta bulutlarının yer aldığı bilinmesinden dolayı herhangi bir analiz işlemine gerek duyulmamaktadır.

Tez çalışması kapsamında, endüstriyel CNC tezgâhı üzerinde endüstriyel G-kod dosyaları ile gerçek uygulamalar yapacağı için G05.1 komutuna ilişkin G01 komutlarının hangi amaçla kullanıldığına yönelik özgün analiz algoritması geliştirilmiştir. Bu yöntem sonucuna göre elde edilen nokta bulutları ise NURBS eğrilerine dönüştürülerek hassas yörüngeler üretilmiştir.

#### 2.4.1. G1 nokta bulutu analizi

Ardışık G01 doğrusal hareketlerin G-kod dosyası içinde analiz edilmesi için  $P_0$  ve  $P_1$  noktaları arasındaki doğrusal hareket uzunluk değeri ( $L_{seg}$ ) ve iki ardışık doğrusal hareket arasında üç boyutlu uzayda oluşan açı değeri ( $\theta$ ) bilgileri kullanılmaktadır. Doğrusal hareket uzunluk değeri ( $L_{seg}$ ) Denklem (2.51) kullanılarak bulunmaktadır.

$$L = \sum_{i=1}^{k-1} \sqrt{(x(i+1) - x(i))^2 + (y(i+1) - y(i))^2 + (z(i+1) - z(i))^2} \quad (2.51)$$

Denklemde,  $(x_1, y_1, z_1)$  birinci doğrusal hareketin bitiş noktasını,  $(x_2, y_2, z_2)$  ise ikinci doğrusal hareketin bitiş noktasını ifade etmektedir. İki ardışık doğrusal hareket arasında üç boyutlu uzayda oluşan açı değeri ( $\theta$ ) ise Denklem (2.52) eşitliliği ile hesaplanmaktadır.

$$\theta_{(deg)} = 180 - \left( \cos^{-1} \left( \frac{(dx_{10} dx_{21}) + (dy_{10} dy_{21}) + (dz_{10} dz_{21})}{\sqrt{dx_{10}^2 + dy_{10}^2 + dz_{10}^2} * \sqrt{dx_{21}^2 + dy_{21}^2 + dz_{21}^2}} \right) \right) \frac{180}{\pi} \quad (2.52)$$

$$\mathbf{dx_{10}} = x_1 - x_0, \mathbf{dy_{10}} = y_1 - y_0, \mathbf{dz_{10}} = z_1 - z_0$$

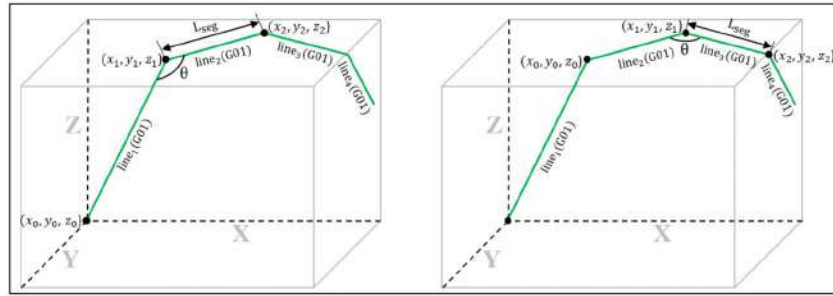
$$\mathbf{dx_{21}} = x_2 - x_1, \mathbf{dy_{21}} = y_2 - y_1, \mathbf{dz_{21}} = z_2 - z_1$$

Tablo 2.5. Nokta bulutu analiz algoritması

Step	Function PolyLineAnalyze ( $x_0, y_0, z_0, x_1, y_1, z_1, x_2, y_2, z_2$ , thrshldL, thrshldA)
1	Compute: Length of Line (output: $L_{seg}$ ) go step 2
2	Check: $L_{seg} \leq \text{thrshldL}$ IF Yes: go step 3 IF No: go step 5
3	Check: Is it first Line? IF Yes: go step 6 IF No: go step 4
4	Compute: Angle of Two Line (output: angle) Check: angle $\leq \text{thrshldA}$ IF Yes: go step 6 IF No: go step 5
5	Create: G01 Line from $(x_1, y_1, z_1, x_2, y_2, z_2)$ Check: Buffer List $\geq 4$ IF Yes: go step 8 IF No: Check: Buffer List $\geq 1$ IF Yes: go step 7 IF No: go step 9
6	Check: lengthBufferList $\leq \text{maxBufferList}$ IF Yes: Add $(v_{1x}, v_{1y}, v_{1z})$ to BufferList IF No: go step 8
7	(Separate BufferList) Create: G01 Lines as many as the number of BufferList Clear: BufferList go step 9
8	Create: PolyLine Group from BufferList for NURBS Clear: BufferList go step 9
9	Break Function

Oluşturulan nokta bulutları kübik NURBS eğrilerine dönüştürüleceği için en az dört doğrusal hareket parçası gereklidir. Bu nedenle hareket uzunluğu ve açı kriterlerine uygun elde edilen nokta bulutu sayısının dörtten az olmaması kontrol edilmelidir. Nokta bulutu ardisık doğrusal parçalardan oluştuğu için önerilen yöntemde nokta bulutu “polyline” olarak isimlendirilmektedir. Hareket uzunluk ve açı eşik değerleri ise thrshldL ve thrshldA değişkenleri ile tanımlanmıştır. Nokta bulutunun eğrisel yörüngelere dönüştürülmesinde matris işlem yükünün kontrol altında tutulması için analiz sürecinde kriterlere uyan doğrusal parça bilgileri bir buffer listesinde tutulmaktadır. Buffer kapasitesi eşik değerini aşması durumunda ise buffer içindeki noktalar eğrisel yörüngelere dönüştürülür ve yeni bir nokta bulutu oluşumuna başlanır. Ayrıca analiz işlemi sürerken G01 dışında bir hareket komutu ile karşılaşılması durumunda mevcut nokta bulutu listesi sonlandırılır ve yeni listeye başlanmaktadır.

Yukarıda verilen bilgiler ve analiz sürecinde oluşabilecek tüm olasılıklar düşünülerek Tablo 2.5'te görülen algoritma temeli kurulmuştur. Önerilen yöntemin daha net anlaşılmasına için analiz sürecinin bir ve ikinci işlem adımı açıklayıcı bir örnek üzerinden Şekil 2.27'de gösterilmiştir.



Şekil 2.27. Nokta bulutu analizi işlem adımları

Yapılan analiz işlemi sonunda hassas işlenmesi gereken bölgelerdeki nokta bulutlarını kullanarak kübik NURBS eğrileri oluşturulmaktadır. Önceki bölümde belirtildiği üzere NURBS eğrileri için kontrol noktası, düğüm vektörü ve ağırlık vektörü bilgilerine ihtiyaç vardır. Bu doğrultuda öncelikle nokta bulutu içindeki verilerden kontrol noktası ve düğüm vektörü değerleri hesaplanmaktadır. Nokta bulutu içindeki veri noktaları ( $Q_i$ ) ile NURBS parametreleri arasındaki ilişki Denklem (2.53)'te verilmiştir.

$$C_{(t_k)} = Q_i = \frac{\sum_{i=0}^{n-1} B_{i,p}(t_i) w_i P_i}{\sum_{i=0}^{n-1} B_{i,p}(t_i) w_i} \quad (2.53)$$

Denklemde ağırlık vektörü birim vektör olarak kabul edildiği için, bilinmeyen parametreler baz fonksiyonları ( $B_{i,p}(t_i)$ ) ve kontrol noktalarıdır ( $P_i$ ). Bu doğrultuda kontrol noktası, baz fonksiyonları ve veri noktaları arasında, Denklem (2.54)'te yer alan matris formdaki eşitlik kurulmaktadır.

$$P = ([B]^T [B])^{-1} [B]^T [Q] \quad (2.54)$$

Denklemde yer alan  $B$ ,  $P$  ve  $Q$  parametreleri Denklem (2.55)'te görülen matris formuna sahiptirler.

$$B = \begin{bmatrix} 1 & 0 & 0 & \dots & 0 \\ B_{0,p}(t_1) & B_{1,p}(t_1) & B_{2,p}(t_1) & \dots & B_{n-2,p}(t_1) \\ B_{0,p}(t_2) & B_{1,p}(t_2) & B_{2,p}(t_2) & \dots & B_{n-2,p}(t_2) \\ \vdots & \vdots & \vdots & \ddots & \vdots \\ B_{0,p}(t_{n-2}) & B_{1,p}(t_{n-2}) & B_{2,p}(t_{n-2}) & \dots & B_{n-2,p}(t_{n-2}) \\ 0 & 0 & 0 & \dots & 1 \end{bmatrix} \quad (2.55)$$

$$P = \begin{bmatrix} P_0 \\ P_1 \\ P_2 \\ \vdots \\ P_{n-2} \\ P_{n-1} \end{bmatrix}, Q = \begin{bmatrix} Q_0 \\ Q_1 \\ Q_2 \\ \vdots \\ Q_{n-2} \\ Q_{n-1} \end{bmatrix}$$

Denklem (2.54) çözümünde, öncelikle baz fonksiyonlarının oluşturulması için gerekli düğüm vektörleri ve Denklem (2.55)'te baz fonksiyonları içinde kullanılan ( $t_0 \dots t_{n-1}$ ) değişkenlerinin bulunması gereklidir. Veri noktaları üzerinden düğüm vektörleri ve ( $t_0 \dots t_{n-1}$ ) değişkenlerinin tespitine yönelik farklı yöntemler bulunmaktadır.

#### 2.4.2. Düzgün dağılımlı (uniform) düğüm vektörü yöntemi

Düzgün dağılımlı yönteminde, ( $t_0 \dots t_{n-1}$ ) değişkenleri  $[0, 1]$  veya  $[a, b]$  arasında düzgün dağılımlı olarak değer almaktadır.

$$t_0 = 0$$

$$t_i = \frac{i}{n-1} \quad , \quad i \in [1, n-2] \quad (2.56)$$

$$t_{n-1} = 1$$

Aralığın  $[0, 1]$  olması durumunda Denklem (2.56),  $[a, b]$  olması durumunda ise Denklem (2.57)'de verilen eşitlikler kullanılmaktadır.

$$t_0 = a$$

$$t_i = (a + i) \frac{(b - a)}{n - 1} \quad , \quad i \in [1, n-2] \quad (2.57)$$

$$t_{n-1} = b$$

Denklem (2.56) ve (2.57)'de görüldüğü üzere, bu yöntem için önemli olan tek parametre veri noktası sayısıdır ( $n$ ). Düğüm vektörleri, veri noktalarından bağımsız bulunduğu için bu yöntem ancak veri noktalarının düzgün dağılımlı olduğu yerlerde etkili sonuç vermektedir. Aksi takdirde nokta bulutu için uydurulan eğri, her veri noktasından geçse dahi ara noktalarda istenmeyen sapmalar oluşturabilmektedir. Hesaplana ( $t_0 \dots t_{n-1}$ ) değişkenlerine bağlı olarak NURBS eğrisine ait düğüm vektörü Denklem (2.58) ile bulunmaktadır. Denklemde NURBS eğrisinin başlangıç ve bitiş veri noktalarından geçmesi için baz fonksiyon derecesine bağlı olarak başlangıç ve bitiş düğüm vektörlerinin 0 ve 1 olmak üzere aynı değerde tekrarlandığı görülmektedir.

$$u_0 = u_1 = \dots = u_{p-1} = 0$$

$$u_{j+p} = \frac{1}{p-1} \sum_{i=j}^{j+p-2} t_i \quad , \quad j \in [1, n-p-1] \quad (2.58)$$

$$u_{n-p} = u_{n-p+1} = \dots = u_{n-1} = 1$$

#### 2.4.3. Universal düğüm vektörü yöntemi

Bu yöntemde ( $t_0 \dots t_{n-1}$ ) değişkenleri yine veri noktalarından bağımsız bulunmaktadır. Fakat düzgün dağılımlı düğüm vektör yönteminden farklı olarak baz fonksiyon derecesi devreye girmektedir (Denklem (2.59)). Bu yöntem düzgün dağılımlı düğüm vektörüne göre daha iyi sonuç verse de, veri noktaları kullanılmadığı için nokta bulutunun yapısına göre bazı bölgelerde yine istenmeyen sapmalar meydana gelebilmektedir. Hesaplana ( $t_0 \dots t_{n-1}$ ) değişkenlerine bağlı olarak NURBS eğrisine ait düğüm vektörleri Denklem (2.58) kullanılarak bulunmaktadır.

$$t_0 = 0$$

$$t_i = \frac{i}{n-p+1} \quad , \quad i \in [1, n-2] \quad (2.59)$$

$$t_{n-1} = 1$$

#### 2.4.4. Kiriş uzunluğuna (chord length) bağlı düğüm vektörü yöntemi

Bu yöntemde her iki veri noktası arasındaki uzunluk miktarı ( $|Q_i - Q_{i-1}|$ ) kiriş uzunluğu ile ifade edilmekte ve tüm veri noktaları arasındaki kiriş uzunlukları toplamı Denklem (2.60) eşitliği ile bulunmaktadır.

$$L = \sum_{i=1}^{n-1} |Q_i - Q_{i-1}| \quad (2.60)$$

$(t_0 \dots t_{n-1})$  değişkenlerinin kiriş uzunluğuna bağlı  $[0, 1]$  arasında normalize edilmesi için  $Q_0$  noktasından  $Q_k$  noktasına kadar olan kiriş uzunlukları Denklem (2.61)'de görüldüğü gibi kiriş uzunlukları toplamına oranlanmaktadır.

$$L_i = \frac{\sum_{i=1}^k |Q_i - Q_{i-1}|}{L} \quad (2.61)$$

Kiriş oranları son olarak, Denklem (2.62)'de kullanılarak  $(t_0 \dots t_{n-1})$  değişken değerleri hesaplanmaktadır. Düğüm vektör değerleri ise  $(t_0 \dots t_{n-1})$  değişkenlerine bağlı olarak yine Denklem (2.58) üzerinden tespit edilmektedir. Düğüm vektörlerinin kiriş uzunluğu temelinde bulunması veri noktalarının düzensiz dağılımlı olması durumunda bile etkili bir eğri uydurma performansı göstermektedir.

$$t_0 = 0$$

$$t_k = L_i \quad , \quad i \in [1, n - 2] \quad (2.62)$$

$$t_{n-1} = 1$$

#### 2.4.5. Merkezcil (centripetal) düğüm vektörü yöntemi

Bir eğri üzerinde eğrilik yarıçaplarının düşmesi o bölgelerin daha hassas işlenmesi gerektiğini göstermektedir. Nokta bulutu içerisindeki veri noktalarının bir NURBS eğrisine dönüştürülmesinde hassaslık etkisinin dâhil olabilmesi için merkezcil düğüm vektörü yöntemi önerilmiştir. Bu yöntem aslında kiriş uzunluk yönteminin gelişmiş versiyonudur. Kiriş uzunluğu bu yöntemde Denklem (2.63)'te görüldüğü gibi üstel  $\alpha$  katsayısına bağlı hesaplanmaktadır.  $\alpha$  kat sayısı genel olarak  $1/2$  değeri ile kullanıldığı için, Denklem (2.63)'teki eşitlik Denklem (2.64) eşitliğine dönüştürmektedir.

$$L = \sum_{i=1}^{n-1} |Q_i - Q_{i-1}|^\alpha \quad (2.63)$$

$$L = \sum_{k=1}^{n-1} \sqrt{Q_k - Q_{k-1}} \quad (2.64)$$

$(t_0 \dots t_{n-1})$  değişkenleri ise, hesaplanan  $L$  değeri kullanılarak Denklem (2.65)'te görüldüğü gibi elde edilmektedir. Son olarak düğüm vektörü,  $(t_0 \dots t_{n-1})$  değişkenlerine bağlı olarak Denklem (2.58) eşitlikleri yardımıyla oluşturulmaktadır. Merkezcil düğüm vektör yönteminde, veri noktaları arasındaki ilişkiye karşı kiriş uzunluğu yöntemine göre daha duyarlı olduğu için eğri uydurma performansı da ona göre artmaktadır. Tüm eğri uydurma yöntemlerinde, eğri veri noktaları üzerinden geçmesine rağmen ara noktalardaki eğri yörungesinin kalitesi düğüm vektörü yönteminin etkinliğine bağlıdır. Bu doğrultuda detayları verilen yöntemler arasında, CNC tezgâhları açısından en etkili eğri uydurma yöntemini merkezcil yöntem olduğu söylenebilir. Belirtilen yöntemlerin karşılaştırılması bir sonraki bölümde açıklayıcı bir örnek üzerinde gösterilmiştir.

$$t_0 = 0$$

$$t_i = t_{i-1} + \frac{\sqrt{Q_i - Q_{i-1}}}{L} \quad , \quad i \in [1, n-2] \quad (2.65)$$

$$t_{n-1} = 1$$

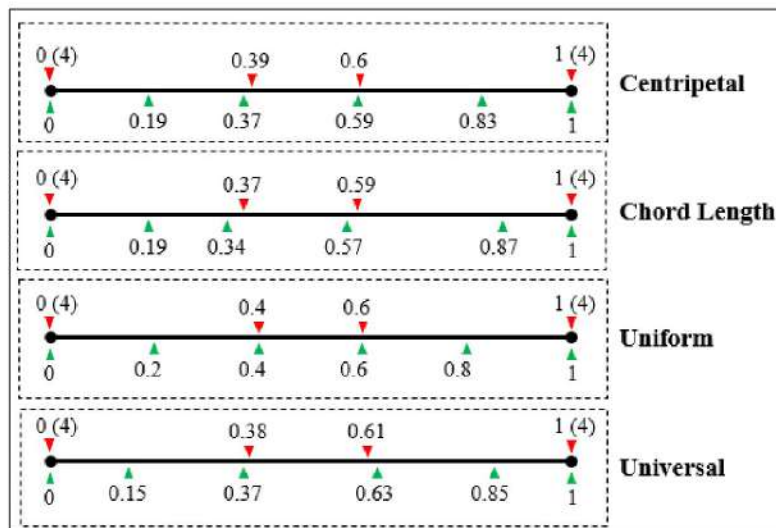
#### 2.4.6. Yöntemlerin karşılaştırılması

Düğüm vektörü yöntemlerinin bir uygulama üzerinde karşılaştırılması için, Denklem (2.66)'da görülen veri noktaları kullanılmıştır. Üç boyutlu uzayda egrilerin karşılaştırılması çok anlaşılır olmayacağı için kullanılan veri noktaları X-Y uzayında seçilmiştir.

$$(X, Y)^1: \{(0,0), (5,2), (2,5), (6,0), (10,7), (13,5)\} \quad (2.66)$$

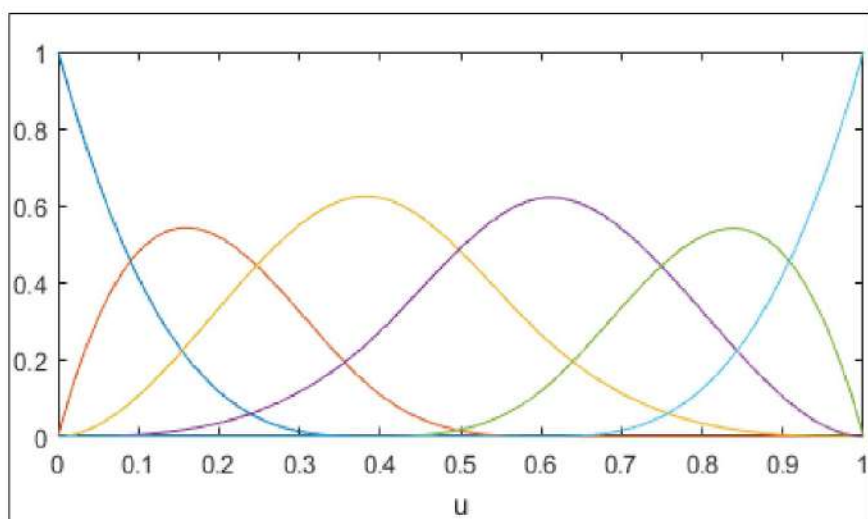
Yapılacak işlem adımlarına göre öncelikle  $(t_0 \dots t_{n-1})$  değişkenleri ve düğüm vektörleri Şekil 2.28'de görüldüğü gibi bulunmuştur. Şekilde kırmızı ok ile gösterilen

değerler düğüm vektör öğelerini, yeşil ok ile gösterilenler ise  $(t_0, t_1, t_2, t_3, t_4, t_5)$  değişkenlerini ifade etmektedir. Şekil 2.28'de görüldüğü üzere her bir yöntem için bulunan değerler farklılık göstermektedir.



Şekil 2.28. Düğüm vektörü yöntemlerinin karşılaştırılması

Düğüm vektörlerinin bulunmasıyla birlikte Şekil 2.29'da görülen kübik baz fonksiyonları ( $B_{0,4}, \dots, B_{5,4}$ ) oluşturulmaktadır. Kübik baz fonksiyonları kullanılarak B matrisi Denklem (2.67)'de görüldüğü gibi hesaplanmaktadır. Denklem (2.67)'de yer alan B matrisi, merkezçil (centripetal) yöntemi ile elde edilen düğüm vektörü elemanlarıyla Denklem (2.68)'de örnek olarak hesaplanmıştır.



Şekil 2.29. Merkezçil yöntemi için oluşturulan kübik baz fonksiyonları

$$B = \begin{bmatrix} 1 & 0 & 0 & 0 & 0 & 0 \\ B_{0,4}(t_1) & B_{1,4}(t_1) & B_{2,4}(t_1) & B_{3,4}(t_1) & B_{4,4}(t_1) & 0 \\ B_{0,4}(t_2) & B_{1,4}(t_2) & B_{2,4}(t_2) & B_{3,4}(t_2) & B_{4,4}(t_2) & 0 \\ B_{0,4}(t_3) & B_{1,4}(t_3) & B_{2,4}(t_3) & B_{3,4}(t_3) & B_{4,4}(t_3) & 0 \\ B_{0,4}(t_4) & B_{1,4}(t_4) & B_{2,4}(t_4) & B_{3,4}(t_4) & B_{4,4}(t_4) & 0 \\ 0 & 0 & 0 & 0 & 0 & 1 \end{bmatrix} \quad (2.67)$$

$$B = \begin{bmatrix} 1 & 0 & 0 & 0 & 0 & 0 \\ B_{0,4}(0.19) & B_{1,4}(0.19) & B_{2,4}(0.19) & B_{3,4}(0.19) & B_{4,4}(0.19) & 0 \\ B_{0,4}(0.37) & B_{1,4}(0.37) & B_{2,4}(0.37) & B_{3,4}(0.37) & B_{4,4}(0.37) & 0 \\ B_{0,4}(0.59) & B_{1,4}(0.59) & B_{2,4}(0.59) & B_{3,4}(0.59) & B_{4,4}(0.59) & 0 \\ B_{0,4}(0.83) & B_{1,4}(0.83) & B_{2,4}(0.83) & B_{3,4}(0.83) & B_{4,4}(0.83) & 0 \\ 0 & 0 & 0 & 0 & 0 & 1 \end{bmatrix} \quad (2.68)$$

$$B = \begin{bmatrix} 1 & 0 & 0 & 0 & 0 & 0 \\ 0.0840 & 0.4751 & 0.3929 & 0.0480 & 0 & 0 \\ 0 & 0.1141 & 0.6284 & 0.2575 & 0 & 0 \\ 0 & 0 & 0.3001 & 0.6134 & 0.0865 & 0 \\ 0 & 0 & 0.0375 & 0.3440 & 0.5004 & 0.1180 \\ 0 & 0 & 0 & 0 & 0 & 1 \end{bmatrix}$$

Son olarak ise kontrol noktaları, B ve Q matrisi üzerinden Denklem (2.69)'da yer alan matris eşitliği ile üretilmektedir. Denklem (2.68)'deki B matrisi için, kontrol noktaları ( $P_x, P_y, P_z$ ) değerlerine Denklem (2.70)'de görüldüğü gibi ulaşılmıştır. Veri noktaları X-Y uzayında seçildiği için Z eksenindeki kontrol noktaları ( $P_z$ ) sıfır değerini almışlardır. Her bir yöntem için bu işlem adımları tekrarlanmış ve dört farklı P ve B matrisleri elde edilmiştir.

$$P = ([B]^T[B])^{-1}[B]^T[Q] \quad (2.69)$$

$$P_x = \begin{bmatrix} 0 \\ 10.821 \\ -2.785 \\ 9.331 \\ 9.572 \\ 13 \end{bmatrix}, \quad P_y = \begin{bmatrix} 0 \\ -3.001 \\ 11.503 \\ -7.595 \\ 13.99 \\ 5 \end{bmatrix}, \quad P_z = \begin{bmatrix} 0 \\ 0 \\ 0 \\ 0 \\ 0 \\ 0 \end{bmatrix} \quad (2.70)$$

Nokta bulutunun bir NURBS eğrisine dönüştürülmesi için gerekli tüm parametrelerin bulunmasından sonra ise bir önceki bölümde anlatılan NURBS eğrisel fonksiyonları işleme alınarak NURBS eğrisi oluşturulmaktadır. Yapılan işlem adımlarından sonra Denklem (2.66)'daki veri noktaları için dört farklı yöntemle uydurulan eğriler Şekil

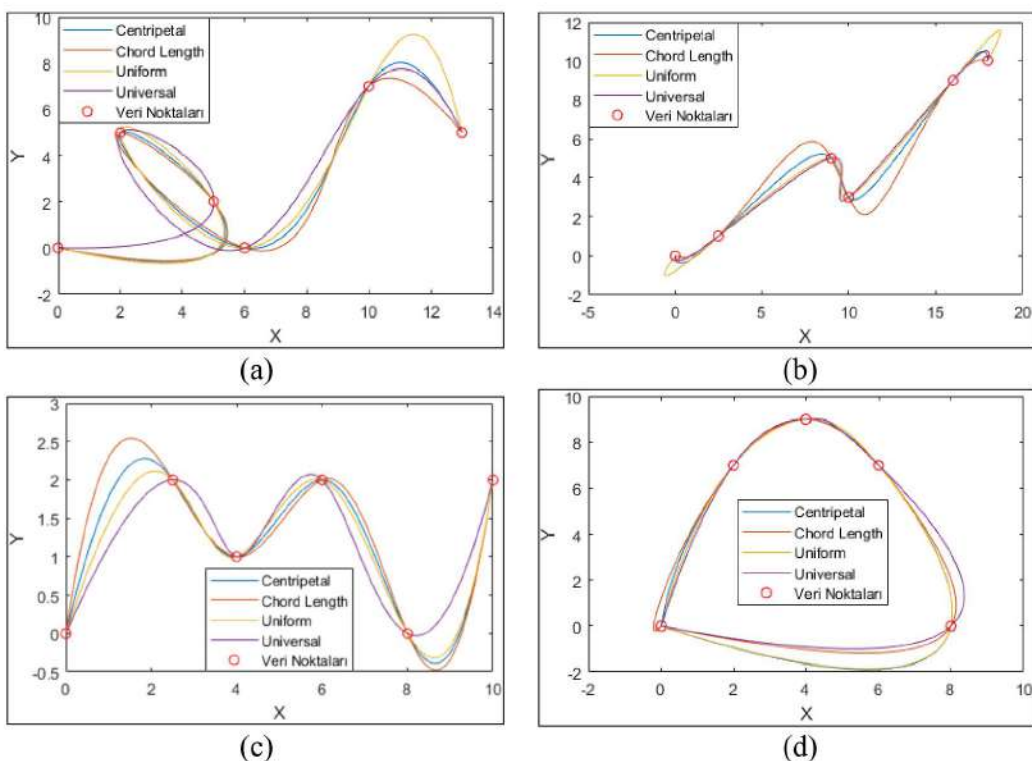
2.30-a'da gösterilmiştir. Şekilde görüldüğü üzere her yöntem için oluşturulan eğriler de gözle görülür farklılıklar bulunmaktadır. Tüm eğriler veri noktalarından geçse dahi ara noktalardaki yörüngeleri farklı davranışlar göstermektedir. Bu farklı davranışlar farklı veri noktaları için değişkenlik gösterdiği için Denklem (2.66)'daki veri noktasına ek olarak üç farklı veri noktası içinde yöntem karşılaştırması yapılmıştır. Bu uygulamalarda kullanılan veri noktaları Denklem (2.71)'de verilmiştir.

$$(X, Y)^2: \{(0,0), (2.5,1), (9.5), (10,3), (16,9), (18,10)\}$$

$$(X, Y)^3: \{(0,0), (2.5,2), (4,1), (6,2), (8,0), (10,2)\} \quad (2.71)$$

$$(X, Y)^4: \{(0,0), (2,7), (4,9), (6,7), (8,0), (0,0)\}$$

Denklemdeki veri noktaları yine her yöntem için ayrı ayrı NURBS eğrilerine dönüştürülmüş ve Şekil 2.30 b-d'de  $(X, Y)^2$ ,  $(X, Y)^3$  ve  $(X, Y)^4$  için sırasıyla verilmiştir.



Şekil 2.30. Düğüm vektör yöntemlerinin NURBS eğrisine etkisi

CNC tezgâhlarında işlenecek ürünün G-kod dosyasındaki nokta bulutlarından çok fazla sapma yapmaması beklenir. Yani ara noktalardaki yörunge davranışları önemlidir. Bu nedenle düğüm vektörü yöntemleri içinde doğru seçim yapılması önemlidir.

Uydurulan NURBS eğrisinin boyu veri noktaları arasındaki yörüngeye ilişkin bir yorum imkânı tanımaktadır. Eğri boyunun nokta bulutu içindeki toplam kiriş uzunluğundan çok fazla sapma yapmaması, eğrinin ara noktalardaki yörüngeсинin daha istenilir seviyede olduğunu göstermektedir. Bu nedenle Şekil 2.30'daki tüm NURBS eğrileri için boy hesaplaması yapılmış ve Tablo 2.6'da karşılaştırılmıştır.

Tablo 2.6. NURBS eğri boylarının karşılaştırılması

	<b>Toplam Kiriş Uzunluğu</b>	<b>Centripetal</b>	<b>Chord Length</b>	<b>Uniform</b>	<b>Universal</b>
<b>Şekil 2.30-a</b>	27.698	31.329	31.690	34.771	30.840
<b>Şekil 2.30-b</b>	23.282	25.122	26.855	29.391	25.376
<b>Şekil 2.30-c</b>	12.898	14.445	15.111	14.057	13.407
<b>Şekil 2.30-d</b>	28.217	29.954	29.774	29.948	29.276

Karşılaştırma sonuçları Universal ve Centripetal yöntemlerinin daha başarılı sonuçlar verdiği göstermiştir. Bu yöntemler arasında en güvensiz olanı ise Uniform düğüm vektörü yöntemi olduğu görülmektedir. Bu doğrultuda tez çalışması kapsamında hem eğri uydurma performans sonuçlarının iyi olması hem de yöntem için de doğrudan veri noktalarını kullanması yönlerinden Centripetal yöntemi tercih edilmiştir.

### **3. HIZ PLANLAMA VE YÖRÜNGE İNTERPOLASYON ALGORİTMALARI**

CNC-Freze tezgâhlarında kesici takımın ilerleme hızının kontrol altında tutulması, tezgâhın titreşimsiz çalışması, işlenen ürün yüzeyinin kalitesi, kesici takımın çalışma süresinin artırılması yönlerinden tezgâh kontrolünde önemli bir yere sahiptir. CAM programları G-kod dosyası oluştururken, işlenen malzemeye ve iş milinin devrine göre F değişkeni üzerinden bir hız değeri belirlemektedir. Bu doğrultuda, ilgili satırındaki G kodu işlenirken, G-kod dosyasında verilen F değerine bağlı kalmak hedeflenen ürün çıktısına ulaşmak için çok önemlidir. Bu bölümde, bir önceki bölümde hareket komutlarına ilişkin elde edilen yörüngelerin, hedeflenen hız profillerine uygun eksen motorlarına gönderilmesi için gerekli işlemler yapılmaktadır. G-kod dosyaları yüzlerce veya binlerce satırdan oluşmaktadır ve her hareket komutu kendi içinde farklı hız planlama işleminin uygulanmasını gerektirmektedir. Bu nedenle tez çalışması kapsamında ortak yöntemlerin kullanılmasının yanında her hareket komutu için özel hız planlama algoritması geliştirilmiştir.

#### **3.1. G01 Komutu için Yörünge Planlamasının Yapılması**

Literatürde ardışık doğrusal hareketler, doğrusal segmentlerin birleşme noktalarından dolayı sürekli hareketler olarak tanımlanmaktadır. Bu nedenle, sürekli hareketler elde etmek için köşe yumusatma ve eğri uydurma yöntemleri geliştirilmiştir. Bu çalışmaların ortak amacının, bağlantı noktalarında ilerleme hızı dalgalanmalarını ve süreksızlıklarını önlemek olduğu ifade edilebilir. Ancak bu yöntemlerin temel sorunu, G-Kod dosyasındaki ana yörüngenin değiştirilmesidir. Doğrusal hareketlerin sürekli yolun bir parçası olmadığı ve bu durumun doğru parçaları arasında sonsuz bağlantılarla neden olabileceği düşünülürse, işlenen ürünün G-Kod dosyasına bağlı olarak, hareket geçişleri keskin veya yumuşak olabilir. Bu nedenle ilerleme hız profilleri, doğrusal hareket geçişlerinin durumuna ve motorların ivmelenme kapasitesine göre tasarlanmalıdır.

Bu çalışmada, noktadan noktaya hareket için kullanılan G01 komutları için yeni bir ilerleme hız planlama algoritması geliştirilmiştir. Bu yöntemin ana katkısı, ana yörüngede değişiklik olmamasının yanında ilerleme hızı profillerinin sürekli kalmasıdır. Ayrıca, önerilen denklemler ile doğrusal segmentlerin birleşme noktasındaki ilerleme hız değeri hesaplanmaktadır. Bu denklemler, hem kesici takımın bağlantı noktalarında durmasını engellemekte hem de eksen motorlarının maksimum ivme değerlerinin altında kalmasını sağlamaktadır. Öncelikle, doğrusal segmentlerin uzunlukları Denklem (3.1) ile ayrı ayrı bulunmaktadır.

$$L_{\text{seg}1} = \sqrt{(x_1 - x_0)^2 + (y_1 - y_0)^2 + (z_1 - z_0)^2} \quad (3.1)$$

$$L_{\text{seg}2} = \sqrt{(x_2 - x_1)^2 + (y_2 - y_1)^2 + (z_2 - z_1)^2}$$

Doğrusal hareketlerin uzunlıklarının hesaplanmasıından sonra, her eksen hareketi kartezyen uzaydaki doğrusal hareketlerin yüzdesi olarak Denklem (3.2) eşitlikleri ile elde edilmektedir. CNC tezgâhının kinematik konfigürasyonuna ve eksen sayısına bağlı olarak eksen isimlerinde değişiklik olabileceği için klasik x, y ve z eksenlerinin yanında, \* simbolü ile diğer eksenler ifade edilmiştir.

$$\begin{aligned} \%L_{x1} &= \frac{(x_1 - x_0) 100}{L_{\text{seg}1}}, \%L_{y1} = \frac{(y_1 - y_0) 100}{L_{\text{seg}1}}, \%L_{z1} = \frac{(z_1 - z_0) 100}{L_{\text{seg}1}}, \dots, \%L_{*1} = \frac{(*_1 - *_0) 100}{L_{\text{seg}1}} \\ \%L_{x2} &= \frac{(x_2 - x_1) 100}{L_{\text{seg}2}}, \%L_{y2} = \frac{(y_2 - y_1) 100}{L_{\text{seg}2}}, \%L_{z2} = \frac{(z_2 - z_1) 100}{L_{\text{seg}2}}, \dots, \%L_{*2} = \frac{(*_2 - *_1) 100}{L_{\text{seg}2}} \end{aligned} \quad (3.2)$$

Önerilen yöntemin en önemli parametrelerinden birisi eksen motorlarının maksimum ivmelenme ( $\alpha_{x\text{Max}}, \alpha_{y\text{Max}}, \dots, \alpha_{*\text{Max}}$ ) değerleridir. Bu parametreler, iki doğrusal hareket arasındaki geçişte, eksen motorlarının hangi hız farklarına ulaşabildiğini göstermektedir. Birinci doğrusal hareketin bitiş noktasındaki eksen hızları ( $V_{ex1}, V_{ey1}, V_{ez1}, V_{*1}$ ) ile ikinci doğrusal hareketin başlangıç noktasındaki eksen hız değerleri ( $V_{sx2}, V_{sy2}, V_{sz2}, V_{*2}$ ) arasındaki maksimum fark değerleri Denklem (3.3)'te görüldüğü gibi hesaplanmaktadır. Denklemde,  $T_s$ : eksen veri yenileme hızını, C: dönüşüm katsayısını ifade etmektedir. Eğer tezgâh üzerindeki eksenler doğrusal ise, C değeri vidalı mil adım değeri ile bulunmaktadır. Eksenlerin döner olması durumunda ise, C değeri motor ve dişli kutusu arasındaki dişli oran değeri ile hesaplanmaktadır.

$$\begin{aligned}
 V_{x\text{MaxGap}} &= |V_{sx2} - V_{ex1}| = \frac{(\alpha_{x\text{Max}}) (T_s)}{C_x} \\
 V_{y\text{MaxGap}} &= |V_{sy2} - V_{ey1}| = \frac{(\alpha_{y\text{Max}}) (T_s)}{C_y} \\
 V_{z\text{MaxGap}} &= |V_{sz2} - V_{ez1}| = \frac{(\alpha_{z\text{Max}}) (T_s)}{C_z} \\
 V_{*\text{MaxGap}} &= |V_{s*2} - V_{e*1}| = \frac{(\alpha_{*\text{Max}}) (T_s)}{C_*}
 \end{aligned} \tag{3.3}$$

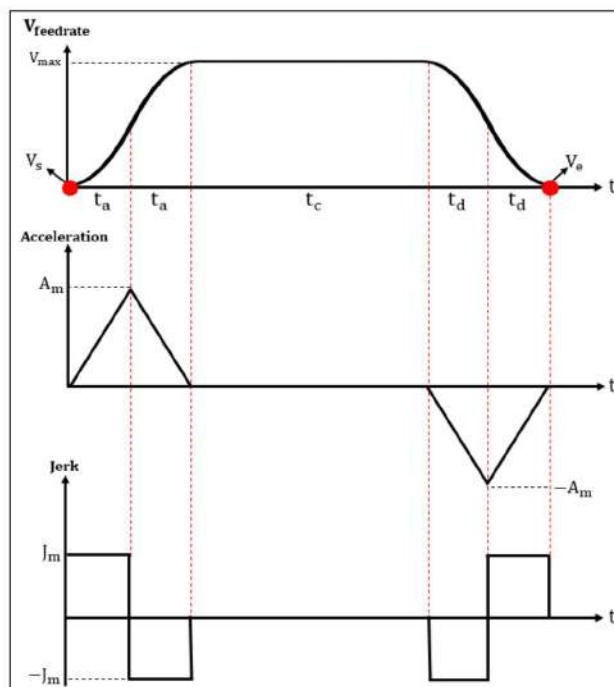
Eksen motoru eksene doğrudan hareket veriyorsa yani ara bir eleman kullanılmamış ise  $C=1$  olarak kullanılmaktadır. Her eksen için ayrı ayrı hesaplanan maksimum hız farkları kullanılarak kesişim noktasındaki hız değerleri ( $V_{ex}, V_{ey}, V_{ez}, V_{e*}$ ) Denklem (3.4) yardımı ile hesaplanmaktadır.

$$\begin{aligned}
 V_{x\text{MaxGap}} &= \%(|L_{x1} - L_{x2}|)(V_{ex}) \rightarrow V_{ex} = \frac{(V_{x\text{MaxGap}}) (100)}{|L_{x1} - L_{x2}|} \\
 V_{y\text{MaxGap}} &= \%(|L_{y1} - L_{y2}|)(V_{ey}) \rightarrow V_{ey} = \frac{(V_{y\text{MaxGap}}) (100)}{|L_{y1} - L_{y2}|} \\
 V_{z\text{MaxGap}} &= \%(|L_{z1} - L_{z2}|)(V_{ez}) \rightarrow V_{ez} = \frac{(V_{z\text{MaxGap}}) (100)}{|L_{z1} - L_{z2}|} \\
 V_{*\text{MaxGap}} &= \%(|L_{*1} - L_{*2}|)(V_{e*}) \rightarrow V_{e*} = \frac{(V_{*\text{MaxGap}}) (100)}{|L_{*1} - L_{*2}|}
 \end{aligned} \tag{3.4}$$

Hesaplanan  $V_{ex}, V_{ey}, V_{ez}, V_{e*}$  değerleri, Denklem (3.5)'te kullanılarak kartezyen uzaydaki iki ardışık doğrusal hareket arasındaki hız değeri ( $V_e$ ) tespit edilmektedir. Bulunan  $V_e$  değeri birinci doğrusal hareketin bitiş hızı aynı zamanda da ikinci doğrusal hareketin başlangıç hızı olarak kullanılmaktadır. Denklemde  $V_{\text{max}}$  parametresi G-kod dosyasında verilen hız değerine eşittir.

$$V_e = \begin{cases} \min(V_{ex}, V_{ey}, V_{ez} \dots V_{e*}) & \text{if } (\min(V_{ex}, V_{ey}, V_{ez} \dots V_{e*}) \leq V_{\text{max}}) \\ V_{\text{max}} & \text{diğer} \end{cases} \tag{3.5}$$

Bulunan  $V_e$  değerine bağlı olarak kesici takım için bir hız planlaması yapılması gereklidir. Bu kapsamda, tezgâhin hesaplanan hız değerlerinde titreşimsiz çalışmasını sağlamak amacıyla jerk ( $J$ ) ve hızlanma/yavaşlama (ACC/DCC) sınırlamalı ilerleme hızı profili tasarımları yapılmıştır. Kullanılan hız profillerinin jerk ve ivme sınırlandırma özelliği olmasının yanında, jerk her noktada sabit tutularak olası tezgâh titreşimlerinin önüne geçilmektedir. Jerk ve ivme sınırlandırmalı hız profilleri Bezier, B-spline, NURBS eğrileri başta olmak üzere birçok eğrisel yörüngeler için farklı yapılarda oluşturulabilmektedir [25]. Şekil 3.1'de, beş parçalı sabit jerkli ve hız/jerk sınırlandırmalı hız profili ve buna bağlı oluşan ivme ve jerk profilleri görülmektedir. Şekildeki grafiklerin oluşmasında hızlanma zamanı ( $t_a$ ), sabit hız zamanı ( $t_d$ ) ve yavaşlama zamanı ( $t_c$ ) değerleri büyük öneme sahiptir. Bu zaman değerleri, oluşturulan hız profilinde meydana gelen jerk ve ivmeyi her zaman maksimum jerk ve ivme değerlerinin altında tutmaktadır. Şekil 3.1'de verilen hız profili (Profil1), ilk iki parçası hızlanma, bir parçası sabit hız ve son iki parçası da yavaşlama olmak üzere toplamda beş parçadan oluşmaktadır. Fakat doğru boyuna ve başlangıç/bittiş hız değerlerine ( $V_s/V_e$ ) bağlı olarak hız profil seçimi değişkenlik gösterebilir.

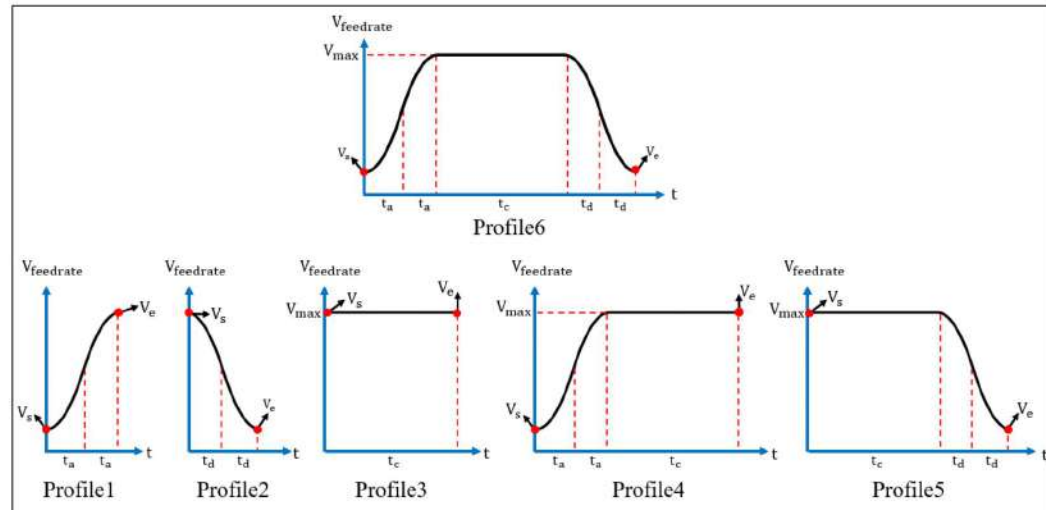


Şekil 3.1. Jerk ve ivme sınırlandırmalı hız profili

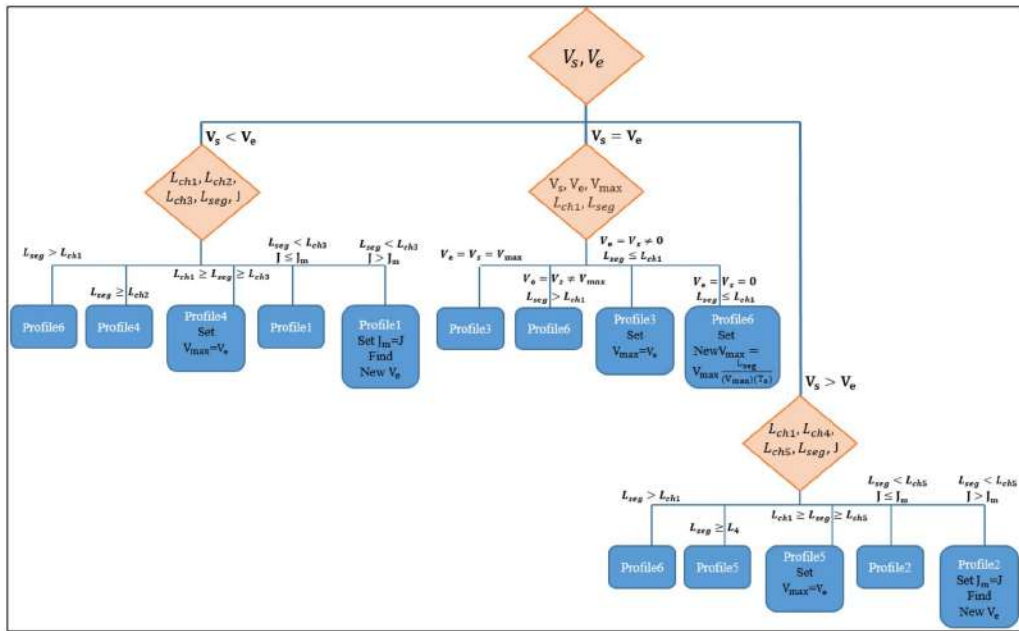
Tablo 3.1. Hız, ivme ve jerk denklemleri

Jerk	İvme	Kesici takım ilerleme hızı
$j_1 = J_m, 0 \leq \tau < t_a$	$a_1 = J_m \tau, 0 \leq \tau < t_a$	$f_1 = f_0 + \frac{1}{2} J_m \tau^2, 0 \leq \tau < t_a$
$j_2 = -J_m, 0 \leq \tau < t_a$ ( $A_m = J_m t_a$ )	$a_2 = -A_m - J_m \tau, 0 \leq \tau < t_a$	$f_2 = f_{1s} + A_m \tau - \frac{1}{2} J_m \tau^2, 0 \leq \tau < t_a$ ( $f_{1s} = f_0 + \frac{1}{2} J_m t_a^2$ )
$j_3 = 0, 0 \leq \tau < t_c$	$a_3 = 0, 0 \leq \tau < t_c$	$f_3 = f_{2s}, 0 \leq \tau < t_c$ ( $f_{2s} = f_1 + A_m t_a - \frac{1}{2} J_m t_a^2$ )
$j_4 = J_m, 0 \leq \tau < t_d$	$a_4 = -J_m \tau, 0 \leq \tau < t_d$	$f_4 = f_{3s} - \frac{1}{2} J_m \tau^2, 0 \leq \tau < t_d$ ( $f_{3s} = f_{2s}$ )
$j_5 = J_m, 0 \leq \tau < t_d$	$a_5 = -A_m + J_m \tau, 0 \leq \tau < t_d$ ( $A_m = J_m t_d$ )	$f_5 = f_{4s} - A_m \tau + \frac{1}{2} J_m \tau^2, 0 \leq \tau < t_d$ ( $f_{4s} = f_{3s} - \frac{1}{2} J_m t_d^2$ )

Birleşim noktalarındaki  $V_e$  ve  $V_s$  ilerleme hız değerleri ve doğrusal bölümlerin ( $L_{seg}$ ) uzunlukları farklı olabileceğinden dolayı, Şekil 3.1'de verilen kesici takım hızı profili altı profile bölünmüştür. Şekil 3.2'de görülen bu profiller, temel olarak  $V_e$ ,  $V_s$  ve  $L_{seg}$  parametrelerinin tüm olasılıklarını kapsamaktadır. Ayrıca  $V_e$  ve  $V_s$  doğrusal segmentlerin uzunluğundan bağımsız olarak belirlendiğinden,  $L_{seg}$  ve  $V_s/V_e$ 'nin olası uyumsuzluğunu önlemek için alt profiller kullanılmaktadır. Altı ana profilenin denklemleri alt profillerde değiştirilmemektedir fakat denklemlerin gerekli parametreleri yeni uyumlu parametrelerle güncellenmektedir.  $L_{seg}$  ve  $V_s/V_e$  temelinde tüm olasılıkları kapsayan ilerleme hız planlama algoritması Şekil 3.3'te yer alan durum diyagramında açıklanmıştır.



Şekil 3.2. Hız profil türleri



Şekil 3.3. Hız profil seçim algoritması

İlerleme hız planlama algoritması, birinci doğrusal hareketin bitiş hızı ( $V_e$ ), ikinci doğrusal hareketin başlangıç hızı ( $V_s$ )'ye bağlı olarak üç ana kategoriye ayrılmaktadır.  $V_s$  'nin  $V_e$  'den küçük olması durumunda (Kategori 1) Denklem (3.6)-(3.8)'de yer alan eşitlikler kullanılmaktadır.

$$s_{c1} = f_s t_a + \frac{1}{6} J_m t_a^3$$

$$s_{c2} = f_{1s} t_a + \frac{1}{2} A_m t_a^2 - \frac{1}{6} J_m t_a^3 \quad (3.6)$$

$$s_{c3} = f_{3s} t_d - \frac{1}{6} J_m t_d^3$$

$$s_{c4} = f_{4s} t_d - \frac{1}{2} A_m t_d^2 + \frac{1}{6} J_m t_d^3$$

Denklemde,  $t_a = \sqrt{\frac{V_{max}-V_s}{J_m}}$ ,  $t_d = \sqrt{\frac{V_{max}-V_e}{J_m}}$ ,  $f_s = V_s$ ,  $f_{1s} = f_0 + \frac{1}{2} J_m t_a^2$ ,  $f_{3s} = f_{1s} + A_m t_a - \frac{1}{2} J_m t_a^2$ ,  $f_{4s} = f_{3s} - \frac{1}{2} J_m t_d^2$  değerlerine sahiptirler.

$$s_{c5} = f_s t_a + \frac{1}{6} J_m t_a^3 \quad (3.7)$$

$$s_{c6} = f_{1s} t_a + \frac{1}{2} A_m t_a^2 - \frac{1}{6} J_m t_a^3$$

Denklem (3.7)'de,  $t_a = \sqrt{\frac{V_e - V_s}{J_m}}$ ,  $f_s = V_s$ ,  $f_{1s} = f_0 + \frac{1}{2} J_m t_a^2$  olarak kullanılmaktadır.

İlk kategorideki karşılaştırma işlemi, Denklem (3.8)'de görülen parametreler üzerinden yapılmaktadır.

$$L_{ch1} = s_{c1} + s_{c2} + s_{c3} + s_{c4}$$

$$L_{ch2} = s_{c1} + s_{c2} \quad (3.8)$$

$$L_{ch3} = s_{c5} + s_{c6}$$

$V_s$ 'nin  $V_e$ 'den küçük olması durumunda kullanılan hız profilleri, Profil1, Profil4 ve Profil6'dır. Fakat başlangıç hızından bitiş hızına ulaşırken maksimum jerk değerinin geçilmesi durumunda, maksimum jerk'e göre yeni bir bitiş hızı ( $V_e$ ) bulunması gerekmektedir. Bu nedenle birinci kategoride, Profil1 için jerk aşım kontrolü yapılmaktadır. Denklem (3.9)'da yer alan jerk değerinin maksimum jerk ( $J_m$ ) değerinden yüksek olması durumunda,  $J_m$  değerine uygun yeni bir bitiş hızı  $V_{e(new)}$  elde edilmektedir (Denklem 3.10).

$$J = (V_e - V_s) \left( \frac{V_e + V_s}{L_{seg}} \right)^2 \quad (3.9)$$

$$\text{Hesapla: } V_{e(new)} \rightarrow (V_{e(new)} - V_s) \left( \frac{V_{e(new)} + V_s}{L_{seg}} \right)^2 = J_m \quad (3.10)$$

$V_s$ 'nin  $V_e$ 'ye eşit olması durumunda (Kategori 2) Profil3 ve Profil6 hız fonksiyonları kullanılmaktadır. Fakat  $V_s$  ve  $V_e$ 'nin  $V_{max}$  ile olan ilişkisine bağlı olarak fonksiyonlar aynı kalmak şartıyla parametre değişiklikleri yapılmaktadır. Kategori 2 için yeni parametre eşitlikleri Şekil 3.3'teki hız profil seçim diyagramında görülmektedir.  $V_s$ 'nin  $V_e$ 'den büyük olması durumunda ise (Kategori 3) Denklem (3.11) ve (3.12)'de bulunan parametreler üzerinden profil seçim işlemi yapılmaktadır.

$$s_{c7} = f_{3s} t_d - \frac{1}{6} J_m t_d^3 \quad (3.11)$$

$$s_{c8} = f_{4s} t_d - \frac{1}{2} A_m t_d^2 + \frac{1}{6} J_m t_d^3$$

Denklemde;  $t_d = \sqrt{\frac{V_s - V_e}{J_m}}$ ,  $f_{3s} = f_{1s} + A_m t_a - \frac{1}{2} J_m t_a^2$ ,  $f_{4s} = f_{3s} - \frac{1}{2} J_m t_d^2$

değerlerine sahiptirler.

$$L_{ch1} = s_{c1} + s_{c2} + s_{c3} + s_{c4}$$

$$L_{ch4} = s_{c3} + s_{c4} \quad (3.12)$$

$$L_{ch5} = s_{c7} + s_{c8}$$

Kategori 2'de olduğu gibi Kategori 3'te de jerk aşım kontrolü yapılmaktadır. Profil 3 için Denklem (3.13)'teki jerk değerinin maksimum değeri aşması durumunda Denklem (3.14)'te görülen eşitlik kullanılarak yeni  $V_{e(new)}$  değeri bulunmaktadır.

$$J = (V_s - V_e) \left( \frac{V_s + V_e}{L_{seg}} \right)^2 \quad (3.13)$$

$$\text{Hesapla: } V_{e(new)} \rightarrow (V_s - V_{e(new)}) \left( \frac{V_s + V_{e(new)}}{L_{seg}} \right)^2 = J_m \quad (3.14)$$

Hedeflenen sabit jerkli hız ve ivme profillerinin, doğrusal hareketlerin interpolasyon işleminde uygulanabilmesi için Denklem (3.15)'te yer alan Taylor denklemi kullanılmaktadır.

$$k_{i+1} = k_i + \frac{V(k_i)}{|L'(k_i)|} T_s + \frac{1}{|L'(k_i)|} \left( A(k_i) - \frac{L'(k_i)L''(k_i)}{|L'(k_i)|^3} V(k_i)^2 \right) \frac{T_s^2}{2} \quad (3.15)$$

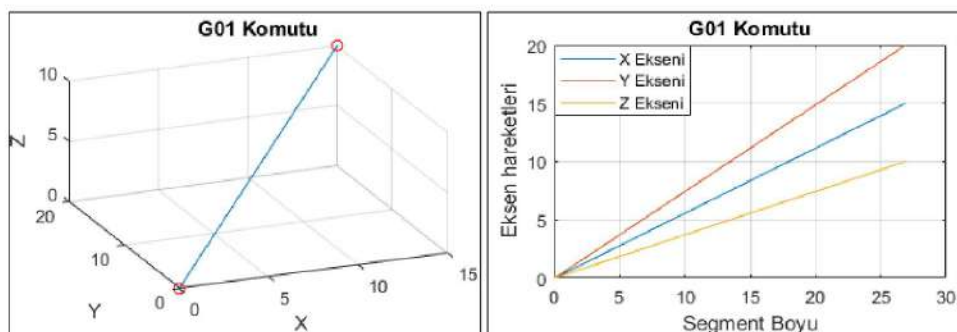
Eşitlikteki  $k$  değeri, G00/G01 komutu için, hedeflenen hız ve ivme profili temelinde bulunan interpolasyon parametresidir. Ayrıca eşitlikteki  $L'(k_i)$  ve  $L''(k_i)$  ifadeleri her  $k_i$  değeri için hesaplanan doğrusal hareketin birinci ve ikinci türevleri,  $V(\alpha_i)$  ve  $A(\alpha_i)$  ise hedeflenen hız ve ivme profillerinin her  $k_i$  parametresine karşılık gelen değerleridir. Son olarak eşitlikte yer alan  $T_s$  ise eksen veri yenileme süresidir.

İnterpolasyon parametresinin elde edilmesinden sonra kartezyen uzayda oluşan eksen yörüngeleri Denklem (3.16)'daki eşitliklerle üretilmektedir.

$$x_i = \frac{(x_1 - x_0)k_i + x_0 L_{seg}}{L_{seg}}, \quad y_i = \frac{(y_1 - y_0)k_i + y_0 L_{seg}}{L_{seg}}, \quad z_i = \frac{(z_1 - z_0)k_i + z_0 L_{seg}}{L_{seg}} \quad (3.16)$$

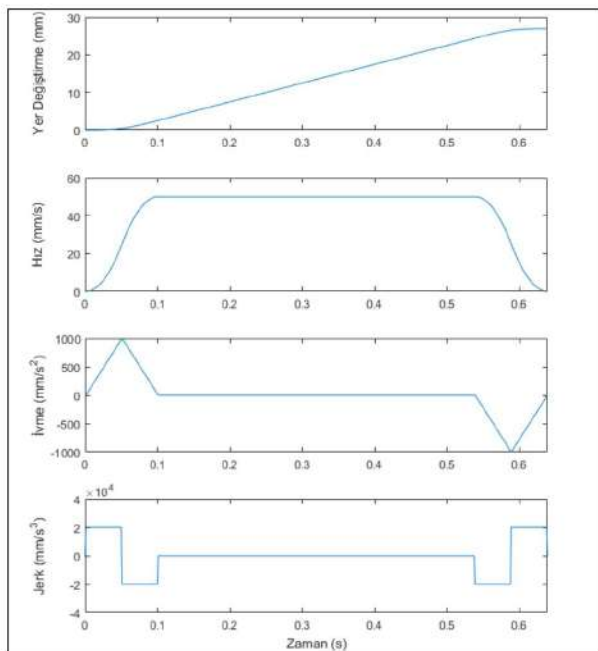
Denklem (3.17)'de yer alan tek satırlık bir G-kod dosyası üzerinden önerilen yöntemlerin nasıl kullanıldığı örnek olarak incelenmiştir. Örnek komut satırında başlangıç konumu (0,0,0) noktası olan kesici takının (15,20,10) noktasına 3000 mm/dk (50mm/s) hızla gitmesi gerekiği belirtilmektedir. Verilen koordinatlara göre kesici takının kartezyen uzayda izleyeceği yörunge Şekil 3.4-a'da, hareket boyuna göre elde edilen eksen yörüngeleri ise 3.4-b'de görülmektedir. Fakat doğrusal hareketin komut satırındaki F değerine uygun yapılması için öncelikle jerk ve ivme sınırlırmalı hız profili oluşturulmaktadır. Şekil 3.5'te oluşturulan hedef jerk, ivme ve hız profilleri verilmiştir ( $J_m = 20000 \text{ mm/s}^3$ ,  $A_m = 1000 \text{ mm/s}^2$ ). Ayrıca Şekil 3.5'te görülen yer değiştirme grafiği, interpolasyon işleminin hedeflenen profillere uygun yapıp yapılmadığının kontrolünde kullanılmaktadır.

$$\text{G01 X15 Y20 Z10 F3000 } (x_0 = 0, y_0 = 0, z_0 = 0) \quad (3.17)$$

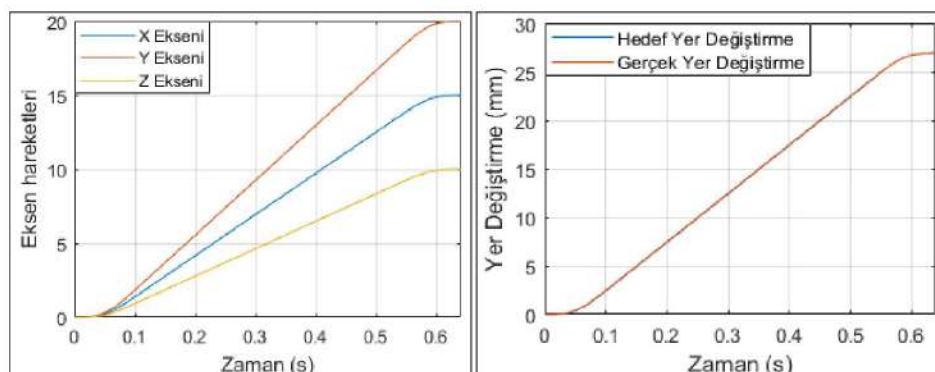


Şekil 3.5'teki hedef profiller doğrultusunda interpolasyon parametresi ( $k_i$ ) bulunmakta ve  $k_i$  parametresine uygun olarak Şekil 3.6-a'da görülen eksen yörüngeleri ( $x_i, y_i, z_i$ ) elde edilmektedir. Eksen hareketlerinin başlangıç ve bitiş bölgelerinde yumuşak geçişler olduğu interpolasyon işleminin doğruluğunu desteklemektedir. Fakat asıl önemli olan interpolasyon işlemi sonucu kesici takının hedeflenen yer değiştirme

grafiğine uyup uymadığıdır. Bu nedenle Şekil 3.6-b'de kesici takım için hedeflenen ve gerçekleşen yer değiştirme grafikleri karşılaştırılmıştır.



Şekil 3.5. Hedef jerk, ivme, hız ve yer değiştirme grafikleri (G01 X15 Y20 Z10 F3000)



Şekil 3.6. (a) Hedef profiler sonucunda ortaya çıkan eksen yörüngeleri (b) hedef ve gerçekleşen yer değiştirme grafiklerinin karşılaştırılması

Bu grafiğin farklı olması yörünenin yanlış işlendiği anlamına gelmemektedir. Sadece gidilen yörünenin hedeflenen hız profiline uygun yapılip yapılmadığını göstermektedir. Fakat sabit jerkli hız profiline uygun işlenen yörünenin tezgâhin titreşimsiz çalışmasını sağlamasından dolayı hedeflenen ve gerçekleşen yer değiştirme grafiklerinin benzer olması önemlidir. Karşılaştırma sonucunda grafiklerin mikron seviyelerde farklı olduğu gözlemlenmiştir. Dolayısıyla bu sonuç, interpolasyon

işleminin jerk ve ivme sınırlandırmalı hız profiline uygun yapıldığını göstermiştir. Hedeflenen yer değiştirmeye grafiği ( $S_t$ ), beş parçalı hız grafiğinin integrali alınması sonucu Denklem (3.18)'de görüldüğü gibi elde edilmektedir. İnterpolasyon işlemi sonrası ortaya çıkan gerçek yer değiştirmeye grafiği ( $S_r$ ) ise, Denklem (3.19)'da yer alan eşitlikle hesaplanmaktadır.

$$S_t = [s_1 \ s_2 \ s_3 \ s_4 \ s_5]$$

$$s_1 = s_0 + fs\tau + \frac{1}{6}J_m\tau^3, \quad 0 \leq \tau < t_a \rightarrow (fs = V_s)$$

$$s_2 = s_{1s} + f_{1s}\tau + \frac{1}{2}A_m\tau^2 - \frac{1}{6}J_m\tau^3, \quad 0 \leq \tau < t_a \rightarrow (s_{1s} = s_0 + f_0 t_a + \frac{1}{6}J_m t_a^3)$$

$$s_3 = s_{2s} + f_{2s}\tau, \quad 0 \leq \tau < t_c \rightarrow (s_{2s} = s_{1s} + f_{1s}t_a + \frac{1}{2}A_m t_a^2 - \frac{1}{6}J_m t_a^3) \quad (3.18)$$

$$s_4 = s_{3s} + f_{3s}\tau - \frac{1}{6}J_m\tau^3, \quad 0 \leq \tau < t_d \rightarrow (s_{3s} = s_{2s} + f_{2s}t_c)$$

$$s_5 = s_{4s} + f_{4s}\tau - \frac{1}{2}D_m\tau^2 + \frac{1}{6}J_m\tau^3, \quad 0 \leq \tau < t_d \rightarrow (s_{4s} = s_{3s} + f_{3s}t_d - \frac{1}{6}J_m t_d^3)$$

$$S_r(i+1) = S_r(i) + \sqrt{(x_{i+1} - x_i)^2 + (y_{i+1} - y_i)^2 + (z_{i+1} - z_i)^2} \quad (3.19)$$

Komut satırları arası hız geçiş algoritmasının etkisini göstermek için ise üç komut satırından oluşan iki farklı G-kod dosyası örnek olarak incelenmiştir. Yapılan uygulamada kullanılan tezgah üç eksen doğrusal hareketli bir CNC-Freze tezgahı olarak varsayılmıştır ve vidalı mil adımı 1 tur için 18mm olacak şekilde kabul edilmiştir. Ayrıca eksen motorlarının maksimum ivmelenmesi 200.000 deg/s<sup>2</sup> (3490 rad/s<sup>2</sup>) ve  $J_m = 1000 \text{ mm/s}^3$ ,  $A_m = 100 \text{ mm/s}^2$ ,  $V_{max} = 50 \text{ mm/s}$ ,  $T_s = 1 \text{ ms}$  olarak kullanılmıştır. Verilen parametreler doğrultusunda dönüşüm katsayıları ( $C_x, C_y, C_z$ ) 20 olarak hesaplanmış ve her bir eksende izin verilen maksimum doğrusal ivmelenme değeri de 10.000 mm/s<sup>2</sup> olarak elde edilmiştir. İlk uygulamada Denklem (3.20)'de görülen komut satırları kullanılmıştır. Bu uygulamada kesici takımının kartezyen uzayda izleyeceği koordinatlar sert geçişli seçilmiştir. Bu nedenle geçiş noktalarında hız düşümü olması gerekmektedir. Önerilen yöntem doğrultusunda öncelikle her komut satırı arasındaki geçişlerdeki hız değerleri ( $V_e, V_s$ ) tespit edilmiş ve bu hız değerlerine uygun her bir doğrusal hareket için uygun olan hız profilleri oluşturulmuştur. Şekil 3.7-a'da kesici takımın izleyeceği yörunge, Şekil 3.7-b'de ise

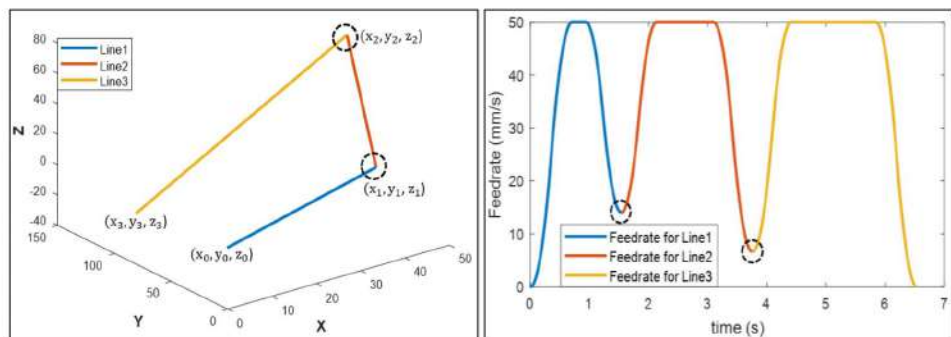
bu yörüğenin eksen motor kapasitelerinin sınırları içerisinde işleneceğini garanti altına alan kesici takım hız ve ivme profilleri görülmektedir.

G01 X40 Y25 Z10 F3000

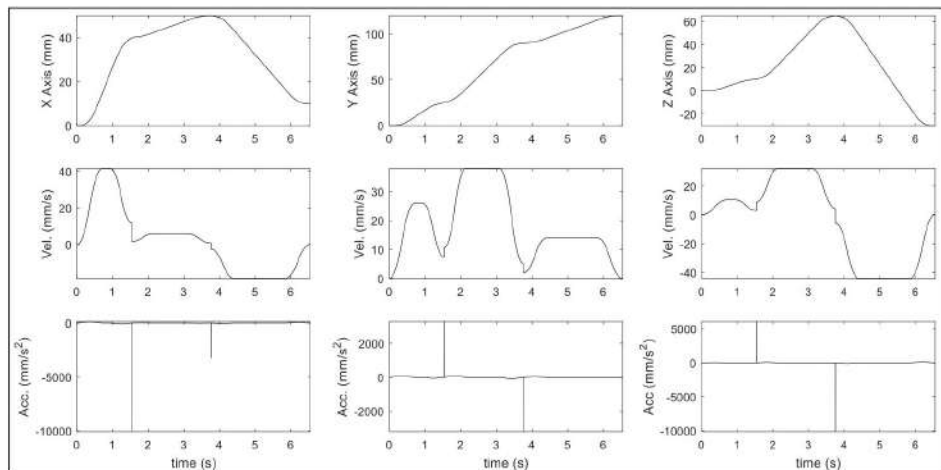
G01 X50 Y90 Z65

(3.20)

G01 X10 Y120 Z-30



Şekil 3.7. (a) Kesici takımı izleyeceği doğrusal hareket yörüngesi (b) bu yörüğe için oluşturulan hız profili (G01 X40 Y25 Z10 F3000, G01 X50 Y90 Z65, G01 X10 Y120 Z-30)



Şekil 3.8. Eksen yörüngeleri ve eksenel hız/ivme grafikleri (G01 X40 Y25 Z10 F3000, G01 X50 Y90 Z65, G01 X10 Y120 Z-30)

Hedeflenen hız profiline uygun çıkarılan eksen yörüngelerine (X-Y-Z), eksen hızlarına ve eksen ivmelenmelerine ilişkin grafikler Şekil 3.8'de verilmiştir. Eksen yörüngeleri oluşturulurken, eksen motorlarının kapasitelerinin aşılmadığı eksen ivmelenme grafiklerinden anlaşılmaktadır. İvmelenme grafiklerinde görüldüğü üzere, kesici

takımın tüm hareketi boyunca doğrusal eksen ivmelenmeleri eşik değeri olan  $10.000 \text{ mm/s}^2$  değerini aşmamıştır. Diğer uygulamada ise Denklem (3.21)'de verilen komut satırları kullanılmıştır. Önerilen yöntemin yumuşak geçişli doğrusal hareketlerde nasıl bir sonuç ortaya koyacağını görmek için kesici takım koordinatları yumuşak geçişli olacak şekilde seçilmiştir.

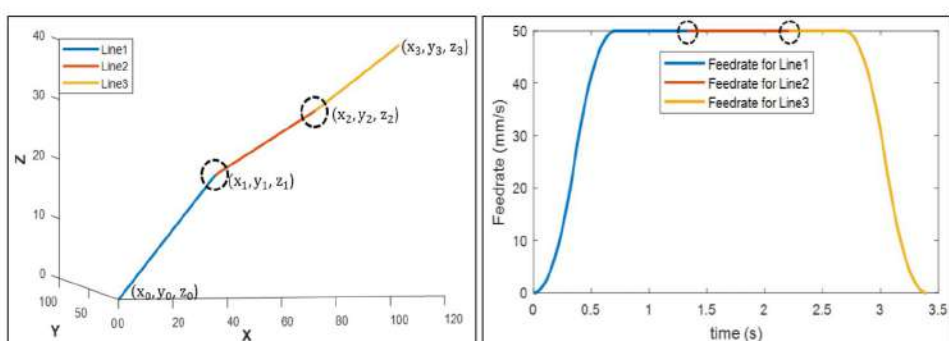
G01 X40 Y20 Z20 F3000

G01 X80 Y35 Z30

(3.21)

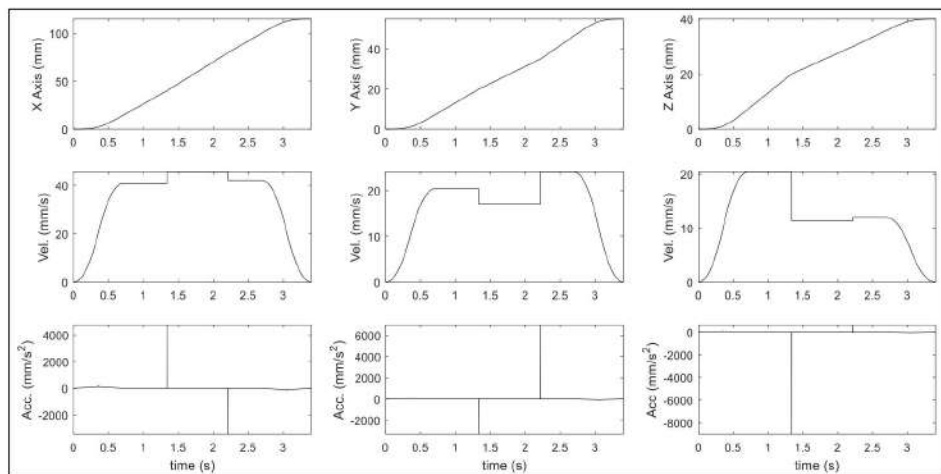
G01 X115 Y55 Z40

Bu uygulamada da her komut satırı geçişindeki hız değerleri yapılan matematiksel işlemler sonrasında tespit edilmiş ve bu değerlere uygun hız profilleri oluşturulmuştur. Şekil 3.9-a'da kesici takımın izleyeceği yörüngе, Şekil 3.9-b'de ise kesici takım için oluşturulan hız profili görülmektedir. Şekil 3.9-b'de görüldüğü üzere geçiş noktalarında hız düşümü ortaya çıkmamıştır. Bu doğrultuda kesici takımın bu uygulamada sabit hızlı ürün işleyeceği anlaşılmaktadır. Kesici takımın tüm satırları sabit hızda işlemesi, hem gereksiz hız düşüşlerinin önlenmesi açısından hem de ürün yüzey kalitesi açısından önemli bir yere sahiptir. Eğer işlenen yörüngе ve tezgah üzerinde kullanılan eksen motorları sabit hızla ürün işlemeye izin veriyorsa o avantajı kullanmak gereklidir. Bu kapsamda önerilen yöntem, hem yörüngenin yapısını analiz ettiği hem de eksen motor parametrelerini dikkate alarak hız değerlerini belirlediği için tezgâhın maksimum kapasitede kullanılmasına olanak sağlamaktadır.



Şekil 3.9. (a) Kesici takımın izleyeceği doğrusal hareket yörüngesi (b) bu yörüngе için oluşturulan hız profili (G01 X40 Y20 Z20 F3000, G01 X80 Y35 Z30, G01 X115 Y55 Z40)

Şekil 3.10'da, hedeflenen hız profiline uygun çıkarılan eksen yörüngelerine (X-Y-Z), eksen hızlarına ve eksen ivmelenmelerine ilişkin grafikler verilmiştir. Kesici takımın hızı tüm hareket boyunca sabit kalmasına rağmen eksen ivmelenmelerinde  $10.000 \text{ mm/s}^2$  eşik değerinin aşılmışlığı görülmektedir. Sonuç olarak önerilen yöntemin hem sert geçişli hem de yumuşak geçişli yörüngelerde etkin bir performans gösterdiği gözlemlenmiştir.



Şekil 3.10. Eksen yörüngeleri ve eksenel hız/ivme grafikleri (G01 X40 Y20 Z20 F3000, G01 X80 Y35 Z30, G01 X115 Y55 Z40)

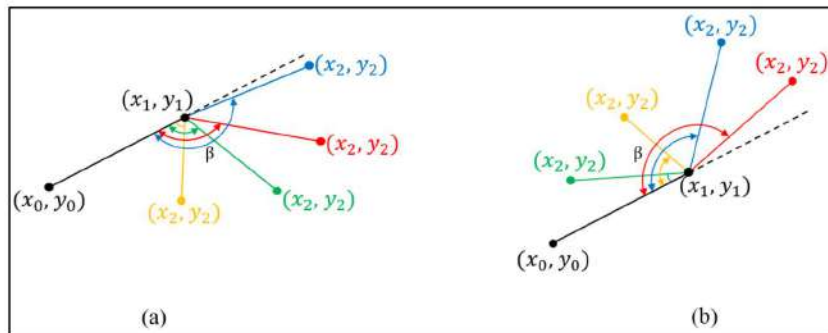
### 3.2. G02/G03 Komutları için Yörüngle Planlamasının Yapılması

Merkez noktası ( $x_c, y_c$ ), başlangıç açı değeri ( $\theta_0$ ) ve dairesel hareket açı miktarının ( $\theta$ ) bulunması dairesel hareketlerde eksen yörüngelerinin oluşturulmasında önemli bir yere sahiptir. Fakat Denklem (2.18) ve (2.19)'da yer alan interpolasyon parametresi olan  $\alpha$  değişkeninin sabit artışlarla kullanılması tezgâhın istenen hız değerinde çalışmasına engel olmaktadır. Bu nedenle her komut satırı için bir hareket planlaması yaparak interpolasyon parametresinin hedeflenen hız profiline uygun bulunması sağlanmalıdır. Doğrusal hareketlerde olduğu gibi dairesel hareketler için de jerk ve ivme sınırlandırmalı hız profilleri kullanılmaktadır. Fakat hız profilleri oluşturulmadan önce ilgili komut satırındaki başlangıç ve bitiş hız değerlerinin ( $V_e, V_s$ ) tespit edilmesi gereklidir. Endüstriyel uygulamalarda binlerce satır G-kod dosyaları ile çalışıldığı için her komut satırı arasındaki geçişlerde hız değerlerinin kontrol edilmesi titreşimsiz tezgâh operasyonları açısından çok önemlidir. G02/G03 komutları için hareket geçişlerinin düzenlenmesinde, CNC tezgâhında o an işlenecek komut satırının

başlangıç  $(x_0, y_0)$  ve bitiş noktaları  $(x_1, y_1)$ , bir sonraki komut satırının ise bitiş noktası  $(x_2, y_2)$  veriler arasındaki açı değeri kullanılmaktadır.  $(x_0, y_0)$  ve  $(x_1, y_1)$  arası bir doğru,  $(x_1, y_1)$  ve  $(x_2, y_2)$  arası da bir doğru kabul edilerek bu doğrular arasındaki açı değeri ( $\beta$ ) Denklem (3.22) yardımı ile hesaplanmaktadır.

$$\beta = 180 - \left( \cos^{-1} \left( \frac{(dx_{10} dx_{21}) + (dy_{10} dy_{21})}{\sqrt{dx_{10}^2 + dy_{10}^2} * \sqrt{dx_{21}^2 + dy_{21}^2}} \right) \right) \quad (3.22)$$

Denklemde,  $dx_{10} = x_1 - x_0$  ,  $dy_{10} = y_1 - y_0$  ,  $dx_{21} = x_2 - x_1$  ,  $dy_{21} = y_2 - y_1$  eşitliklerini ifade etmektedir.  $\beta$  açısının  $0^\circ$ - $180^\circ$  arasındaki değerlerini kapsayan bölge Norm<sub>1</sub> olarak isimlendirilirken,  $180^\circ$ - $360^\circ$  arasını kapsayan bölge ise Norm<sub>-1</sub> olarak kabul edilmektedir. Şekil 3.11-a'da, Norm<sub>1</sub> durumu için dört farklı  $(x_2, y_2)$  noktasının  $\beta$  açı aralıkları, Norm<sub>-1</sub> bölgesinde bulunan dört farklı  $(x_2, y_2)$  noktası için oluşan  $\beta$  açı değerleri ise Şekil 3.11-b'de örnek olarak gösterilmiştir.



Şekil 3.11.  $\beta$  açı aralıklarının gösterimi (a) Norm<sub>1</sub> (b) Norm<sub>-1</sub> durumları için

Tablo 3.2. Komut satır geçişlerine uygun  $V_{e/s}$  değerlerinin bulunması

	Norm <sub>1</sub>		Norm <sub>-1</sub>	
	$\beta < 90$	$\beta \geq 90$	$\beta < 90$	$\beta \geq 90$
<b>G02 → G01</b>	$V_{e/s} = 0$	$V_{e/s} = 0$	$V_{e/s} = 0$	$V_{e/s} = 0$
<b>G02 → G02</b>	$V_{e/s} = V_{max}$	$V_{e/s} = V_{max}/2$	$V_{e/s} = 0$	$V_{e/s} = V_{max}/2$
<b>G02 → G03</b>	$V_{e/s} = 0$	$V_{e/s} = V_{max}$	$V_{e/s} = 0$	$V_{e/s} = V_{max}$
<b>G03 → G01</b>	$V_{e/s} = 0$	$V_{e/s} = 0$	$V_{e/s} = 0$	$V_{e/s} = 0$
<b>G03 → G02</b>	$V_{e/s} = 0$	$V_{e/s} = V_{max}$	$V_{e/s} = 0$	$V_{e/s} = V_{max}$
<b>G03 → G03</b>	$V_{e/s} = V_{max}$	$V_{e/s} = V_{max}/2$	$V_{e/s} = 0$	$V_{e/s} = V_{max}/2$

Norm,  $\beta$  açı değeri ve satır geçişlerindeki G koduna bağlı olarak, o an işlenen yörüngenin bitiş hızı ( $V_e$ ), sonraki komut satırındaki hareketin ise başlangıç hızı ( $V_s$ ),  $V_{e/s}$  değişkeni üzerinden Tablo 3.2'de görüldüğü gibi tespit edilmektedir. G01, doğrusal hareket komutu olduğu için G02 ya da G03 komutundan G01 komutuna bir geçiş söz konusu ise  $V_{e/s} = 0$  olarak kabul edilmektedir. Başlangıç ve bitiş hızlarının bulunması sonrasında, Şekil 3.3'te yer alan hız profil seçim diyagramı yardımı ile uygun hız profili seçilmektedir. Şekil 3.3'te görülen  $L_{seg}$  parametresi, dairesel hareketlerde Denklem (3.23)'te verilen eşitlikle elde edilmektedir.

$$L_{seg} = (R)(\theta \frac{\pi}{180}) \quad (3.23)$$

Hedeflenen sabit jerkli hız ve ivme profillerinin, dairesel yörüngelerin interpolasyon işleminde uygulanabilmesi için Denklem (3.24)'te yer alan Taylor denklemi kullanılmaktadır.

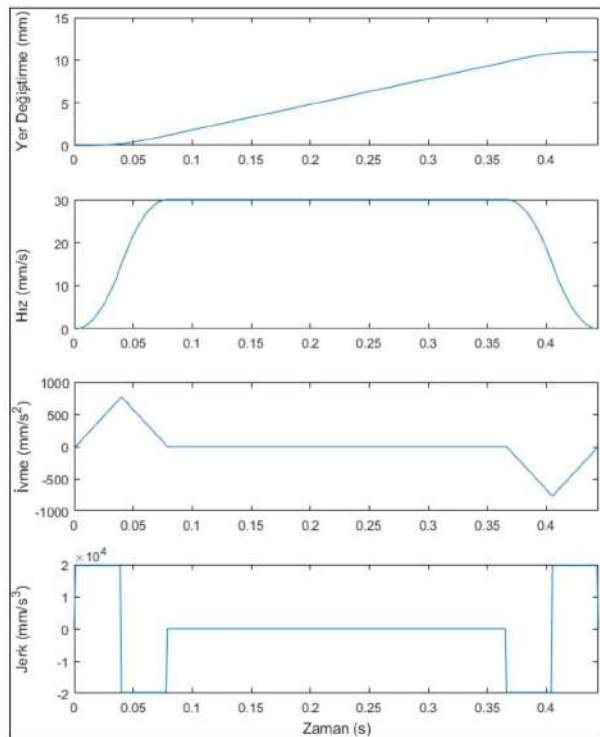
$$\alpha_{i+1} = \alpha_i + \frac{V(\alpha_i)}{|R'(\alpha_i)|} T_s + \frac{1}{|R'(\alpha_i)|} \left( A(\alpha_i) - \frac{R'(\alpha_i) R''(\alpha_i)}{|R'(\alpha_i)|^3} V(\alpha_i)^2 \right) \frac{T_s^2}{2} \quad (3.24)$$

Eşitlikteki  $\alpha$  değeri, G02/G03 komutu için, hedeflenen hız ve ivme profili temelinde bulunan interpolasyon parametresidir. Ayrıca eşitlikteki  $R'(k_i)$  ve  $R''(k_i)$  ifadeleri her  $\alpha_i$  değeri için hesaplanan radyusün birinci ve ikinci türevleri,  $V(\alpha_i)$  ve  $A(\alpha_i)$  ise hedeflenen hız ve ivme profillerinin her  $\alpha_i$  parametresine karşılık gelen değerleridir. Son olarak eşitlikte yer alan  $T_s$  ise eksen veri yenileme süresidir. Denklem (3.25)'te yer alan tek satırlık bir G-kod dosyası üzerinden önerilen yöntemlerin nasıl kullanıldığı örnek olarak incelenmiştir.

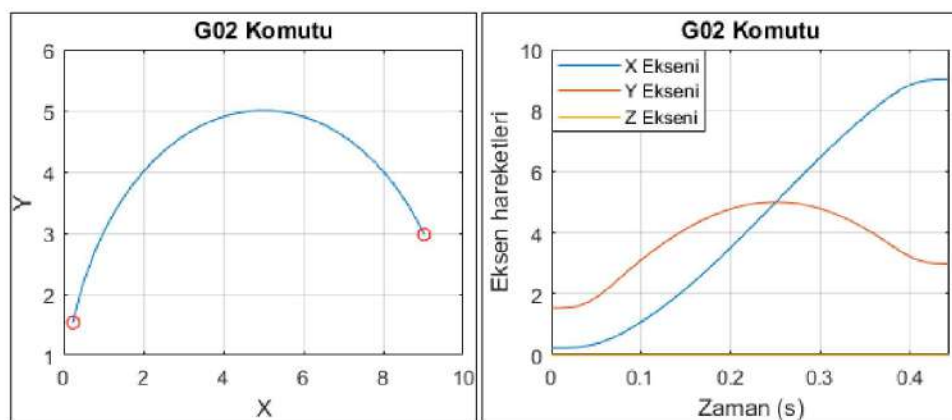
$$G02 X9.019 Y2.975 R14.976 F1800 \quad (x_0 = 0.2407, y_0 = 1.533, z_0 = 0) \quad (3.25)$$

Örnek komut satırında, başlangıç konumu (0.2407,1.533,0) noktası olan kesici takımın, (9.019,2.975,0) noktasına 1800 mm/dk (30mm/s) hızla saat yönünde 14.976 yarıçapında dairesel hareketle gitmesi gereği belirtilmektedir. İlgili dairesel hareketin işlenebilmesi için öncelikle merkez noktası ( $x_c, y_c$ ), başlangıç açı değeri ( $\theta_0$ ) ve dairesel hareket açı miktarı ( $\theta$ ) bulunmuştur. Hesaplanan parametreler sonrasında ise dairesel hareketin boyuna ( $L_{seg}$ ) ve başlangıç/bitiş hız değerlerine uygun hız profili

seçilmiştir ( $J_m = 20000 \text{ mm/s}^3$ ,  $A_m = 1000 \text{ mm/s}^2$ ). Tek satırlık bir kod olması dolayısıyla  $V_{e/s} = 0$  olarak kabul edilmiştir. Bu doğrultusa Denklem (3.25)'teki dairesel hareket komutu için Şekil 3.12'de görülen jerk, ivme, hız ve yer değiştirme profilleri oluşturulmuştur.

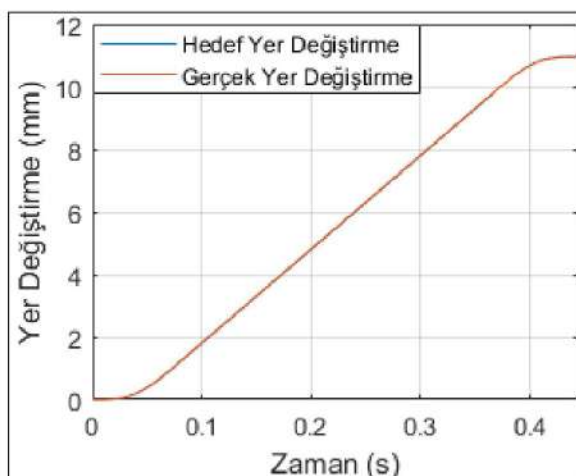


Şekil 3.12. Hedef jerk, ivme, hız ve yer değiştirme grafikleri (G02 X9.019 Y2.975 R14.976 F1800)



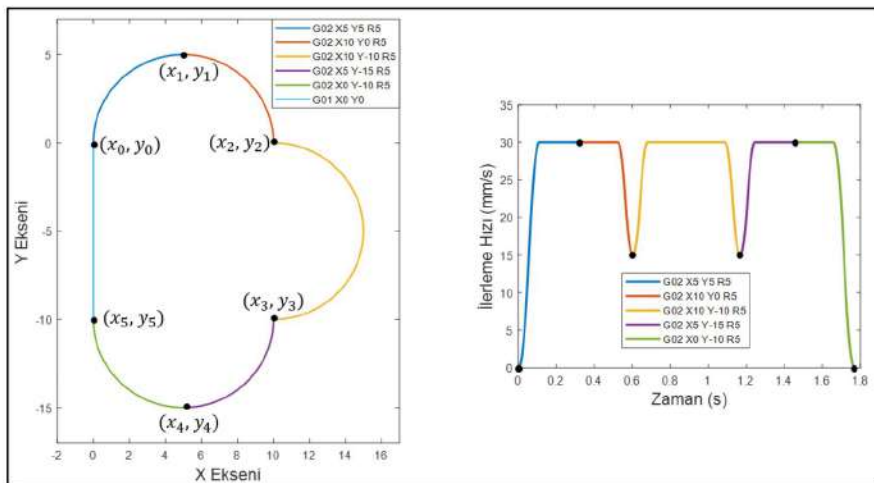
Şekil 3.13. G02 X9.019 Y2.975 R14.976 F1800 komutuna ilişkin eksen hareketleri

Elde edilen profiller yardımcı ile interpolasyon parametresi  $\alpha$  bulunmuş ve Denklem (2.18)'de kullanılarak eksen yörüngeleri üretilmiştir. Şekil 3.13-a'da ilgili dairesel hareket için kesici takımın kartezyen uzayda gideceği yörunge, Şekil 3.13-b'de ise eksen yörüngeleri görülmektedir. Şekil 3.14'te ise hedef yer değiştirme grafiği ile interpolasyon işlemi sonrasında oluşan gerçek yer değiştirme grafiği görülmektedir. Karşılaştırma sonucunda interpolasyon işleminin hedef profillere uygun yapıldığı görülmektedir.



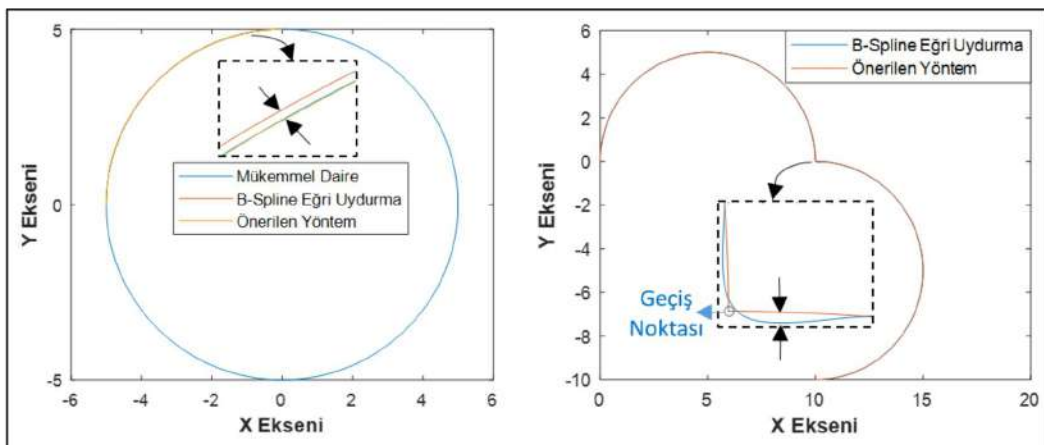
Şekil 3.14. Hedef ve gerçekleşen yer değiştirme grafiklerinin karşılaştırılması (G02 X9.019 Y2.975 R14.976 F1800)

Tek satırlı uygulamaya ek olarak, G17 düzleminde, altı komut satırından oluşan bir G-kod dosyası üzerinden önerilen yöntemlerin nasıl kullanıldığı Şekil 3.15'te örnek olarak gösterilmiştir. G02 komutları için, merkez noktası  $(x_c, y_c)$ , başlangıç açı değeri  $(\theta_0)$  ve açısal hareket miktar  $(\theta)$  değerleri bulunarak Şekil 3.15-a'da görülen yörunge elde edilmektedir. G01 doğrusal hareket komutu bu çalışma kapsamına girmediği için sembolik olarak gösterilmiş ve yörunge planlamasına dâhil edilmemiştir. Fakat beşinci satırdaki G02 komutundan sonra G01 komutuna geçiş olduğu için bu noktada  $V_{e/s} = 0$  değerini almaktadır. İlk beş satır için tüm  $V_{e/s}$  ilerleme hız bilgileri bulunmuş ve bu veriler doğrultusunda oluşturulan genel hız/ivme profili Şekil 3.15-b'de görüldüğü gibi oluşturulmaktadır. Dairesel hareket interpolasyon parametresi bulunduktan sonra ise X-Y ekseni için oluşan nihai eksen yörüngeleri Şekil 3.18-a'da görüldüğü gibi elde edilmektedir. Z ekseninde herhangi bir hareket olmadığı için ürün işleme sürecinde sıfır olarak kalmaktadır.



Şekil 3.15. Kartezyen uzayda işlenecek dairesel yörüngeler ve kesici takım hız profili

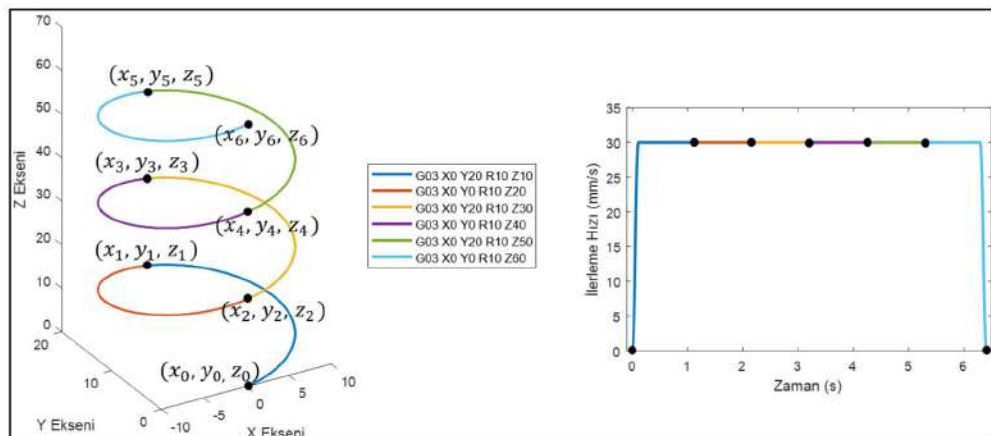
Bu çalışmada önerilen yörüngeler planlama algoritmasında doğrudan G02 ve G03 komutları ile verilen X-Y-Z ve R bilgileri kullanıldığı için normalde kontur hatalarına yol açan ve ana yörüngeyi terk eden mevcut eğri uydurma (curve fitting) ve köşe yumuşatma (corner smoothing) yöntemlerinin bu dezavantajı ortadan kaldırılmaktadır. Yarıçapı 5 olan bir radyus için, önerilen yöntem ve literatürdeki en gelişmiş eğri uydurma yöntemlerinden biri olan B-spline eğri uydurma yöntemi [8, 10, 25] ile çıkarılan yörüngeler, yüksek çözünürlüklü mükemmel daire olarak nitelendirilen dairesel yörüngeler üzerinde Şekil 3.16-a'da görüldüğü gibi karşılaştırılmıştır.



Şekil 3.16. Önerilen yöntem ve B-spline eğri uydurma yöntemi ile çıkarılan yörüngelerin karşılaştırılması

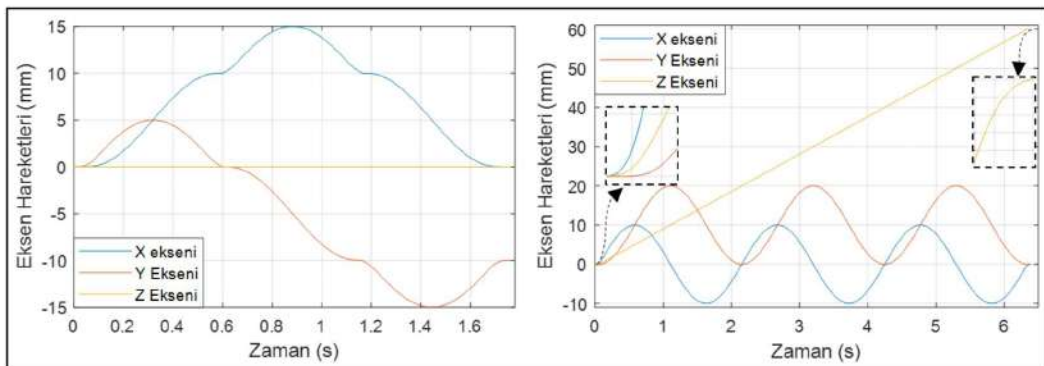
B-spline eğrisi G-kod dosyasında daire üzerinde belirli aralıklarla verilen nokta bulutlarına uygun yörüngeler planlaması yaptığı için Şekil 3.16-a'da görüldüğü gibi

kontur hatası oluşurken, önerilen yöntemle çıkarılan yörüngenin mükemmel daire üzerinde olduğu görülmektedir. Şekil 3.16-b'de ise ardışık iki dairesel harekete ilişkin yörünge karşılaştırılması yer almaktadır. B-spline eğrisi ile elde edilen yörünenin iki dairesel hareket arasındaki geçiş noktasında ana yörüngeden bir miktar sapma yaptığı Şekil 3.16-b'de görülmektedir. Fakat önerilen yöntemde G komutları ile verilen X-Y-Z ve R verilerine uygun yörünge planlaması yapıldığı için geçiş noktasında sapma meydana gelmemektedir. Helisel yörüngelerde dairesel harekete senkron çalışan üçüncü eksen için nasıl yörünge planlaması yapıldığını göstermek için ise G17 düzleminde yine altı komut satırından oluşan G03 komut temelli G-kod dosyası kullanılmıştır. G-kod dosyasına uygun çıkarılan yörünge ve bu helisel yörünge için oluşturulan hız profili ise Şekil 3.17'de verilmiştir.



Şekil 3.17. Kartezyen uzayda işlenecek helisel yörünge ve CNC tezgâhının ve kesici takım hız profili

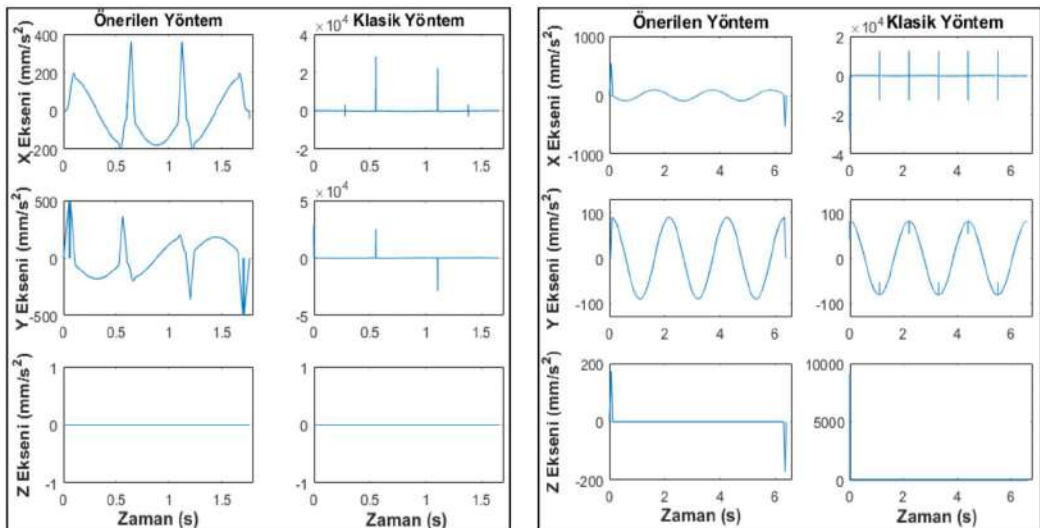
Her komut satırı için  $\beta$  açısı 90 dereceden küçük ve her satırda G03 komutu kullanıldığı için komut geçiş hızları Tablo 3'ten  $V_{e/s} = V_{max}$  olarak elde edilmekte ve bu nedenle Şekil 3.17'de görüldüğü gibi sabit hızlı hareket planlaması olmaktadır. Denklem (15) ile bulunan interpolasyon parametresi ( $\alpha$ ), Denklem (3.26)'da kullanılarak Şekil 3.18-b'de görülen X, Y ve Z eksen yörüngeleri üretilmektedir. X-Y ekseninde dairesel hareket meydana gelirken, Z ekseninde ise kalkış ve duruşta sabit jerkli hız profili nedeniyle yumuşak geçişleri olan doğrusal hareket gerçekleşmektedir. Z eksenin X-Y eksenine senkronize hareket ettiği için helisel yörüngede doğrusal hareketten kaynaklı bir kayma olusmamaktadır.



Şekil 3.18. Eksen yörüngeleri (a) dairesel hareket (b) helisel hareket için

Jerk ve ivme sınırlı hale getirilmiş hareket planlaması kartezyen uzayda yapılmasına rağmen eksenlerde oluşan ivme değerleri de motor kapasitelerini zorlamayacak düzeyde olmaktadır. Çünkü hız profili parametreleri olan maksimum jerk ve ivme değerleri tezgâh üzerindeki eksen motor kapasitelerine uygun seçilmektedir.

$$\alpha_{i+1} = \alpha_i + \frac{(V_{\max})(T_s)(\theta \frac{\pi}{180})}{L_{\text{seg}}} \quad \alpha_0 = \theta_{02/03} \frac{\pi}{180} \quad (3.26)$$



Şekil 3.19. Önerilen interpolasyon yönteminin klasik yöntemle karşılaştırması (a) dairesel yörunge (b) helisel yörunge için

Ayrıca eksenel ivmeleri etkileyen bir diğer önemli parametre ise komut satırları arasındaki geçişte oluşan eksen yörüngelerinin yönelimidir. Eğer bir komuttan diğerine geçerken bir eksende ters yönlü hareket ortaya çıkarsa bu noktalarda yüksek ivmelenme görülür. Bu tür sorunların önüne ise Tablo 3.2'deki hız seçim işlemi

geçmektedir. Genel yapısı ile önerilen yöntemler eksenlerde oluşabilecek yüksek ivmeleri de engellemiş olmaktadır. Çalışmanın eksen ivmelerindeki etkisini göstermek için, eksenel ivme sonuçları, interpolasyon parametresinin klasik bir yöntem olan sabit artımlı olarak belirlenmesi sonucunda (Denklem (3.26)) oluşan eksenel ivmelerle karşılaştırılmıştır. Dairesel ve helisel yörüngelerin işlenmesinde oluşan eksen ivmeleri Şekil 3.19'da görülmektedir. Önerilen yöntemle yapılan interpolasyon işlemlerinde eksen ivme değerleri  $500 \text{ mm/s}^2$  değerini aşmaz iken, klasik yöntemde özellikle komut satır geçişlerinde çok yüksek ivmeler oluşmaktadır. Ayrıca eksenlerin kalkış ve duruş hareketlerinde ivmeler yavaş yavaş değişirken, klasik yöntemde bu şekilde bir kontrol yapısı bulunmamaktadır.

### **3.3. Eğrisel Fonksiyonlar İçin Yörunge Planlamasının Yapılması**

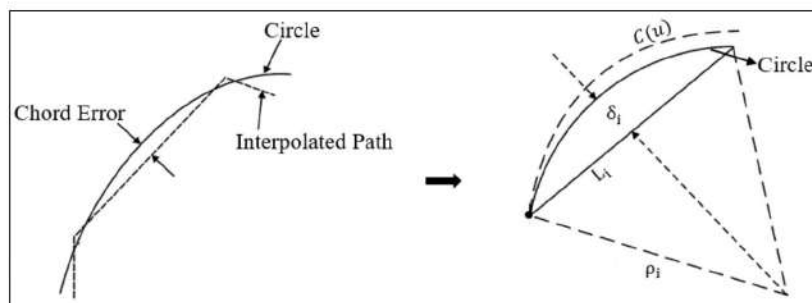
Önceki bölümlerde anlatıldığı üzere dairesel ve doğrusal yörüngelerle ifade edilemeyen karmaşık yüzeyler CNC tezgâhlarında iki yöntemle işlenmektedir. Eğer CAM programı ve tezgâh kontrol ünitesi NURBS komutlarını destekliyorsa eğrisel yörüngeler G06.2 komutu üzerinden tanımlanmaktadır. Aksi durumda ise bir eğri küçük doğrusal parçalara bölünmekte ve tezgâh kontrol ünitesi de o parçaları bir eğriye dönüştürmektedir. Tez çalışması kapsamında geliştirilen kontrol ünitesi, doğrudan NURBS komutlarını tanımasının yanında çoklu doğrusal parçaları da NURBS fonksiyonlarına çevirdiği için hem G06.2 hem de G05.1 komutlarının yörunge interpolasyon işlemleri bu bölümde tek başlık altında açıklanmıştır.

NURBS eğrilerinde, doğrusal, dairesel ve helisel yörüngelerden farklı olarak sabit hızda yörunge planlaması yapmak mümkün değildir. Çünkü bir eğrinin sabit hızda işlenmesi üç boyutlu uzayda kesici takımın yaptığı hareketin her örneklemeye zamanında aynı uzunlukta olmasını gerektirir. Fakat eğrinin her bölgesi için sabit uzunlukta değişim oluşturacak bir hareket planlaması yapmak ürün çıktısı açısından uygun değildir. Kontrol ünitesi eksenlere sabit örneklemeye zamanında bilgi göndereceği için belirlenen sabit hız doğrudan her adımdaki hareket boyunu etkilemektedir. Bu durumda sabit hızın eğrinin hangi bölgesi göz önünde bulundurarak belirlendiği önemli hale gelmektedir. Eğer eğrinin en hassas değişimler olan bölgesi dikkate alınmış ise hız değerinin düşük olması gerekmektedir. Bu nedenle eğrinin diğer bölgeleri de yavaş işlenecek ve ürün işleme süresini artıracaktır. Eğrinin normal veya

az hassas olan bölgelerine göre seçilen bir hız olması durumunda ise hareket boyları uzayacak dolayısıyla eğrinin hassas yerlerinde veri kayıpları artmış olacaktır. Sonuç olarak sabit hızda eğrinin işlenmesi ya işlem süresini artırmakta ya da hassas bölgelerde veri kaybına neden olmaktadır. Bu nedenle bir NURBS eğrisi için hız profili çıkartıldırken hız optimizasyonu yapılması gerekmektedir.

### 3.3.1. Eğrilik yarıçapı ve kiriş hatası (chord error)

Bu eğrinin veri kaybı olmadan yüksek hızda işlenebilmesi için öncelikle eğrinin her noktası için eğrilik değerlerinin ( $k$ ) elde edilmesi gerekmektedir. Eğrilik değerleri üzerinden eğrilik yarıçapları ( $\rho$ ) bulunmakta ve sonrasında ise interpolasyon yörüngesi ile eğrilik yarıçapına göre uydurulan dairesel yörüğenin arasındaki kiriş hata ( $\delta$ ) değerleri hesaplanmaktadır. Şekil 3.20'de eğrilik yarıçapları ve kiriş hatası (chord error) arasındaki ilişki gösterilmiştir.



Şekil 3.20. Eğrilik yarıçapı ve kiriş hatası

Bir NURBS eğrisi üzerindeki eğrilik değerleri ( $k$ ) ve eğrilik yarıçapları ( $\rho$ ) Denklem (3.27) ve (3.28)'de yer alan eşitliklerle ayrı ayrı elde edilmektedir.

$$k_i = \frac{\|C'(u_i) C''(u_i)\|}{|C'(u_i)|^3} \quad \rightarrow \quad C'(u) = \frac{A'(u) - w'(u)C(u)}{w(u)} \quad (3.27)$$

$$\rho_i = \frac{1}{k_i} \quad (3.28)$$

Eğrilik yarıçaplarının ve kiriş hatlarının yüksek olduğu yerlerde hassas işleme yapabilmek için ilerleme hızının düşürülmesi gerekmektedir. Bu noktalarda olması gereken hız değerlerinin tespiti için öncelikle Denklem (3.29)'da görülen kiriş hatalarının hesaplanması gereklidir.

$$\delta_i = \rho_i - \sqrt{\rho_i^2 - \left(\frac{L_i}{2}\right)^2} \quad (3.29)$$

Elde edilen parametreler doğrultusunda, eğrilik ve eğrilik yarıçapı/kiriş hatası değerlerinin etkin olduğu iki farklı hız değerleri oluşturulmaktadır. Eğrilik parametresine ilişkin hız değerleri ( $V_c$ ) Denklem (3.30), eğrilik yarıçapı/kiriş hatasına bağlı bulunan hız değerleri ( $V_{ce}$ ) ise Denklem (3.31) eşitlikleri ile hesaplanmaktadır

$$V_c(u_i) = \begin{cases} V_{\max} & k(u_i) \leq k_{\text{thr}} \\ \frac{k_{\text{cs}}}{k(u_i) + k_{\text{cs}}} (V_{\max}) & k(u_i) > k_{\text{thr}} \end{cases} \rightarrow k_{\text{thr}} = \frac{A_{\max}}{V_{\max}^2} \quad (3.30)$$

$$V_{ce}(u_i) = \begin{cases} V_{\max} & \frac{2}{T_s} \sqrt{\rho_i^2 - (\rho_i - \delta)^2} > V_{\max} \\ \frac{2}{T_s} \sqrt{\rho_i^2 - (\rho_i - \delta)^2} & \frac{2}{T_s} \sqrt{\rho_i^2 - (\rho_i - \rho_i)^2} \leq V_{\max} \end{cases} \quad (3.31)$$

Nihai hız değerleri ise Denklem (3.32) ile belirlenmektedir. Fakat Denklem (3.32)'nin çıktısı olan  $V_{u_i}$  değeri, sürekli fonksiyona sahip bir hız eğrisi olmadığı için bir NURBS eğrisinin doğrudan hız profili olarak kullanılamamaktadır. Bu nedenle  $V_{u_i}$  içerisindeki gerekli hız değerleri alınarak jerk ve ivme sınırlandırmalı sürekli fonksiyona sahip hız profilleri oluşturulmaktadır.

$$V_{u_i} = \max\{\min\{V_c(u_i), V_{ce}(u_i), V_{\max}\}, V_{\min}\} \quad (3.32)$$

$V_{u_i}$  içerisindeki gerekli değerler ise eğrilik grafiğinin ( $k$ ) bölgesel maksimum ve minimum noktalarının bulunması sonucunda belirlenmektedir (Denklem (3.33)).  $k_{\min}$  ve  $k_{\max}$  noktalarındaki  $u_i$  değerlerine karşılık gelen  $V_{u_i}$  değerleri NURBS eğrisi içindeki segmentlerin başlangıç ve bitiş hızları ( $V_s, V_e$ ) olarak kullanılmaktadır. Başlangıç ve bitiş hızlarının bulunması sonrasında, Şekil 3.3'te yer alan hız profil seçim diyagramı yardımı ile uygun hız profili seçilmektedir.

$$\begin{aligned} k_{\min} &= \text{local min}(k) \\ k_{\max} &= \text{local max}(k) \end{aligned} \quad (3.33)$$

Şekil 3.3'te görülen  $L_{seg}$  parametresi, eğrisel hareketlerde Denklem (3.34)'te verilen eşitlikle elde edilmektedir.

$$L_{seg}^m = \sum_{i=1}^{N_m} |C_{(u_{i+1})} - C_{(u_i)}| \quad (3.34)$$

Denklemde,  $m$  ilgili segmentin dizinini,  $N_m$  ise ilgili segmentteki interpolasyon sayısını ifade etmektedir. Hedeflenen sabit jerkli hız ve ivme profillerinin, eğrisel yörüngelerin interpolasyon işleminde uygulanabilmesi için Denklem (3.35)'te yer alan Taylor denklemi kullanılmaktadır.

$$u_{i+1} = u_i + \frac{V(u_i)}{|C'(u_i)|} T_s + \frac{1}{|C'(u_i)|} \left( A(u_i) - \frac{C'(u_i)C''(u_i)}{|C'(u_i)|^3} V(u_i)^2 \right) \frac{T_s^2}{2} \quad (3.35)$$

Denklemdeki  $u$  değeri NURBS eğrisine ait interpolasyon parametresidir.  $u$  parametresi hedeflenen hız ve ivme profili dikkate alınarak bulunmaktadır. Ayrıca denklemdeki  $C'(u_i)$  ve  $C''(u_i)$  ifadeleri her  $u_i$  değeri için elde edilen eğrinin birinci ve ikinci türevleri,  $V(u_i)$  ve  $A(u_i)$  ise hedeflenen hız ve ivme profillerinin her  $u_i$  parametresine karşılık gelen değerleridir. NURBS eğrisinin birinci ve ikinci türevleri olan  $C'(u_i)$  ve  $C''(u_i)$  parametreleri Denklem (3.36)'da yer alan genel NURBS türev eşitliği üzerinden Denklem (3.37) ve (3.38)'de görüldüğü gibi hesaplanmaktadır.

$$C^{(m)}(u) = \frac{d^m C(u)}{du^m} = \frac{A^{(m)}(u) - \sum_{i=1}^m \frac{m!}{i!(m-i)!} w^i(u) C^{(m-i)}(u)}{w(u)} \quad (3.36)$$

$$C'(u) = \frac{A'(u) - w'(u)C(u)}{w(u)} \quad (3.37)$$

$$C''(u) = \frac{A''(u) - 2w'(u)C'(u) - w''(u)C(u)}{w(u)} \quad (3.38)$$

Denklem (3.39)'da yer alan NURBS parametreleri üzerinden önerilen yöntemlerin nasıl kullanıldığı örnek olarak incelenmiştir. Denklem (3.39)'daki kontrol noktaları, düğüm vektörü ve ağırlık vektörü bilgileri ile Şekil 3.21'de görülen NURBS eğrisi elde edilmiştir. Bu NURBS eğrisinin bir CNC tezgâhında titreşimsiz ve yüksek hassasiyette işlenebilmesi için eğrilik, eğrilik yarıçapı ve kiriş hatası parametreleri temelinde kesici takım hız vektörü ( $V_{u_i}$ ) oluşturulmaktadır. Hız vektörü içinden gereklilik

bilgiler ise Şekil 3.22-a'da görülen eğrilik grafiği üzerindeki analiz sonucunda alınmıştır. Öncelikle eğrilik grafiğinin bölgesel maksimum ve minimum noktaları tespit edilmiş ve eğrilik eşik değerinin üzerindeki noktalardaki  $u_i$  değerlerine karşılık gelen hız değerleri saptanmıştır. Şekil 3.22-a'da görüldüğü üzere eşik değerini (1) geçen üç nokta (A-B-C) bulunmaktadır. Eğrilik değerlerinin yüksek olduğu yerler (A-B-C noktaları) Şekil 3.22-b'de NURBS eğrisi üzerinde de gösterilmiştir.

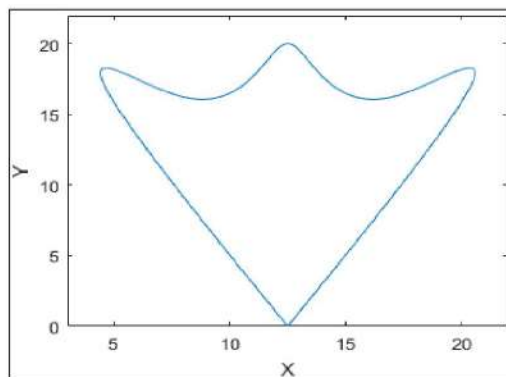
X Kontrol Noktası: [12.5, 25, 15, 12.5, 10, 0, 12.5]

Y Kontrol Noktası: [0, 25, 10, 25, 10, 25, 0]

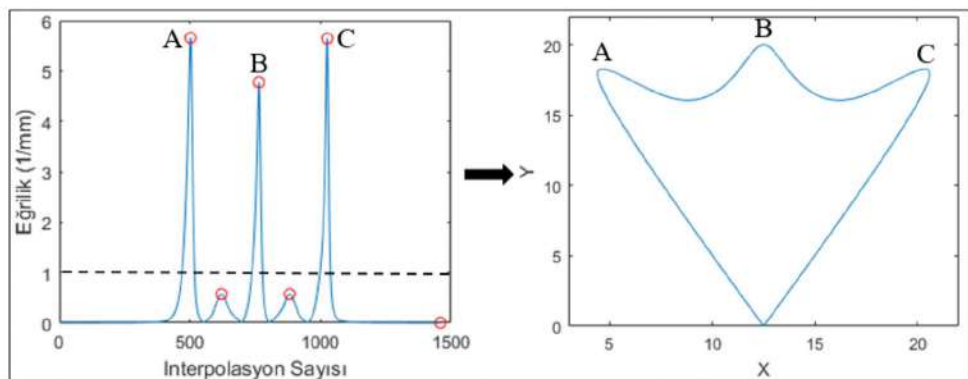
Z Kontrol Noktası: [0, 0, 0, 0, 0, 0, 0] (3.39)

Düğüm Vektörü: [0 0 0 0 0.25 0.50 0.75 1 1 1 1]

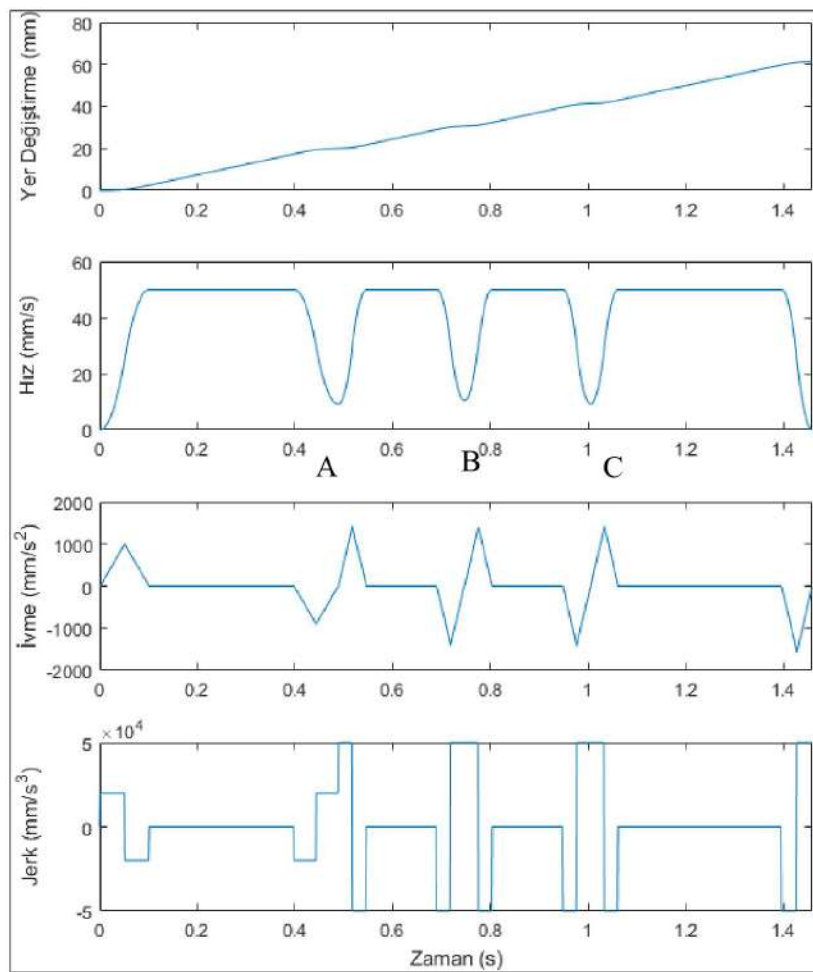
Ağırlık Vektörü: [1 1 1 1 1 1 1]



Şekil 3.21. Denklem 3.13 parametrelerine göre elde edilen NURBS eğrisi

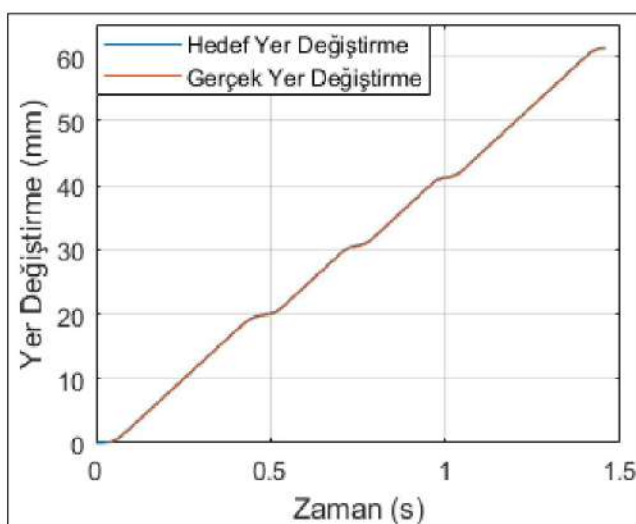


Şekil 3.22. Eğrilik grafiği ve eşik değeri üzerindeki bölgesel maksimum/minimum noktalarının bulunması



Şekil 3.23. Hedef jerk, ivme, hız ve yer değiştirme grafikleri (Şekil 3.21'deki NURBS eğrisi için)

Eşik değerinin üzerinde hiçbir nokta olmaması NURBS eğrisinin sabit hızla işlenebileceğini göstermektedir. Fakat bu uygulamada eğrilik değerinin yüksek olduğu bölgeler olduğu için bu bölgelerde hız düşümü olması gereklidir. Ayrıca hız düşümü olan noktalar aynı zamanda NURBS eğrisinin segment ayırm noktaları olmaktadır. Bir segmentin bitiş hızı ve diğer segmentin başlangıç hızı ( $V_e, V_s$ )  $V_{u_i}$  vektöründen alınan değerlerdir.  $V_e$  ve  $V_s$  değerlerinin bulunması sonrasında Şekil 3.23'te görülen jerk, ivme, hız ve yer değiştirme profilleri oluşturulmaktadır. A-B-C noktalarında hız profillerinin nasıl değişim gösterdiği şekil üzerinde görülmektedir. Hedef jerk, ivme ve hız profilleri temelinde yapılan interpolasyon işleminin başarısının gösterimi için de yine yer değiştirme grafikleri karşılaştırılmıştır. Şekil 3.24'teki hedef ve gerçekleşen yer değiştirme grafiklerinden NURBS eğrisinin interpolasyon işleminin doğru yapıldığı gözlemlenmiştir.



Şekil 3.24. Hedef ve gerçekleşen yer değiştirme grafiklerinin karşılaştırılması

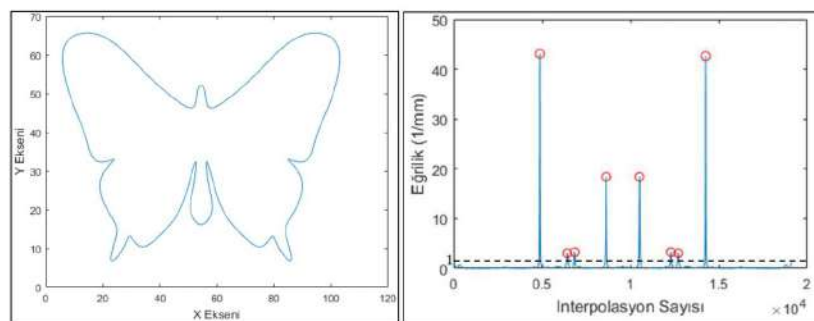
NURBS eğrilerinin yörunge planlamasını yaparken hız profilinin oluşturulması önemli bir yere sahip olduğu için daha fazla segmentten oluşan bir NURBS eğrisi üzerinde bir uygulama daha yapılmıştır.

Kontrol Noktaları=[54.493 55.507 56.082 56.780 69.575 77.786 90.526 105.973 100.400  
94.567 92.369 83.440 91.892 89.444 83.218 87.621 80.945 79.834 76.074 70.183 64.171  
59.993 55.680 56.925 59.765 54.493 49.220 52.060 53.305 48.992 44.814 38.802 32.911  
29.152 28.040 21.364 25.768 19.539 17.097 25.537 16.602 14.199 8.668 3 18.465 31.197  
39.411 52.204 52.904 53.478 54.492;52.139 52.139 49.615 44.971 51.358 58.573 67.081  
63.801 47.326 39.913 30.485 33.757 28.509 20.393 15.446 4.830 9.267 14.535 8.522 12.550  
16.865 22.122 36.359 24.995 19.828 14.940 19.828 24.994 36.359 22.122 16.865 12.551  
8.521 14.535 9.267 4.830 15.447 20.391 28.512 33.750 30.496 39.803 47.408 63.794 67.084  
58.572 51.358 44.971 49.614 52.139;0 0]; (3.40)

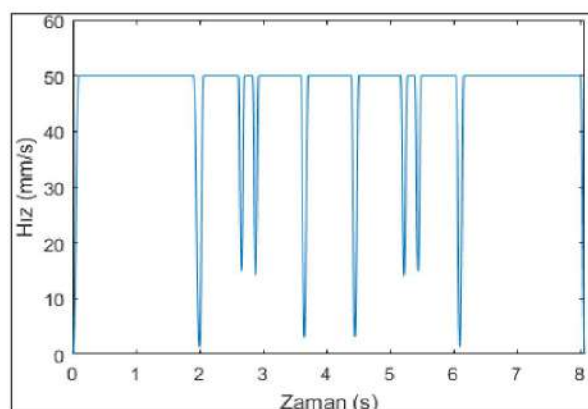
Düğüm Vektörü=[0 0 0 0.008286 0.014978 0.036118 0.085467 0.129349 0.150871  
0.193075 0.227259 0.243467 0.256080 0.269242 0.288858 0.316987 0.331643 0.348163  
0.355261 0.364853 0.383666 0.400499 0.426851 0.451038 0.465994 0.489084 0.499973  
0.510862 0.533954 0.548910 0.573096 0.599447 0.616280 0.635094 0.644687 0.651784  
0.668304 0.682958 0.711087 0.730703 0.743865 0.756479 0.772923 0.806926 0.849130  
0.870652 0.914534 0.963883 0.985023 0.991714 1 1 1 1];

Ağırlık Vektörü=[1 1 1 1.2 1 1 1 1 1 1 2 1 1 5 3 1 1.1 3 5  
1 1 2 1 1 1 1 1 1 1.2 1 1 1];

Denklem (3.40)'ta NURBS eğrisine ilişkin düğüm vektörü, kontrol noktaları ve ağırlık vektörü bilgileri verilmiştir. İlgili parametreler kullanılarak elde edilen NURBS eğrisi Şekil 3.25-a'da görülmektedir. Bu NURBS eğrisine ait eğrilik grafiği ise Şekil 3.25-b'de görüldüğü gibi elde edilmiştir. Eğrilik grafiği üzerinde eşik değerinin üzerinde sekiz nokta olduğu tespit edilmiş ve bu noktalardaki hız değerleri bulunmuştur. Sonrasında ise Şekil 3.26'da yer alan hız profili elde edilerek interpolasyon işlemi uygulanmıştır.



Şekil 3.25. NURBS kelebek eğrisi ve eğrilik grafiği



Şekil 3.26. NURBS kelebek eğrisine ait kesici takım hız profili

## **4. CNC KONTROL ÜNİTESİ YAZILIM VE DONANIM GELİŞTİRME İŞLEMLERİ**

CNC kontrol ünitelerini temel olarak iki bölüme ayırsak, CAM programından alınan G-kod dosyasındaki G ve M kodlarının okunmasından, ürünün işlenmesine kadar tamamen kontrol ünitesinin denetiminde olan süreç bir bölümü kapsarken, dokunmatik ekran ve gerekli diğer kontrol donanımlarını kullanarak, makine sıfırı, parça sıfırı, eksen tanımlama, parametre girme gibi tezgâh ayarlarının ve program yazma-değiştirme, spindle aç-kapat gibi tezgâh operatörünün manuel kullanımına yönelik tüm işlemler ise diğer bölümde gerçekleşmektedir. Belirtilen bu iki bölüm operatör paneli üzerinde birbirlerine entegre çalışmaktadır. Bu doğrultuda yapılan çalışmada öncelikle endüstriyel bir operatör paneli donanımı tasarımı yapılmıştır. Şekil 4.1'de görülen operatör panelinde, Beckhoff UltraCompact (PC C6030) endüstriyel bir bilgisayar ve 19" dokunmatik bir ekran bulunmaktadır. Bununla birlikte gerekli bağlantı kabloları, sigortalar, kontrol tuşları ve el kumandası bu kontrol ünitesine dahil edilmiştir.

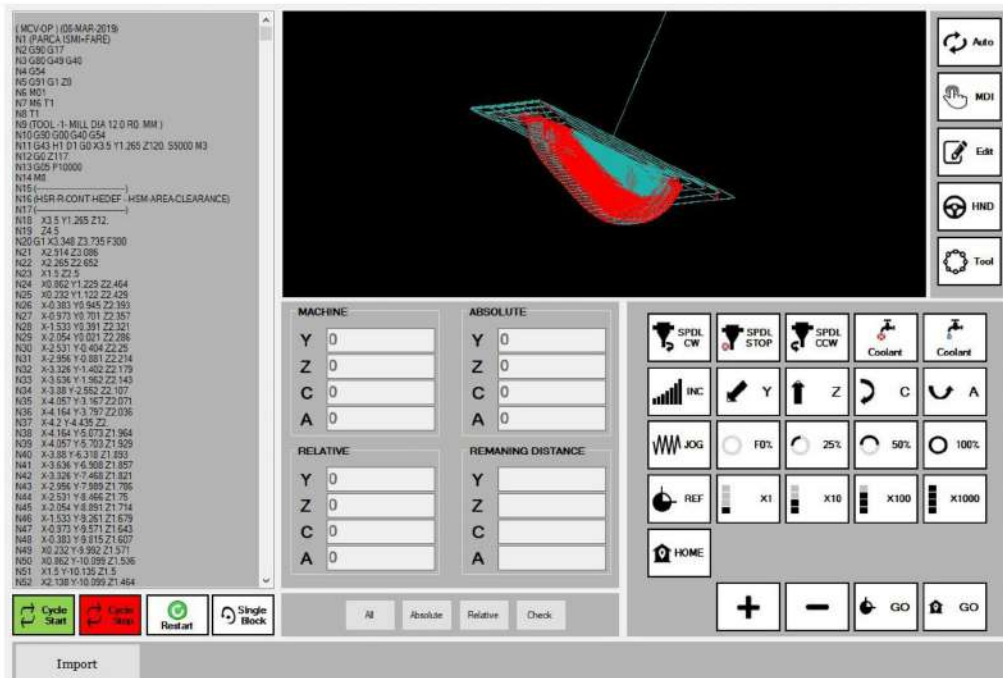


Şekil 4.1. Geliştirilen operatör paneli

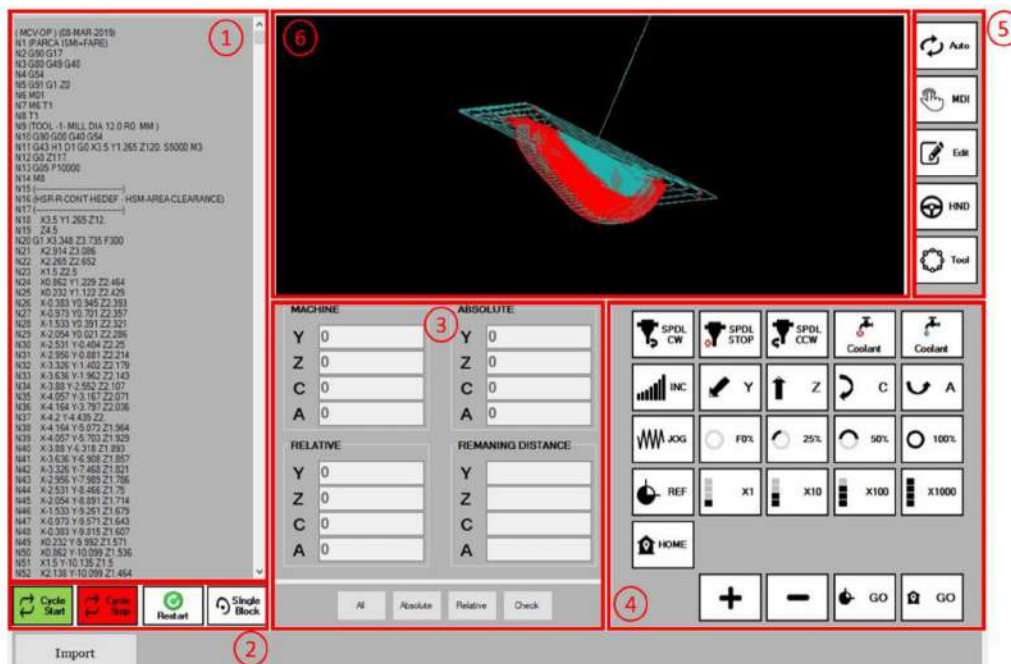
### **4.1. Operatör Panel Arayüzünün Geliştirilmesi**

Donanım tasarımdan sonra ise bir operatör tarafından tezgâhın tüm kontrol işlemlerinin yürütülebilmesi için operatör panel arayüzü geliştirilmiştir. Visual Studio ortamında C# dili ile geliştirilen kullanıcı arayüzünde, hem önceki bölümlerde anlatılan matematiksel yöntemler ve algoritmalar yazılım diline çevrilmiş hem de tezgâhın manuel kullanımına yönelik yazılım altyapısı oluşturulmuştur. 4 eksen (Y-Z-

C-A) bir CNC-Freze tezgâhi için geliştirilen kullanıcı arayüzü Şekil 4.2'de örnek olarak verilmiştir.



Şekil 4.2. Operatör panel arayüzü



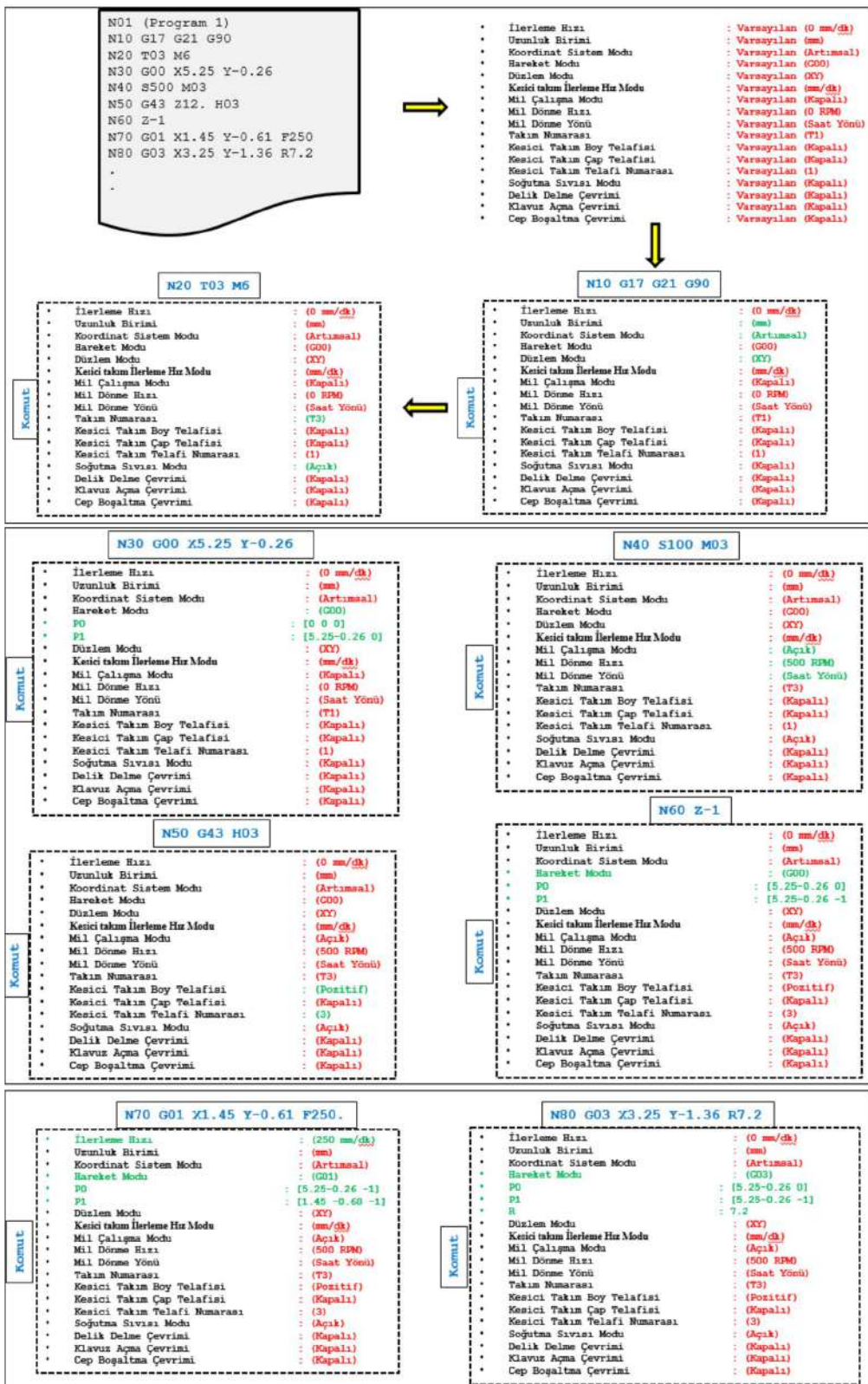
Şekil 4.3. Operatör panel arayüzü bölümleri

Kullanıcı arayüzü üzerinde farklı görevleri olan birimler bulunmaktadır. Bu birimlerin görevlerinin anlaşılabilmesi için kullanıcı arayüzü Şekil 4.3'te görüldüğü gibi gruplara ayrılmıştır.

1 numaralı bölümde tezgâhin üretim planlamasına ilişkin NC Kodları görülmektedir. Bu kod satırları CAM Programları tarafından üretilen CNC G-Kodlarına uygun çıkartılan \*.text dosyasından alınmaktadır. Bu nedenle yazılımin ilk çalışması \*.text dosyasından okunan kod satırlarının tek tek ayırt edilmesi olmuştur. Çünkü her G koduna ait işlem ve fonksiyonların farklılık göstermektedir. Bu doğrultuda G-Kodlarının \*.text dosyasından hatasız okunması tezgâhin doğru üretimi yapması açısından çok önemlidir. Dosya okuma işleminin başarılı bir şekilde yapılmasından sonraki adım ise her satırda ait G-Kodunun, yorum, komut, doğrusal hareket, dairesel hareket, eğrisel hareket vb. olmak üzere sınıflara ayrılması olmuştur. NC Kodlarına ilişkin sınıflandırma işlemi Şekil 4.4'te gösterilmiştir. Sınıflandırma işlemi sonrasında ise her NC Kod satırındaki bilgilerin kod özelliğine göre ilgili parametrelerinin sisteme tanımlanması işlemi yapılmıştır. Şekilde 4.5'te sekiz satırlı örnek bir NC kod için yazılım tarafından sınıflandırma işlemi sonrasında yapılan işlemler adım adım gösterilmiştir.

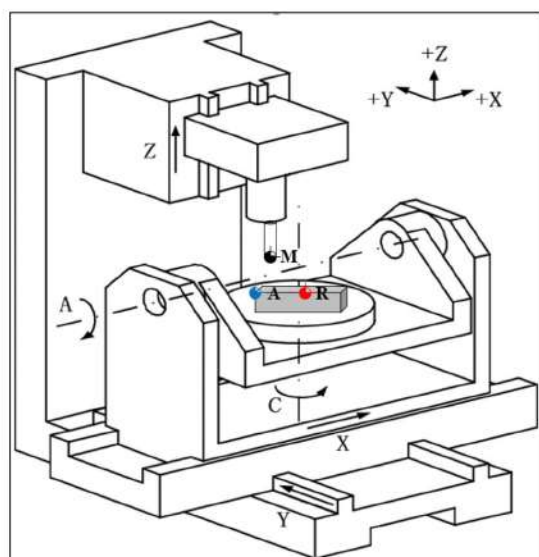
Kod Türü	Varsayılan	Komut	Yorum	
<b>Koordinat Sistem Modu</b>	Varsayılan	<b>G90</b> -Artımsal	<b>G91</b> -Mutlak	
<b>Hareket Türü</b>	Varsayılan	<b>G00/G01</b> Doğrusal	<b>G02-G03</b> Dairesel	<b>G05.1 Q1-</b> Eğri Uydurma <b>G06.2-</b> NURBS
<b>Düzlem Türü</b>	Varsayılan	<b>G17-XY</b>	<b>G18-XZ</b>	<b>G19-YZ</b>
<b>Mesafe Birimi</b>	Varsayılan	<b>G20-mm</b>	<b>G21-inch</b>	
<b>Kesici Takım Yarıçap Tefafisi</b>	Varsayılan	<b>G41-Sağdan</b>	<b>G42-Soldan</b>	<b>G40-İptal</b>
<b>Kesici Takım Boy Tefafisi</b>	Varsayılan	<b>G43-Pozitif</b>	<b>G44-Negatif</b>	<b>G49-İptal</b>
<b>Mil Dönme Yönü</b>	Varsayılan	<b>M03-Saat Yönü</b>	<b>M04-Saat Yönü Tersi</b>	<b>M05-Mil Durdur</b>
<b>Kesici takım İlerleme Hız Modu</b>	Varsayılan	<b>G93-T=1/F</b>	<b>G94-mm/<del>dk</del></b>	<b>G95-mm/devir</b>
<b>Delik Delme Çevrimi</b>	Varsayılan	<b>G73-Derin Delik Delme</b>	<b>G76-Delik Bitiştirme</b>	<b>G80-Çevrim İptali</b>
<b>Klavuz Açma Çevrimi</b>	Varsayılan	<b>G74-Sol Klavuz</b>	<b>G84-Sağ Klavuz</b>	
<b>Cep Boşaltma Çevrimi</b>	Varsayılan	<b>G24-Dikdörtgen</b>	<b>G25-Dairesel</b>	

Şekil 4.4. Operatör panel yazılımında G-M komut sınıflandırması



Şekil 4.5. NC dosyası okuma ve sınıflandırma işlemleri

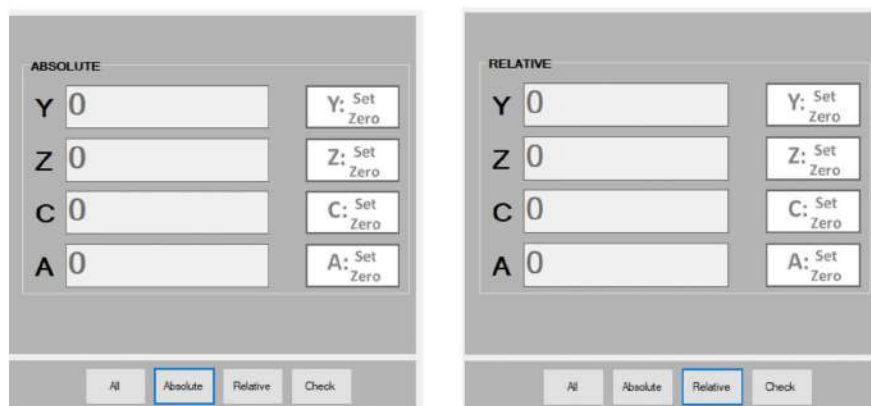
NC kodlarının okunması ve sınıflandırılması işlemi sonrasında, her komut satırındaki komutlar ve parametreler yazılan fonksiyon bloklarında işlenerek tezgâhın hareket planlaması yapılmaktadır (Not: Tezgâh hareket planlamasına ilişkin geliştirilen yöntemler önceki bölümlerde anlatılmıştır). 2 numaralı bölümde görülen kontrol tuşları ile NC kodlarının çalıştırılma seçenekleri belirtilmektedir. Eksen koordinat bilgileri ise 3 numaralı bölümde bulunmaktadır. Bu bölümde makine (machine), mutlak (absolute), bağıl (relative) koordinat bilgileri ve işlenen komut satırı için hedef noktaya kalan mesafe değeri görülmektedir. Bu değerlerin anlaşılabilmesi için tezgâhın koordinat sistemlerinin bilinmesi gereklidir. Bir tezgâha ilk enerji verildikten sonra, tezgâh eksen referanslarını ayarlamak için makine sıfırına gitmektedir. Tezgâh motorlarında kullanılan enkoderler mutlak (absolute) ise motor enkoderlerini kullanarak tezgâh kendi sıfırını bulmaktadır. Enkoderlerin artımsal (incremental) olması durumunda ise eksen sınır anahtarları kullanılmaktadır. Her eksen, sınır anahtarına ulaştıktan sonra tezgâh tüm eksenlerini sıfırlamaktadır. Makine sıfır bilgileri hafızada tutularak kesici takımın makine sıfırına göre hangi konumda olduğu ilgili bölüm ekranından takip edilmektedir. Mutlak koordinat sistemi ise parça sıfırıyla ilişkilidir.



Şekil 4.6. Makine (M), parça (A) ve bağıl (R) sıfırı referans noktaları

Tezgâh üzerinde ürün işlemeye başlamadan önce, kesici takım CAM programında parça sıfırı olarak kabul edilen koordinata getirilerek parça sıfırlama işlemi

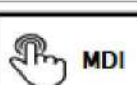
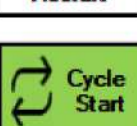
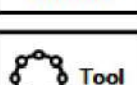
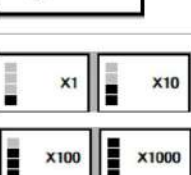
yapılmaktadır. Ürünün CAM program çıktısına uygun işlenmesi için bu işlem çok kritiktir ve doğru bir şekilde yapılması gereklidir. Parça sıfır bilgileri de makine sıfırında olduğu gibi hafızada tutulur ve kesici takımın parça sıfırına göre hangi konumda olduğu ekran üzerinde takip edilmektedir. Son olarak bağıl koordinat sistemi ise ürün üzerinde parça sıfırından farklı bir konumun referans alınması gerektiği zamanlar kullanılmaktadır. Parça üzerinde bağıl sıfırlama işlemi yapılmış ise kullanıcı ekranında kesici takımın bağıl sıfıra göre konumu izlenebilmektedir. Makine (M), mutlak (A) ve bağıl (R) koordinat referans konumları Şekil 4.6'da bir CNC-Freze tezgâhi üzerinde örnek olarak gösterilmiştir. Parça sıfırlama ve bağıl sıfırlama işlemleri operatör tarafından belirlendiği için, bu işlem kullanıcı arayüzünde 3 numaralı bölümdeki kontrol butonları ile yapılmaktadır. Mutlak (absolute) ve bağıl (relative) butonlarına basılması durumunda 3 numaralı bölüm ekranında Şekil 4.7-a ve 4.7-b'de ayrı ayrı görülen bilgiler gelmektedir. Eksen yanlarında bulunan sıfırlama butonları ile eksenin anlık konumu sıfır olarak sisteme tanımlanmakta ve bu değerler hafızada tutulmaktadır. Önceden de belirtildiği üzere kullanıcı arayüzü 4-eksen (Y-Z-C-A) bir CNC tezgâhi için yapılandırıldığı için, sıfırlama ekranlarında 4 eksen bilgisi yer almaktadır. Sıfırlama işlemleri bittikten sonra ‘All’ butonu ile ana ekrana dönüş yapılmaktadır. Sadece mutlak veya bağıl konumlardan birinin takip edilmesi yeterli ise Şekil 4.7'de görülen sıfırlama ekranlarında konum izlemesi yapılmaktadır.



Şekil 4.7. Operatör panel arayüzünde parça ve bağıl sıfırlama işlemleri

4 numaralı bölüm ise tezgâhin manuel kullanımına yönelik doğrudan operatör tarafından kumanda edilen birimdir. 5 numaralı bölüm de yine operatör tarafından belirlenen kontrol modlarının bulunduğu birimdir. Kullanıcı arayüzünde bulunan kontrol butonlarının açıklamaları Tablo 4.1'de görülmektedir.

Tablo 4.1. Operatör panel arayüzünde bulunan kontrol butonları

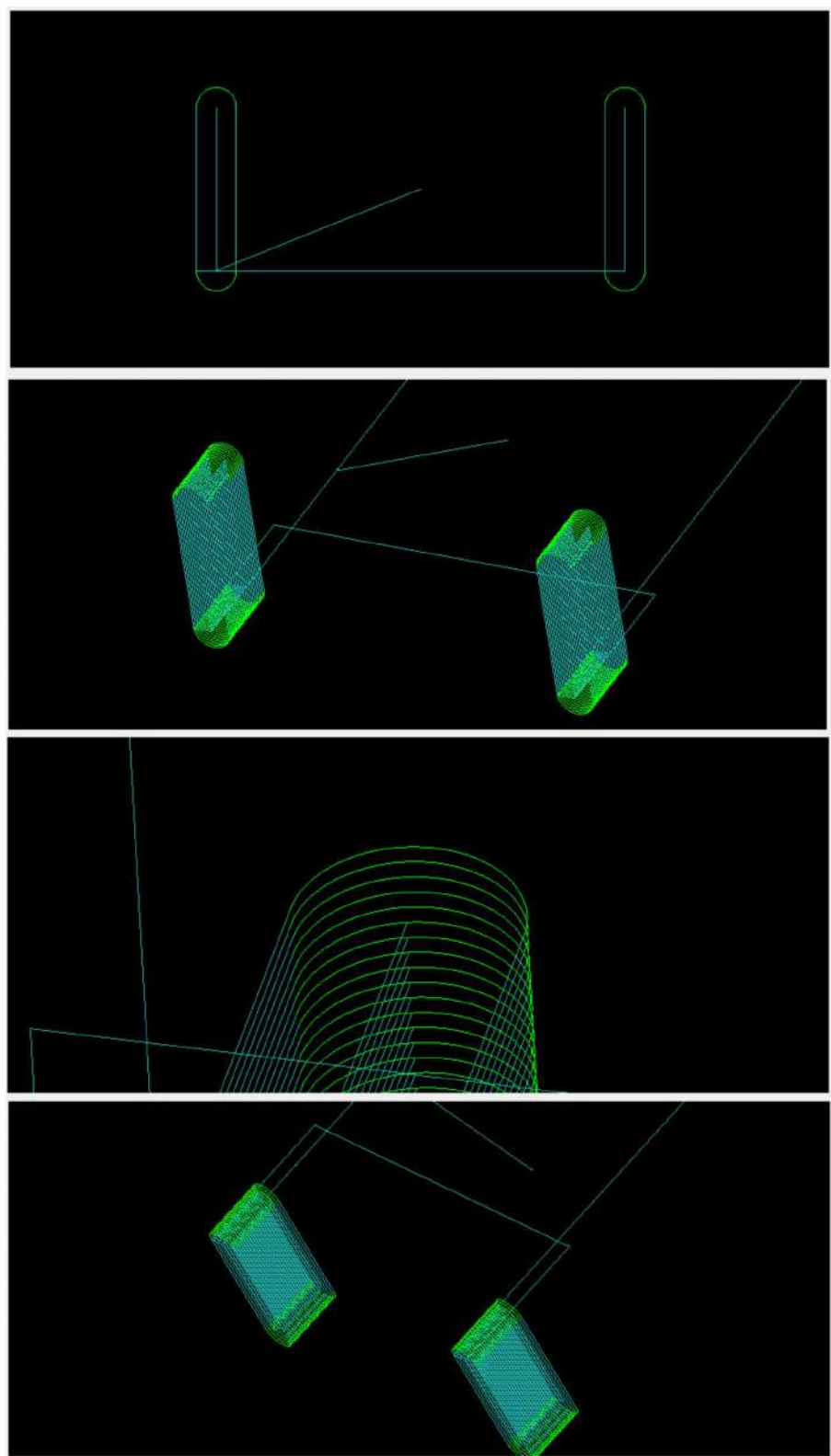
	Program yazma, programda araya girme, silme, değiştirme gibi işlemler EDIT modunda geçerlidir.
	Automatic: Yazılıma yüklenen NC Kod dosyasının otomatik çalıştırılmasını sağlar.
	(Manuel Data Input): Kısa programlar ( Takım değiştirme, iş miline devir verme vb.) yazmak için kullanılır. Yazılan programı hafızaya almaz. Yani bir defaya mahsus programı çalıştırır ve siler.
	Program Restart: Çalışan programın sonu geldikçe tekrar başa dönerek çalışmasını sağlar.
	Programı başlatma tuşudur. Memory ve MDI modundayken çalışır.
	M00 Stop: Program otomatik modda çalışırken M00 kodunu gördüğünde durur ve bu düğme aktif hale kendiliğinden gelir.
	REF – Referans (ZERO RETURN): Kesici takımın, seçilen eksende tezgâhin referans noktasına gönderilmesinde kullanılır
	JOG (Jog Feed): Seçili eksende manuel talaş almak için veya manuel kısa hareketler vermek için kullanılır.
	INC: Seçili eksende manuel talaş almak için veya manuel istenilen miktarda hassas hareketler vermek için kullanılır.
	Handle: Tezgâhta bulunan el kumandasını aktif hale getirip tezgah hareketlerinin el ile operatör tarafından kontrol edilmesini sağlar.
	Coolant: Tezgâhta soğutma suyunun manuel açılmasını sağlar.
	Coolant: Tezgâhta soğutma suyunun manuel kapatılmasını sağlar.
	Tool: Takım magazini çevirmek için kullanılır.
	INC Mod Butonları: Seçili eksene, X1 (0.0001 mm) X10 (0.001 mm) X100 (0.01 mm) ve X1000 (0.1 mm) hassas hareket verir.

Tablo 4.1. (Devam) Operatör panel arayüzünde bulunan kontrol butonları

	Seçili eksene pozitif yönde manuel hareket verilmesi için kullanılır.
	Seçili eksene negatif yönde manuel hareket verilmesi için kullanılır.
	Spindle CW: İş milinin saat yönünde manuel olarak döndürülmesi için kullanılır.
	Spindle CCW: İş milinin saat yönü tersinde manuel olarak döndürülmesi için kullanılır.
	Spindle Stop: İş milinin manuel olarak durdurulması için kullanılır.

Son olarak 6 numaralı bölüm ise, tezgâh üzerinde kesici takımın izleyeceği tüm yörüngenin kartezyen uzaydaki 3 boyutlu analizinin yapıldığı yerdir. Ekran üzerinde detaylı analiz için yörünenin yakınlAŞtırılıp uzaklaştırılması, 360° döndürülmesi gibi esnek kullanım özelliği bulunmaktadır. Ürün işlemeye başlamadan önce operatör tarafından yapılan analiz işlemi, tezgâh üzerinde meydana gelebilecek olası sorunları ve hataları önlemek adına önemli bir yere sahip olduğu için geliştirilen kullanıcı arayüzüne bu özellik eklenmiştir.

Ayrıca analiz kolaylığı için, ekran üzerinde doğrusal hareketler turkuaz, dairesel, helisel ve spiral hareketler yeşil, G05.1 komutuna ilişkin hassas işleme hareketleri kırmızı ve G06.2 komutuna ilişkin NURBS eğrisel hareketleri sarı renkle gösterilmektedir. Şekil 4.8'de bir NC kod için yapılan yöringe analizine ilişkin kesitler örnek olarak gösterilmiştir. Şekilde görüldüğü üzere kesici takımın izleyeceği yörüngeler farklı açılardan ve mesafelerden detaylı analiz edilebilmektedir. Farklı açılardan analiz edilebilmesinin en büyük avantajı tezgâh üzerinde ürün işlemesi başlatılmadan önce, çalıştırılacak NC dosyasının başından sonuna kadar kontrol işleminin yapılabilmesidir. Bu kontrol işlemi tezgâh üzerinde gerçekleştirilebilecek olası çarpışmaların önüne geçmesini sağlamaktadır. Ayrıca bir sorun tespit edilmesi durumunda ise sorunlu bölgenin hareket renginden sorunun hangi hareket türüne ilişkin olduğu da bulunabilmektedir.



Şekil 4.8. Operatör panel arayüzünde esnek yörünge inceleme işlemleri

## **4.2. TwinCat Yazılım İşlemleri**

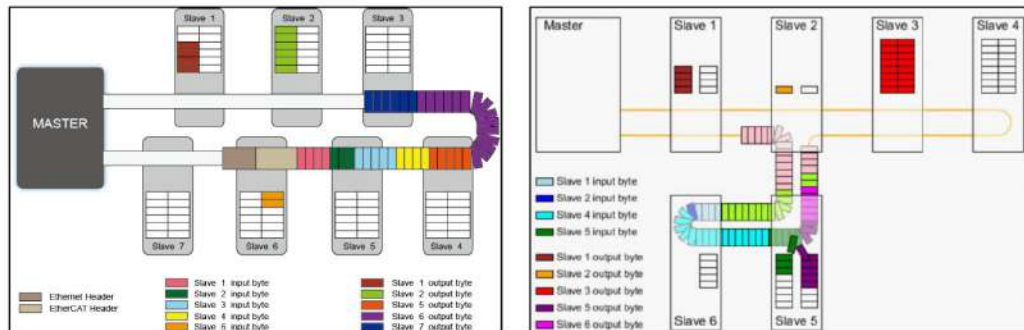
Endüstriyel CNC tezgâhlarında kullanılan AC servo motor sürücülerini büyük oranda Ethernet, EtherCat, Profibus, Modbus vb. endüstriyel haberleşme protokollerinden birisine sahiptirler. Endüstriyel seri haberleşme protokollerinden farklı olarak bazı firmaların geliştirmiş olduğu fiber optik temelli AC servo sürücüler de bulunmaktadır. Fakat bu özel sürücülere dışarıdan erişim engeli bulunduğu için sürücü markasından farklı bir kontrol ünitesi ile sürücülerle haberleşme imkânı bulunmamaktadır. Bu nedenle, geliştirilen kontrol ünitesinin servo motorlarla haberleşebilecegi sürücü protokolleri, sadece endüstriyel haberleşme protokolleri olarak karşımıza çıkmaktadır. Yapılan tez çalışmada, bu protokoller arasında en hızlı ve güvenli bir yapıya sahip olması nedeniyle EtherCat protokolü tercih edilmiştir. Ayrıca EtherCat protokolünün Endüstriyel 4.0 kapsamında geliştirilen uygulamalarda sıkılıkla kullanılması ve neredeyse tüm AC servo motor sürücüsü geliştiren markaların EtherCat protokol desteği vermesi, tercih sürecinde önemli rol oynamıştır.

### **4.2.1. EtherCat protokolü**

2000'li yıllarda ilk temelleri atılmış EtherCat teknolojisi Ethernet altyapısını kullanan yüksek performanslı bir haberleşme protokolü olarak karşımıza çıkmıştır. Her EtherCAT terminali, iletişim kurallarını işlemekle görevli bir EtherCAT slave denetleyicisi ile donatılmıştır. EtherCat protokolünün Ethernet altyapısını kullanmasına rağmen, Ethernet protokolünden daha hızlı olmasının temel nedeni, ethernet paketinin, ağ düğüm noktasında alınıp yorumlanarak, işlem verileri kopyalandıktan sonra iletilmesi yerine doğrudan süreç içinde işlenmesidir. EtherCAT slave cihazlar, veri paketi geçtiği sırada kendilerine atanan verileri alırken aynı zamanda pakete giriş verilerini ekler. Slave cihazların veriyi alma ve sisteme veri ekleme işlemlerini birkaç nanosaniye içinde gerçekleştirmesi, protokolün yüksek performans göstermesini sağlamaktadır.

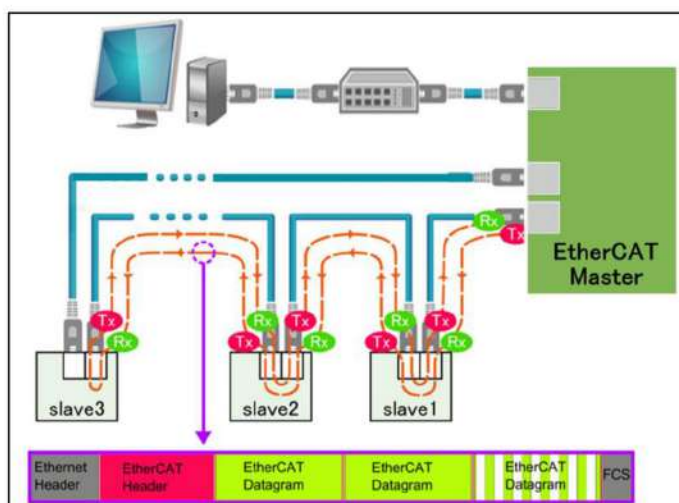
Şekil 4.9'da, Master-Slave arasında veri paketlerinin süreç içinde nasıl okunup yazıldığını gösteren çalışma yapısı verilmiştir. EtherCat protokolünün çalışma prensibi, veri paketlerinin Master-Slave hattında hiç durmaması (On the Fly) ve veri paketlerinin bir trenin vagonu gibi eklenip çıkarılabilmesinin kolay olması yönlerinden literatürde yüksek hızlı trene benzetilmektedir. Şekil 4.9'daki veri paketi taşıma

sistemini de bir tren olarak düşünürsek, her bir Slave istasyonu, hattaki her bir renk trenin bir vagonunu ve renk gruplarının elaman sayısı ise tren vagonundaki kişileri temsil etmektedir. Çalışma sisteminin benzetimi ise tren bir hat üzerinde hiç durmadan hareket ederken ilgili istasyonlarda tren vagonları bırakılmakta ya da trene yeni vagonlar eklenmesi olarak tarif edilebilmektedir.



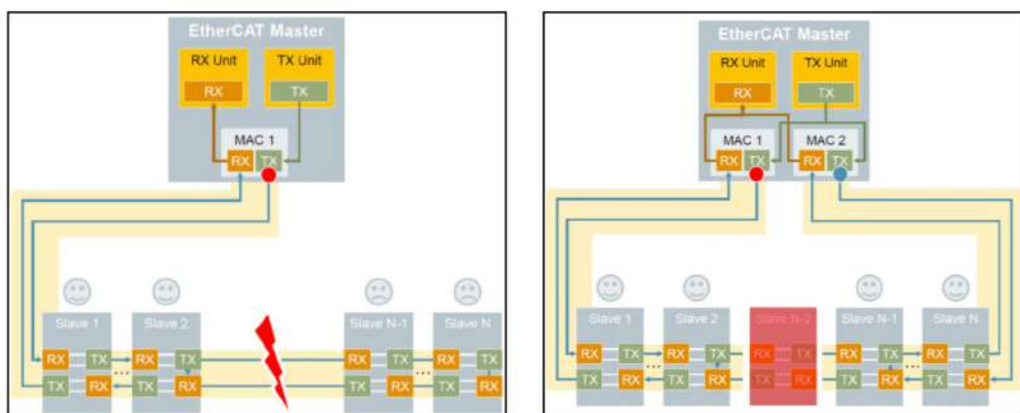
Şekil 4.9. EtherCat çalışma yapısı

Endüstriyel kontrol sistemleri de Master-Slave prensibine göre planlandığı için Şekil 4.9'da görüle çalışma yapısı, endüstriyel uygulamalarda aynı performansta kullanılabilirliktedir. Geliştirilen kontrol sistemlerinde Master, sistemin kontrol birimi (bilgisayar, kontrol kartı, vb.) Slave cihazlar ise motor sürücülerini, Giriş/Çıkış (IO) terminalleri, sensörler veya aktuatörler olmaktadır. Master-Slave arası sürekli dönen veri paketleri ise kontrol sinyalleri, konum, hız, ivme, tork, vb. sistemle ilişkili bilgileri taşımaktadır. Fiziksel olarak Master-Slave haberleşme sistemi ise Cat5 ethernet kabloları ile sağlanmaktadır.



Şekil 4.10. EtherCat bağlantı yapısı

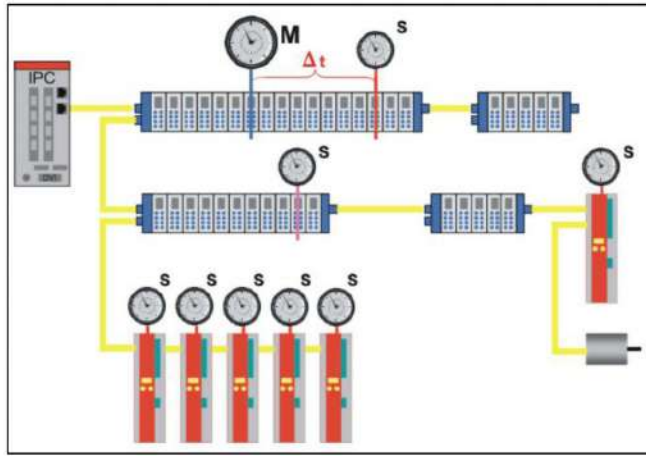
Her Slave cihazında bir giriş bir çıkış olmak üzere iki Ethernet Soketi bulunmaktadır ve Şekil 4.10'da görülen yapıda bağlantı hattı oluşturulmaktadır. İstenmesi durumunda son Slave cihazından Master cihaza kablo çekilerek kapalı bağlantı hattı kurulabilmektedir. Fakat kapalı bağlantı sisteminin kurulmasının önemli bir avantajı bulunmaktadır. Haberleşme sisteminde bulunan herhangi bir Slave cihazın arızalanması durumunda diğer Slave cihazların durumdan etkilenmemesi ancak kapalı bağlantı sisteminde mümkün olmaktadır. Şekil 4.11'de bir Slave cihaz arızasında, genel haberleşme sisteminin nasıl etkilendiği kapalı ve açık bağlantı hattı için ayrı ayrı gösterilmiştir.



Şekil 4.11. EtherCat bağlantı yapısı (açık-kapalı)

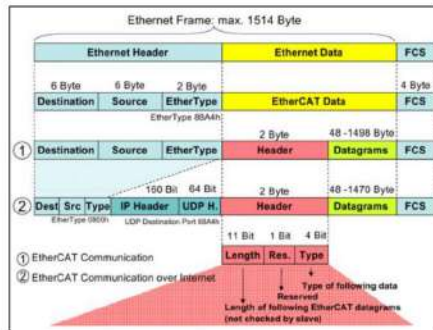
Diğer endüstriyel haberleşme protokollerinde bulunmayıp sadece EtherCat protokolünün bir özelliği olan Master-Slave arası senkronizasyon sağlama desteği, bu çalışmada EtherCat protokolünün seçiminde rol oynayan diğer bir özellik olmuştur. Haberleşme sistemlerinde fiziksel bağlantı Master-Slave<sub>1</sub> -Slave<sub>2</sub>-...-Slave<sub>N</sub> şeklinde sıralı kurulduğu için aradaki gecikmelerden dolayı Slave<sub>1</sub> ile Slave<sub>N</sub>'e eş zamanlı bilgi göndermek normal protokollerde mümkün olmamaktadır. Fakat bu fiziksel gecikmeler EtherCat protokolünde dağıtılmış saat özelliği (distributed clock) ile büyük oranda ortadan kaldırılmaktadır. Şekil 4.12'de dağıtılmış saat sisteminin çalışma yapısı gösterilmiştir. Master saat (M) ile Slave cihazlara dağıtılmış saatler (S) ile aradaki zaman farklılıklarını ( $\Delta t$ ) ölçümekte ve sinyallerin eş zamanlı Slave cihazlar tarafından işlenmesi sağlanmaktadır. Endüstriyel kontrol uygulamalarında eksenler arası senkronizasyon çok önemlidir. Çünkü bir makinede birbirleriyle uyumlu çalışması gereken eksenler bulunmakta ve bu eksenlere aynı zaman içinde bilgilerin gitmesi gereklidir. Dağıtılmış saatler bu anlamda endüstriyel uygulamalar açısından büyük

fayda sağlamaktadır. Ayrıca eksen sayısı artsa da eksenler arası senkronizasyon performansı büyük oranda aynı kalması bu özelliğin diğer önemli faydasıdır.



Şekil 4.12. Dağıtılmış saat kullanımı

EtherCat protokolüyle ilgili değinilmesi gereken önemli bir konu da Master-Slave hattında sürekli dolaşan veri paketlerinin yapısıdır. Bu veri paketi EtherCat çerçevesi (frame) olarak isimlendirilmektedir ve Şekil 4.13'te görülen yapıya sahiptir. EtherCat protokolünün temelinde EtherNet altyapısı kullanıldığı için çerçeve (frame) yapıları da Ethernet ile benzerlik göstermektedir.



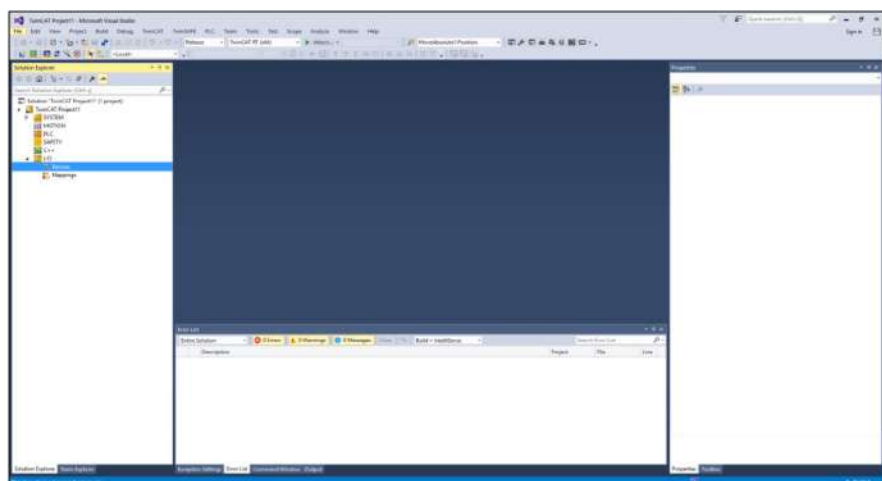
Şekil 4.13. EtherCat frame yapısı

Çerçevenin solunda yer alan mavi kısım, temel bir EtherCAT çerçevesi için 6 byte hedef, 6 byte kaynak ve 2 byte EtherType bilgilerinden oluşan paket başlığıdır. Aslında EtherCat protokolü ile gönderilen veriler, EtherType 0x88A4 kullanılarak doğrudan standart IEEE 802.3 Ethernet çerçevesi içinde taşınmaktadır. İkinci (sarı veya kırmızı/yeşil) kısım, bir EtherCAT başlığına ve bir veya daha fazla EtherCAT datagramına (veri) bölünebilen EtherCAT verilerini içerir. EtherCAT başlığı, protokol tipini ve EtherCAT datagramlarının uzunluğu hakkında bilgi içerir. Başlıktan sonra,

aktarılmakta olan ham veri bitlerini (EtherCAT konfigürasyon verileri ve okuma/yazma işlem verileri) içeren bir veya daha fazla datagram bulunmaktadır. Çerçevenin son kısmı ise, hata tespiti için kullanılan çerçeve kontrol dizisidir (FCS: Frame Check Sequence).

#### 4.2.2. TwinCat programı

Visual Studio ortamında C# dili ile geliştirilen operatör panel yazılımı CNC tezgâhının ana kontrol merkezidir. Bu yazılıma ek olarak, EtherCat protokolü üzerinden fiziksel sistemle haberleşme ağı kurulabilmesi için Beckhoff firmasına ait olan TwinCat programı kullanılmıştır. TwinCat aslında endüstriyel otomasyon uygulamalarında sıkılıkla kullanılan bir PLC (Programmable Logic Control) programıdır. CNC tezgâhlarında PLC tarafından kontrol edilmesi gereken aktuatörler ve PLC tarafından okunması gereken sensörler olmasından dolayı kontrol ünitesinin bir PLC birimine ihtiyaç duyması, TwinCat programının haberleşme altyapısının EtherCat olması ve TwinCat programının Visual Studio ortamında çalışıyor olması bu çalışmada da TwinCat programının tercih edilmesinin temel sebepleri olmuşlardır. Visual Studio ortamında çalışan TwinCat programı Şekil 4.14’te görülen ara yüze sahiptir.

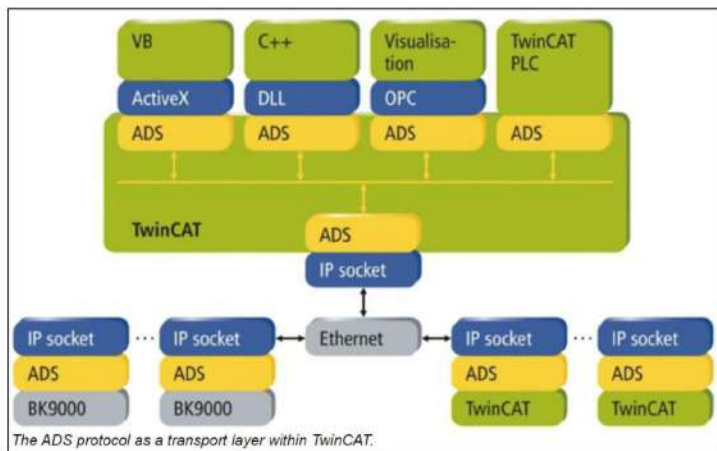


Şekil 4.14. TwinCat arayüzü

Normalde endüstride kullanılan PLC ürünlerine bakıldığından fiziksel bir donanıma sahip oldukları görülür. Fakat bilgisayar ortamında bulunan TwinCat programı, üzerinde çalıştığı bilgisayarı hareket kontrol ya da PLC kontrol cihazına dönüştürerek işletim sisteminin gerçek zamanlı çalışmasını sağlayabilmektedir. Bu nedenle

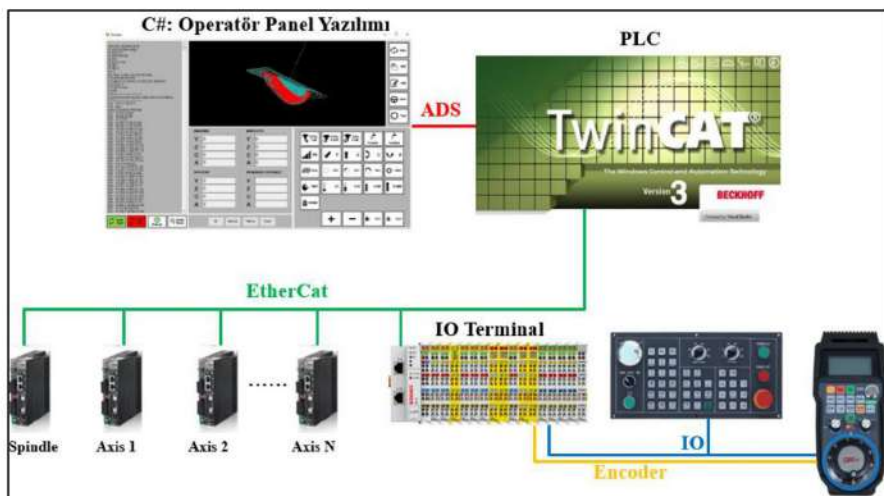
bilgisayar haricinde bir donanım ihtiyacı bulunmamaktadır. TwinCat programının kurulu olduğu bir bilgisayarın gerçek zamanlı çalışma gösteremediği durumlarda olabilir. Bu durumun sebebi ise, bilgisayarda bulunan ethernet kartının gerçek zamanlı çalışmaya uyumlu olmamasıdır. Bu nedenle bilgisayar üzerinde TwinCat yazılım işlemlerine başlamadan önce, program içerisinde ethernet kartının uyumlu olup olmadığı sorgulanması önemlidir. Uyumluluk sorgulamasından slave cihazın EtherCat hattında bulunması ve sonrasında PLC yazılımına başlanması kadar olan süreç Ek-A'da detaylı anlatılmıştır.

TwinCat ortamında yazılım işlemlerine başlamadan önce, TwinCat programının CNC kontrol ünitesindeki görev tanımının net bir şekilde ifade edilmesi gereklidir. TwinCat yazılımının temel görevi, operatör panel yazılımı ile fiziksel sistem arasında EtherCat protokolü üzerinden köprü kurmaktır. CNC-Freze tezgâhları, kullanım yerlerine ve ihtiyaçlarına göre farklı donanımlara sahip olurlar. Fakat neredeyse her CNC tezgâhında eksen motorları ve sürücüler, spindle motoru ve sürücüsü, IO terminali, el kumandası ve klavye takımı bulunmaktadır. Bu ortak donanımlar dışında, takım değiştirme magazini, soğutma sıvısı sistemi, spindle soğutma fanı gibi farklı aktüatörler, motorlar veya sensörler de tezgâh üzerinde bulunabilir. Ortak veya özel, tezgâh üzerindeki tüm donanım ekipmanlarına giden veya bu ekipmanlardan gelen tüm veriler (sinyaller) TwinCat ortamından gönderilmekte veya okunmaktadır. Fakat gönderilen ve alınan tüm veriler, operatör panel yazılımında değerlendirildiği için TwinCat yazılımı ile operatör panel yazılımının birbirlerine entegre çalışması gerekmektedir. Bu aşamada ise ADS (Automation Device Specification) haberleşme sistemi kullanılmaktadır. ADS protokolü, TwinCat sistemi içindeki bir aktarım katmanıdır ve farklı yazılım modülleri arasında veri alışverişi için geliştirilmiştir. TCP/IP'nin üst katmanında yer alan ADS protokolü, TwinCat içindeki herhangi bir noktadan diğer araçlarla haberleşebildiği için yazılım entegrasyonlarında önemli rol oynamaktadır. Şekil 4.15'te farklı yazılım modülleri (Visual Basic, C++, Visualisation, TwinCat) arasında ADS üzerinden nasıl haberleşme sistemi kurulduğu gösterilmiştir. Ayrıca şekilde görüldüğü üzere başka bir bilgisayar veya cihazla (BK9000:Bus Coupler) da iletişim kurmak ADS protokolü üzerinden mümkün olmaktadır.



Şekil 4.15. ADS haberleşme protokolünün kullanımı

TwinCat yazılımının, operatör panel yazılımına entegre olmasıyla birlikte CNC kontrol ünitesi haberleşme sistemi Şekil 4.16'da görülen yapıya dönmüştür. Şekilde, yeşil hat EtherCat haberleşmesini, kırmızı hat ADS haberleşmesini, mavi hat IO sinyallerini ve turuncu hat ise enkoder sinyallerini temsil etmektedir.



Şekil 4.16. CNC kontrol ünitesi haberleşme sistemi

#### 4.2.2.1. IO terminal EtherCat bağlantısının kurulması

IO terminalleri tüm CNC tezgâhlarında kullanılan önemli bir birimdir. Eksen motorları dışındaki tüm donanımlar IO terminali üzerinden kontrol edilmektedir. Tek özel durum Spindle motorları için geçerlidir. Spindle motor sürücülerinin yapısına göre spindle motoru, analog sinyalle IO terminali üzerinden de kontrol edilebilir, bir haberleşme protokolü üzerinden doğrudan kontrol ünitesi ile de. Ayrıca IO

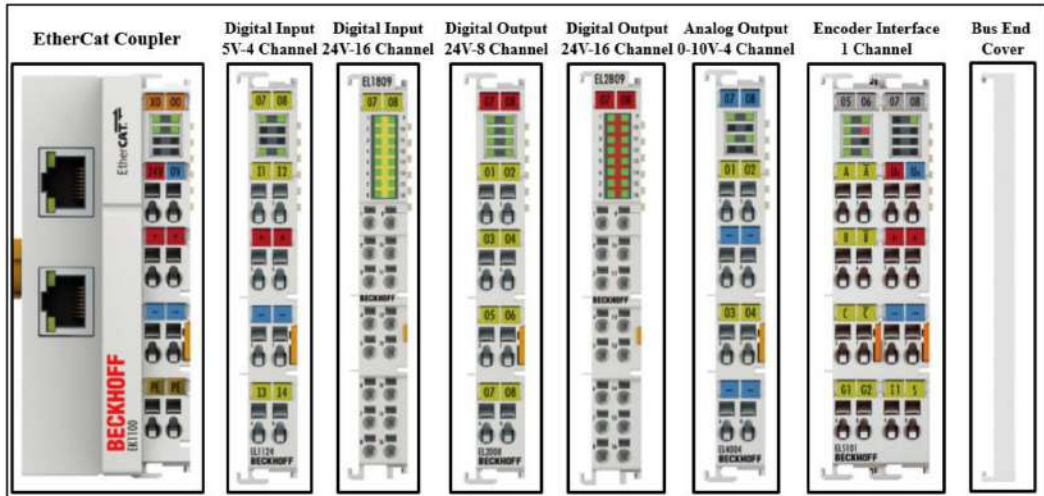
terminallerine bağlı donanım sayıları da her tezgâh için değişkenlik gösterebilmektedir. Şekil 4.16'da görüldüğü üzere, yapılan çalışmada IO terminali EtherCat protokolüne bağlı, Tuş takımı ve el kumandası ise IO terminaline bağlıdır. Bu haberleşme sisteminin fiziki ortamda kurulabilmesi için bazı donanımlara ihtiyaç vardır. Bu donanımların başında EtherCat bağlayıcı (EtherCat Coupler) gelmektedir. EtherCat bağlayıcılar, fiziksel IO sinyallerinin, dijital sinyallere dönüştürülüp EtherCat protokolü üzerinden Master PC'ye gönderilmesi işlemini yürütmektedir. EtherCat haberleşme hattı bus topolojisi temelinde kurulduğu için, bir EtherCat bağlayıcı da giriş ve çıkış olmak üzere iki ethernet soketi bulunmaktadır. Master veya Slave cihazdan gelen ethernet kablosu girişe bağlanırken, başka bir Slave cihaza giden ethernet kablosu ise çıkış hattına bağlanmaktadır. Bu özelliklere sahip Omron ve Beckhoff markalarına ait EtherCat bağlayıcıları Şekil 4.17'de örnek olarak gösterilmiştir.



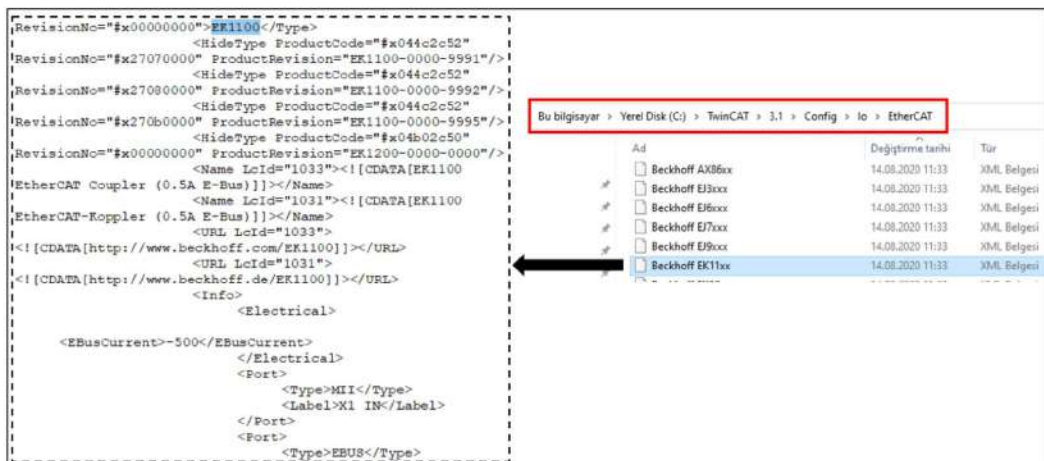
Şekil 4.17. EtherCat bağlayıcıları

EtherCat bağlayıcısından sonra, tezgâh üzerindeki donanımların fiziksel sinyal özelliklerine uygun modüller seçilerek bir terminal oluşturulmaktadır. Örneğin, 4 adet 5V, 16 adet 24V dijital giriş, 24 adet 24V dijital çıkış, 4 adet analog çıkış ve 1 adet el kumandası enkoder girişinin bulunduğu bir tezgâh için, Şekil 4.18'de görülen fiziksel yapı kurulmaktadır. Tüm modüller EtherCat bağlayıcıya bağlıdır ve terminal sonunda da bir sonlandırıcı bulunmaktadır. Fiziksel sinyallerin toplandığı Şekil 4.18'deki IO terminalinin EtherCat üzerinden gönderdiği bilgilerin, Master PC (TwinCat yazılımı) tarafından anlaşılması için EtherCat bağlayıcıya ait bir dosyanın (XML dosyası) Master PC'de çalışan TwinCat yazılımına tanıtılması gereklidir. Bu dosyada, EtherCat bağlayıcının gönderdiği tüm EtherCat paketlerinin bilgileri bulunmaktadır. İlgili XML

dosyasının, Master PC'de bulunması gereken adresi ve dosya içerisindeki kısa bir bölüm Şekil 4.19'da gösterilmiştir.

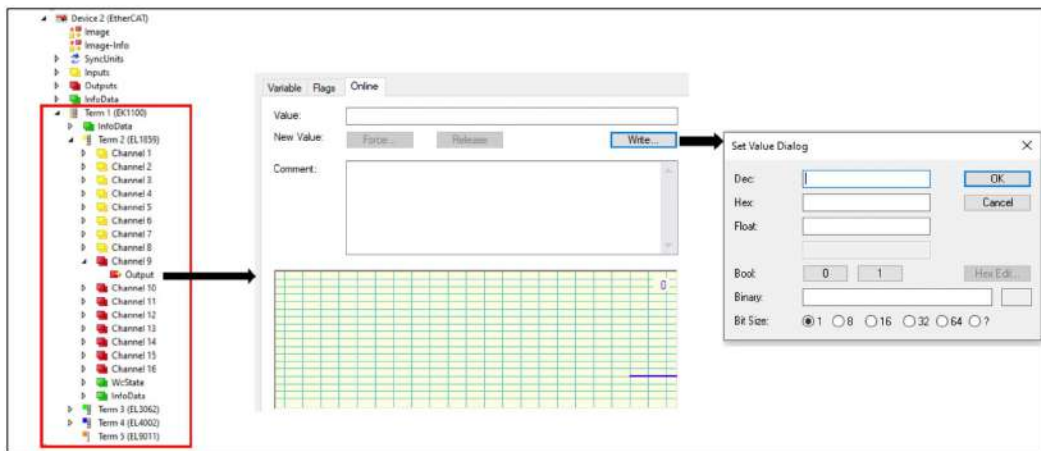


Şekil 4.18. EtherCat bağlayıcı ile IO terminal kurulumu



Şekil 4.19. EtherCat bağlayıcısına ait XML dosyasının TwinCat yazılımına eklenmesi

Gerekli ön işlemlerin yapılması sonrasında TwinCat ortamında Slave cihaz araması yapılarak EtherCat hattına bağlı IO terminaline ait bilgilere ulaşılmaktadır. Şekil 4.20'de, EK1100 EtherCat bağlayıcıya bağlı IO modüllerine (EL1859, EL3062, EL4002, EL9011) ait bilgilere nasıl ulaşıldığı gösterilmiştir. Bir PLC programı yazmadan IO modüllerinin manuel kontrolü de mümkündür. Şekil 4.20'de görüldüğü üzere kontrol edilecek modülün ilgili kanal numarası seçilerek gerçek zamanlı bilgiler yazılabilmekte veya okunabilmektedir.



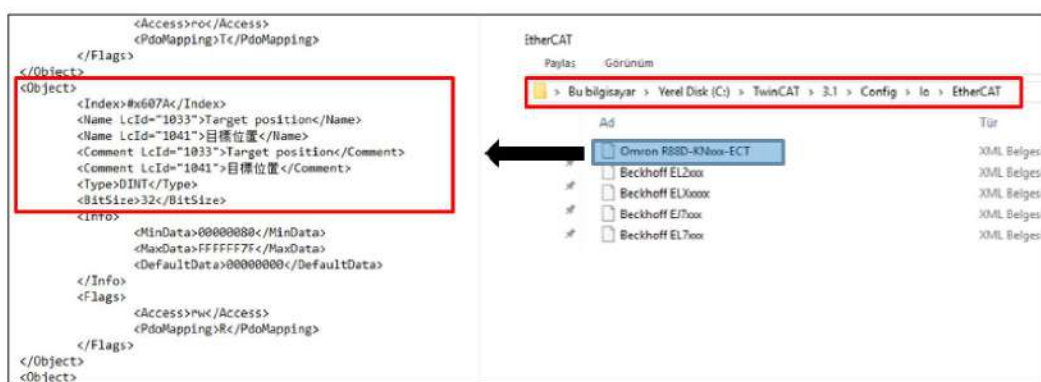
Şekil 4.20. IO terminaline bağlı modüllerin kontrolü

#### 4.2.2.2. Motor sürücü EtherCat bağlantısının kurulması

EtherCat protokolünün endüstriyel uygulamalarda kullanımının yaygınlaşması, AC servo motor sürücülerinde de EtherCat protokolünün kullanımını artırmıştır. Bu nedenle endüstriyel uygulamalarda sıkılıkla tercih edilen önemli servo motor markalarının neredeyse tümünde EtherCat destekli servo sürücüler bulunmaktadır. Fakat servo motor alanında hizmet veren firmalar var olan sürücülerini EtherCat protokolüne dönüştürken sıfırdan bir çalışma yapmak yerine CANopen protokolünde kullandıkları veri paketlerini EtherCat protokolü üzerinden göndermenin yöntemini bulmuşlardır. Böylelikle EtherCat protokolünün ‘On the Fly’ özelliğini kullanarak güvenli ve hızlı servo kontrol imkânı sağlamışlardır. CANopen veri paketlerinin EtherCat protokolü üzerinden gönderilmesi ‘CANopen over EtherCAT (CoE)’ ismiyle ifade edilmektedir.

CoE protokolü, tüm CANopen profil ailesinin EtherCAT aracılığıyla kullanılmasını sağlarken 8 bayt sınırını kaldırın ve nesne listesinin tam olarak okunabilirliğini sağlayan isteğe bağlı uzantılar tanımlanabilmektedir. İşlem verileri, EtherCAT ‘in verimli araçları kullanılarak 8 bayt sınırı olmadan aktarılan işlem verisi nesnelerinde (PDO: Process Data Object) düzenlenmektedir. PDO’lar servo motor sürücüsüne gönderilen ve servo sürücüsünden gelen gerçek zamanlı verileri taşıyan nesnelerdir. Ayrıca servo sürücüler için önemli bir diğer nesne türü ise servis verisi nesneleridir (SDO: Service Data Object). SDO’lar gerçek zamanlı gönderilmesi gerekmeyen, sürücülerin yapılandırılmasına ilişkin parametreleri taşımakla görevlidir. Özette bir

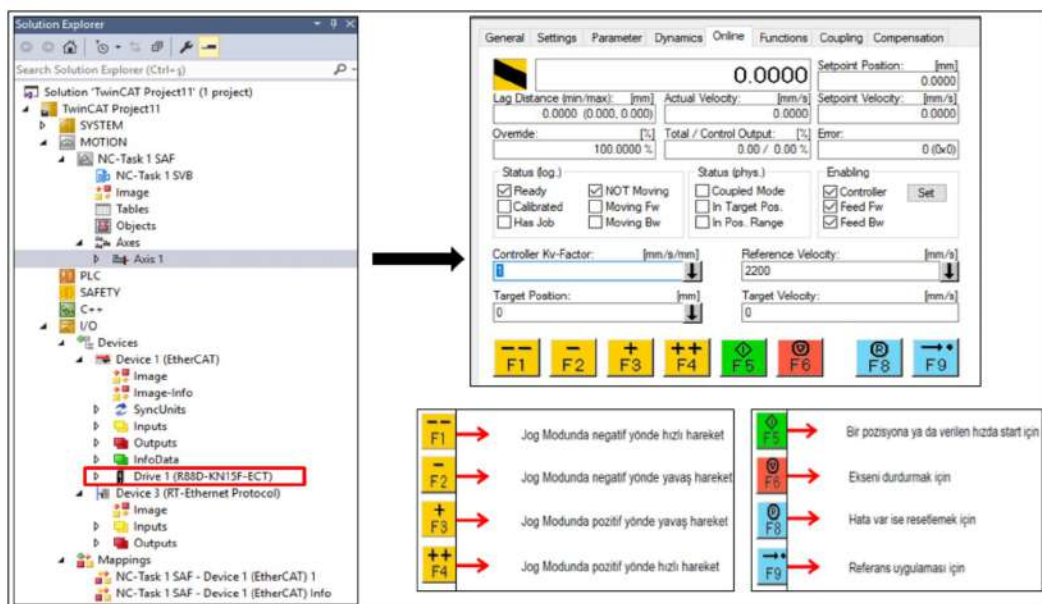
servo sürücüsünün kontrolü PDO ve SDO nesneleriyle sağlanmaktadır. EtherCat hattına bağlı kaç AC servo motor sürücüsü varsa her bir sürücü Slave cihaz konumuna geçmektedir. Haberleşme hattındaki her Slave bağlantısı bir düğüm olarak adlandırılır ve CANopen haberleşme hattındaki her düğümün yani hattaki her cihazın “ID” kimlik numarası olması gereklidir. Bu kimlik numarası olası çakışmaları engellemek için her cihaz için farklı olmak zorundadır. ID numaralarıyla kategorize edilen servo sürücüler PDO ve SDO nesnelerini, nesne dizini ve nesne alt dizini adresleriyle Master PC’ye göndermektedir. Dolayısıyla her bir servo sürücüye ait nesne dizini ve nesne alt dizinlerinin açıklamalarının olduğu bir dosyaya ihtiyaç vardır. Bu dosya EtherCat bağlayıcılarında olduğu gibi sürücülere ait XML dosyalarıdır. XML dosyaları bir sürücünün tüm CANopen haberleşmesine ilişkin bilgileri içерdiği için kritik öneme sahiptir. XML dosyasının sürücü modeli ile uyumlu olmaması durumunda EtherCat protokolü üzerinden sürücü ile haberleşmek imkansız hale gelmektedir. Uyumluluk sorunu ise en çok kullanılan sürücü modeliyle XML dosyası arasındaki versiyon farklılıklarından kaynaklanmaktadır. Bu nedenle mutlaka XML dosyasının kullanılan sürücüye ait olup olmadığı kontrol edilmesi gereklidir. EtherCat hattındaki servo sürücülerin TwinCat yazılımı ile kontrol edilebilmesi için XML dosyalarının tanıtılması işlemi yapılır. Şekil 4.21’de, Omron R88D-KNxxx-ECT sınıfından bir servo sürücünün TwinCat yazılımının çalışacağı Master PC’de bulunması gereken adresi gösterilmiştir. Ayrıca XML dosyası içinde yer alan bir PDO nesnesine (hedef pozisyon) ilişkin bilgiler örnek olarak verilmiştir.



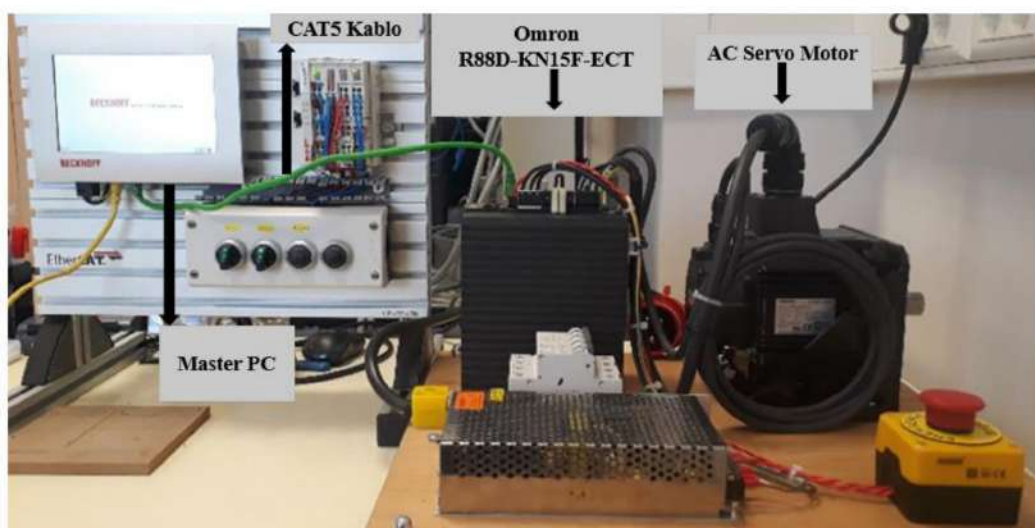
Şekil 4.21. Servo sürücüsüne ait XML dosyasının TwinCat yazılımına eklenmesi

Gerekli ön işlemlerin yapılması sonrasında TwinCat ortamında Slave cihaz araması yapılarak EtherCat hattına bağlı servo sürücülere ait bilgilere ulaşılmaktadır. Tarama

işlemi sonrasında hatta bulunan servo sürücü otomatik olarak eksen (axes) olarak atanmaktadır. Oluşturulan bu eksen üzerinden manuel servo motor kontrolü yapmak mümkündür. Şekil 4.21'de görülen XML dosyası kullanılarak Omron R88D-KN15F-ECT model sürücünün hatta bulunması sonrasında bilgilerine nasıl ulaşıldığı Şekil 4.22'de gösterilmiştir. Ayrıca şekilde, oluşturulan eksen (Axis1) üzerinden manuel kontrol işlemlerinin yürütüldüğü bölüm de yer almaktadır. Yazılım bölümünde bilgileri görülen servo motor ve sürücüsünün, Master PC ile fiziksel bağlantısı Şekil 4.23'te yer almaktadır.



Şekil 4.22. TwinCat yazılımı ile servo sürücünün kontrol edilmesi

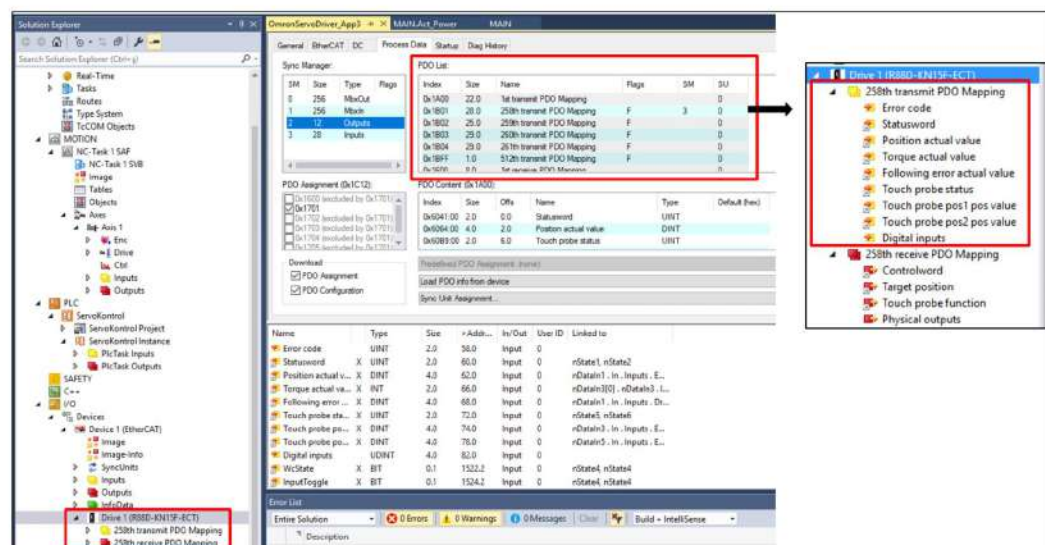


Şekil 4.23. Master PC ile servo sürücü arasındaki fiziksel bağlantının kurulumu

EtherCat protokolünün CANopen veri paketleri üzerinden çalışmasının önemli bir avantajı da PDO haritalandırma (mapping) işlemidir. Sürücüyü geliştiren firma tarafından birbirile ilişkili PDO'lar gruplandırılarak bir harita altında saklanmaktadır. Omron R88D-KN15F-ECT sürücüsüne ait bir PDO haritalandırılması (258th transmit PDO Mapping) Şekil 4.24'te örnek olarak gösterilmiştir.

1B01 hex		258th transmit PDO Mapping					All
Sub-index 00 hex		Number of objects in this PDO					
Range	—	Unit	—	Default	09 hex	Attribute	—
Size	1 byte (U8)	Access	RO	PDO map	Not possible		
Sub-index 01 hex PDO entry 1 (1st Input Object to be mapped)							
Range	—	Unit	—	Default	603F 0010 hex	Attribute	—
Size	4 bytes (U32)	Access	RO	PDO map	Not possible		
Sub-index 02 hex PDO entry 2 (2nd Input Object to be mapped)							
Range	—	Unit	—	Default	6041 0010 hex	Attribute	—
Size	4 bytes (U32)	Access	RO	PDO map	Not possible		
Sub-index 03 hex PDO entry 3 (3rd Input Object to be mapped)							
Range	—	Unit	—	Default	6064 0020 hex	Attribute	—
Size	4 bytes (U32)	Access	RO	PDO map	Not possible		
Sub-index 04 hex PDO entry 4 (4th Input Object to be mapped)							
Range	—	Unit	—	Default	6077 0010 hex	Attribute	—
Size	4 bytes (U32)	Access	RO	PDO map	Not possible		
Sub-index 05 hex PDO entry 5 (5th Input Object to be mapped)							
Range	—	Unit	—	Default	60F4 0020 hex	Attribute	—
Size	4 bytes (U32)	Access	RO	PDO map	Not possible		
Sub-index 06 hex PDO entry 6 (6th Input Object to be mapped)							
Range	—	Unit	—	Default	60B9 0010 hex	Attribute	—
Size	4 bytes (U32)	Access	RO	PDO map	Not possible		
Sub-index 07 hex PDO entry 7 (7th Input Object to be mapped)							
Range	—	Unit	—	Default	60BA 0020 hex	Attribute	—
Size	4 bytes (U32)	Access	RO	PDO map	Not possible		
Sub-index 08 hex PDO entry 8 (8th Input Object to be mapped)							
Range	—	Unit	—	Default	60BC 0020 hex	Attribute	—
Size	4 bytes (U32)	Access	RO	PDO map	Not possible		

Şekil 4.24. Servo sürücü PDO haritalandırması (mapping)



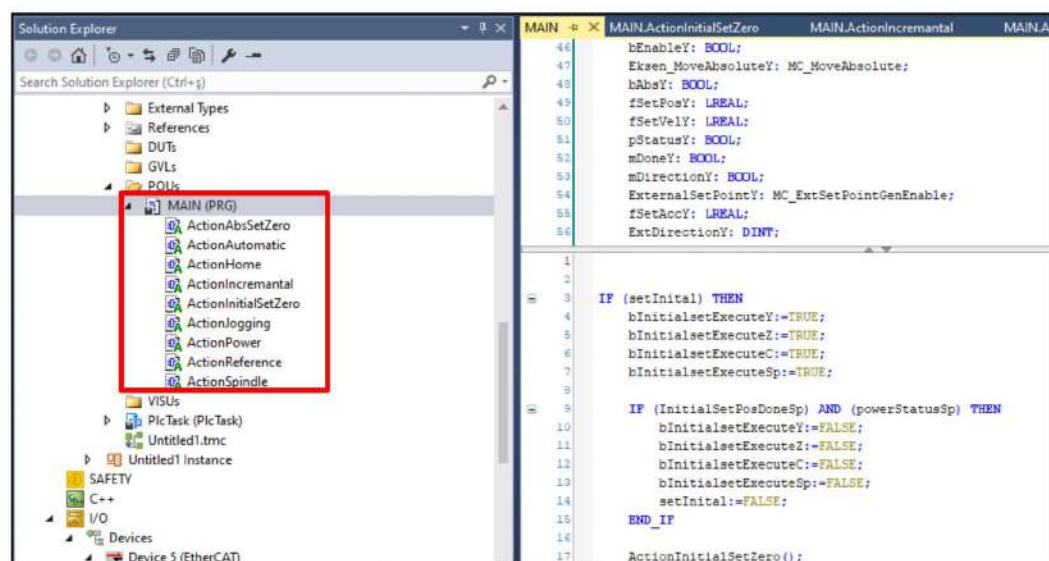
Şekil 4.25. TwinCat yazılımında PDO haritalarının kullanımı

Sürücü özelinde yapılan haritalandırmalar, XML dosyasında belirtildiği için TwinCat ortamında da PDO haritalarına ulaşmak mümkündür. Şekil 4.25'te yine aynı motor

sürücüsüne ait PDO bilgilerine TwinCat ortamında nasıl ulaşıldığı gösterilmiştir. Ayrıca şekilde, Şekil 4.24'te dizin numaraları ile görülen dokuz PDO'dan oluşan 258. gönderim PDO haritasına ait parametrelerin bilgileri de yer almaktadır.

#### 4.2.2.3. TwinCat PLC yazılımı

IO terminali ve servo motor sürücüleriyile EtherCat protokolü üzerinden haberleşme işleminin sağlanmasıından sonra PLC program yazılımına geçilmektedir. Önceki bölümde belirtildiği üzere TwinCat programı kendi yazılım diline ek olarak, talimat listesi (IL), yapılandırılmış metin (ST), sıralı fonksiyon şeması (SFC), fonksiyon blok şeması (FBD), sürekli fonksiyon şeması düzenleyicisi (CFC) ve merdiven şeması (LD) gibi farklı PLC programlama dillerini de desteklemektedir. Yapılan çalışmada PLC yazılımının ana kontrol birimi olarak TwinCat programının kendi yazılım dili, ek görev birimleri için ise fonksiyon blok (FBD) şeması dili kullanılmıştır. Şekil 4.26'da TwinCat yazılım diliyle geliştirilmiş ana program biriminden bir bölüm, Şekil 4.27'de ise FBD diliyle yazılmış fonksiyonlardan bir bölüm gösterilmiştir.



The screenshot shows the TwinCAT Project Explorer and a code editor side-by-side. The Project Explorer on the left displays a hierarchical tree of project components, including External Types, References, DUTs, GVLs, and POUls. A red box highlights the 'MAIN (PRG)' node under POUls, which contains several function blocks: ActionAbsSetZero, ActionAutomatic, ActionHome, ActionIncremental, ActionInitialSetZero, ActionLogging, ActionPower, ActionReference, and ActionSpindle. The code editor on the right shows the 'MAIN' program code in FBD (Function Block Diagram) format:

```

MAIN. # X MAIN.ActionInitialSetZero MAIN.ActionIncremental MAIN.ActionPower
46: bEnableY: BOOL;
47: Eksen_MoveAbsoluteY: MC_MoveAbsolute;
48: hAbsY: BOOL;
49: fSetPosY: LREAL;
50: fSetVely: LREAL;
51: pStatusY: BOOL;
52: mDoneY: BOOL;
53: mDirectionY: BOOL;
54: ExternalSetPointY: MC_ExtSetPointGenEnable;
55: fSetAccY: LREAL;
56: ExtDirectionY: DINT;

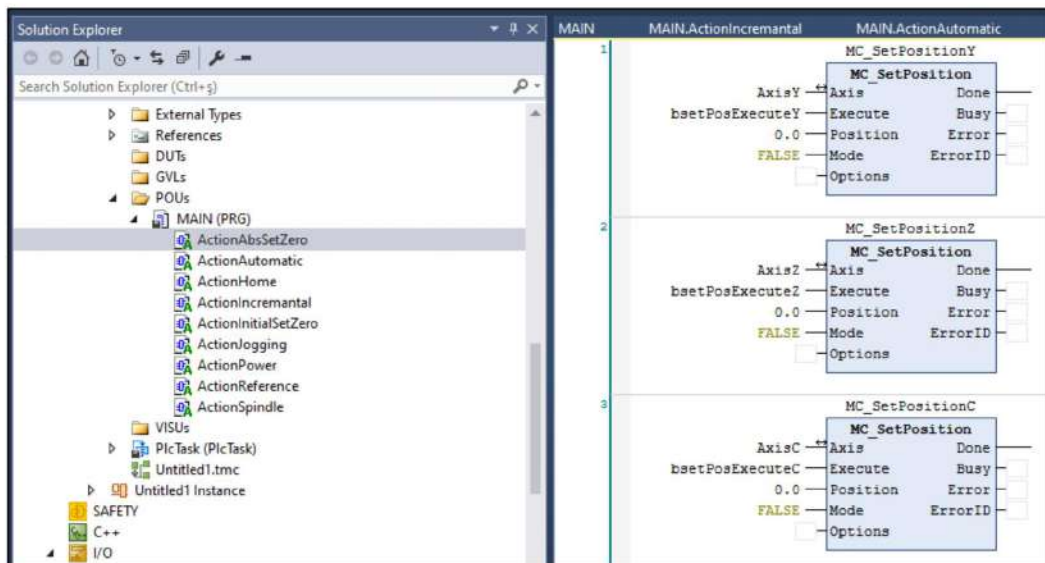
1: 
2: 
3: IF (setInitial) THEN
4:   bInitialsetExecuteY:=TRUE;
5:   bInitialsetExecuteZ:=TRUE;
6:   bInitialsetExecuteC:=TRUE;
7:   bInitialsetExecuteSp:=TRUE;
8: 
9: 
10: IF (InitialSetPosDoneSp) AND (powerStatusSp) THEN
11:   bInitialsetExecuteY:=FALSE;
12:   bInitialsetExecuteZ:=FALSE;
13:   bInitialsetExecuteC:=FALSE;
14:   bInitialsetExecuteSp:=FALSE;
15:   setInitial:=FALSE;
16: END_IF
17: ActionInitialSetZero();

```

Şekil 4.26. CNC kontrol ünitesi PLC yazılımı (ana program)

CNC kontrol ünitesinin PLC yazılımı temel olarak yedi bölüme ayrılmıştır. CNC tezgâhının çalışma modları (AUTO, JOG, INC, HOME, REF, HND) yazılımın altı bölümünü kapsarken, bir bölümde IO terminal kontrolü oluşturmaktadır. Çalışma modları ise kendi arasında pozisyon kontrolü ve hız kontrolü olmak üzere iki gruba

ayrılmıştır. Bu doğrultuda oluşan kontrol türleri ile çalışma modları arasındaki ilişki durumu Tablo 4.2'de gösterilmiştir.



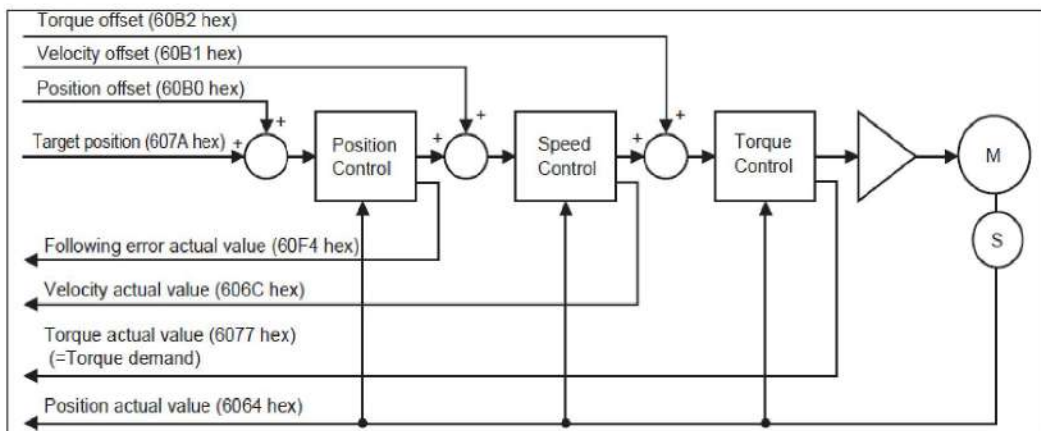
Şekil 4.27. CNC kontrol ünitesi PLC yazılımı (fonksiyon programları)

Tablo 4.2. CNC çalışma modlarına göre kontrol türleri

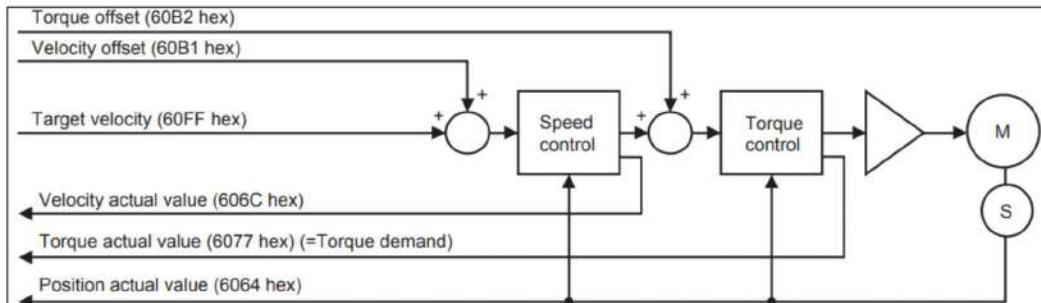
Kontrol Türü	CNC Tezgâhı Çalışma Modları						IO
	AUTO	JOG	INC	HOME	REF	HND	
Pozisyon	X		X	X	X		
Hız		X				X	
IO							X

AUTO modu, CNC tezgâhının G-kodlar temelinde ürün işlemesi yaptığı en önemli çalışma modudur. Dolayısıyla mikron seviyelerde konum kontrolü ve eksenler arası senkronizasyonun sağlanması gereklidir. INC modu seçili eksende 0.1, 0.01, 0.001 veya 0.0001 mm hassasiyetinde hareketin tanımlanıldığı bölümdür ve hassas konum kontrolü gereklidir. HOME ve REF modları ise tezgâhın bulunduğu konumdan makine sıfırına veya makine sıfır referanslarına gönderildiği bölümlerdir. Bu iki çalışma modunda yine hassas konum kontrolü ön plandadır. Hız kontrolünün yeterli olduğu JOG ve HND çalışma modlarında ise konum hassasiyeti çok kritik değildir. Doğrudan operatör tarafından yönetilen bu iki bölümde konum hassasiyeti operatör tarafından sağlandığı için hız kontrolü yeterli olmaktadır. Konum veya hız kontrollerinden birinin uygulanması için CANopen veri paketleri içinden ilgili dizin numaralarının bilinmesi gereklidir. Bu bilgiler, tezgâh üzerinde kullanılan servo sürücünün XML dosyasından

öğrenilmektedir. Örneğin önceki bölümde detayları verilen Omron R88D-KN15F-ECT model servo sürücünün, kapalı çevrim pozisyon kontrol yapısı ve kapalı çevrim hız kontrol yapısı Şekil 4.28 ve 4.29'da görüldüğü gibidir.

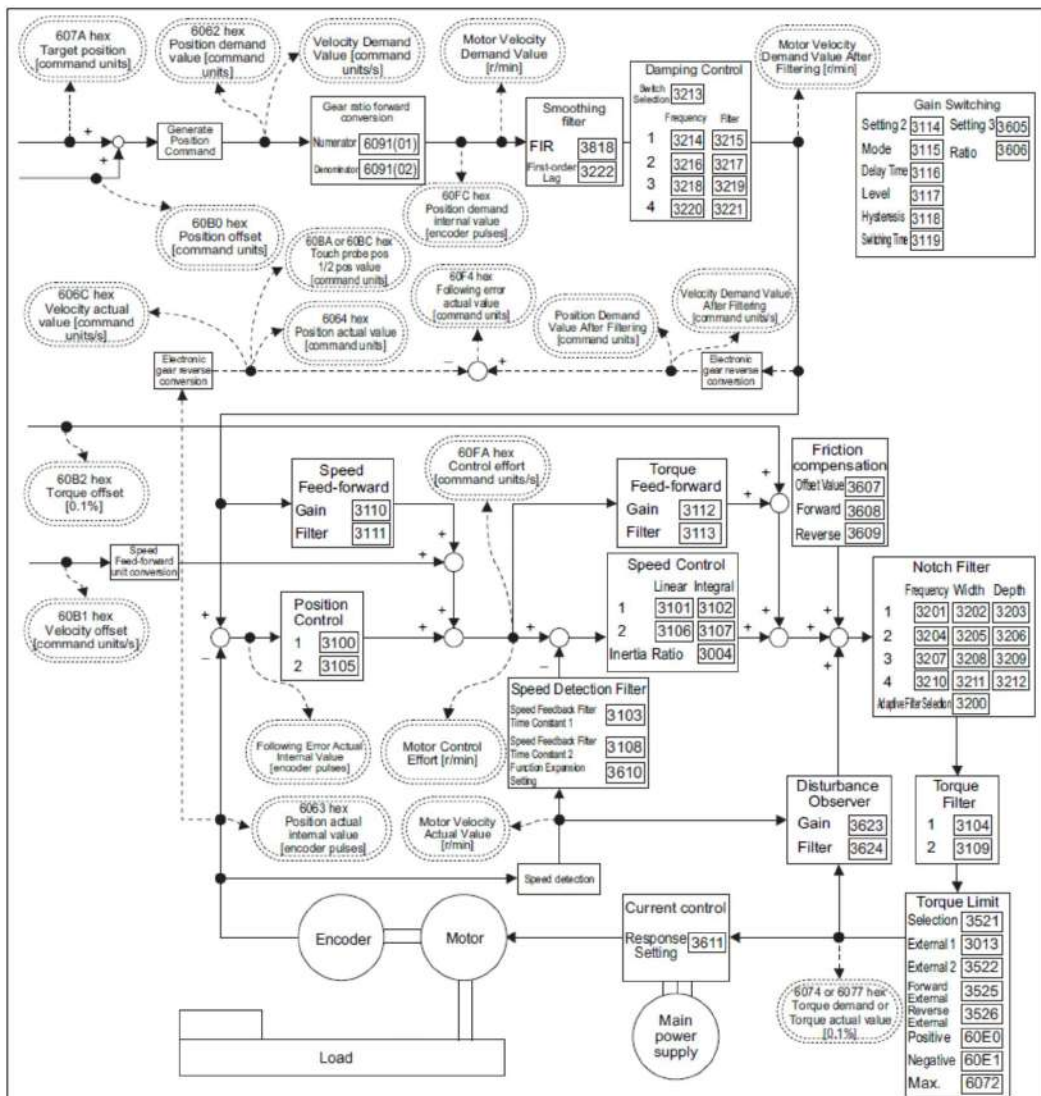


Şekil 4.28. AC servo motor pozisyon kontrol kapalı çevrim yapısı



Şekil 4.29. AC servo motor hız kontrol kapalı çevrim yapısı

Her iki kontrol yapısında da hedef pozisyon (target position) ve hedef hız (target velocity) değerlerine ilişkin dizin numaraları görülmektedir. EtherCat protokolü üzerinden bu dizin numaralarına gerekli değerlerin gönderilmesi sonucunda hedef kontrol işlemi gerçekleşmektedir. Fakat bunlara ek olarak, servo motor kontrolcü katsayıları, offset değerleri, dişli veya vidalı mil oranları, gürültü filtre katsayıları gibi SDO verilerinin de sürücüye doğru bir şekilde tanımlanması gereklidir. SDO dizin numaraları da yine sürücü XML dosyasında bulunmaktadır. Şekil 4.30'da R88D-KN15F-ECT model servo sürücünün kapalı çevrim pozisyon kontrolünde kullanılan SDO parametreleri örnek olarak gösterilmiştir. Her bir parametreye ilgili dizin numaraları üzerinden erişilebilmektedir.



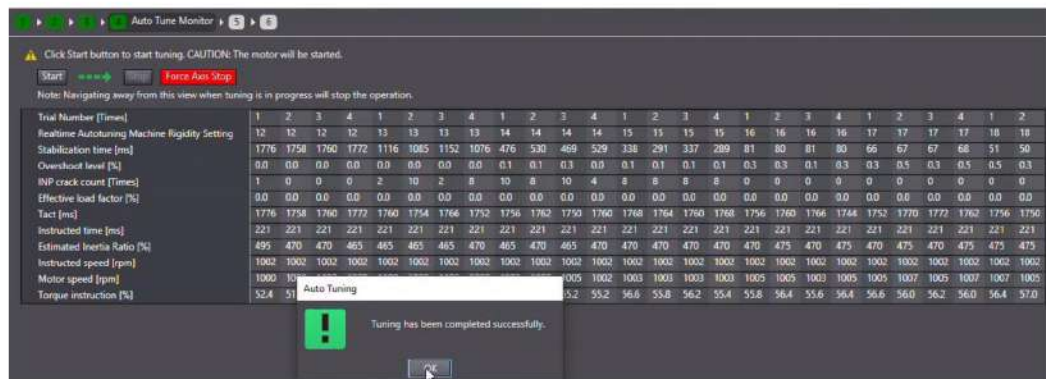
Şekil 4.30. Sürücü kontrol parametreleri

Şekil 4.30'daki kapalı çevrim kontrol parametrelerinin, servo motorun tezgâh üzerine takılması sonrasında yapılması daha sağlıklıdır. Çünkü motorun çalışacağı yük altında kontrol parametrelerinin belirlenmesi, tezgâhın üretim sırasındaki kontrol performansını artırmaktadır. Bu parametrelerin TwinCat yazılımından ayarlanması mümkündür. Fakat bu işlemler genellikle servo sürücünün kendi yazılımı üzerinden otomatik ayar (auto-tune) işlemi ile yapılmaktadır. Omron marka sürücüler Sysmac Studio programını kullandığı için, yukarıda detayları verilen R88D-KN15F-ECT model servo sürücünün auto-tune işlemi ile yapılandırması da Şekil 4.31'de görüldüğü gibi Sysmac Studio programı ile yapılmıştır. Servo motorun bağlı olduğu mekanik sistem programda belirtildikten sonra motorun auto-tune işlem parametreleri

tanımlanarak süreç başlatılmaktadır. Servo sürücü, servo motor yapısına göre değişkenlik gösteren iterasyon sayısı sonrasında Şekil 4.32'de görüldüğü gibi süreci sonlandırip sürücü kontrol katsayılarını belirlemektedir.



Şekil 4.31. Sysmac Studio sürücü yapılandırması işlemi

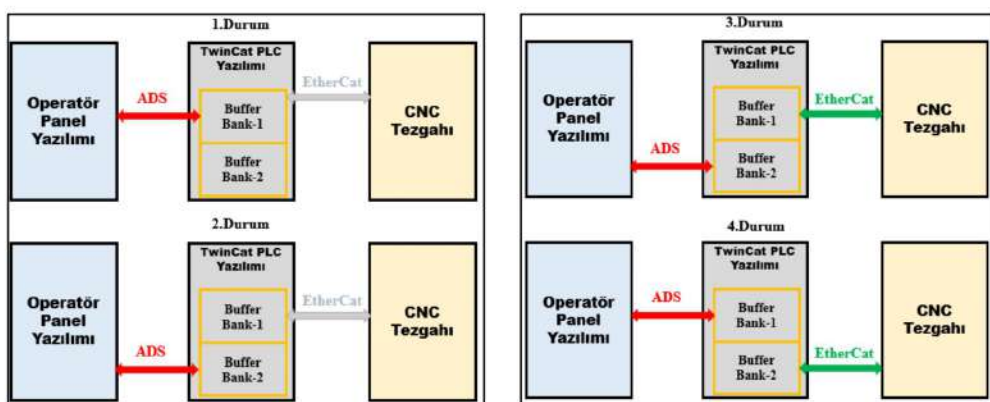


Şekil 4.32. Sürücü yapılandırılması iterasyon işlemlerinin sonlanması

Geliştirilen PLC yazılımı 1ms veri yenileme zamanı ile çalıştığı için kontrol işlemlerinde hedef değerler 1ms aralıklarla gerçek zamanlı yenilenmektedir. Fakat PLC yazılımı, EtherCat protokolüyle fiziksel sistemlere bağlı olurken aynı zamanda ADS protokolü üzerinden operatör panel yazılımı ile haberleşmektedir. ADS protokolü TCP/IP altyapısıyla çalıştığı için veri gönderim ve alım sürelerinde değişiklik gösterebilmektedir. Fakat EtherCat protokolü gerçek zamanlı fiziksel sisteme veri gönderdiği için sabit örneklemme zamanı (1ms) ile çalışmaktadır. Haberleşme altyapılarından kaynaklı bu zaman farklılığından dolayı, fiziksel sisteme gönderilecek her bir verinin tek tek operatör panel yazılımindan alınıp TwinCat yazılımı ile tezgâh donanımlarına gönderilmesi işlemi yapılamamaktadır. Çünkü

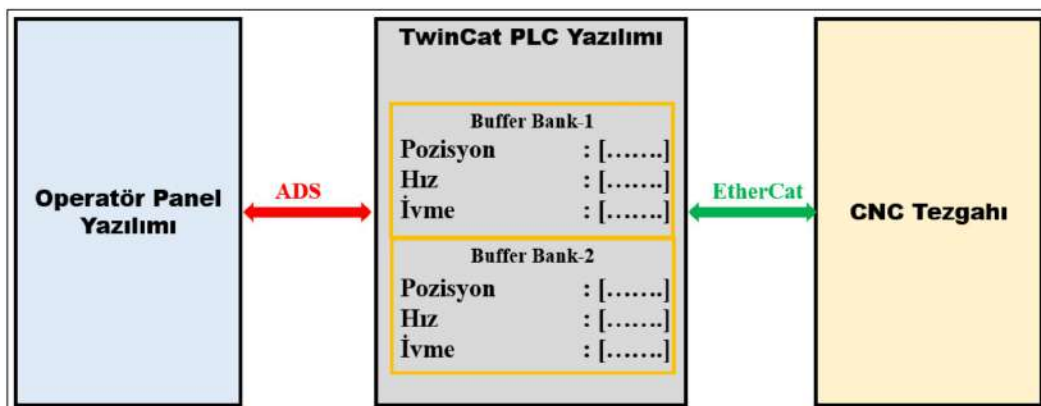
tezgâh kontrolüne ilişkin hareket planlamaları sabit örneklemeye zamanına göre oluşturulmaktadır. Bu nedenle de EtherCat protokolü üzerinden her verinin 1ms zaman aralıklarıyla gönderilmesi gereklidir. Aksi takdirde ADS protokolünden kaynaklı bir gecikmeden dolayı veriler 1ms'de bir tezgâh motorlarına gönderilemez ise tezgâh hareketlerinde titreşimler ve vuruntular görülür.

Bu doğrultuda haberleşme hızlarındaki farklılık göz önünde bulundurularak, konum kontrolünün ve senkronizasyonun çok önemli olduğu AUTO, HOME ve REF modlarında kullanılmak üzere PLC yazılımında ikili buffer (ping-pong buffer) mekanizması geliştirilmiştir. Diğer üç çalışma modunda (JOG, INC, HND) ve IO terminal kontrolünde ise buffer kullanılmadan kontrol parametreleri gerçek zamanlı ADS protokolü üzerinden alınmaktadır. Geliştirilen ping-pong buffer mekanizması EtherCat ile ADS arasındaki olası haberleşme hız farklığını ortadan kaldırma görevini üstlenmektedir. CNC kontrol ünitesi için kurulan ikili ping-pong buffer mekanizmasının ilk dört durumunu gösteren blok diyagramı Şekil 4.33'te gösterilmiştir. Başlangıçta ADS üzerinden veri alma işlemi Buffer Bank-1'e aittir. Buffer dolduktan sonra ADS'den gelen veriler Buffer Bank-2'de toplanmaktadır. Bu ilk iki durum için EtherCat protokolü pasiftir. İki Buffer'in da dolması sonucu Buffer-Bank-1'deki veriler EtherCat protokolü ile tezgâh motorlarına gitmektedir (3.Durum). Buffer-Bank-1 içindeki tüm veriler aktarıldıktan sonra, Buffer-Bank1 ADS'e dönmekte, Buffer-Bank2 ise gerçek zamanlı EtherCat protokolüne geçmektedir (4.Durum). Tezgâh ürün işlemesini bitirene kadar veya tezgâh operasyonları durdurulana kadar 3. ve 4. Durumlar arası geçiş devam etmektedir.



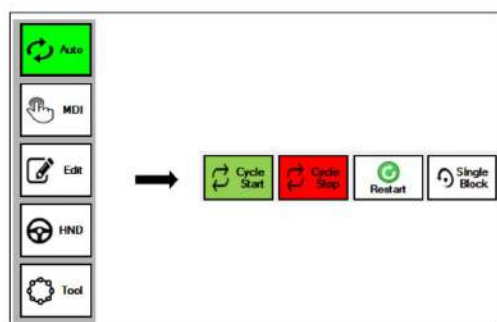
Şekil 4.33. CNC kontrol ünitesi ikili ping-pong buffer mekanizması

AUTO, HOME ve REF modlarında kullanılan buffer mekanizması, eksen motorları için operatör panel yazılımından her eksen için gelen pozisyon, hız ve ivme vektörlerini Şekil 4.34'te görüldüğü gibi ayrı ayrı toplamaktadır.



Şekil 4.34. Pozisyon, hız ve ivme vektörlerinin buffer mekanizmasına aktarılması

Belirtilen üç çalışma modunda en yoğun veri akışı olan çalışma modu AUTO'dur ve operatör panel arayüzünden Şekil 4.35'te gösterildiği gibi seçilmektedir. G-kod dosyasına göre operatör panel yazılımında işlenen veriler yine Şekil 4.35'te yer alan 'Cycle Start' butonu ile gerçek zamanlı olarak çalıştırılmaya başlanır.



Şekil 4.35. Operatör panel arayüzünde otomatik mod seçimi

Otomatik modda binlerce satırlık G-kod dosyası kullanılarak dakikalarca veya saatlerce bir tezgâhın çalışmasıyla karşılaşılabilir. Bu şekilde bir ürün işlemesinde ise milyonlarca eksen verisinin motorlara gönderilmesi söz konusudur. Milyonlarca eksen verisinin tek seferde operatör panel yazılımından PLC yazılımına aktarılması hem veri boyutundan hem de veri gönderim süresinden dolayı mümkün değildir. Bu nedenle pozisyon, hız ve ivme vektörlerini her G-kod satırı için motor

sürücülerine ayrı ayrı gönderilmektedir. Vektör uzunlukları o anda yapılacak tezgâh hareketinin boyuna bağlı değişiklik göstermektedir. Buffer mekanizmasında toplanan bu verilerin hiç veri kaybı olmadan ve 1ms aralıklarla eksen motorlarına gönderilmesi gereklidir. Veri kaybını engellemek için operatör panel yazılımı ile PLC yazılımı arasında ADS üzerinden kontrol veri alışverişi yapılmaktadır. Bu veri alışverişi sürecinde PLC yazılımı bir Client görevini üstlenmekte ve Master olan operatör panel yazılımından, buffer verileri boşaldıkça veri talep etmektedir. Master tarafından önceden hazır bulundurulan veriler PLC yazılımından gelen talep doğrultusunda gönderilmektedir. Gönderilen bilgilerin Buffer'a aktarılmasından sonra gönderilen veri boyutu ile alınan veri boyutu arasında doğrulanma işlemi yapılmaktadır. Doğrulama işlemi başarılı ise Master tarafına veri alındı bilgisi gönderilmekte aksi takdirde ise veri yeniden talep edilmektedir. Ayrıca operatör panel arayüzünde G-kodlarının gösterildiği bölümde tezgâh tarafından işlenen komut satırının gerçek zamanlı takip edilmesi gerektiği için, tezgâh üzerinde o an işlenen komut satır numarası da Master-Client arasında sürekli paylaşılmaktadır. Gerçek zamanlı işlenen komut satırı, operatör panel arayüzünde Şekil 4.36'da yer aldığı gibi görülmektedir. Komut satırı verisi Master tarafından gönderilecek vektörlerin önceden hazırlanmasında da kullanıldığı için, bu alandaki veri takibi kritik öneme sahiptir.

```

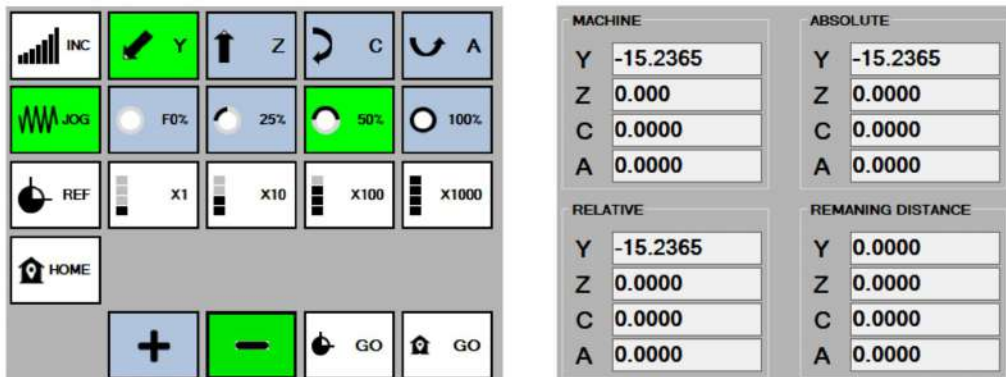
N310 G2X-92.501Y95.R12.499
N320 G1X92.501
N330 G2X105.Y82.501R12.499
N340 G1Y-82.501
N350 G2X92.501Y-95.R12.499
N360 G1X43.301
N370 G2X40.189Y-92.152R3.125
N380 G1X38.468Y-72.848
N390 G3X35.355Y-70.R3.125
N400 G1X-67.501
N410 G2X-80.Y-57.501R12.499
N420 G1Y57.501
N430 G2X-67.501Y70.R12.499
N440 G1X67.501
N450 G2X80.Y57.501R12.499
N460 G1Y-57.501
N470 G2X67.501Y-70.R12.499
N480 G1X35.355

```

Şekil 4.36. İşlenen komut satırının gerçek zamanlı operatör panel arayüzünde takibi

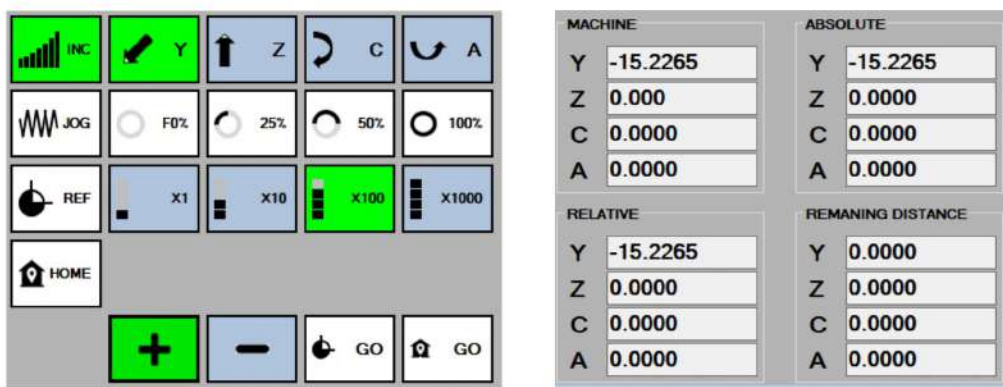
Çok sık kullanılan bir diğer önemli çalışma modu olan JOG, tezgâh eksenlerinin operatör tarafından manuel kontrol edilmesi gerektiği yerlerde kullanılmaktadır. Genellikle parça sıfırlama, eksenleri güvenli bölgeye alma veya manuel talaş kaldırma amaçları ile kullanılmaktadır. 4 eksen (Y-Z-C-A) bir tezgâh için, operatör panel arayüzünden JOG modunda manuel tezgâh kontrolünün nasıl yapıldığı Şekil 4.37-a'da gösterilmiştir. JOG butonuna basılmasıyla, operatörün işini kolaylaştırmak amacıyla

JOG moduyla ilişkili butonlar mavi renkte görünmektedir. Kontrol edilmek istenen eksen ve o ekseninin hız kademesi (F%0, F%25, F%50, F%100) seçildikten sonra hareket yönü butonu (+, -) ile tezgâh hareketi sağlanmaktadır. Aynı zamanda eksenlerin anlık konumları da yine operatör panel arayüzünden Şekil 4.37-b'de görüldüğü gibi takip edilebilmektedir.



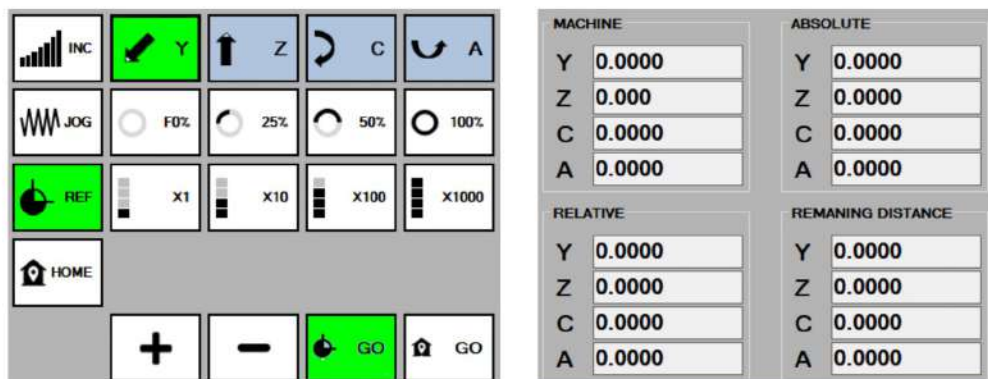
Şekil 4.37. (a) JOG modunda manuel eksen kontrolü (b) eksen konumlarının gerçek zamanlı takibi

JOG modunda hedeflenen kontrol işlemlerinin yapılabilmesi için, operaör panel yazılımı ADS protokolü üzerinden PLC yazılımına veriler göndermektedir. Bu veriler, çalışma modunun JOG olduğu, kontrol edilmek istenen eksen bilgisi, hız değeri ve hareket yönüdür. PLC yazılımı alınan bu veriler doğrultusunda Şekil 4.29'da yer alan kapalı çevrim hız kontrol yapısında ilgili dizin numaralarından verileri motor sürücüsüne göndermektedir. JOG modunda varsayılan hız değeri doğrusal eksenler için 50 mm/s, döner eksenler için de 20 °/s'dir. PLC yazılımına tanımlanmış bu parametreler operatör panel yazılımindan gelen kademe bilgisine göre düzenlenerek eksen motorlarına gönderilmektedir. INC modu ise genellikle JOG modu çalışmasından sonra devreye alınmaktadır. Operatör JOG modunda sezgisel konum kontrolü yaptığı için net bir konuma veya parça sıfırına yüksek hassasiyetle gelememektedir. Hedef noktaya JOG modunda yaklaşıldıkten sonra INC modunda hassas ayarlama yapılmaktadır. Operatör panel arayüzünde INC butonuna basılmasıyla birlikte aktif olan (mavi) butonlar Şekil 4.38-a'da gösterilmiştir. Kontrol edilmek istenen eksen seçildikten sonra, X1 (0.0001 mm), X10 (0.001 mm), X100 (0.01 mm) ve X1000 (0.1 mm) butonlarından birisi ile hareket miktarı seçilmektedir. Hareket yönü butonları ile de pozitif/negatif hareket tanımlanmaktadır.



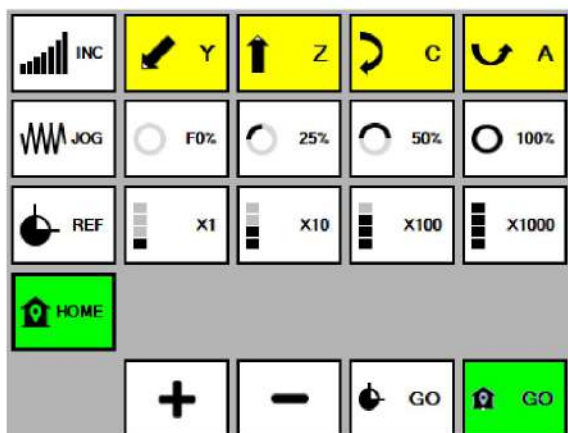
Şekil 4.38. (a) INC modunda hassas eksen kontrolü (b) eksen konumlarının gerçek zamanlı takibi

Şekil 4.38-a'daki işlemin bir kere çalıştırılması sonrası Şekil 4.37-b'de görülen konum, Şekil 4.38-b'de görüldüğü gibi değişiklik göstermektedir. JOG modunda olduğu gibi operatör panel arayüzünde INC modu seçilmesiyle birlikte PLC yazılımına anlık veriler gönderilmektedir. ADS üzerinden gelen bu veriler çalışma modunun INC olduğu, kontrol edilmek istenen eksen bilgisi, hareket (hassasiyet) miktarı ve hareket yönüdür. PLC yazılımı alınan bu veriler doğrultusunda, Şekil 4.28'de yer alan kapalı çevrim pozisyon kontrol yapısında ilgili dizin numaralarından verileri motor sürücüsüne göndermektedir. Tezgâh eksenlerinin bulunduğu konumdan makine sıfır referanslarına gönderilmesi gerekirse operatör panel arayüzünden REF modu seçilmektedir. REF modu seçilmesiyle birlikte kontrol edilebilir butonlar Şekil 4.39-a'da görüldüğü gibi aktif olmaktadır. Referans noktasına gönderilecek eksen seçimi yapılarak 'GO' butonuna basılmaktadır. Şekil 4.38-b konumunda bulunan tezgâhın, Y eksen referans noktasına gönderilmesi sonunda Şekil 4.39-b'de görülen konuma gelmektedir.



Şekil 4.39. (a) Eksenlerin referans noktalarına gönderilmesi işlemi (b) eksen konumlarının gerçek zamanlı takibi

Seçili eksenin referans noktasına gönderilmesi için operatör panel yazılımında sabit jerkli doğrusal hareket yörüngesi oluşturulmaktadır. Bu yörüngeye ait pozisyon, hız ve ivme vektörleri ADS üzerinden PLC yazılımına gönderilmektedir. AUTO modunda olduğu gibi ADS-EtherCat haberleşme hızı farklılığından dolayı ikili buffer sistemi burada da kullanılmaktadır. PLC yazılımı gelen verileri Şekil 4.28'de yer alan kapalı çevrim pozisyon kontrol yapısında ilgili dizin numaralarından motor sürücüsüne göndermektedir. Tezgâhın bulunduğu konumdan eksen referans noktalarına değil de doğrudan makine sıfırına gönderilmesi durumunda da HOME modu kullanılmaktadır. Operatör panel arayüzünde HOME butonuna basılmasıyla tüm eksen butonları Şekil 4.40'ta görüldüğü gibi aktif (sarı) olmaktadır. 'GO' butonuna basılmasıyla birlikte operatör panel yazılımında makine sıfır rutini oluşturulmaktadır. Tüm eksenlerin aynı anda makine sıfırına gitmesi tezgâh üzerinde bağlı olan ürüne çarpılması riskinden dolayı tehlikelidir. Bu nedenle makine sıfır rutininde önce Z eksen referansa gönderilmekte sonra tezgâh eksen konfigürasyonuna göre diğer eksenler sırayla referans noktasına gönderilerek makine sıfırına ulaşmaktadır. REF modunda olduğu gibi HOME modu için de tüm eksenler için sabit jerkli doğrusal hareket planlaması yapılmaktadır. Planlanan yörüngelere ait pozisyon, hız ve ivme vektörleri ikili buffer mekanizmasıyla PLC yazılımına aktarılmaktadır. Gelen veriler de EtherCat protokolü üzerinden 1ms aralıklarla eksen motorlarına gönderilmektedir.



Şekil 4.40. Tezgâhın makine sıfırına gönderilmesi işlemi

Operatör denetiminde olan bir diğer çalışma türü ise HND modudur. HND modunda Şekil 4.41'de bir modeli görülen el kumandası kullanılmaktadır. El kumandası doğrudan IO terminaline bağlanmaktadır. Enkoder sinyalleri IO terminalindeki

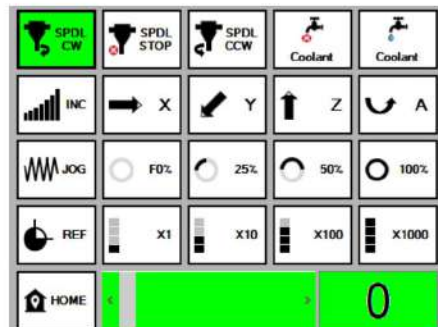
enkoder modülünden, diğer kontrol tuşları (eksen seçimi, hız kademe ayarlaması, hareket yönü, vb.) ise dijital giriş modülünden okunmaktadır. IO terminali üzerinden PLC yazılımına aktarılan veriler doğrultusunda eksen motorları hız modunda çalıştırılmaktadır. Konum hassasiyeti JOG modunda olduğu gibi yine operatör tarafından sağlanmaktadır. Çalışma modları dışında bir diğer önemli kontrol birimi ise IO terminaline bağlı donanımların kontrolüdür. Bu donanımların başında da spindle motoru, soğutma sıvısı, sınır anahtarları, röleler ve takım değiştirme magazını gelmektedir. Operatör tarafından manuel kontrol edilmesi gereken en önemlileri ise spindle motoru ve soğutma sıvısıdır. Tezgâh üzerindeki spindle motorunun asenkron motor olması durumunda sürücü (inverter) kontrolü analog sinyalle sağlanmaktadır. Bu durumda IO terminalinin analog çıkış modülünden, spindle sürücüsünün devir ayarının yapılması için 0-10V arası analog bilgi gönderilmektedir. Spindle yön ayarı, sürücü röleleri gibi diğer parametreler için ise dijital çıkış modülü kullanılmaktadır. Operatör panel arayüzünden manuel spindle kontrol işlemleri Şekil 4.42'de görülen butonlarla yapılmaktadır. Spindle yönü seçildikten sonra alt tarafta görülen hız ayar bölümünden manuel devir ayarı yapılmaktadır. Maksimum devir değeri, spindle motorunun bir parametresi olarak operatör panel yazılımına tanımlanmaktadır. Spindle yön ve devir bilgisi ADS üzerinden PLC yazılımına gönderilmekte ve PLC yazılımı da IO terminali üzerinden spindle sürücüsüne göndermektedir.



Şekil 4.41. CNC kontrol ünitesi el kumandası

Spindle motorunun endüstriyel bir haberleşme protokolü destekli olması durumunda ise kontrol sinyalleri analog sinyal yerine protokol üzerinden gönderilmiştir. Sürücü haberleşme protokolünün EtherCat olması durumunda eksen motorlarında

olduğu gibi spindle motoru da Slave cihaz olarak görülmekte ve ilgili dizin numaraları ile kontrol sinyalleri gönderilmektedir.



Şekil 4.42. Manuel spindle kontrol işlemi

Spindle sürücüsünün EtherCat dışında farklı bir endüstriyel protokol desteği olması durumunda ise IO terminaline, ilgili protokol arayüz modülü eklenerek sürücü ile haberleşme sağlanmaktadır. Belirtilen farklı opsiyonlar operatör panel yazılımında bir değişiklik gereksinimi ortaya çıkarmamaktadır. Sadece spindle motor sürücüsünün yapısına uygun işlemler PLC yazılımında gerçekleştirilerek, ADS üzerinden tüm opsiyonlar için aynı bilgiler gönderilmektedir.

## **5. DENEYSEL ÇALIŞMALAR**

Bu bölümde, geliştirilen CNC kontrol ünitesinin gerçek zamanlı uygulamalarına yer verilmiştir. CNC kontrol ünitesi ile doğrudan endüstriyel bir CNC-Freze tezgâhi üzerinde deneysel çalışmalara başlanması güvenlik amacıyla riskli olduğu için kademeli bir deneysel çalışma yöntemi tercih edilmiştir. Öncelikle EtherCat protokolü üzerinden endüstriyel AC servo motorun kontrol performanslarını analiz etmek için tek motorlu bir motor test düzeneği tasarımları yapılmış ve kontrol uygulamaları yapılmıştır. Sonrasında yine EtherCat protokolünün çoklu eksen senkronizasyon testlerinin yapılması için tek motorlu test düzeneği üç motorlu test düzeneğine dönüştürülerek yörunge takibi ve senkronizasyon testleri yapılmıştır. Bu uygulamalarda hem EtherCat protokolü hem de CNC kontrol ünitesi yazılımı doğrulanmış ve sonrasında endüstriyel CNC-Freze tezgâhi üzerinde çalışma adımına geçilmiştir. Endüstriyel CNC-Freze tezgâhi kontrol uygulamaları ise 3-Eksen ve 4-Eksen olmak üzere iki farklı tezgâhta yapılarak çalışmanın kapsamlı performans analizi yapılmıştır.

### **5.1. AC Servo Motor Yörüngé Takibi ve Senkronizasyon Testleri**

EtherCat protokolü üzerinden yapılan motor kontrol işleminin performans analizi için tasarlanan test düzeneği sistemi Şekil 5.1'de yer almaktadır.



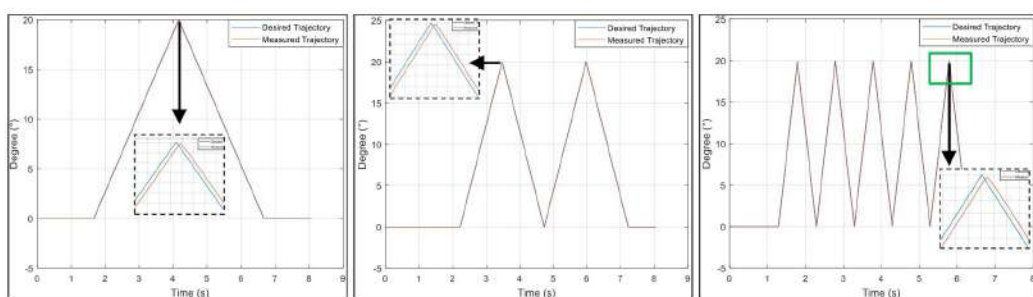
Şekil 5.1. Endüstriyel AC servo motorlu test düzeneği

Şekildeki sistemde, Omron R88M-K1K520F model 1.5 kW güç değerine sahip AC servo motor, Omron R88DKN15F-ECT model EtherCat slave özellikli servo sürücü, güç kaynağı, aşırı akım röleleri ve acil stop butonu bulunmaktadır. Servo sürücü ile CNC kontrol ünitesi bilgisayarı arasında Cat5 kablosu bağlantısı yapılarak Ethercat haberleşme sistemi Şekil 5.2'de görüldüğü gibi kurulmuştur.



Şekil 5.2. Fiziksel bağlantıların yapılması

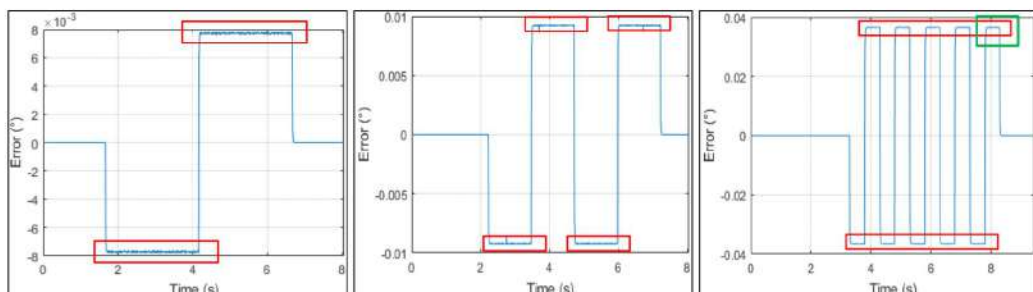
Fiziksel bağlantının kurulması sonrasında CNC kontrol ünitesi yazılımından farklı özelliklerde yörüngeler oluşturarak AC servo motorun yörünge takibi uygulamaları yapılmıştır. Yörünge takibi kontrol işlemine Şekil 5.3'te görüldüğü gibi üçgensel yörüngelerle başlanmıştır. Üçgensel yörüngelerin üç kısımlarında anlık değişimlerin olması ve bu değişimlerdeki kontrol performansının analiz edilmesi için üçgensel yörüngeler tercih edilmiştir.



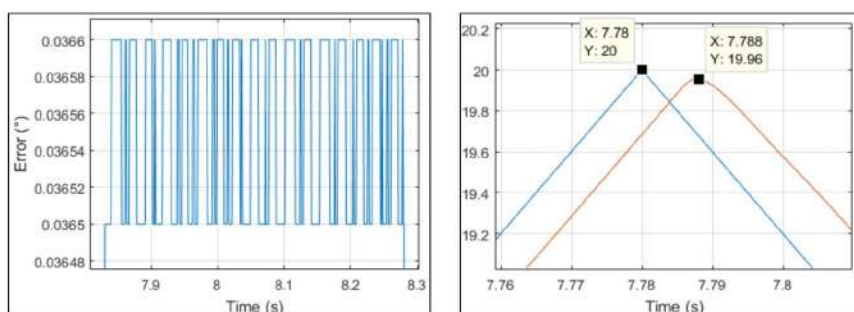
Şekil 5.3. Üçgensel yörünge takibi sonuçları (a) 0.2 Hz (b) 0.4 Hz (c) 1 Hz

0.2Hz, 0.4Hz ve 1 Hz frekanslarla yapılan üç farklı üçgensel yörünge takibi sonuçları Şekil 5.3-a, 5.3-b ve 5.3-c'de ayrı ayrı verilmiştir. Şekildeki grafiklerde mavi yörüngeler hedef yörüngeleri, kırmızı yörüngeler ise 20 bitlik artımsal (incremental) motor enkoderinden EtherCat protokolü üzerinden alınan gerçek yörüngeleri göstermektedir. Bu uygulamalara ilişkin yörünge takibi hataları Şekil 5.4'te

verilmiştir. Hata değerlerinin artan yörüngे frekansı ile doğru orantılı arttığı grafiklerde görülmektedir. Fakat tüm hata grafiklerinde hataların hareket yönüne bağlı olarak, kırmızı kutular içinde görüldüğü gibi pozitif ya da negatif yönde sabit kaldığı gözlemlenmiştir. Hataların sabit kalması hedef ve gerçek yörüngे arasındaki hatanın faz kaymasından kaynaklandığını göstermektedir. Bu faz kaymaları Şekil 5.3'teki grafiklerde yakınlaştırılmış yörüngelerde de görülmektedir. Faz kaymasından kaynaklı hatalar, hedef yörüngeye doğru ama sadece gecikme ile gidildiğini göstermektedir. Gerçek konum hatalarını görmek için Şekil 5.4-c'deki hata grafiğinde yeşil alan içerisinde kalan bölüm Şekil 5.5'te yakınlaştırılarak verilmiştir. Şekil 5.5'teki salınım miktarları gerçek konum hatasını vermektedir. Dolayısıyla faz kayması haricinde meydana gelen ortalama konum hatasının yaklaşık  $0.0001^\circ$  ( $0.0366^\circ$ - $0.0365^\circ$ ) olduğu görülmüştür. Ayrıca üçgensel yörüngে takibinde, maksimum hata değerleri üçgen dilimlerinin üç kısımlarında meydana geldiği için, Şekil 5.3-c'de yeşil alan içerisinde kalan bölüm Şekil 5.5-b'de yakından incelenmiştir. Bu bölümde ortaya çıkan maksimum hata değeri de  $0.04^\circ$  ( $20^\circ$ - $19.96^\circ$ ) olarak bulunmuştur.

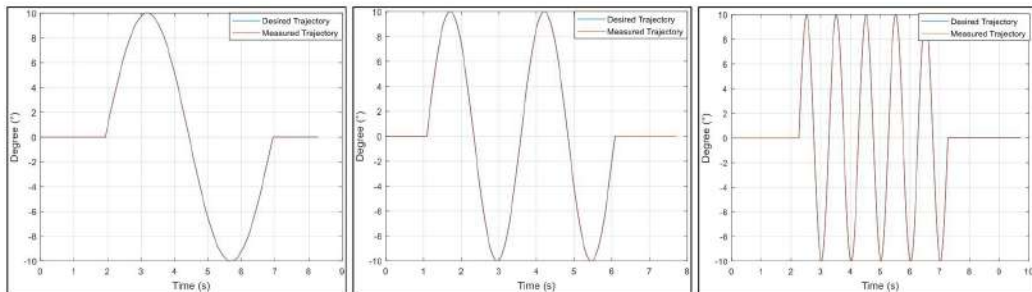


Şekil 5.4. Üçgensel yörüngede hata grafiği (a) 0.2 Hz (b) 0.4 Hz (c) 1 Hz



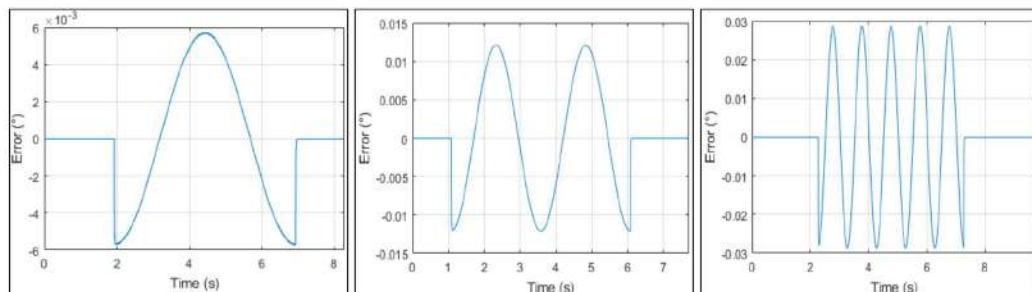
Şekil 5.5. Üçgensel yörüngede hata tespiti (a) ortalama konum hata değerinin tespiti (b) maksimum konum hata değerinin tespiti

Üçgensel yörunge takibinden sonra ise farklı genlik ve frekanslarda sinüzoidal yörunge takibi uygulamaları yapılmıştır.

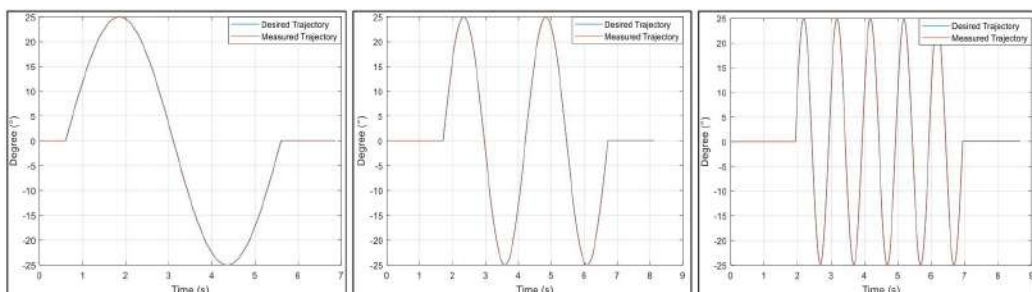


Şekil 5.6.  $10^\circ$  genlik değerine sahip sinüzoidal yörunge takibi sonuçları (a) 0.2 Hz (b) 0.4 Hz (c) 1 Hz

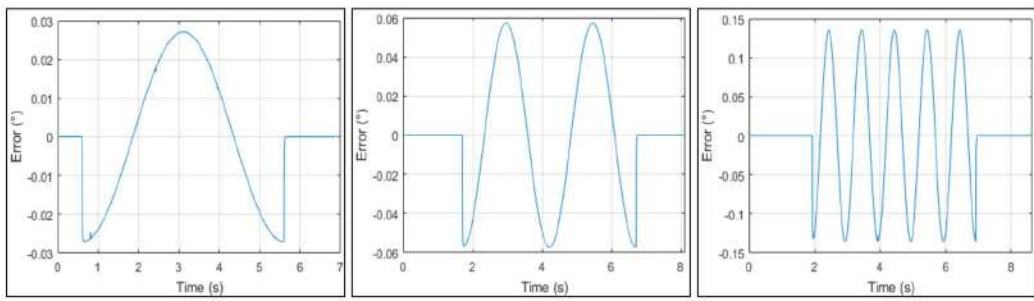
$10^\circ$  genlik değerine sahip 0.2Hz, 0.4Hz ve 1Hz sinüzoidal yörunge takibi sonuçları Şekil 5.6-a, 5.6-b ve 5.6-c'de ayrı ayrı verilmiştir. Bu uygulamalara ilişkin yörunge takibi hataları ise Şekil 5.7'de verilmiştir. Farklı genliklerde de kontrol sonuçlarını görmek için Şekil 5.8 ve 5.10'da görüldüğü gibi  $25^\circ$  ve  $50^\circ$  genlik değerine sahip sinüzoidal yörunge takibi uygulamaları yapılmıştır. Bu uygulamalara ait yörunge takibi hataları da Şekil 5.9 ve 5.11'de ayrı ayrı verilmiştir.



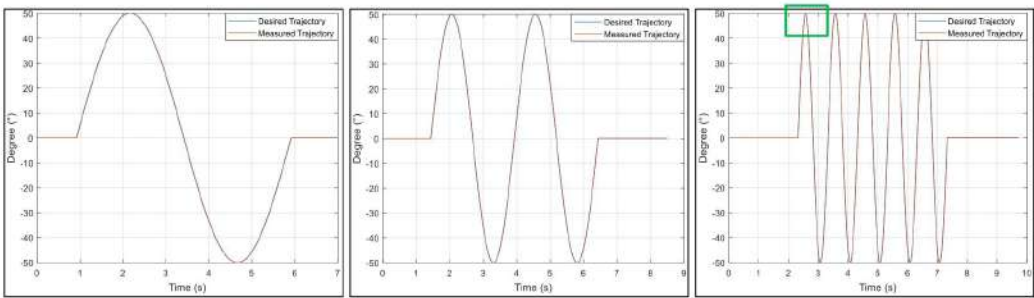
Şekil 5.7.  $10^\circ$  genlik değerine sahip sinüzoidal yörunge takibi hataları (a) 0.2 Hz (b) 0.4 Hz (c) 1 Hz



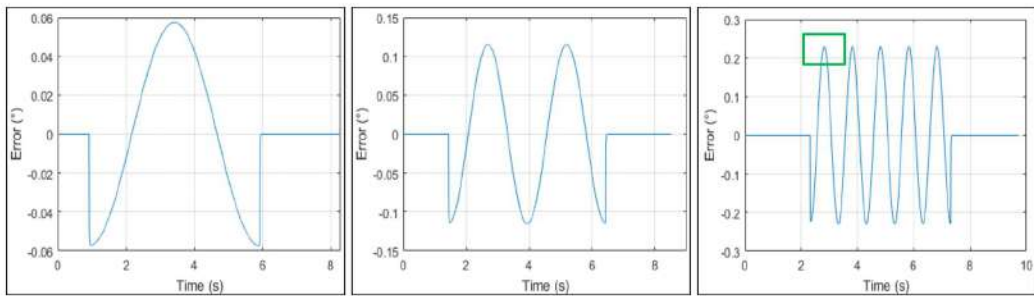
Şekil 5.8.  $25^\circ$  genlik değerine sahip sinüzoidal yörunge takibi sonuçları (a) 0.2 Hz (b) 0.4 Hz (c) 1 Hz



Şekil 5.9.  $25^\circ$  genlik değerine sahip sinüzoidal yörüngede takibi hataları (a) 0.2 Hz (b) 0.4 Hz (c) 1 Hz



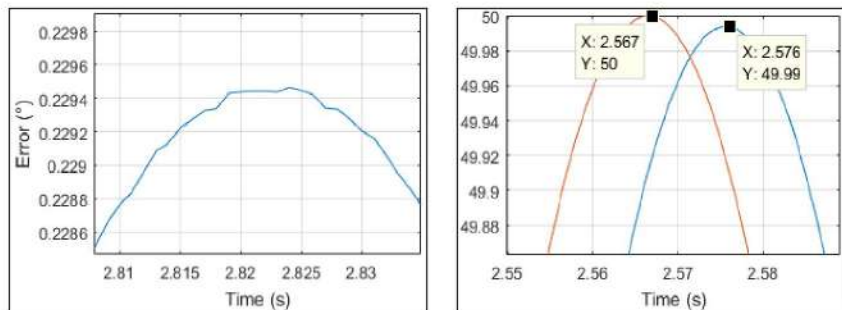
Şekil 5.10.  $50^\circ$  genlik değerine sahip sinüzoidal yörüngede takibi sonuçları (a) 0.2 Hz (b) 0.4 Hz (c) 1 Hz



Şekil 5.11.  $50^\circ$  genlik değerine sahip sinüzoidal yörüngede takibi hataları (a) 0.2 Hz (b) 0.4 Hz (c) 1 Hz

Tüm sinüzoidal yörüngede takibi uygulamalarında yörüngede hatalarının büyük bölümünü yine faz kaymasından kaynaklı meydana geldiği Şekil 5.7, 5.9 ve 5.11'deki hata grafiklerinde görülmektedir. Hata grafikleri, dikkat edileceği üzere faz kaymalı bir sinüs sinyal formundadır ve tüm uygulamalarda ana formun hiç bozulmadığı gözlemlenmiştir. Yine konum hatalarının görülebilmesi için Şekil 5.11-c'de yeşil alanda kalan bölüm yakınlaştırılarak Şekil 5.12-a'da verilmiştir. Yakınlaştırılmış hata grafiğinde görüldüğü üzere, ortalama  $0.0002^\circ$  kadar konumda kaymalar olduğu için sinüs formunda bozulmalar meydana gelmiştir. Üçgensel yörüngede olduğu gibi sinüzoidal yörüngede ortaya çıkabilecek maksimum hata değeri yörünegenin yön

değişimlerinde olmaktadır. Bu nedenle Şekil 5.10-c'deki yeşil alan içerisinde kalan bölüm Şekil 5.12-b'de yakından incelenmiştir. Bu bölümde ortaya çıkan maksimum hata değeri de  $0.0065^\circ$  ( $50^\circ - 49.9935^\circ$ ) olarak bulunmuştur.



Şekil 5.12. Sinüzoidal yörünge takibi için (a) ortalama konum hata değerinin tespiti (b) maksimum konum hata değerinin tespiti

Ayrıca yörünge takip sonuçlarının sayısal değerler üzerinden analiz edilebilmesi için, Denklem (5.1)'de yer alan ortalama karesel hata (MSE) ve ortalama karekök hata (RMSE) ölçütleri kullanılarak Tablo 5.1'deki hata miktarları hesaplanmıştır.

$$RMSE = \sqrt{\frac{1}{n} \sum_{i=1}^n (e_t)^2}, \quad MSE = \frac{1}{n} \sum_{i=1}^n (e_t)^2 \quad (5.1)$$

Tablo 5.1. Yörünge takibi hata değerleri

	RMSE	MSE
<b>Şekil 5.4-a</b>	0.0061	0.0048
<b>Şekil 5.4-b</b>	0.0109	0.0086
<b>Şekil 5.4-c</b>	0.0263	0.0191
<b>Şekil 5.7-a</b>	0.0063	0.0044
<b>Şekil 5.7-b</b>	0.0112	0.0066
<b>Şekil 5.7-c</b>	0.0290	0.0188
<b>Şekil 5.9-a</b>	0.0287	0.0194
<b>Şekil 5.9-b</b>	0.0636	0.0450
<b>Şekil 5.9-c</b>	0.1456	0.0998
<b>Şekil 5.11-a</b>	0.0595	0.0394
<b>Şekil 5.11-b</b>	0.0982	0.0538
<b>Şekil 5.11-c</b>	0.2908	0.1881

Tüm uygulamalar için referans yörünge ile gerçek yörünge arasındaki hataların çok küçük değerlerde olduğu Tablo 5.1'de görülmektedir.

Tek motor üzerinde yapılan yörunge takibi işlemlerinden sonra eksen motorları arasındaki senkronizasyonların test edilmesi için test düzeneğine Şekil 5.13'te yer alan iki motor daha eklenmiştir. Şekil 5.13'teki sistemde, iki adet Omron R88D-1SN15F-ECT model EtherCat slave özellikli sürücü, iki adet Omron R88M-1M1K520C-S2 model 1.5 kW güç değerine sahip AC servo motor, güç kaynağı, aşırı akım röleleri ve acil stop butonu bulunmaktadır. Yeni eklenen sistemle birlikle senkronizasyon uygulamaları için toplamda üç motorlu bir test düzeneği elde edilmiştir. EtherNet kabloları ile fiziksel haberleşme ağı Şekil 5.14'te görüldüğü gibi kurulmuştur.



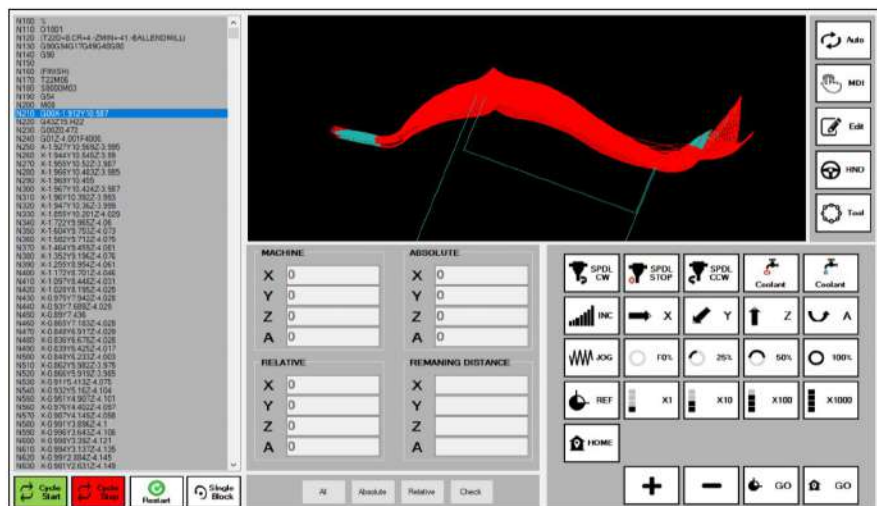
Şekil 5.13. İki motorlu test düzeneği sistemi



Şekil 5.14. Üç motorlu sistemde fiziksel bağlantıların yapılması

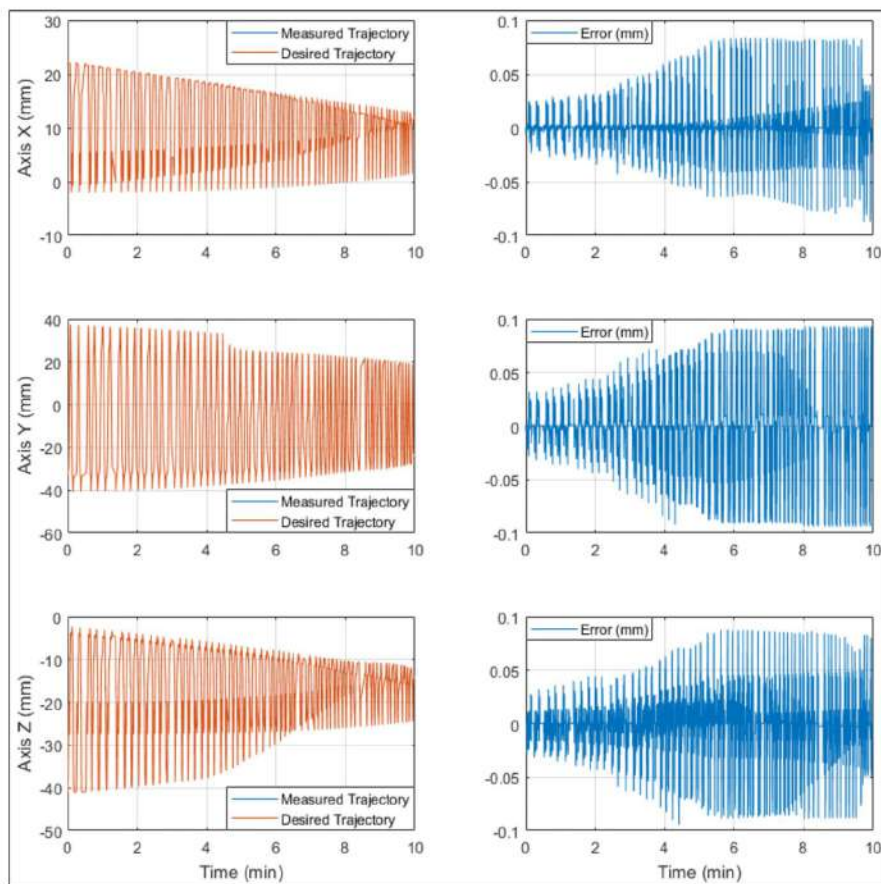
Bu test sisteminde yapılan uygulamalarda, üçgensel veya sinüzoidal gibi belirli fonksiyon yörüngeleri ile çalışmak yerine doğrudan endüstriyel NC dosyaları kullanılmıştır. Bu sayede hem eksenler arası senkronizasyon analiz işlemleri yapılmış hem de CNC kontrol ünitesinin binlerce satırı NC dosyalarındaki çalışma performansı incelenmiştir. CNC tezgâhları endüstriyel üretimin bir parçası olduğu için üretim işlemi sıfır hatayla yapılması gereklidir. NC dosyasının bir satırının eksik veya yanlış

işlenmesi tüm üretimi olumsuz etkilemektedir. Bu nedenle bu bölümde yapılan uygulamalar CNC kontrol ünitesinin sıfır hata prensibine uygun çalıştığını da göstergesi olmuştur. Uygulamaya 42,832 satırlı bir NC dosyası kullanılarak başlanmıştır. NC dosyasının program çıktısı Şekil 5.15'te operatör panel arayüzünde görülmektedir. Operatör panelindeki ekranda turkuaz renkler doğrusal hareketleri, yeşil renkler dairesel/helisel hareketleri, kırmızı renkler ise NURBS eğrilerine dönüştürülen yörüngeleri temsil etmektedir.

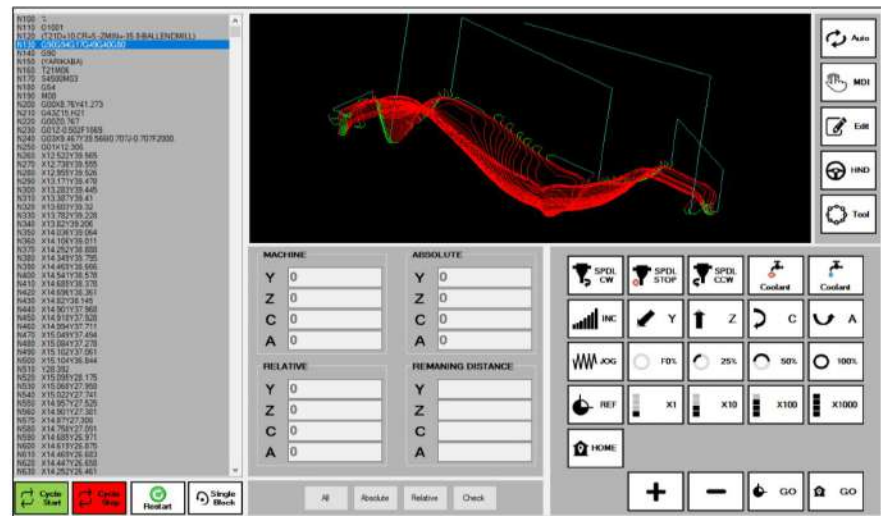


Şekil 5.15. 42,832 satırlı NC dosyasının program çıktısı (uygulama 1)

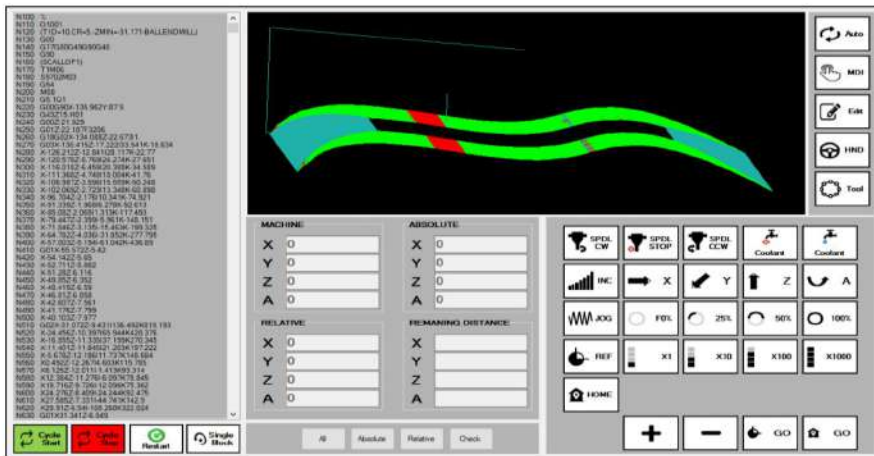
Şekil 5.15'te görülen program çıktısı kartezyen uzaydaki kesici takım yörüngesini göstermektedir. Bu nedenle motorlara eksen yörüngeleri (X-Y-Z) gönderilmeden önce motor sürücülerine 1/12 vidalı mil dişli oranı girilerek, motorlar 3 eksen (X-Y-Z) bir CNC tezgâhının motorları gibi varsayılmıştır. Kullanılan NC dosyası için oluşan eksen yörüngeleri ve bu yörüngelerin gerçek zamanlı takip sonuçları Şekil 5.16'da verilmiştir. Tüm uygulamalarda yörünge takip sonuçları verilerin daha rahat analiz edilebilmesi için 10 dakikalık verilerle sınırlanmıştır. 1 ms veri yenileme hızı ile çalışıldığı için Şekil 5.16'daki grafikler her bir eksen için 600,000 veriyle elde edilmiştir. Bu uygulamaya ilişkin hata grafikleri de yine Şekil 5.16'da görülmektedir. Ayrıca 42,832 satırlık NC dosyasının çalışması 15 dakika kadar sürmüştür. Her eksen için ayrı ayrı oluşan yaklaşık 900,000 veri, operatör panel yazılımı ve TwinCat yazılımı arasındaki ikili ping-pong buffer mekanizması ile hiç veri kaybı olmadan motorlara iletilmiştir.



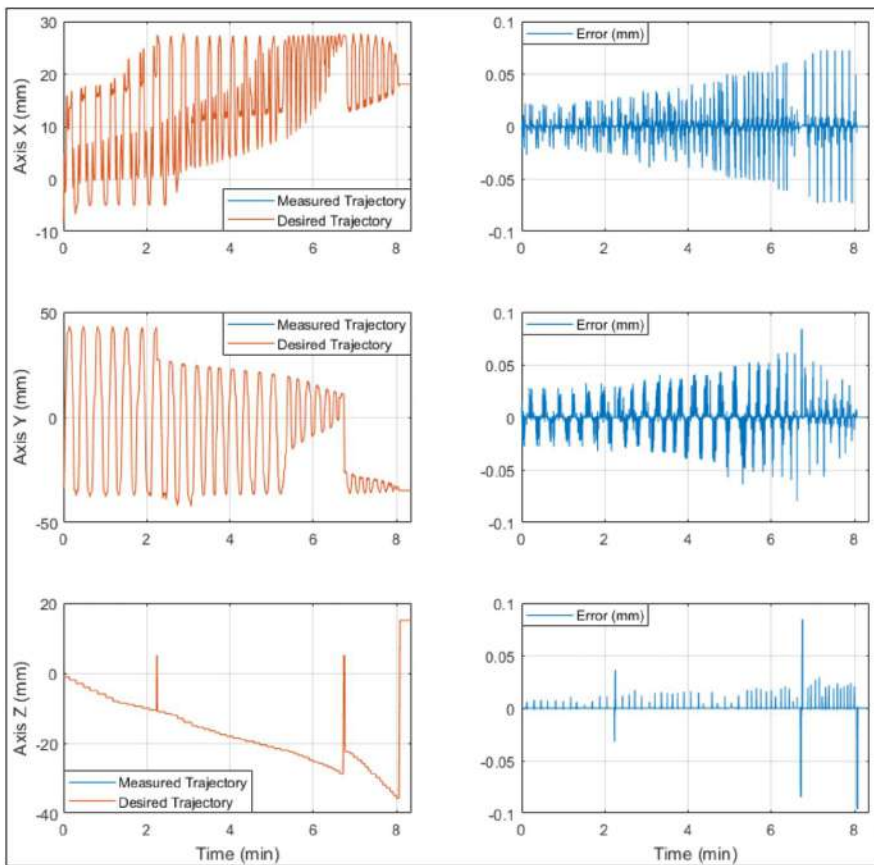
Şekil 5.16. Gerçek zamanlı yörüngə takibi sonuçları ve hata grafikleri (uygulama 1)



Şekil 5.17. 17,847 satırlı NC dosyasının program çıktısı (uygulama 2)



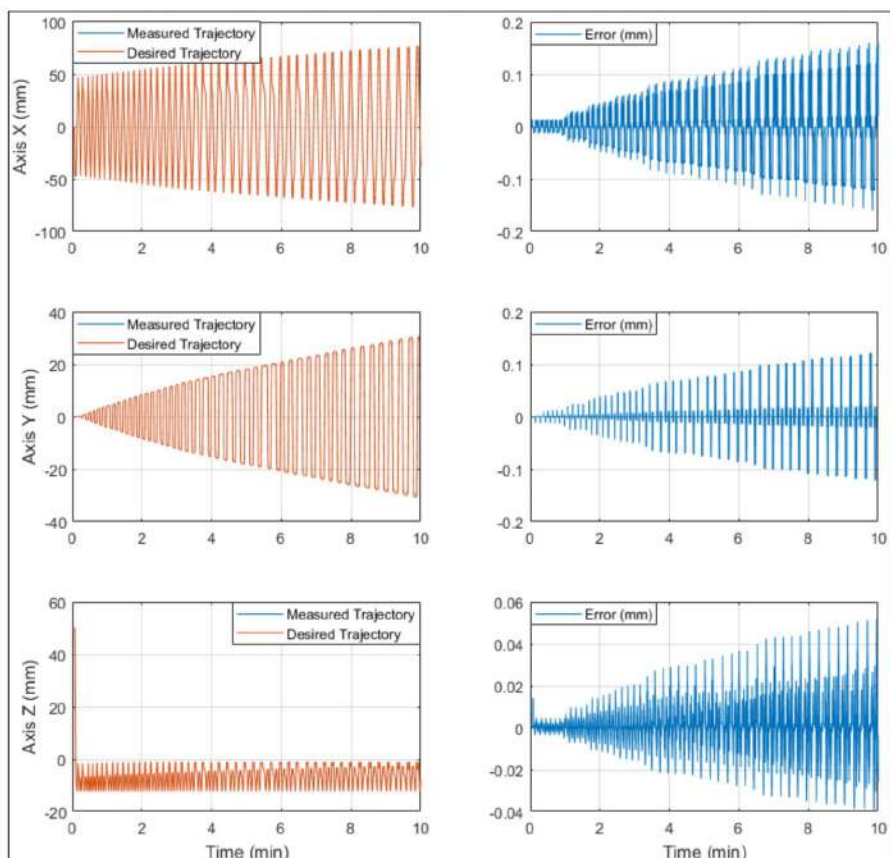
Şekil 5.18. 27,060 satırlı NC dosyasının program çıktısı (uygulama 3)



Şekil 5.19. Gerçek zamanlı yörünge takibi sonuçları ve hata grafikleri (uygulama 2)

Bu uygulamaya ek olarak iki farklı NC dosyası daha kullanılarak performans analizleri genişletilmiştir. 17,847 satırlık NC dosyasına ait program çıktısı Şekil 5.17'de, 27,060 satırlık NC dosyasına ilişkin program çıktısı ise Şekil 5.18'de görülmektedir. Bu

uygulamalarda da 1ms veri yenileme hızı ile çalışılmıştır. Şekil 5.17'deki program çıktısına ilişkin gerçek zamanlı yörüngə takibi sonuçları hata grafikleri ile birlikte Şekil 5.19'da verilmiştir. Son olarak Şekil 5.18'de yer alan program çıktısına ilişkin gerçek zamanlı yörüngə takibi sonuçları ise Şekil 5.20'de verilmiştir. Yaklaşık 13 dakika çalışan bu uygulamada her eksen için 780.000 veri hiç kayıp olmadan eksen motorlarına gönderilmiştir. Tek motorlu test sisteminde elde edilen yörüngə takibi sonuçlarında olduğu gibi üç AC servo motor üzerinde yapılan eksenel yörüngə takibi hata değerleri de mikron seviyelerde oluşmuştur. Bu sonuçlar, her bir eksene gönderilen verilerin eksen motorları tarafından senkronize olarak işlendiğini göstermektedir.



Şekil 5.20. Gerçek zamanlı yörüngə takibi sonuçları ve hata grafikleri (uygulama 3)

## 5.2. Endüstriyel 3-Eksen CNC-Freze Tezgâhı Kontrolü

Bu bölümde endüstriyel 3-eksen bir CNC-Freze tezgâhında geliştirilen CNC kontrol ünitesi ile ürün işleme uygulamaları yapılmıştır. Yapılan uygulamada endüstriyel ürün

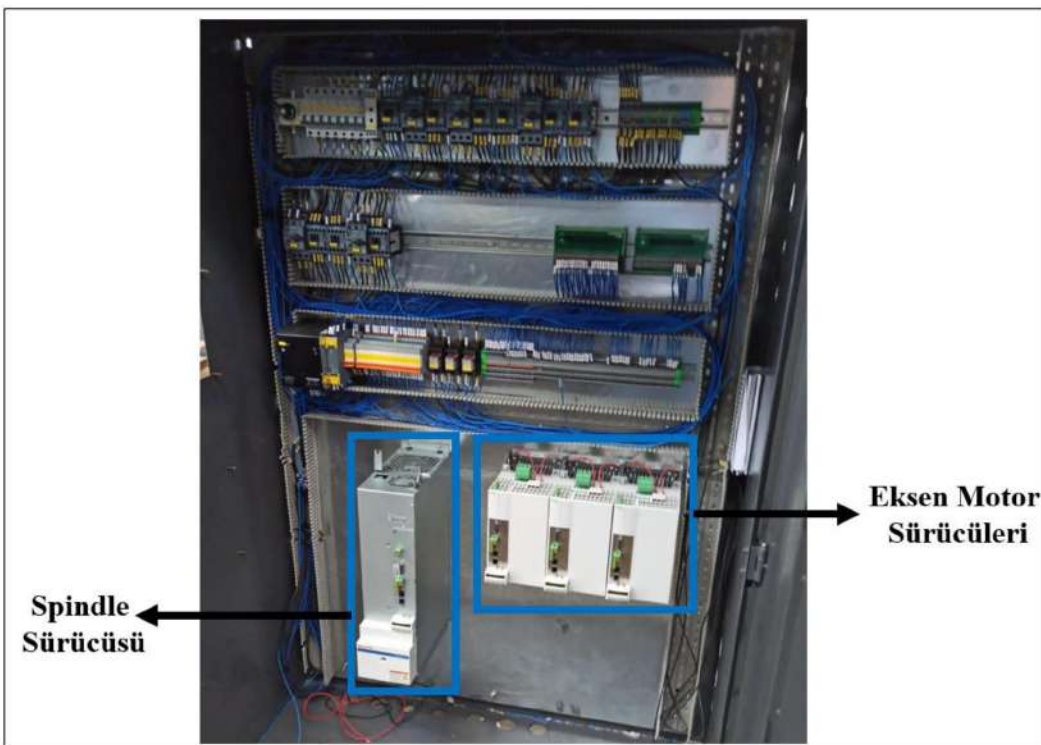
işleme süreci ele alınarak tez çalışmasının sahadaki performansının görülmesi amaçlanmıştır. Şekil 5.21'de uygulamaların yapıldığı CNC-Freze tezgâhının açık hali, Şekil 5.22'de ise satışa sunulan giydirilmiş versiyonu yer almaktadır. Çalışmalarda daha esnek kullanım imkânı olması nedeniyle Şekil 5.21'de görülen açık versiyonu kullanılmıştır. CNC-Freze tezgâhına ait motor sürücülerinin, IO terminalinin, rölelerin güç kaynaklarının ve diğer donanımların yer aldığı elektrik panosu ise Şekil 5.23'te gösterilmiştir.



Şekil 5.21. 3-Eksen CNC-Freze tezgâhi açık versiyonu

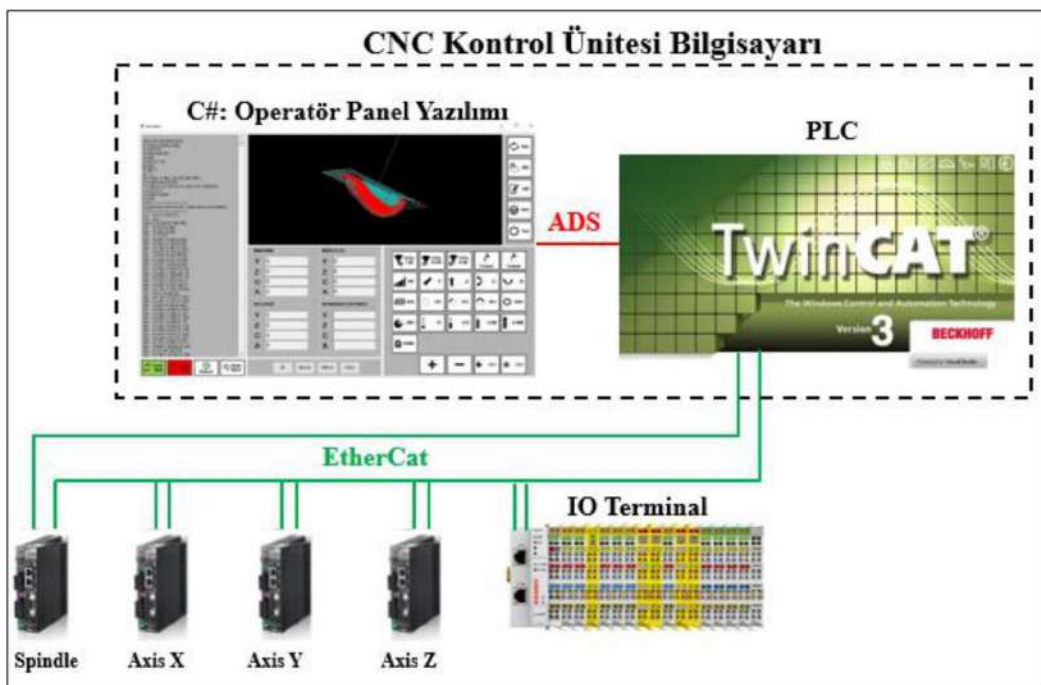


Şekil 5.22. 3-Eksen CNC-Freze tezgâhi giydirilmiş versiyonu



Şekil 5.23. CNC tezgâhı elektrik panosu

CNC tezgahının X ve Y eksenlerinde Bosch-Rexroth MS2N07-D1BNN -BSUK0 model, 6000 RPM, 18.9 Nm nominal tork ve 3.5 kw güç değerlerine sahip frensiz AC servo motorlar bulunmaktadır. Z ekseninde ise MS2N07-D1BNN-BSUK2 model, 6000 RPM, 23.8 Nm nominal tork ve 4.5 kw güç değerlerine sahip frenli AC servo motor kullanılmıştır. Ayrıca tüm motorlarda 20 bitlik artıumsal enkoderler bulunmaktadır. AC servo motor sürücülerini ise EtherCat Slave özellikli Bosch-Rexrtoh marka HCS01.1E-W0054 model kompakt sürücülerdir. Tezgâhta spindle motoru olarak da 10000 RPM Bosch-Rexrtoh MAD130B-0250 model asenkron motoru kullanılmaktadır. Spindle sürücüsü de eksen motor sürücülerinde olduğu gibi EtherCat slave özellikli Bosch-Rexrtoh HCS03.1E-W0070 model kompakt sürücüdür. Şekil 5.26'da tezgâh motorlarına ait tüm sürücüler görülmektedir. Her bir sürücüde önceki bölümde belirtildiği üzere giriş ve çıkış olmak üzere iki ethernet soketi bulunmaktadır. Bu giriş/çıkışlar kullanılarak CNC kontrol ünitesi bilgisayarı ile fiziksel sistem arasında Şekil 5.24'te görülen yapı kurulmuştur. Fiziksel bağlantıların kurulması ve motor sürücülerine ilişkin EtherCat-XML dosyalarının sisteme tanıtılması işlemlerinden sonra CNC-Freze tezgahının kontrolü sağlanmış ve uygulama aşamasına geçilmiştir.



Şekil 5.24. CNC kontrol ünitesi ile fiziksə sistem arasında kurulan bağlantı yapısı

Endüstriyel ürün işleme uygulamasında Şekil 5.25-a'da görülen 200\*220 mm ölçü değerlerine sahip kütük parçası, Şekil 5.25-b'de yer alan işlenmiş ürüne dönüşüm süreci ele alınmıştır. Ürün işleme süreci endüstriyel işlem adımlarından oluşan bir süreçtir. Bu süreçte yapılan uygulamada farklı işleme kalemleri ile sıralı çalışma yapılmıştır. Bu işlemler sırasıyla tarama başlığı ile kaba talaş kaldırmanın yapılması, matkap başlığı ile kanal (slot) deliklerinin delinmesi ve sonrasında radyuslu freze başlığı kullanılarak slotların açılması, normal freze başlığı ile merkez konik küresinin kaba işlemesinin yapılması, küre freze başlığı ile konik küresinin finiş işlemesinin yapılması ve son olarak normal freze başlığı ile genel finiş işleme olarak altı adımda gerçekleştirılmıştır.



Şekil 5.25. (a) İşlenecek kütük parça (b) işlenmiş parça

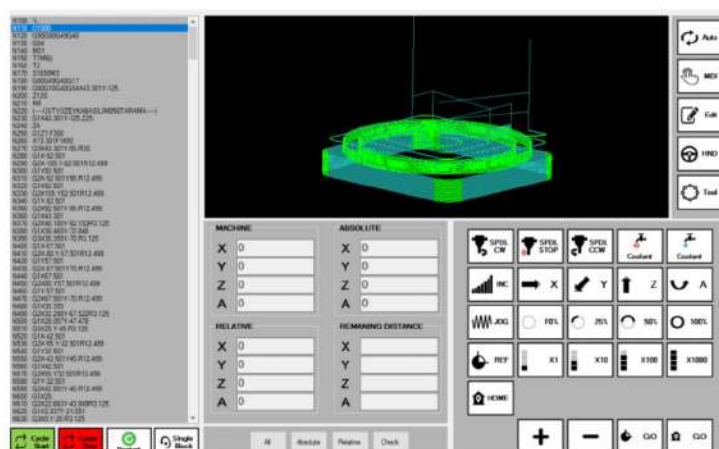
### 5.2.1. Kaba talaş kaldırma işlemi

CNC-Freze tezgahlarında işlenen ürünler genellikle kaba ve hassas (finiş) işleme olmak üzere ikiye ayrılmaktadır. Kaba işlemde hedef ürün çıktısının genel formu verilirken, finiş işlemde yüzey kalitesi ve işleme hassasiyeti artırılarak hedef ürün çıktıtı elde edilmektedir. Kaba ve finiş işlemenin görevleri farklı olduğu için kullanılan işleme kalemleri de farklılık göstermektedir. Şekil 5.25-a'da yer alan kütük parça daha önceden hiç işlenmediği için, Şekil 5.26'da görülen 50 mm çapında tarama başlığı ile ürünün kaba işlemesi yapılmıştır.



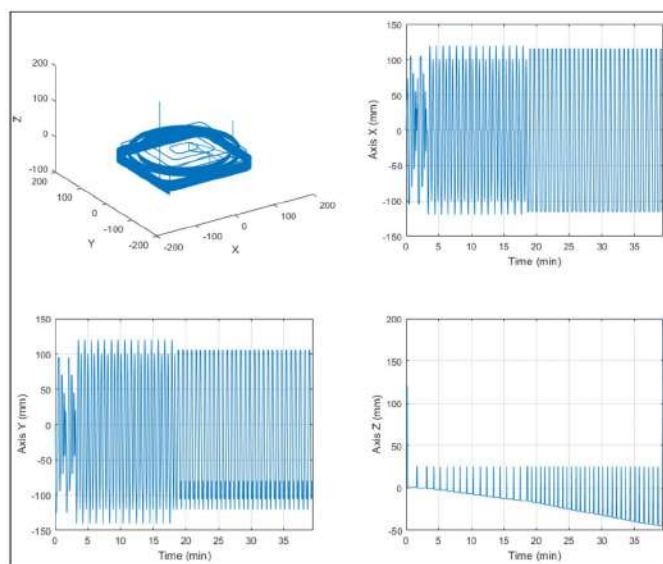
Şekil 5.26. Tarama başlığı  
(50 Ø)

Ürün işlemesine başlamadan önce operatör panel arayüzünden parça sıfırlama protokolü ile kütük parçasının orta merkez noktası parça sıfırı olarak kontrol ünitesine tanıtılmıştır. Kaba işleme için 745 satırlık NC dosyası kullanılmış ve program çıktıtı Şekil 5.27'deki operatör panel arayüzünde verilmiştir.

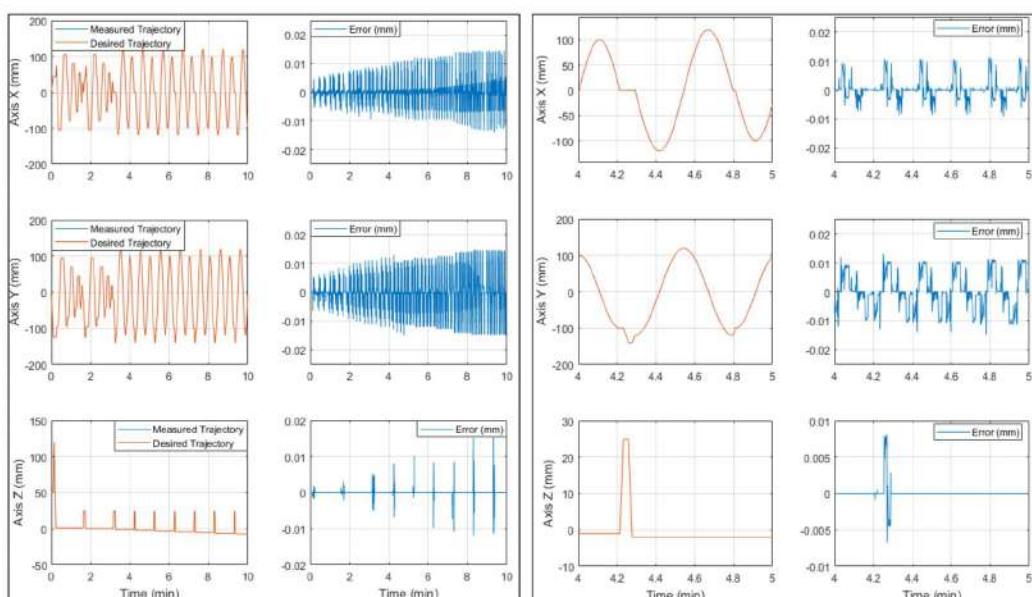


Şekil 5.27. Kaba talaş kaldırma NC dosyasının program çıktısı

Kaba talaş kaldırma işlemi, saat yönünde 1650 RPM spindle devri, 1450 mm/dk (24.16 mm/s) kesici takım ilerleme hızı,  $2000 \text{ mm/s}^2$  kesici takım ilerleme ivmesi, 25.000  $\text{mm/s}^3$  kesici takım ilerleme jerki ve 1ms eksen veri yenileme hızı temelinde gerçekleştirilmiştir. Bu parametreler doğrultusunda 2,368,726 veriyle 39.47 dk süren kesici takım yörüngesi elde edilmiştir. Kesici takımın kartezyen uzayda takip edeceği yörünge ve eksen motorlarına (X-Y-Z) gönderilecek eksen yörüngeleri Şekil 5.28'de görülmektedir.



Şekil 5.28. Kaba talaş kaldırma işlemi için oluşan kesici takım yörüngesi ve eksen yörüngeleri



Şekil 5.29. Gerçek zamanlı yörünge takibi sonuçları (kaba talaş kaldırma)

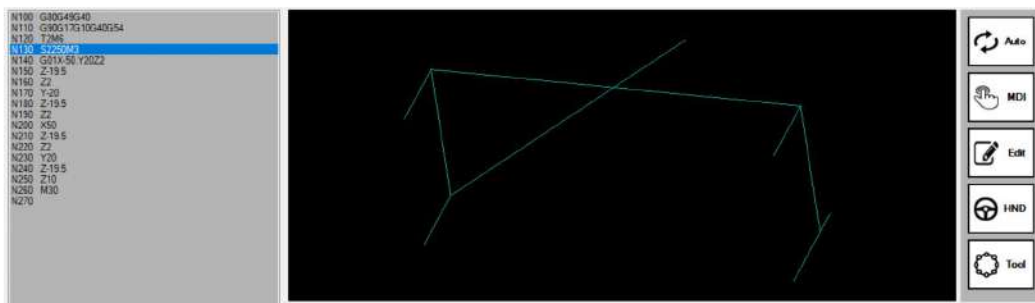
Bu uygulamaya ilişkin gerçek zamanlı yörünge takibi sonuçları ve hata değerleri Şekil 5.29-a'da görülmektedir. Yüksek eksen verileri üzerinden yörünge takip grafiklerinin değerlendirmesinin zor olması nedeniyle tüm uygulamaların yörünge takip sonuçları 10 dakikalık verilerle sınırlanmıştır. Ayrıca Şekil 5.29-a'daki yörünge takip sonuçlarını bir miktar daha yakından göstermek için 1 dakikalık bölüm (4.dk-5.dk arası) Şekil 5.29-b'de ayrıntılı verilmiştir.

### 5.2.2. Slot açma işlemi

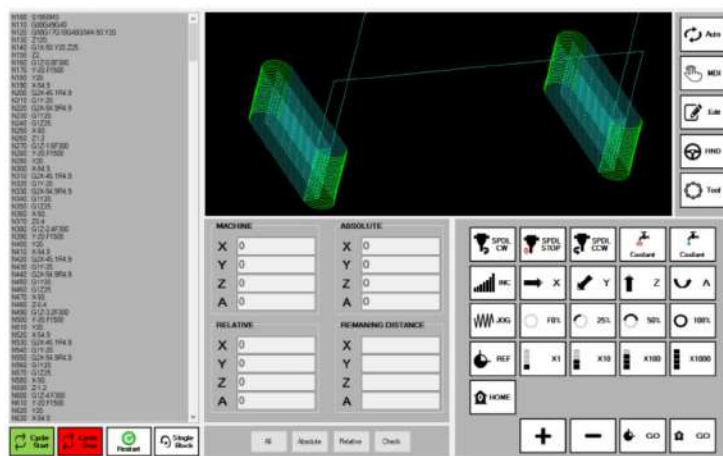
Kaba talaş kaldırma işlemi bittikten sonra iki adımlı slot açma işlemine geçilmiştir. 19.8 mm genişlik 50 mm uzunluk ve 17.8 mm derinlik ölçülerine sahip slotlar 10 mm çapında radyuslu freze başlığı ile açılmıştır. Fakat freze başlığının rahat çalışabilmesi için öncelikle 10.2 mm çapında matkap başlığı ilde slot delikleri delinmiştir. Slot deliklerinde 16 satırlık NC dosyası kullanılmış ve program çıktısı Şekil 5.30'da görüldüğü gibi elde edilmiştir. Program başlamadan önce matkap başlığının boyu ve çapı tarama başlığından farklı olduğu için tekrar parça sıfırlama protokolü uygulanmış ve uygulamaya başlanmıştır. Delik delme işlemi saat yönünde 2250 RPM spindle devri, 225 mm/dk (3.75 mm/s) kesici takım ilerleme hızı ile yapılmıştır.



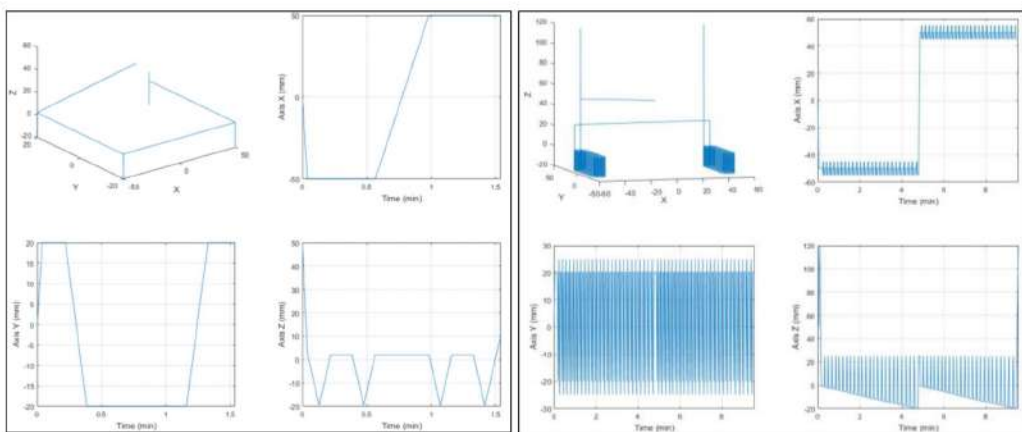
Şekil 5.30. (a) Matkap başlığı ( $10.2 \text{ Ø}$ ) (b) radyuslu freze başlığı ( $10 \text{ Ø}$ )



Şekil 5.31. Slot deliklerine ait program çıktısı



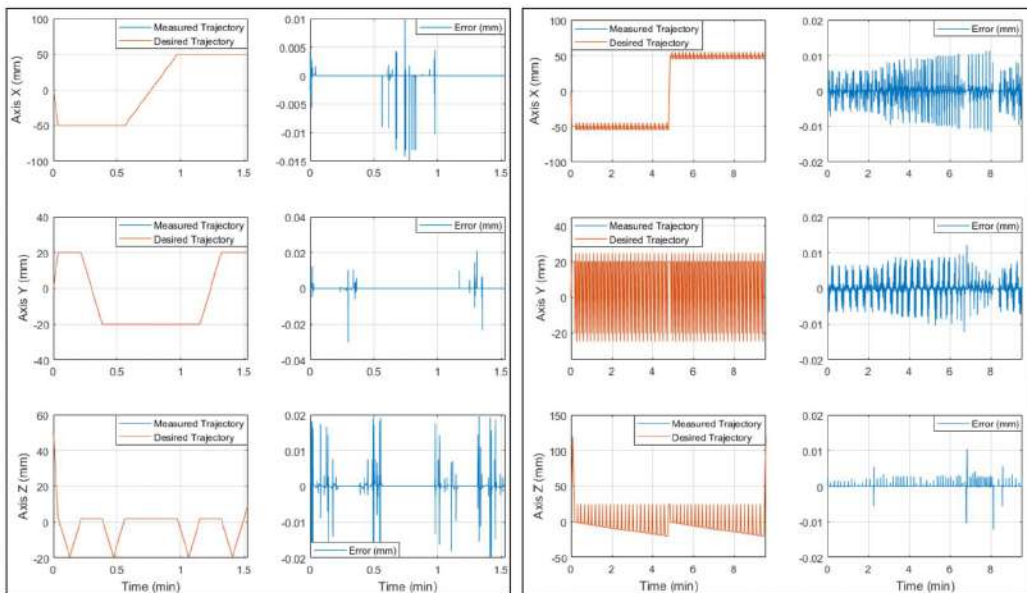
Şekil 5.32. Slot açma NC dosyasının program çıktısı



Şekil 5.33. Kesici takım yörüngesi/eksen yörüngeleri (a) slot delikleri (b) slot açma

Delikler delindikten sonra matkap başlığı çıkarılarak radyuslu freze başlığı takılmış ve tekrar parça sıfırlama işlemi uygulanmıştır. Slot açma uygulamasında 562 satırlık NC dosyası kullanılarak Şekil 5.32'de görülen program çıktısı elde edilmiştir. Slot deliklerinin delinmesi ve slotların açılmasında kesici takım için kartezyen uzayda takip edilen yörüngeler ve eksen motorlarına gönderilen eksen yörüngeleri Şekil 5.33'te ayrı

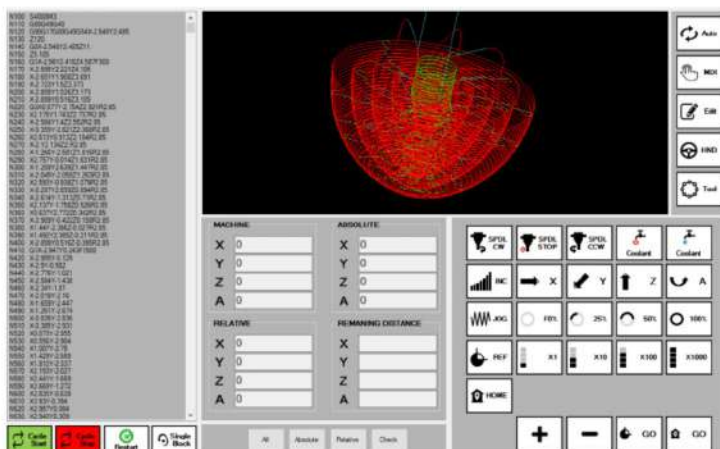
ayrı verilmiştir. Slot delikleri 92,640 yörüngे verisi ile 1.53 dk, slot açma işlemi işe 573,877 yörüngे verisi ile 9.56 dk sürmüştür. Bu iki çalışma için alınan gerçek zamanlı yörüngे takibi sonuçları ve hata değerleri ise Şekil 5.34’te ayrı ayrı verilmiştir.



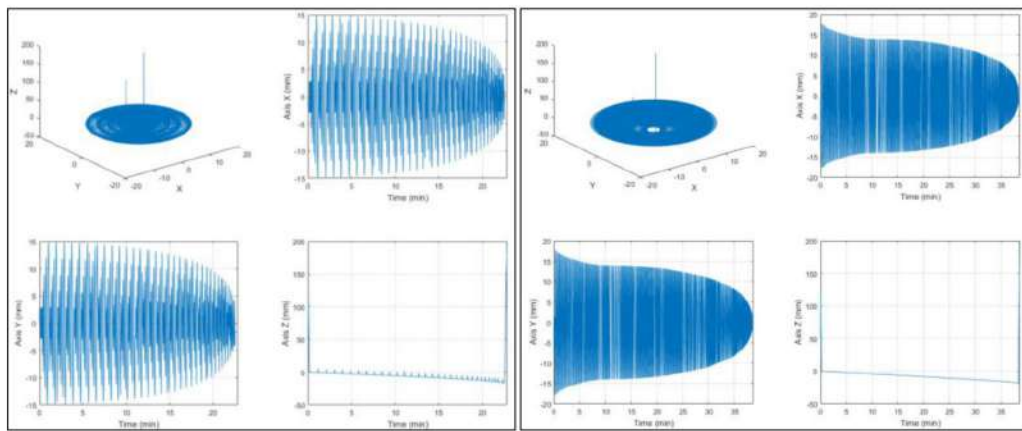
Şekil 5.34. Gerçek zamanlı yörüngelerin takibi sonuçları (a) slot delikleri (b) slot açma

### 5.2.3. Konik küre açma işlemi

Slotlardan sonra parçanın merkez noktasına açılacak konik kürenin açılması adımına geçilmiştir. Konik küre açma işlemi de kaba ve finiş işleme olmak üzere iki farklı NC dosyası ile yapılmıştır. Kürenin kaba işlemesi 6 mm çapında freze başlığı, finiş işlemesi ise 8mm çapında freze başlığı ile yapılmıştır.

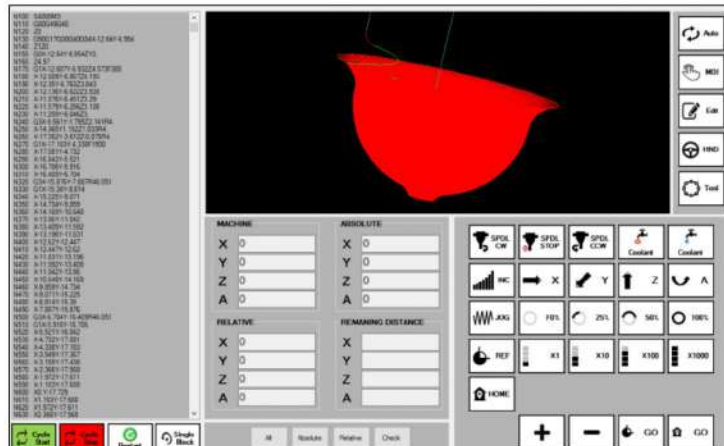


Şekil 5.35. Konik küre açma işleminin NC dosyasının program çıktısı



Şekil 5.36. Kesici takım yörüngesi/eksen yörüngeleri (a) konik küre kaba (b) konik küre finiş

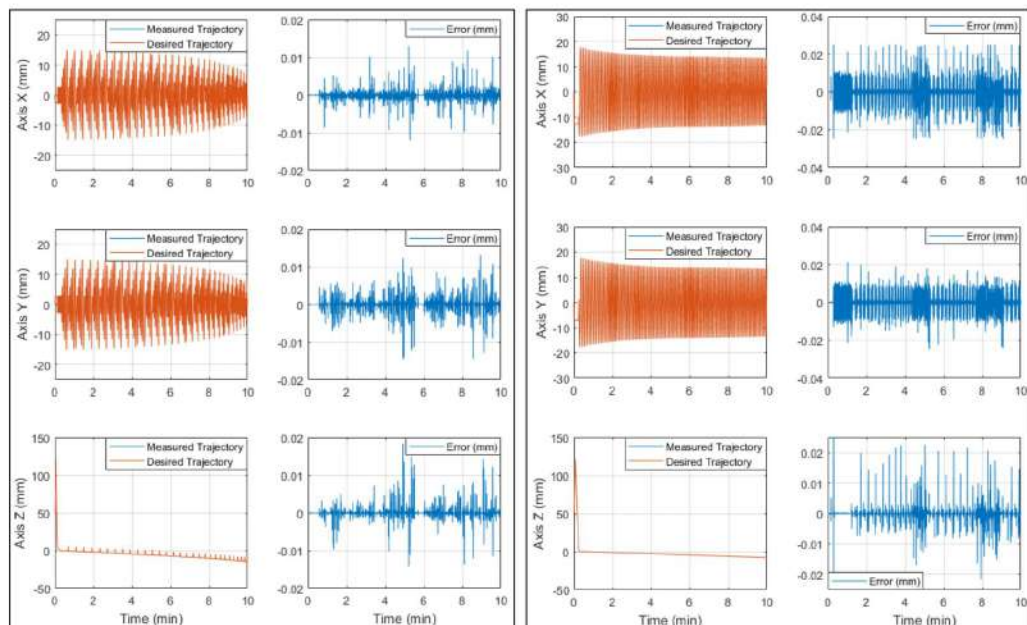
Her iki freze başlığı iş miline takıldıktan sonra parça sıfırlama işlemleri yapılarak yeni sıfırlar kontrol ünitesine tanıtılmıştır. 16,079 satırlık NC dosyası kullanılan kaba işleme uygulamasına ilişkin program çıktısı Şekil 5.35’de görülmektedir. Küre kaba işlemesi saat yönünde 4000 RPM spindle devri, 300 mm/dk (5 mm/s) kesici takım ilerleme hızı ile yapılmıştır.



Şekil 5.37. Konik küre finiş işleme NC dosyasının program çıktısı

1,372,174 yörunge verisi ile 22.86 dk süren bu uygulamaya ait kesici takım yörüngesi ve eksen yörüngeleri Şekil 5.36-a’da verilmiştir. Şekil 5.37’de yer alan program çıktısı ise 40,523 satırlık NC dosyası kullanılan küre finiş işleme uygulamasına aittir. Küre finiş işlemesi de kaba işlemeye olduğu gibi saat yönünde 4000 RPM spindle devri, 300 mm/dk (5 mm/s) kesici takım ilerleme hızı ile yapılmıştır. 2,318,858 yörunge verisi ile 38.64 dk süren bu uygulamaya ait kesici takım yörüngesi ve eksen yörüngeleri Şekil

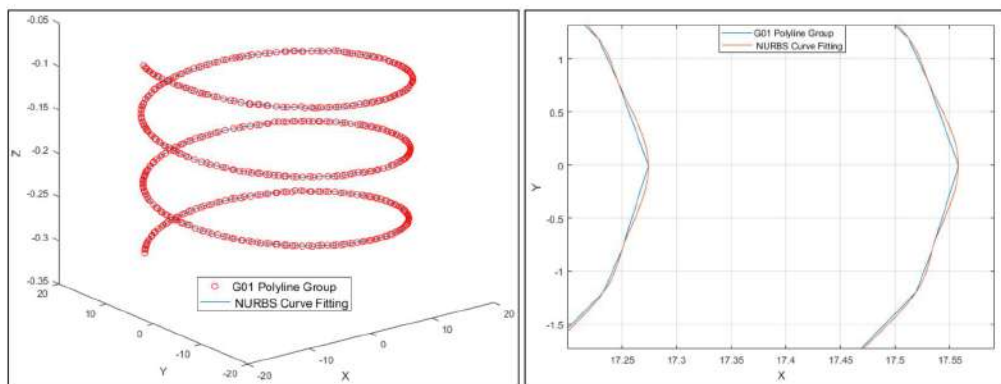
5.36-b'de verilmiştir. Bu iki uygulamaya ait gerçek zamanlı yörünge takibi sonuçları ve hata değerleri ise Şekil 5.38'de yer almaktadır. Küre açma uygulamasında kullanılan NC dosyaları eğrisel fonksiyon ağırlıklı olduğu için program çıktısı da NURBS eğrisel yörüngelerin temsil edildiği kırmızı renk ağırlıklıdır. Yörünge planlama bölümünde anlatıldığı üzere, CAM programı eğrisel yörüngeleri G01 nokta bulutları (G01 polyline group) ile NC dosyasına aktarıyorsa bu nokta bulutlarının G05.1 komutu kapsamında kontrol ünitesi tarafından eğrisel yörüngelere dönüştürülmesi gerekmektedir. Küre finiş işleme NC dosyası da bu özellikte olduğu için yapılan uygulamada nokta bulutu analiz algoritması ile tespit edilen çok sayıda nokta bulutu olmuştur. Her bir nokta bulutu kendi içinde NURBS eğrilerine dönüştürüлerek kesici takım yörünge planlaması yapılmıştır.



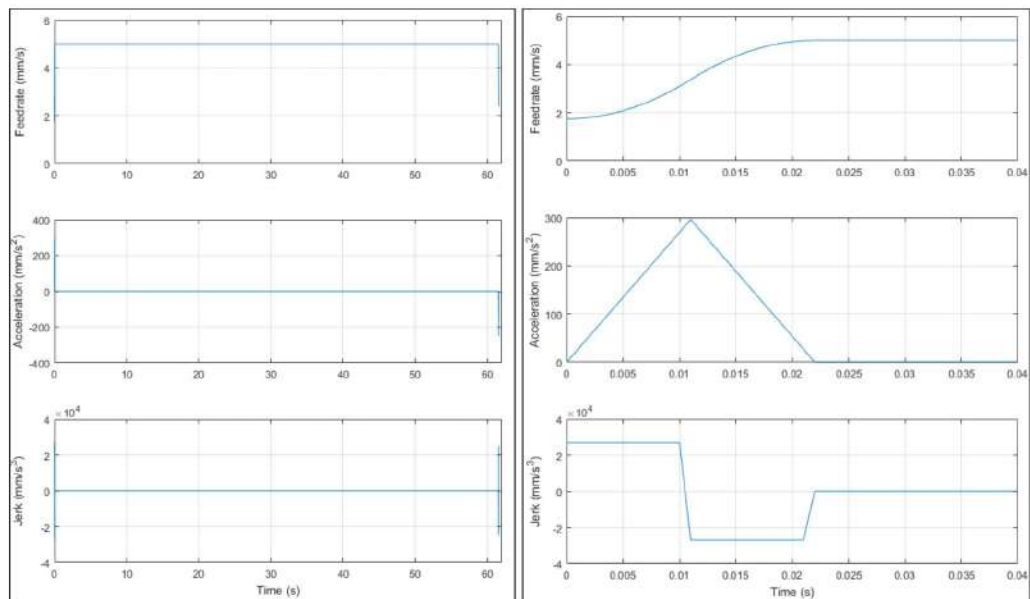
Şekil 5.38. Gerçek zamanlı yörünge takibi sonuçları (a) konik küre kaba işleme (b) konik küre finiş işleme

Küre finiş işleme uygulamasına ait bir nokta bulutunun NURBS eğrilerine dönüştürülmesi Şekil 5.39'da örnek olarak incelenmiştir. Nokta bulutu analizi sonucunda 502 veriden oluşan G01 nokta bulutu tespit edilmiş ve nokta bulutu 5.39'da görüldüğü gibi bir NURBS eğrisine dönüştürülmüştür. NURBS eğrisinin nokta bulutlarından geçtiğini ve yüzey hassasiyetinin NURBS eğrisi ile nasıl arttığını göstermek için yörüngenin bir bölümü yakından incelenmiştir. NURBS eğrisinin keskin geçişli G01 nokta bulutlarını nasıl yumoşattığı yakınlaştırılmış görüntüde yine

Şekil 5.39'da görülmektedir. Ayrıca bu NURBS eğrisine ait planlanan hız, ivme ve jerk grafikleri de Şekil 5.40-a'da verilmiştir. Hız eğrisinde görüldüğü gibi bu NURBS eğrisi 5 mm/s ilerleme hızı ile sabit hızda işlenmiştir. İlerleme hızının ve eğrilik değerlerinin ( $k$ ) düşük olması bu NURBS eğrisinin sabit hızda işlenmesine imkân tanımıştır. Şekil 5.40-a'daki grafiklerin sabit hız süresi çok uzun olduğu için başlangıç ve bitiş bölgelerinin grafik detayları net olarak görülememektedir. Bu nedenle Şekil 5.40-b'de eğrinin sadece başlangıç bölgesi (0-0.04s) verilmiştir. Yakınlaştırılmış grafiklerde maksimum ivme ( $2000 \text{ mm/s}^2$ ) ve maksimum jerk ( $25.000 \text{ mm/s}^3$ ) değerlerinin aşılması gözlemlenmiştir.

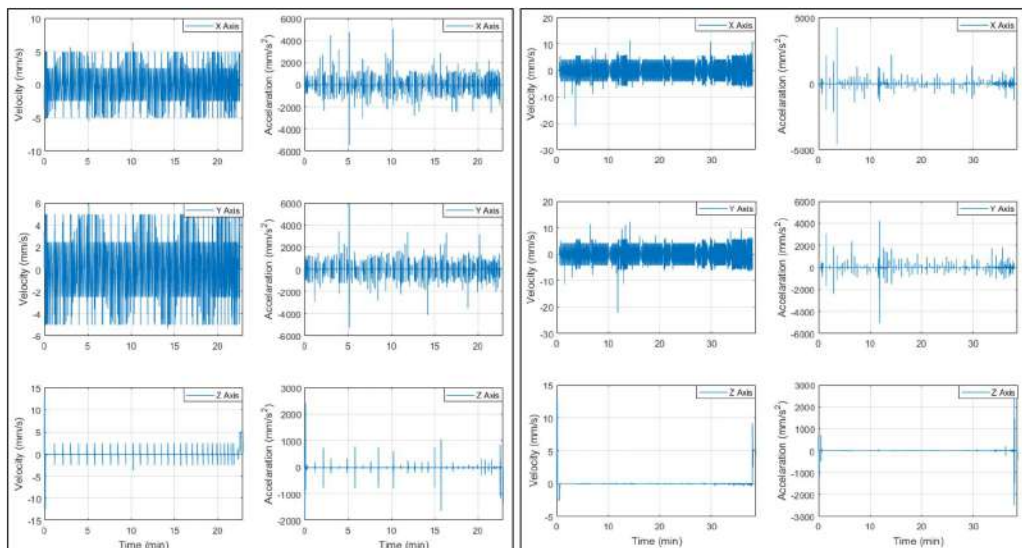


Şekil 5.39. Nokta bulutunun NURBS eğrisine dönüştürülmesi



Şekil 5.40. NURBS eğrisine ilişkin hız, ivme ve jerk grafikleri

Bunlara ek olarak bir NC dosyası temelinde oluşturulan kesici takım yörüngesinin NC dosyasına uygun oluşturulduğunu göstermek için de yüksek satırkı küre kaba ve küre finiş işleme uygulamalarının eksen yörüngelerinin hız ve ivme grafikleri analiz edilmiştir. NC dosyaları işlem türüne göre yüzlerce veya binlerce satır olabilmektedir. Yöringe planlamasında bir satırın yanlış veya eksik olması eksen yörüngelerinin hız ve ivme grafiklerinden anlaşılmaktadır. Çünkü her bir komut satırındaki eksen verileri bir sonraki komut satırının başlangıç noktasını oluşturmaktadır. Bir satırda yanlışlık olduğu varsayılsa o anki yöringe bitiş noktası, NC dosyasındaki komut satırı verileriyle uyuşmayacaktır. Bir sonraki komut satırı da NC dosyasındaki veriyi başlangıç noktası olarak kullanacağı için iki komut satırı arasında anlık sıçramalar meydana gelecektir. Bu sıçramalar ise eksen yörüngelerinin hız ve ivme grafiklerinde ortaya çıkmaktadır. Şekil 5.41'de küre kaba ve küre finiş işlemesi için oluşan eksen yörüngelerinin hız ve ivme grafikleri ayrı ayrı verilmiştir. 1 ms örneklemme zamanı ile çalışıldığı için çok küçük hatalar yüksek hız ve ivme oluşturmaktadır. Ama grafiklerde görüldüğü üzere, her komut satırı için yöringe planlaması eksiksiz yapıldığı için eksen hız ve ivmeleri olağanüstü sıçramalar yapmamıştır.

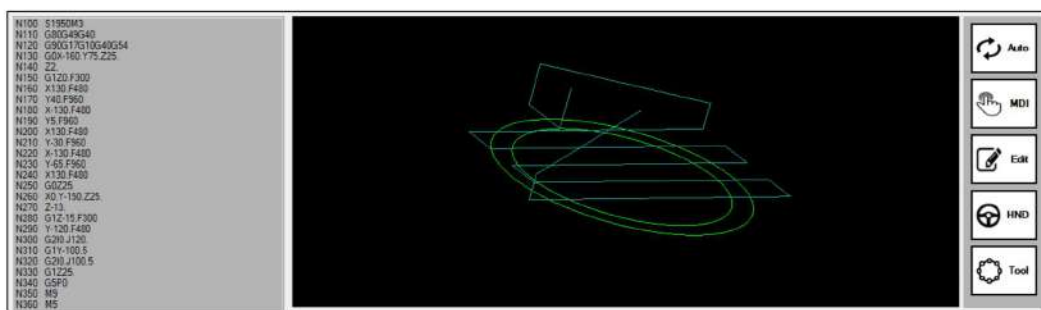


Şekil 5.41. Eksen hız ve ivme grafikleri (a) küre kaba işleme (b) küre finiş işleme

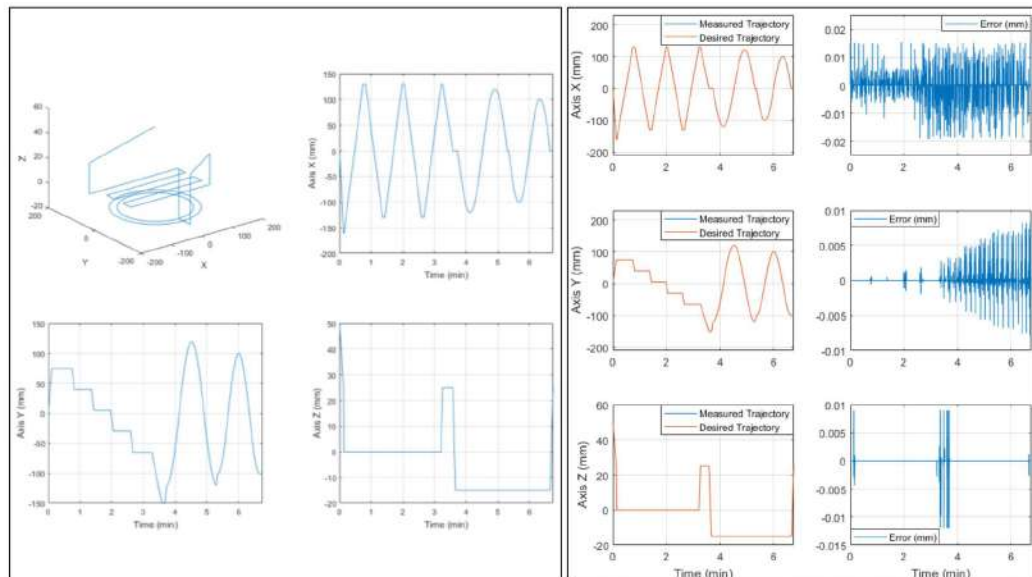
#### 5.2.4. Genel finiş işlemi

Parça üzerindeki tüm işlemler bittikten sonra genel finiş işlemesi yapılarak hedef ürün çıktısına ulaşılmıştır. Genel finiş uygulaması, slotlar ve küre haricinde kalan yüzeyleri

ilgilendirmektedir. Tarama başlığı ile verilen genel form, 18 mm çapında freze başlığı ile işlenerek ürün yüzey kalitesi artırılmıştır. Uygulamada 28 satırlık NC dosyası kullanılmış ve program çıktısı Şekil 5.42'de görüldüğü gibi elde edilmiştir. Genel finiş işleminde oluşan kartezyen uzaydaki kesici takım yörüngesi ve eksen yörüngeleri Şekil 5.43-a'da verilmiştir. 480 mm/dk (8 mm/s) ilerleme hızı ile çalışan bu işlem 404,399 yörünge verisi ile 6.74 dk sürmüştür. Gerçek zamanlı yörünge takip sonuçları ve hata değerleri Şekil 5.43-b'de görülmektedir.



Şekil 5.42. Genel finiş işleme NC dosyasının program çıktısı



Şekil 5.43. (a) Kesici takım yörüngesi/eksen yörüngeleri (b) gerçek zamanlı yörünge takibi sonuçları

Genel finiş işlemi uygulamasının öncesi ve sonrası arasındaki yüzey kalite farkı Şekil 5.44'te yer alan resimlerde görülmektedir.



Şekil 5.44. Genel finiş işlemi (a) öncesi (b) sonrası

Gerçek zamanlı eksen yörüngे takip sonuçlarının sayısal değerler üzerinden analiz edilebilmesi için, MSE ve RMSE ölçütleri kullanılarak Tablo 5.5'te yer alan hata miktarları hesaplanmıştır. Denklem (5.1)'de yer alan MSE ve RMSE eşitliklerinde, kaba talaş kaldırma, küre kaba ve küre finiş işleme uygulamaları için  $n=600,000$ , slot delikleri için  $n=92,640$ , slotların açılması için  $n=573,877$  ve son olarak genel finiş uygulaması için  $n=404,399$  olarak işleme alınmıştır. Tablo 5.2'deki hata değerlerinden gerçek zamanlı yörüngे takibi sonuçlarının başarılı bir şekilde yapıldığı görülmektedir.

Tablo 5.2. Eksenel yörüngे takibine ilişkin RMSE ve MSE hata değerleri (3-Eksen CNC-Freze Tezgâhi tüm uygulamaları)

	Kaba Talaş Kaldırma		Slot Deliklerinin Delinmesi		Slotların Açılması	
	RMSE	MSE	RMSE	MSE	RMSE	MSE
<b>X Ekseni</b>	0.0032	1.008e-5	2.031e-04	4.127e-08	0.0022	4.852e-6
<b>Y Ekseni</b>	0.0042	1.786e-5	1.236e-4	2.653e-8	0.0023	5.490e-6
<b>Z Ekseni</b>	6.17 e-04	8.25e-07	0.0010	1.062e-6	8.311e-4	6.907e-7
Konik Küre Kaba İşleme			Küre Küre Finiş İşleme		Genel Finiş İşleme	
	RMSE	MSE	RMSE	MSE	RMSE	MSE
	0.0020	4.1832e-6	0.0036	1.2956e-5	7.2291e-4	4.388e-6
<b>X Ekseni</b>	0.0029	8.3658e-6	0.0020	3.9324e-6	1.4152e-4	5.671e-6
<b>Y Ekseni</b>	8.240e-4	6.7904e-7	0.0010	1.0518e-6	4.7173e-5	2.2253e-9

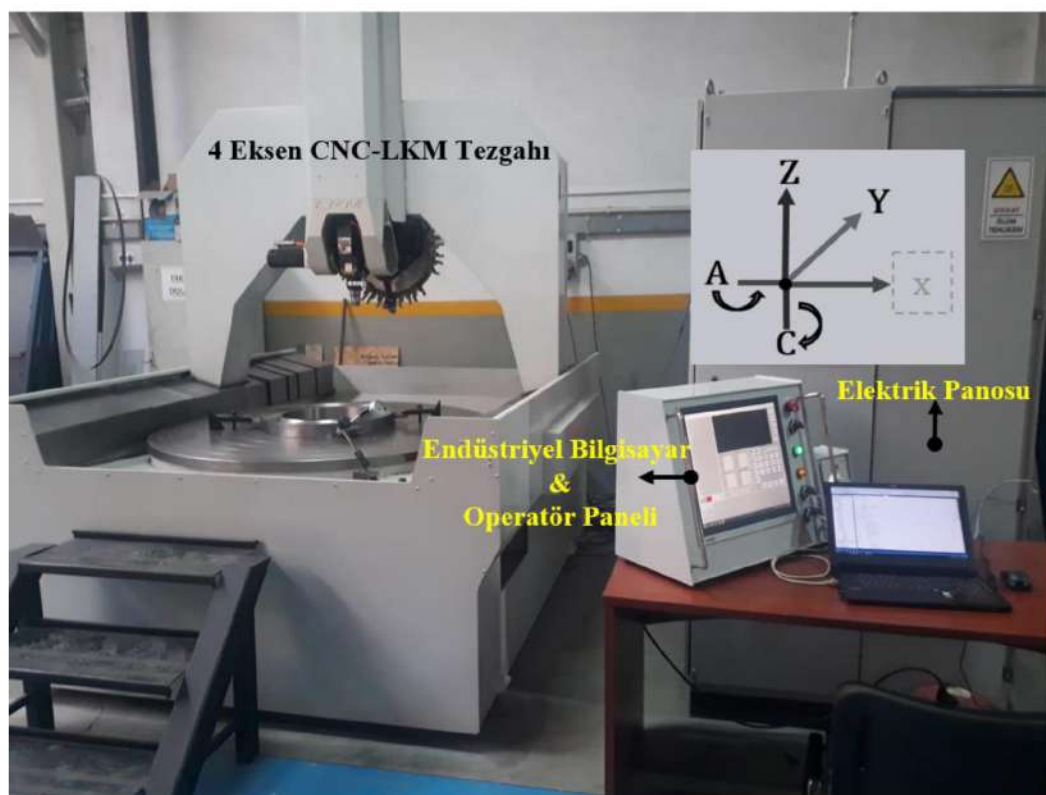
### **5.2.5. Uygulama değerlendirmeleri**

3-Eksen CNC-Freze tezgâhında endüstriyel üretim adımlarından oluşan uygulamaların yapılması CNC kontrol ünitesinin endüstriyel yeterliliğinin ölçülmesi açısından çok fayda sağlamıştır. Tüm uygulamalardaki gerçek zamanlı yörunge takibi sonuçlarından hedef yörüngelerin eksen motorları tarafından başarılı bir şekilde takip edildiği görülmüştür. Yörunge takibi sonuçlarının bu kadar yüksek doğrulukla takip edilmesi yörunge planlama ve interpolasyon işlemlerinin başarısını da ortaya çıkarmaktadır. Bu çalışmada önerilen yöntemlerin temelinde yüksek hassasiyetli ve titreşimsiz tezgâh hareketleri bulunmaktadır. Binlerce satır NC dosyalarının doğru analiz edilip doğru yörunge planlama ve interpolasyon işlemlerine tabi tutulması yörunge takibi sonuçlarına etki etmiştir. Çünkü tezgâhın ürün işleme sırasında titreşimli çalışması eksen motorlarının sürekli dur kalk yaparak veya kararsızlığını göstermektedir. Bu durum da hem yörunge takibi sonuçlarında yüksek hatalarla hem de ürün yüzey kalitesinin düşük olmasına karşıma çıkmaktadır. Fakat elde edilen uygulama sonuçlarından, yörunge takip hatalarının mikron seviyelerde, ürün çıktılarının yüzey kalitesinin de yüksek olduğu gözlemlenmiştir. Ayrıca ürün çıktısının ölçüm işlemleri de Taksan (Dener Makina) kontrol birimi tarafından yapılmış ve Ek-B'de yer alan rapor alınmıştır. İşlenen ürün özelinde verilen tolerans değerlerinin altında doğrulukla ürünün işlendiği rapor sonuçlarında görülmektedir. Ayrıca ürün işleme süreçlerinde alınan bazı fotoğraflar da Ek-C'de verilmiştir.

### **5.3. Endüstriyel 4-Eksen CNC-Freze Tezgâhı Kontrolü**

Bu bölümde, geliştirilen CNC kontrol ünitesinin farklı eksen konfigürasyonlarına sahip bir CNC-Freze tezgâhı üzerinde çalışma performansını görmek için uygulamalar yapılmıştır. Uygulamalarda kullanılan CNC tezgâhı lastik kalıbı işleme özelinde geliştirilmiş olduğu için CNC-LKM olarak tanımlanmaktadır. CNC-LKM tezgahının iki eksen doğrusal (Y-Z), iki eksen de döner (C-A) olmak üzere Şekil 5.45'te görüldüğü üzere toplamda dört eksenin bulunmaktadır [93]. Tezgâhın Y-Z-A eksen hareketleri kesici takım üzerinden sağlanırken, C eksen hareketi ise döner tabla üzerinden verilmektedir. CNC-LKM tezgâhına ait motor sürücülerinin, IO terminalinin, rölelerin güç kaynaklarının ve diğer donanımların yer aldığı elektrik panosu ise Şekil 5.46'da gösterilmiştir. Şekil 5.45'te görülen CNC-LKM tezgâhı

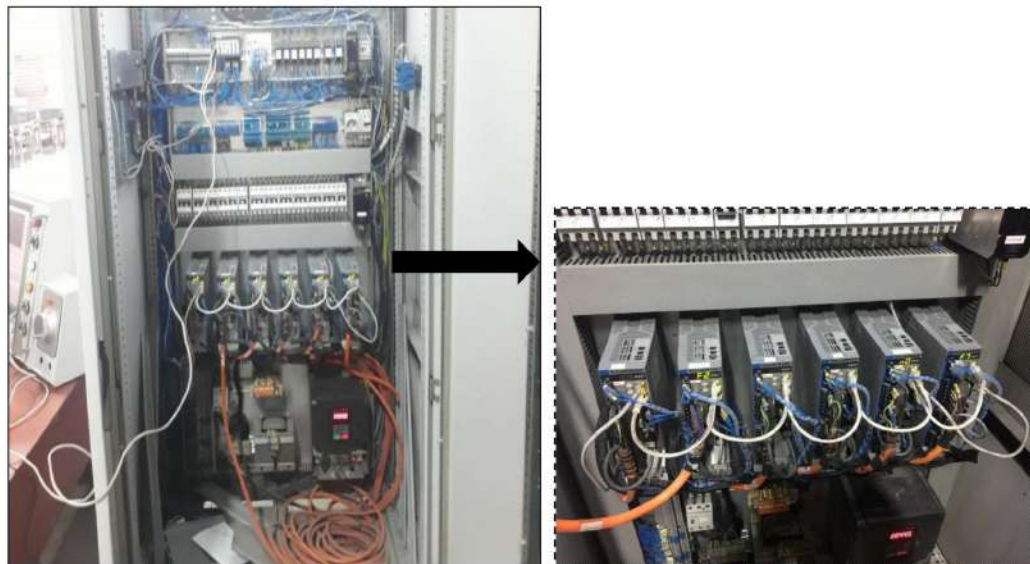
köprülü yapısı gereği Y eksenine karşılıklı çalışan iki vidalı mil ile hareket verilmektedir. Bu nedenle Y eksenin senkron çalışan iki farklı motorla sürülmektedir. Dolayısıyla Y ekseninde iki, Z, C ve A eksenlerinde de bir olmak üzere toplamda eksenler için beş AC servo motor bulunmaktadır. Ayrıca takım değiştirme magazini (ATC) için bir AC servo motor, spindle için de bir adet asenkron motor bulunmaktadır. Belirtilen motorlara ait sürücüler Şekil 5.46'da yer alan elektrik panosunda görülmektedir.



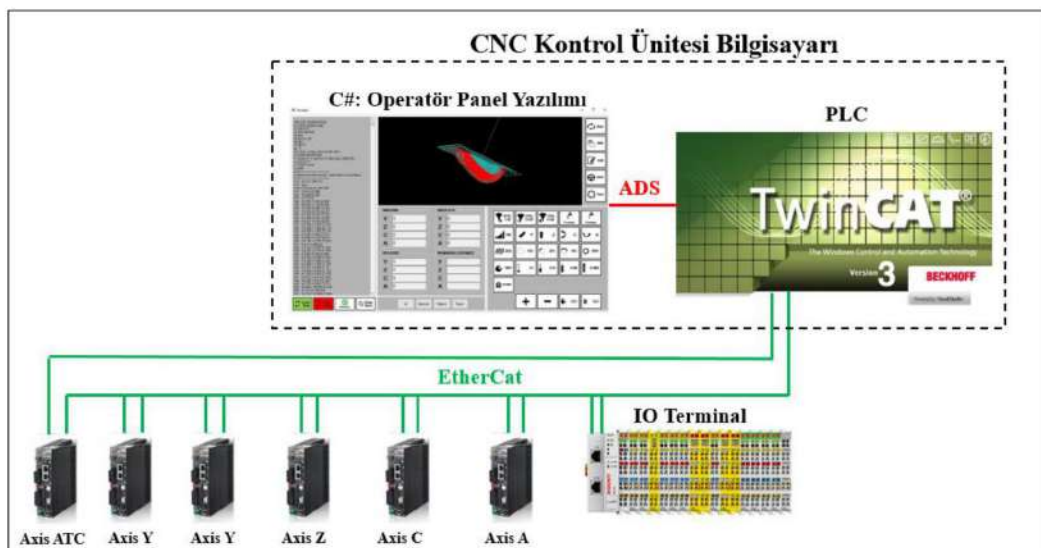
Şekil 5.45. 4-Eksen CNC-LKM tezgâhi

CNC tezgâhının Y ve C eksenlerinde Kollmorgen AKM52G-ANDNGE00 model 3000 RPM, 4.5 Nm nominal tork ve 1.99 kw güç değerlerine sahip üç adet frensiz AC servo motor, Z ekseninde Kollmorgen AKM52G-AND2GE00 model 3000 RPM, 4.5 Nm nominal tork ve 1.99 kw güç değerlerine sahip frenli AC servo motor, A ekseninde Kollmorgen AKM43E-ANDNGE00 model 3000 RPM, 4.5 Nm nominal tork ve 1.12 kw güç değerlerine sahip frensiz AC servo motor kullanılmıştır. Ayrıca tüm motorlarda 20 bitlik artımsal enkoderler bulunmaktadır. AC servo motor sürücülerini ise EtherCat Slave özellikli Kollmorgen AKD model kompakt sürücülerdir. Tezgâhta

spindle motoru olarak da 30000 RPM devir değerine sahip asenkron motor kullanılmaktadır. Spindle motor sürücüsü olarak da TECO A510 marka 3-faz 400 V inverter bulunmaktadır. Bu donanımlar doğrultusunda CNC kontrol ünitesi bilgisayarı ile fiziksel sistem arasında Şekil 5.47'de görülen haberleşme yapısı kurulmuştur.



Şekil 5.46. CNC-LKM tezgâhı elektrik panosu



Şekil 5.47. CNC kontrol ünitesi ile fiziksel sistem arasında kurulan bağlantı yapısı

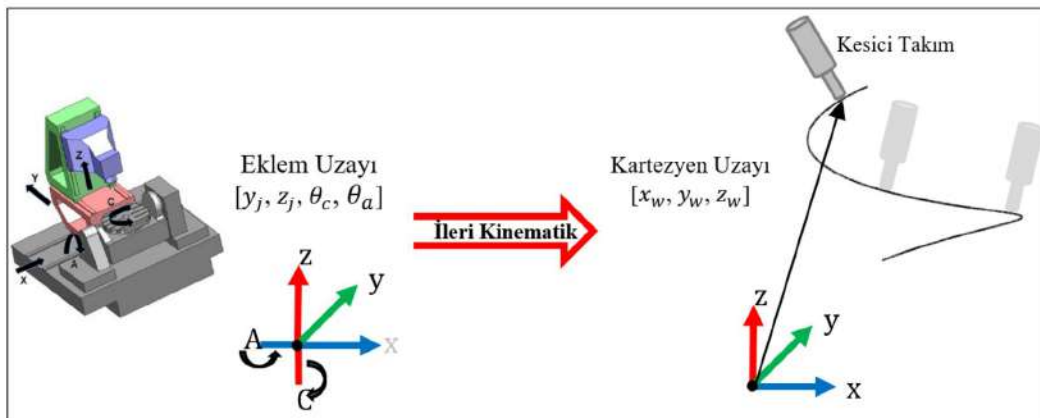
### 5.3.1. Kinematik dönüşüm işlemleri

Bir önceki bölümünden hatırlanacağı üzere 3-Eksen CNC-Freze tezgâhında yapılan uygulamalarda 3-Eksen (X-Y-Z) NC kodları kullanılmaktaydı. Kesici takım yörüngeleri

planlaması da kartezyen uzayda (X-Y-Z) yapıldığı için kinematik dönüşüm işlemine gerek duymadan sadece motor sürücülerine aktarım organına (vidalı mil, dişli kutusu vb.) bağlı bir parametre girilerek hedef yörüngeler eksen motorlarına doğrudan aktarılıyordu. Fakat CNC-LKM tezgâhı 4-Eksen (Y-Z-C-A) NC kod dosyası ile çalıştığı için yörunge planlaması öncesinde ve sonrasında kinematik dönüşüm işlemlerine ihtiyaç duyulmaktadır. Geliştirilen CNC kontrol ünitesi yazılım yapısının esnek olması dolayısıyla gerekli kinematik işlemler yazılıma tanımlanarak bu çalışmada önerilen yöntemlerin CNC-LKM tezgâhında da aynı performansta kullanılması sağlanmıştır.

### 5.3.1.1. İleri kinematik dönüşümü

CNC-LKM uygulamalarında kullanılan 4-Eksen NC dosyasında Y-Z-C-A eksenlerine ilişkin eklem uzayı verilerini bulundurmaktadır. Fakat yörunge planlamasında kullanılan veriler iş parçası (workpiece) koordinat sistemindeki kartezyen uzay verileridir. Bu nedenle operatör panel yazılımında 4-Eksen NC dosyası okunduktan sonra Şekil 5.48'de görüldüğü gibi ileri kinematik dönüşümü yapılmaktadır.



Şekil 5.48. İleri kinematik dönüşümü

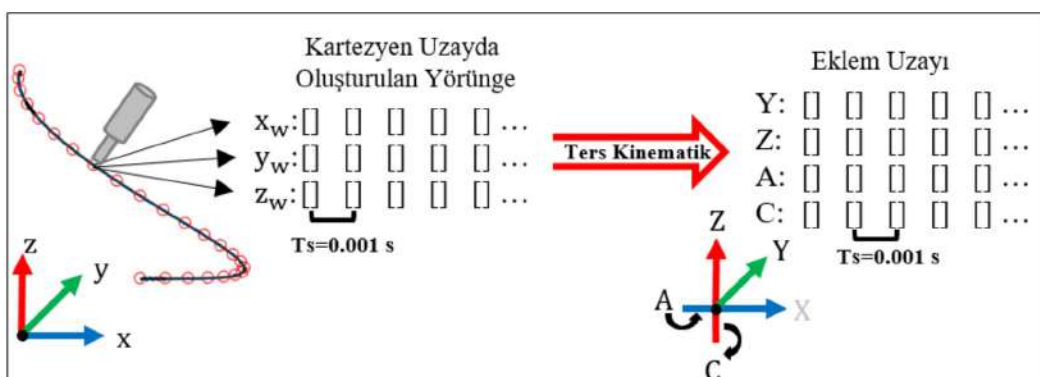
LKM tezgâhının ileri kinematik dönüşümünde Denklem (5.2)'de yer alan eşitlikler kullanılmaktadır. Denklemde,  $(x_w, y_w, z_w)$  iş parçasına göre oluşan kartezyen uzay verilerini,  $(y_j, z_j)$  NC dosyasındaki doğrusal eklem uzayı verilerini,  $(\theta_a, \theta_c)$  NC dosyasındaki döner eklem uzayı verilerini,  $l_{tool}$  ise kesici takımın, dönme noktasına göre uzunluğunu ifade etmektedir.

$$\begin{bmatrix} x_w \\ y_w \\ z_w \end{bmatrix} = \begin{bmatrix} \left( y_j + l_{\text{tool}}(\cos(\theta_a + 270^\circ)) \left( \frac{\pi}{180} \right) \right) \cos(-\theta_c \frac{\pi}{180}) \\ y_j + l_{\text{tool}}(\cos(\theta_a + 270^\circ)) \left( \frac{\pi}{180} \right) \sin(-\theta_c \frac{\pi}{180}) \\ z_j + l_{\text{tool}}(\sin(+270^\circ)) \frac{\pi}{180} \end{bmatrix} \quad (5.2)$$

LKM tezgâhının C ekseni kesici takımdan bağımsız hareket ettiği için temel alınan koordinat sistemi kesici takım yerine iş parçası olmuştur. Bu nedenle 3-Eksen CNC-Freze tezgâhı uygulamalarından farklı olarak, LKM tezgâhı uygulamalarında kesici takım yörüngesi ifadesi kullanılmamaktadır.

### 5.3.1.2. Ters kinematik dönüşümü

İş parçası temelinde kartezyen uzayda yapılan yörünge planlama ve interpolasyon işlemleri bittikten sonra bu verilerin tekrar eklem uzayı verilerine dönüştürülmesi gerekmektedir. Bu doğrultuda Şekil 5.49'da görüldüğü gibi kartezyen uzaydan eklem uzayına geçmek için ters kinematik dönüşüm işlemi yapılmaktadır.



Şekil 5.49. Ters kinematik dönüşümü

Bu dönüşüm işleminde Y ve Z eksenlerine ait veriler Denklem (5.3)'te yer alan eşitliklerle ayrı ayrı hesaplanmaktadır.

$$y_j^i = \sqrt{(x_w^i)^2 + (y_w^i)^2} \quad (5.3)$$

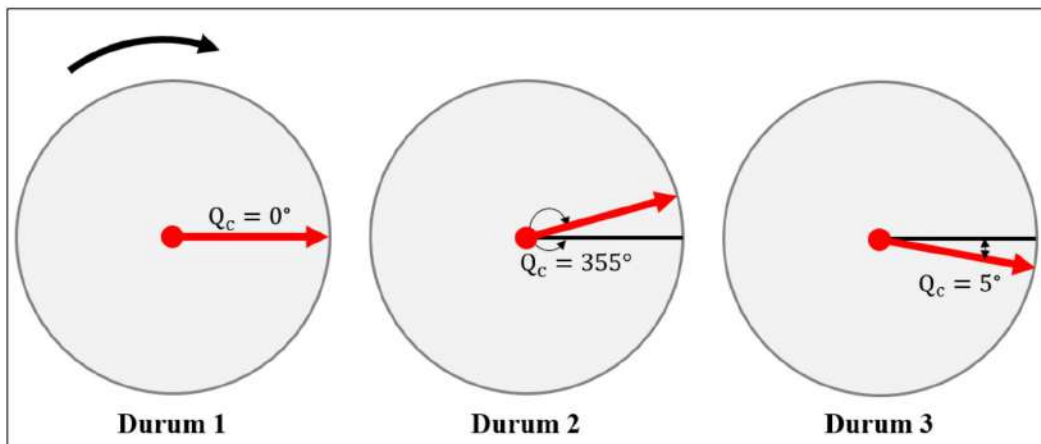
$$z_j^i = z_w^i$$

Fakat döner C ve A eksen verileri, doğrusal Y ve Z eksenlerine göre daha ayrıntılı hesaplama işlemi gerektirmektedir. Kartezyen uzay verileri kullanılarak C eksen verisi normalde Denklem (5.4) eşitliği ile elde edilmektedir. Fakat C eksenini hareket ettiğim döner tablanın mekanik olarak sonsuz dönme kabiliyetinin olması Denklem (5.4)'ü yetersiz kılmaktadır. Bu durumun anlaşılması için Şekil 5.53'te görüldüğü gibi örnek bir senaryo oluşturulmuştur. Döner tablanın başlangıç konumundan ( $\theta_c = 0$ ) başlayarak saat yönünde hareketle  $\theta_c = 355^\circ$  konumuna geldiği ve bu konumdan da  $\theta_c = 5^\circ$  noktasına gideceğini varsayıyalım. Bu durumda, döner tabla motoruna  $355^\circ$  değerinden sonra  $5^\circ$  değeri gönderilirse, tabla saat yönü tersinde  $350^\circ$  hareket ederek  $5^\circ$  konumuna ulaşacaktır. Döner tablanın bu şekilde yanlış yönelime bağlı hatasını engellemek için Denklem (5.5) eşitliği kullanılarak döner tabla motoruna gönderilecek veri revize edilmektedir. Şekil 5.50'deki senaryo için, döner tabla motoruna  $5^\circ$  yerine  $365^\circ$  değeri gönderilerek tablanın hedef noktaya doğru yönelimle ulaşması sağlanmaktadır.

$$C_{\text{new}} = \begin{cases} \text{atan2}(x_w, y_w) & , (x_w > 0, y_w \geq 0) \\ 90 & , (x_w = 0, y_w > 0) \\ 180 + \text{atan2}(y_w, x_w) & , (x_w < 0, y_w > 0) \\ 180 & , (x_w < 0, y_w == 0) \\ 180 + \text{atan2}(y_w, x_w) & , (x_w < 0, y_w < 0) \\ 270 & , (x_w = 0, y_w < 0) \\ 360 + \text{atan2}(y_w, x_w) & , (x_w > 0, y_w < 0) \\ 0 & , \text{diğer} \end{cases} \quad (5.4)$$

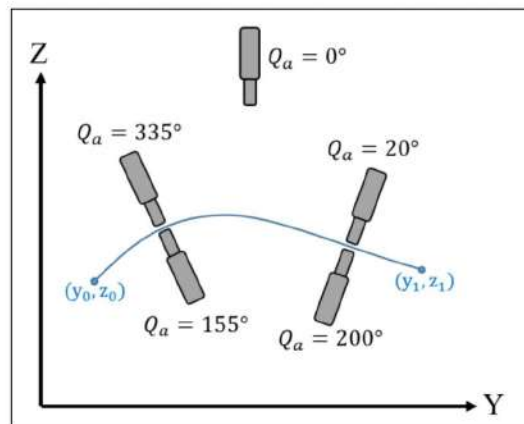
$$\theta_c^i = \begin{cases} \theta_c^{i-1} + 360 + (C_{\text{new}} - C_{\text{old}}) & , (C_{\text{new}} \geq 0, C_{\text{new}} < 90, C_{\text{old}} < 360, C_{\text{old}} \geq 270) \\ \theta_c^{i-1} + (C_{\text{new}} - C_{\text{old}}) - 360 & , (C_{\text{new}} < 360, C_{\text{new}} \geq 270, C_{\text{old}} \geq 0, C_{\text{old}} < 90) \\ \theta_c^{i-1} + (C_{\text{new}} - C_{\text{old}}) & , \text{diğer} \end{cases} \quad (5.5)$$

Denklem (5.4)'te yer alan  $C_{\text{old}}$  parametresi, Denklem (5.3) ile hesaplanan  $C_{\text{new}}$  parametresinin bir önceki değerini almaktadır. Kesici takımın X eksenin etrafındaki yönelimini ayarlayan A açısının ters kinematik işlemlerle hesaplanması da C ekseninde olduğu gibi kademeli işlem adımlarını gerektirmektedir. Hatta A açısı bir yönelim açısı olduğu için kendi içinde özel durumları mevcuttur. LKM tezgahında A açısının  $0^\circ$  olduğu durum, kesici takımın döner tablaya göre dik konumda olduğu açıdır.



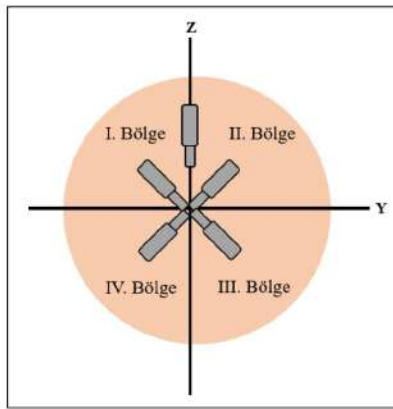
Şekil 5.50. Döner tabla için örnek çalışma senaryosu

Y-Z ekseninde işlenecek yörüngeye göre A açısı konumu değiştirilerek ürünün yörüngeye dik olarak işlenmesi sağlanmaktadır. Fakat burada dikkat edilmesi gereken durum, Y-Z eksenindeki yörüngeyi kesici takım içерiden ve dışarıdan iki ayrı diklik açısı işlenebilmektedir. Şekil 5.51'de, örnek bir yörünge üzerinde kesici takımın bu yörüngeyi iki farklı diklik açısı ile nasıl işleyebildiğini açıklayan bir görsel verilmiştir.



Şekil 5.51. Kesici takım yönelim açıları

Her bir yörünge noktasında, o noktaya dik iki farklı A açısı olduğu için ters kinematik işlemede her iki A açısı da hesaplanmaktadır. Öncelikle kesici takımın Y-Z eksenindeki yönelim açıları Şekil 5.52'de görüldüğü gibi tanjant bölgelerine ayrılmış ve Denklem (5.5) eşitlikleri ile açısal hesaplamalar yapılmıştır.



Şekil 5.52. A açısının tanjant bölgelerine ayrılması

$$y = y_j^i - y_j^{i-1}$$

$$z = z_j^i - z_j^{i-1}$$

$$s_1 = \text{sign}(y)$$

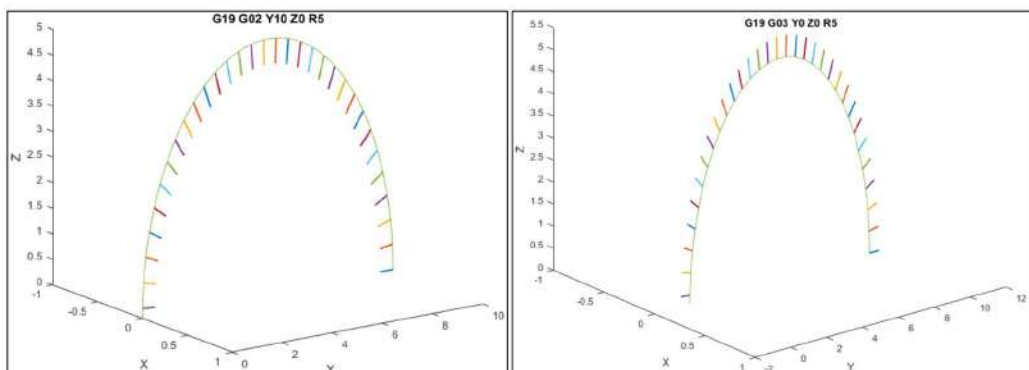
$$s_2 = \text{sign}(z)$$

$$A_{in} = \begin{cases} -\text{atan2}(z,y) & , (s_1 > 0, s_2 > 0) \\ \text{atan2}(z,y) - 180 & , (s_1 < 0, s_2 > 0) \\ 180 - \text{atan2}(z,y) & , (s_1 < 0, s_2 < 0) \\ 90 - \text{atan2}(y,z) & , (s_1 > 0, s_2 < 0) \\ 270 & , (s_1 = 0, s_2 > 0) \\ 90 & , (s_1 = 0, s_2 < 0) \\ 0 & , (s_2 = 0, s_2 \neq 0) \\ 0 & , \text{diğer} \end{cases} \quad (5.6)$$

$$A_{out} = \begin{cases} 180 - \text{atan2}(z,y) & , (s_1 > 0, s_2 > 0) \\ \text{atan2}(z,y) & , (s_1 < 0, s_2 > 0) \\ -\text{atan2}(z,y) & , (s_1 < 0, s_2 < 0) \\ -(90 + \text{atan2}(y,z)) & , (s_1 > 0, s_2 < 0) \\ 90 & , (s_1 = 0, s_2 > 0) \\ 270 & , (s_1 = 0, s_2 < 0) \\ 0 & , (s_2 = 0, s_2 \neq 0) \\ 0 & , \text{diğer} \end{cases}$$

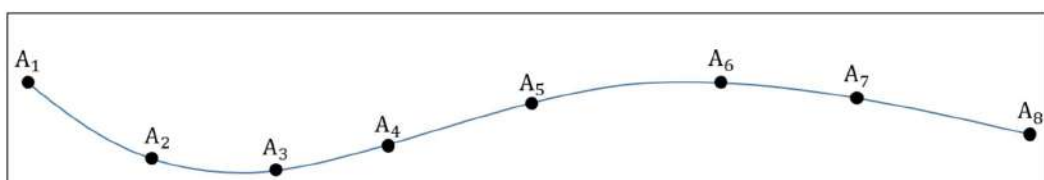
Denklem (5.6)'da görüldüğü üzere  $A_{in}$  ve  $A_{out}$  olmak üzere iki farklı A açı değeri elde edilmektedir. İlgili yörünge için hangi A açısının seçileceği ise önemli bir konudur. Çünkü yörüngeye dışarıdan bakılarak hangi açı değerinin seçileceği

anlaşılamamaktadır. Bu durumun zorluğu G19 (Y-Z) düzlemindeki iki dairesel hareketle Şekil 5.53'te görüldüğü gibi vurgulanmıştır. Şekil 5.53-a ve 5.53-b'de yer alan iki dairesel hareketin kartezyen uzay yörüngeleri birebir aynıdır. Fakat dairesel haraketlerin başlangıç ve bitiş noktaları farklı olduğu için aynı yörünge Şekil 5.53-a'da G02 komutu ile, Şekil 5.53-b'de G03 komutu ile tanımlanmıştır. G02 komutu ile işlenen dairesel yörüngede  $A_{out}$  açısı kesici takımı dairenin iç bölgesinden götürürken, G03 komutuyla işlenen yörüngede  $A_{out}$  açısı kesici takımı dairenin dış bölgesinden hareket etmemiştir. Bu nedenle kartezyen uzay yörüngeyi  $A_{in}$ ,  $A_{out}$  açı seçiminde yetersiz kalmaktadır. Bu doğrultuda, işlenecek yörüngede doğru A açısının seçimi için NC dosyasındaki A açı verileri kullanılmaktadır.



Şekil 5.53. (a) Saat yönünde (G02) dairesel hareket ve yönelim açıları (b) saat yönü tersinde (G03) dairesel hareket ve yönelim açıları

Örneğin sekiz G01 nokta bulutundan Şekil 5.54'te görüldüğü gibi bir NURBS eğrisi oluşturulduğunu varsayıyalım. Yörünge planlama ve interpolasyon işlemlerinden sonra her iki G01 nokta arasında çok sayıda veriler oluşmaktadır. Bu verilere uygun hesaplanan  $A_{in}$ ,  $A_{out}$  açı değerlerinden hangi açıların seçileceğine NC dosyasında verilen A değerleri ( $A_1, \dots, A_8$ ) karar vermektedir. Ara veriler yörüngeinin hangi iki noktası arasına denk geliyorsa karar aşamasında da o iki veri aktif rol oynamaktadır.



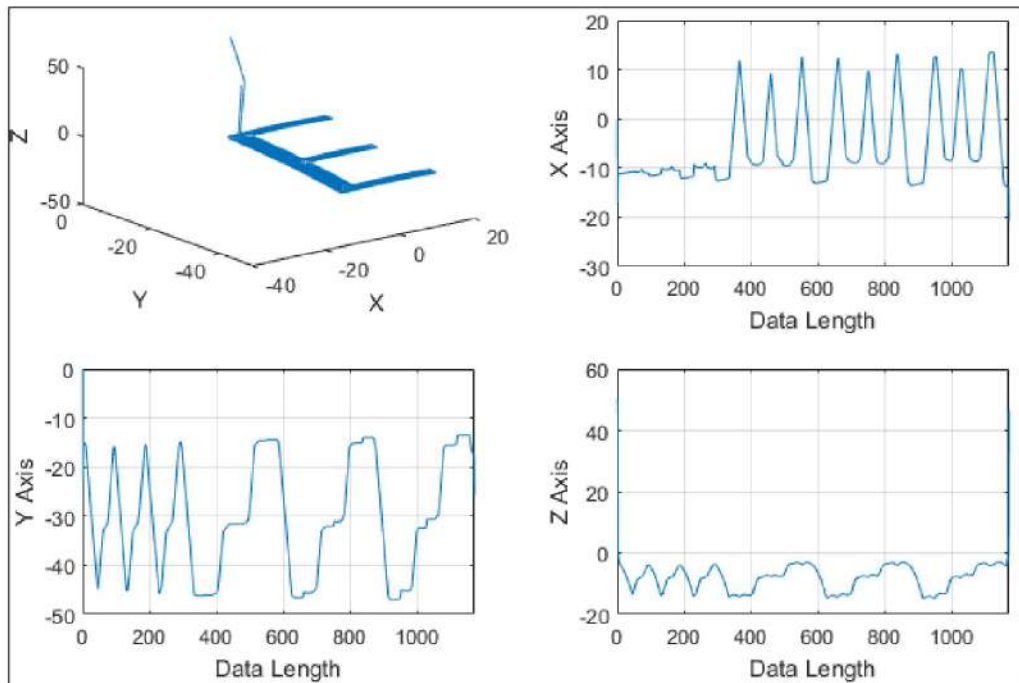
Şekil 5.54. Örnek bir nokta bulutundan elde edilmiş NURBS eğrisi üzerinde doğru A açılarının bulunması

Kesici takımın yönelimini gösteren A açılarının ( $\theta_a$ ) belirlemesinden sonra Denklem (5.3)'te bulunan Y ve Z eksen verileri Denklem (5.7) eşitlikleri ile güncellenmektedir.

$$y_j^i = \sqrt{(x_w^i)^2 + (y_w^i)^2} - l_{\text{tool}}(\sin(\theta_a^i)) \quad (5.7)$$

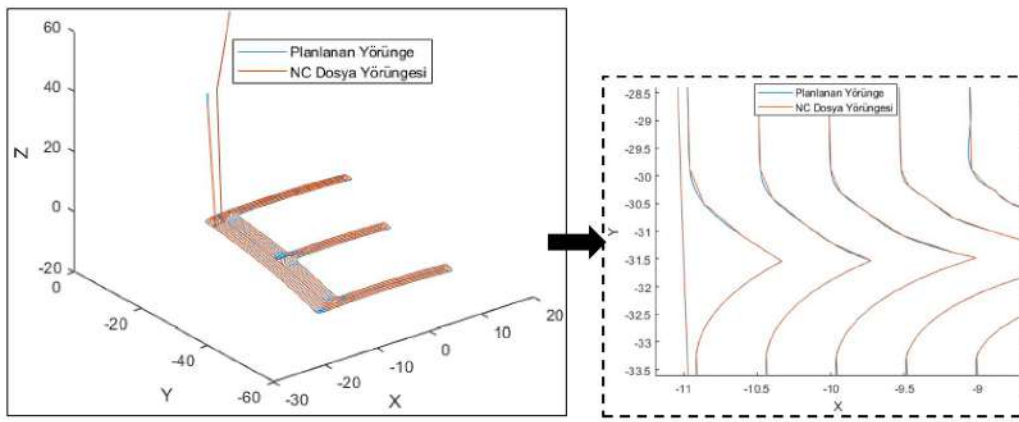
$$z_j^i = z_w^i + l_{\text{tool}}(\cos(\theta_a^i))$$

LKM özelinde yapılan yörüngeler planlama işlemleri 1170 satırlık bir NC dosyası üzerinden analiz edilmiştir. Şekil 5.58-a'da, 1170 satırlı 4 Eksen LKM tezgahı için üretilmiş NC dosya verileri bulunmaktadır. 4 eksen (Y-Z-C-A) verileri, CNC kontrol ünitesi tarafından ileri kinematik dönüşüm işlemleri sonrasında Şekil 5.56'da görüldüğü gibi kartezyen uzay verilerine dönüştürülmüştür.



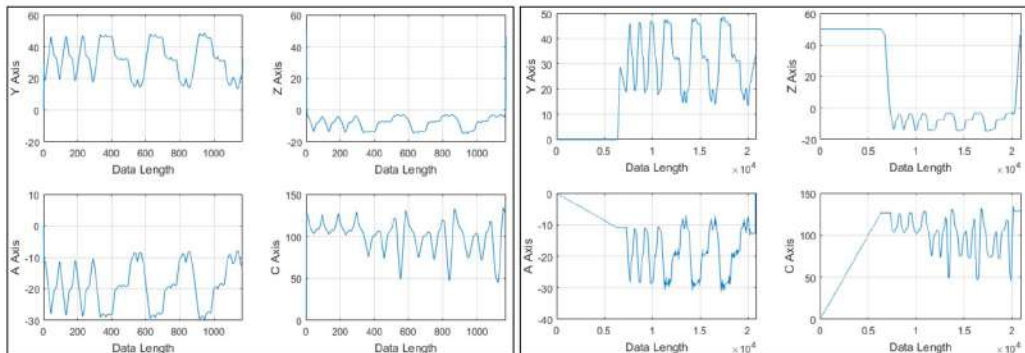
Şekil 5.55. 4-Eksen NC dosya yörüngesinin ileri kinematik işlemlerle kartezyen uzay yörüngesine dönüştürülmesi

Yörüngeler planlama ve interpolasyon işlemleri sonrasında Şekil 5.57'de yer alan kartezyen uzay verileri elde edilmiş ve NC dosya yörüngesi ile karşılaştırılmıştır. Şekil 5.57'de, Şekil 5.56'daki NC dosya yörüngesindeki sert geçişlerin nasıl yumuşatıldığı görülmektedir.



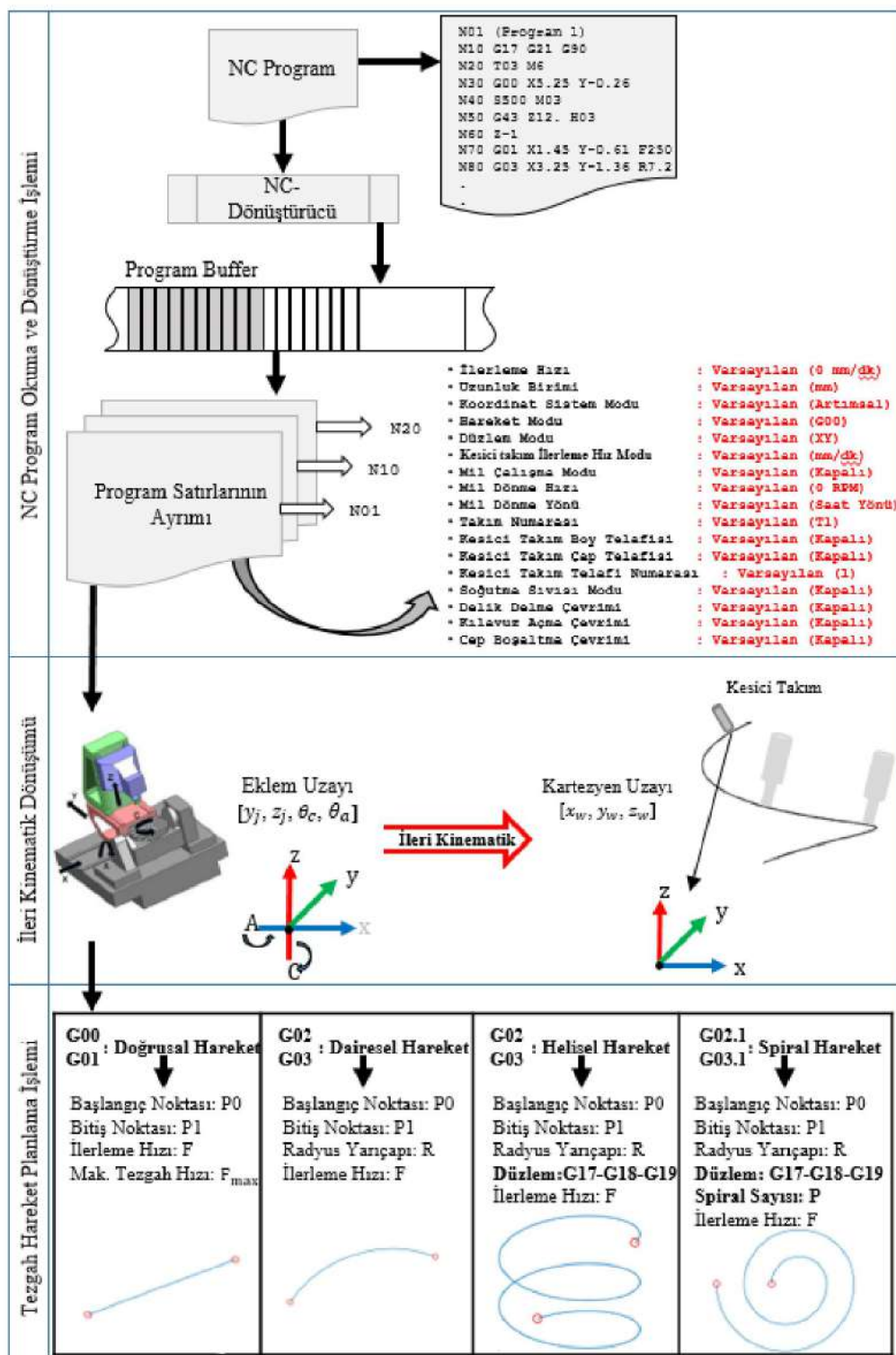
Şekil 5.56. Planlanan yörüngenin NC dosya yörüngesi ile karşılaştırılması

Kartezyen uzay yörüngesi oluşturulduktan sonra ters kinematik dönüşüm işlemleri ile tekrar Y-Z-C-A eklem uzayına geçilmekte ve eksen motorlarına gönderilecek nihai yörüngeler Şekil 5.58-b'de görüldüğü gibi elde edilmektedir. 1071 veriden oluşan 4-Eksen NC dosya verileri, yapılan işlemler sonrasında 20931 veriden oluşan 4-Eksen NC dosya verilerine dönüştürülmüştür. Şekil 5.58-a'daki NC dosya verileri ile belirtilen tezgâh eksen konumlarına, bir hareket planlaması ile nasıl ulaşıldığı Şekil 5.58-b'de görülmektedir.

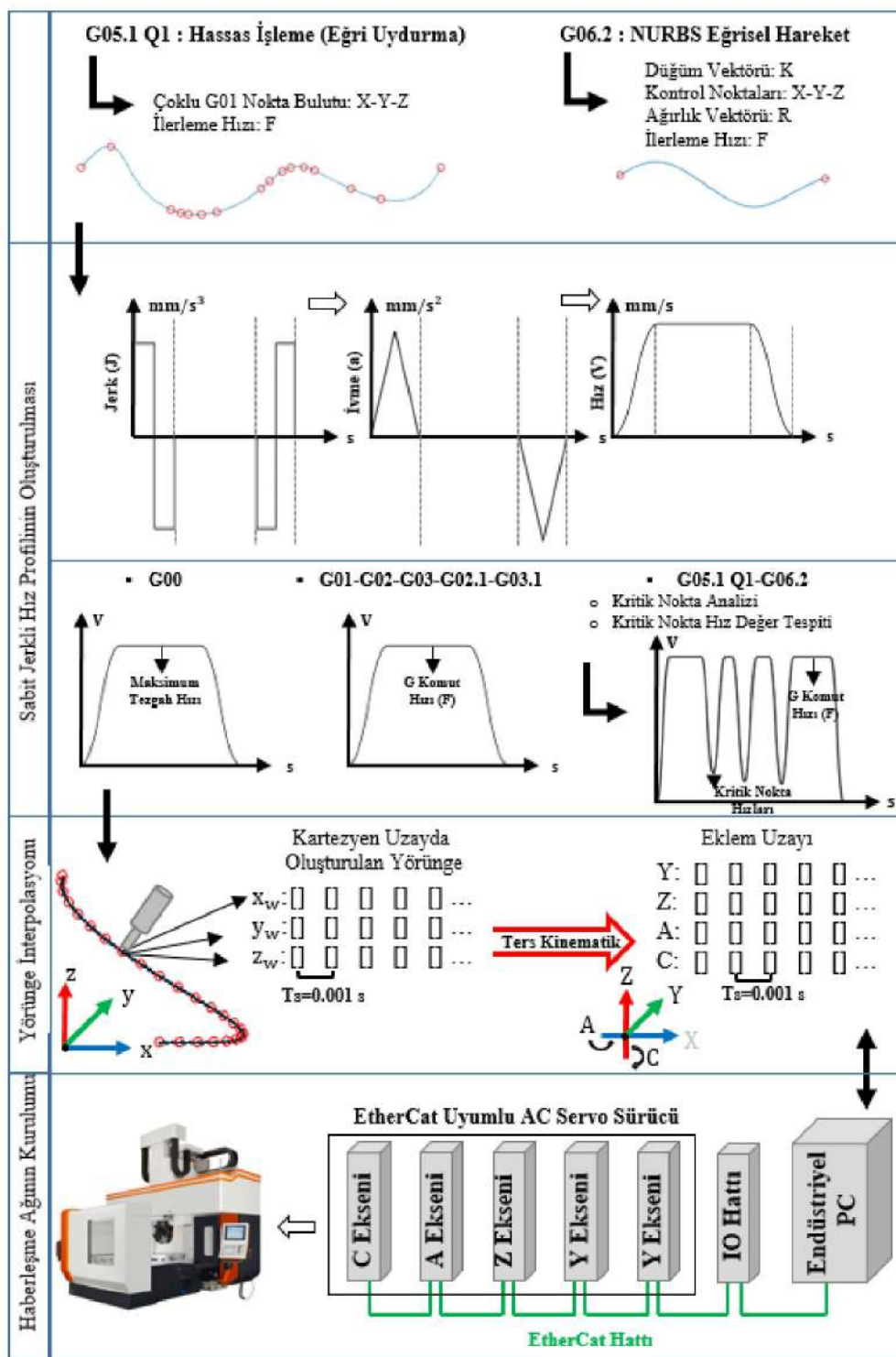


Şekil 5.57. (a) 4-Eksen NC dosya verileri (b) ters kinematik dönüşüm işlemi sonrası elde edilen 4-Eksen yörüngeler

Yapılan kinematik işlemlerle birlikte CNC kontrol ünitesinin LKM tezgahındaki işlem adımlarının daha net anlaşılabilmesi için Şekil 5.55'te 4-Eksen CNC-LKM tezgahı özelinde hazırlanan çalışma yapısı verilmiştir.



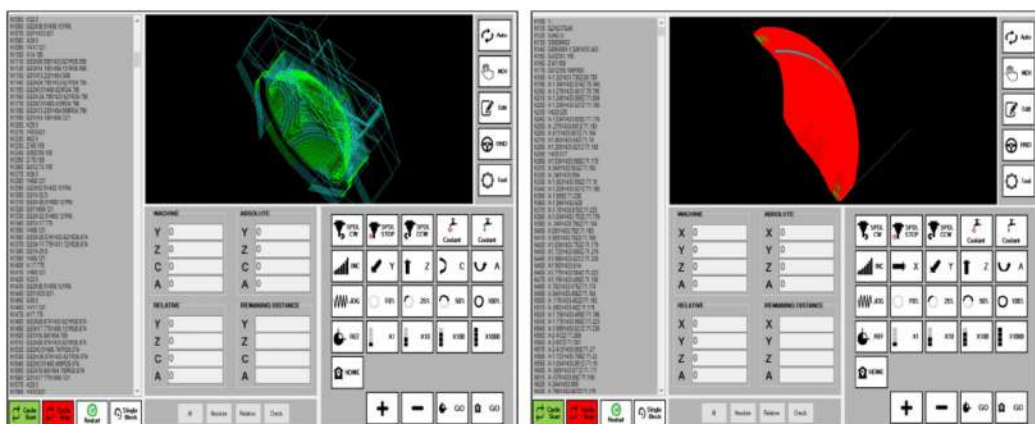
Şekil 5.58. 4-Eksen CNC-LKM tezgâhı özelinde CNC kontrol ünitesi çalışma yapısı



Şekil 5.58. (Devam) 4-Eksen CNC-LKM tezgâhı özelinde CNC kontrol ünitesi çalışma yapısı

### 5.3.2. Kütük parçaya küresel form verme uygulaması

Bu çalışmada da önerilen matematiksel yöntemlerin deneyisel performansını kapsamlı bir uygulamada görmek için kütük parçasının küresel forma dönüştürülmesi işlemi yapılmıştır. Bu uygulama kaba (1,436 satır NC kod) ve finiș (34,624 satır NC kod) işleme olmak üzere iki farklı G-kod dosyası ile yapılmıştır. Şekil 5.59'da kontrol ünitesi arayüzü üzerinde kaba işleme ve finiș işleme program çıktıları görülmektedir. Şekil 5.60-a'da yer alan kütük parçasının, kaba ve finiș programlarının CNC tezgâhında çalıştırmasından sonra küresel forma dönüşüm süreci Şekil 5.60-b ve 5.60-c'de görülmektedir.



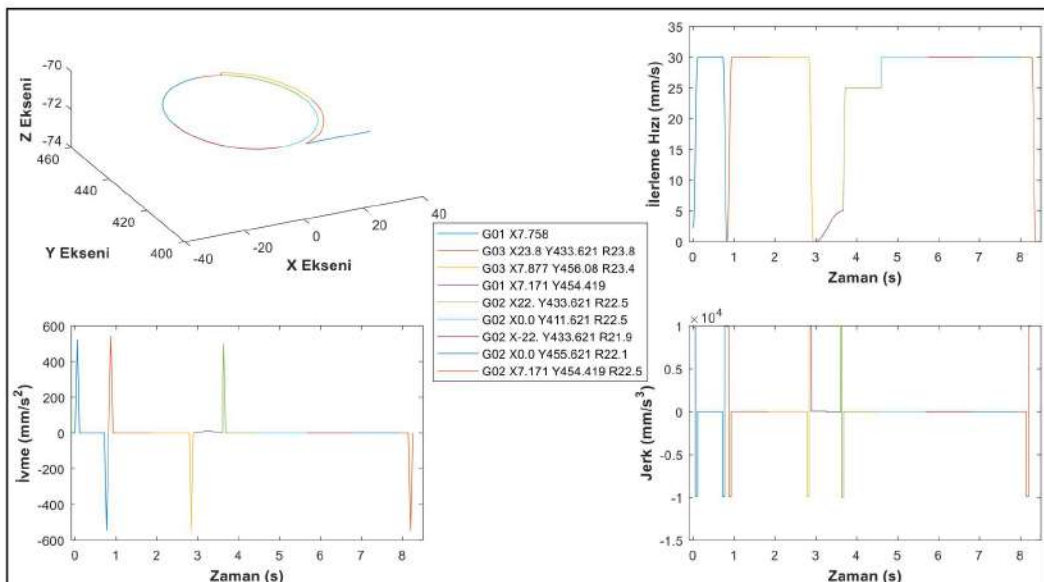
Şekil 5.59. (a) Kaba işleme program çıktıları (b) finiș işleme program çıktıları



Şekil 5.60. (a) Kütük parça (b) kaba işleme ürün çıktıları (c) finiș işleme ürün çıktıları

1,436 satırlık kaba işleme programının yaklaşık 500 satırı G02/G03 komutlarına ilişkin dairesel hareket olduğu için, Şekil 5.60-a'da yer alan program çıktıları dairesel hareketlerin temsil edildiği yeşil renk ağırlıklıdır. Şekil 5.60-b'deki finiș işlemede ise 34,624 satırın büyük çoğunluğunda eğrisel fonksiyonlar ön planda olduğu için program çıktıları kırmızı renkli görülmektedir. Kartzyen uzaydaki kesici takım

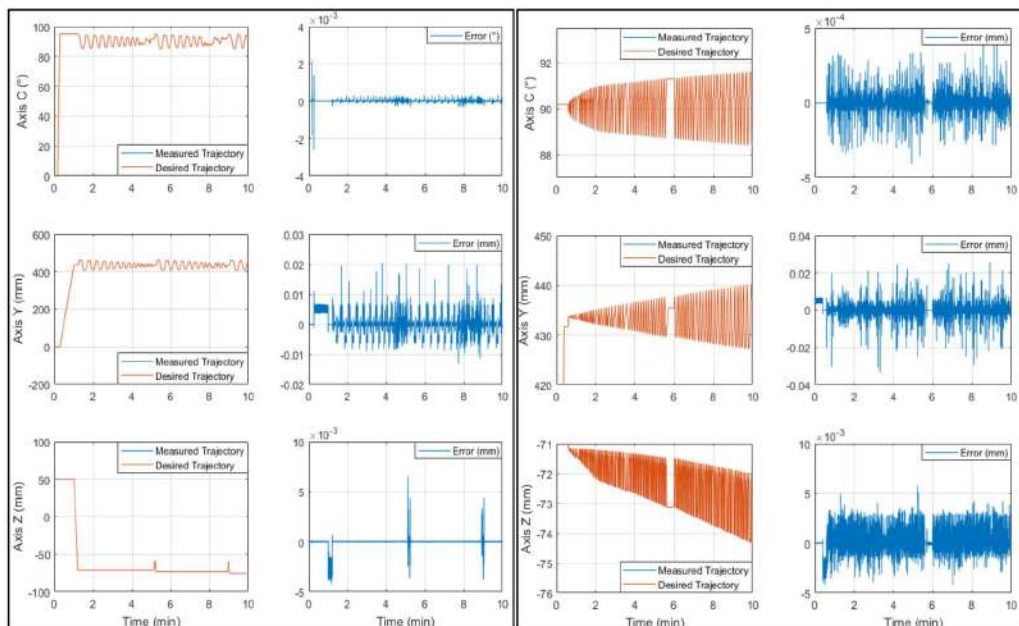
yörünge interpolasyon işlemlerinde tezgâh motorlarına uygun seçilen maksimum jerk ve ivme değerlerinin aşılımadığını ve tezgâh operasyonlarının titreşime neden olmayacağı kararlı ivme ve jerk grafiklerine uygun gerçekleştigiğini göstermek için kaba işleme uygulamasına ait G-kod dosyasının bir bölümünün interpolasyon işlem detayları verilmiştir. Şekil 5.61'de, bu bölümde ait kesici takıma ait yörünge, hız, ivme ve jerk grafikleri görülmektedir. Hız grafiğinin hız geçiş kontrolüne uygun optimize edildiği, kartezyen uzaydaki kesici takım yer değiştirmeye eğrisinin ikinci ve üçüncü dereceden türevlerine karşılık gelen ve tezgâh titreşimlerine doğrudan etki eden ivme ve jerk grafiklerinin ne kadar düzenli olduğu ve ayrıca bu grafiklerde maksimum ivme ( $1000 \text{ mm/s}^2$ ) ve maksimum jerk ( $10.000 \text{ mm/s}^3$ ) değerlerinin aşılımadığı gözlemlenmiştir.



Şekil 5.61. Kaba işleme uygulamasına ait bir bölümünün interpolasyon işlem detayları

Doğru yörünge planlama ve interpolasyon işlemlerine ek olarak eksen yörünge takip başarısı da ürün çıktılarını etkileyen bir diğer önemli etkendir. Çünkü hedeflenen ürün çıktısi için eksen motorları eksen yörüngelerini minimum hata ile takip etmelidir. Yapılan uygulamada yüzeye dik işlem gerektirecek bir yörünge bulunmadığı için, LKM tezgâhının A eksenini kullanılmamakta, geriye kalan Y, Z doğrusal eksenler ve döner C eksenin bu uygulama için yeterli olmaktadır. Bu nedenle sabit jerkli hız profilleri temelinde planlanan yörüngeler kinematik işlemler sonucunda Y, Z ve C eksen yörüngelerine dönüştürülmüştür. Kaba işleme için oluşan eksen yörüngeleri ve

bu yörüngelerin gerçek zamanlı takip sonuçları Şekil 5.62-a'da, finiş işlemedeki gerçek zamanlı yörünge takip sonuçları ise Şekil 5.62-b'de verilmiştir. Grafiklerde yaklaşık 50 dakika süren kaba işleme ve 90 dakika süren finiş işleme uymalarının 10 dakikalık bölümlerine ilişkin yörünge takibi sonuçları verilmiştir. Uygulama sonuçlarından tüm eksenler için mikron seviyelerinde endüstriyel bir uygulama için kabul edilebilir hata değerleri oluştığı grafiklerde görülmektedir. Yörünge takip sonuçlarının bu derece başarılı olması, interpolasyon işlemlerinin motorlara kapasitelerinin üstünde bir çalışma gereksinimi oluşturmayan sabit jerkli hız profillerine uygun yapılmasından kaynaklanmaktadır.



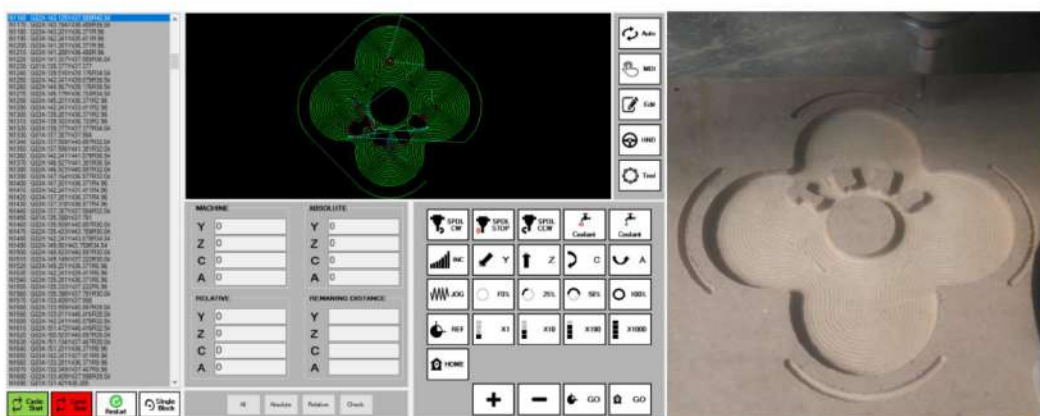
Şekil 5.62. Gerçek zamanlı yörünge takibi sonuçları (a) küre kaba işleme (b) küre finiş işleme

Grafiklerde görüldüğü üzere Y eksenindeki hata miktarı C ve Z eksenlerine göre bir miktar daha fazla çıkmaktadır. Bu durumun nedeni Y ekseninin karşılıklı iki motor tarafından kontrol edilmesidir. Normalde endüstriyel CNC tezgâhlarında bir eksenin karşılıklı iki motorla sürülmesi tercih edilen bir yöntem değildir. Fakat çalışmanın test işlemlerinin yürütüldüğü CNC-LKM tezgâhı özel amaçlı tasarlandığı için, ihtiyaç doğrultusunda Y ekseninde karşılıklı iki motor kullanılmıştır. Bu durumda, Y eksenini için iki farklı vidalı mil, iki farklı servo motor ve iki farklı servo sürücü kullanılması gerekmıştır. Her ne kadar aynı marka ve özellikte ürünler kullanılmış olsa da bu ürünlerin %100 aynı performansı göstermesi pek mümkün değildir. Bu nedenle tezgah

yapısı gereği, kontrol işlemleri senkron olmasına rağmen, Y ekseninde diğer eksenlere göre bir miktar daha yörüngे takip hatası meydana gelmiştir.

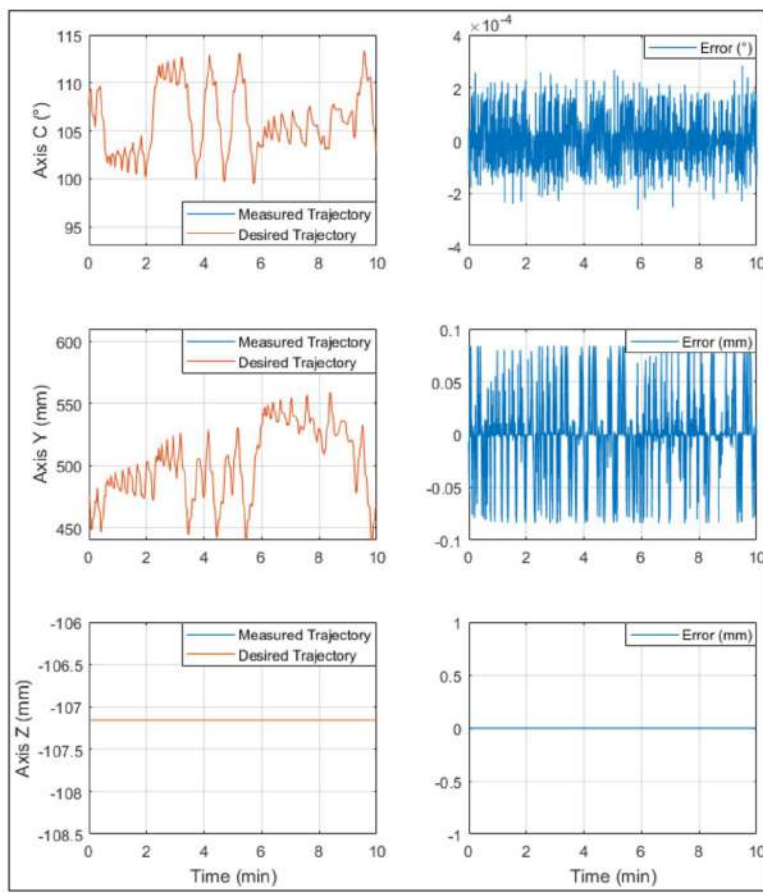
### 5.3.3. Dairesel cep boşaltma uygulaması

Yapılan çalışmaların performanslarını farklı bir uygulamada değerlendirmek için 800 satırı G02/G03 komutundan oluşan toplamda 1,240 satırlık dairesel cep boşaltma işlemi yapılmıştır. Şekil 5.63-a'da kontrol ünitesi arayüzü üzerinde cep boşaltma programı çıktısı, Şekil 5.63-b'de ise uygulama sonucunda elde edilen ürün çıktısı görülmektedir.



Şekil 5.63. (a) Dairesel cep boşaltma işlemi program çıktıtı (b) ürün çıktıtı

Bu yapıda bir ürün işlemenin sebebi, kontrol ünitesinin ardışık çalışan G02/G03 komutlarına karşı nasıl bir performans göstereceğini gözlemlemek olmuştur. Çünkü parçalı dairesel komutların herhangi birinde bir yanlış işleme veya eksen kayması olması durumunda ürün çıktısının da hatalı olması kaçınılmazdır. Fakat yapılan uygulama sonucunda, ürün çıktısının hedeflenen formda hatasız çıktıgı Şekil 16 (b)'de görülmektedir. Ürün üzerinde yapılan kumpas ölçüm işlemlerinde ise, orta merkezdeki daire çapının ve karşılıklı cepler arasındaki mesafelerin CAM programı çıktıtı ile aynı ölçülerde olduğu tespit edilmiştir. 20 dakika süren cep boşaltma uygulamasının 10 dakikalık bölümüne ait yörüngे takip sonuçları Şekil 5.64'te verilmiştir. C ve Y eksenlerine ilişkin grafik sonuçlarından yine mikron seviyelerinde hata değerleri ile başarılı bir yörüngे takibi yapıldığı görülmektedir. Şekil 5.64'te yer alan Z ekseni verisi 10 dakikalık süreçte sabit kaldığı için hata değeri de sıfır olarak kalmıştır.



Şekil 5.64. Dairesel cep boşaltma uygulamasına ilişkin gerçek zamanlı yörünge takibi sonuçları

Eksen yörünge takip sonuçlarının sayısal değerler üzerinden analiz edilebilmesi için, Denklem (5.1)'de yer alan ortalama karesel hata (MSE) ve ortalama karekök hata (RMSE) ölçütleri kullanılarak Tablo 5.6'da görülen hata miktarları hesaplanmıştır. Tüm uygulamalarda referans pozisyon ile gerçek pozisyon arasındaki hataların çok küçük değerlerde olduğu Tablo 5.3'te görülmektedir.

Tablo 5.3. Eksenel yörünge takibine ilişkin RMSE ve MSE hata değerleri

	Küre Kaba İşleme Uygulaması		Küre Finiş İşleme Uygulaması		Dairesel Cep Boşaltma Uygulaması	
	RMSE	MSE	RMSE	MSE	RMSE	MSE
<b>C Ekseni</b>	5.52e-05	3.05e-09	5.24e-05	2.74e-09	6.95e-05	4.82e-09
<b>Y Ekseni</b>	0.0032	1.05e-05	0.0023	5.32e-06	0.0391	0.0015
<b>Z Ekseni</b>	8.61 e-04	7.46e-07	0.0014	1.87e-06	0	0

## **6. SONUÇLAR VE ÖNERİLER**

Takım tezgâhlarının çalıştırılmasının, durdurulmasının, takım değiştirilmesinin, eksen hareketlerinin ve buna benzer tezgâhin çalışması ile ilgili tüm işlemlerin bir kontrol ünitesi tarafından yönetildiği CNC tezgâhları geçmişten günümüze endüstriyel üretimin önemli bir parçası olmuşlardır. Bu nedenle endüstriyel CNC tezgâhlarının performansını ve ürün işleme kabiliyetlerini artırmaya yönelik çok sayıda akademik çalışmalar yapılmıştır. Literatürdeki çalışmalar eğri uydurma (curve fitting), köşe yumusatma, kesici takım ilerleme hız planlaması, interpolasyon algoritmaları ve farklı kinematik konfigürasyonlara sahip CNC-Freze tezgâhlarına yönelik yörunge planlama algoritmaları olmak üzere temelde beş bölümde incelenmiştir. Bu çalışmaların ortak hedefi titreşimsiz, yüksek hız ve yüksek hassasiyetli tezgâh hareketlerinin sağlanması olmuştur. Bu temel hedeflere ise doğru yörunge planlaması, doğru kinematik ve dinamik analizlerin yapılması (motor kapasitelerine uygun ivme ve jerk değerlerinin tespit edilmesi), uygun hız ve ivme profillerinin belirlenmesi (optimize edilmiş hız ve ivme profili), bu profillere uygun yörunge interpolasyonunun yapılması ve bu yörüngelerin senkronize olarak eksen motorlarına gönderilmesi işlevlerinin sonucunda ulaşılmaktadır. Bu doğrultuda yapılan tez çalışmasında, geleneksel ve güncel makine, yörunge planlama, yeni nesil servo motor kontrol teorileri kullanılarak geliştirilen özgün yöntemler, özgün yazılım çalışmaları ile birleştirilmiş, titreşimsiz, yüksek hız ve yüksek hassasiyet prensibine uygun çalışan bir CNC-Freze kontrol ünitesi geliştirilmiştir.

CNC tezgâhları G-kodlarından oluşan NC dosyalar temelinde kontrol edildiği için çalışmanın altyapısı da G-kodları üzerine kurulmuştur. Temelde G-kodları, hareket komutları, düzlem seçim komutları, hazır çevrim komutları, ilerleme seçim komutları ve kesici takım boy-çap telafi komutları olarak sınıflandırılmaktedir. Bu sınıflar arasında tezgâhin doğrudan çalışma performansına etki eden en önemli G-kodları ise hareket komutlarıdır. Bu hareket komutlarının analiz ve interpolasyon becerisi, tezgâhin doğru üretim yapmasına, titreşimsiz çalışmasına, ürün işleme hızına, enerji tüketimine, tekrarlanabilir çalışmasına ve kesici takımın ve iş milinin çalışma ömrüne

doğrudan etki etmektedir. Bu nedenle çalışmanın önemli bir bölümünü oluşturan hareket komutlarına yönelik etkili yöntemler geliştirilmiştir. Yapılan çalışmada, CNC G-Kod standartlarına göre, doğrusal, dairesel helisel ve NURBS (Non-Uniform Rational B-Spline) eğrisel hareketlerine uygun matematiksel fonksiyonlarının çıkartılarak yöringe planlama işlemleri yapılmış, NC dosyasındaki doğrusal (G01) komutlarına kenar yönetimi algoritmaları uygulanmış ve kenar yönetimi kıstaslarına giren G01 komutlarından oluşan nokta bulutlarının daha hassas yörüngelere dönüştürülmesinde kullanılmak üzere NURBS eğri uydurma fonksiyonları çıkartılmış, tezgâhin titreşimsiz ve hassas çalışmasını sağlayan sabit jerkli hız ve ivme profilleri oluşturtulmuş, eğrisel yörüngelerin veri kaybı olmadan hassas ve aynı zamanda yüksek hızda işlenmesi için özel kritik nokta analizleri yapılarak kritik noktalarda olması gereken hız değerleri tespit edilmiş ve oluşturulan hız ve ivme profillerine uygun tüm hareket komutları için ayrı ayrı interpolasyon işlemleri yapılmış, komut satırları arasındaki hareket geçişleri için hız optimizasyon algoritmaları geliştirilmiştir ve kinematik işlemlerinin gerektiği durumlarda, ters kinematik dönüşümlerle eksen motorlarına gönderilecek yörüngeler elde edilmiştir. Bu doğrultuda, geliştirilen CNC kontrol ünitesinin bu alanda yapılan akademik çalışmalarla karşılaşıldığında, bir CNC tezgâhının tüm üretim sürecini endüstriyel yaklaşımlarla ela alan en kapsamlı çalışma olduğu düşünülmektedir. Ayrıca tez çalışmasında literatüre katkı sağlayacak yöntem ve algoritmaların bulunması da yapılan çalışmanın yenilikçi bir yaklaşımla yapıldığının göstergesi olmuştur.

CNC tezgâhları her zaman bir operatör tarafından kontrol edildiği için, neredeyse tüm tezgâhlarda kontrol ünitesine bağlı çalışan bir operatör paneli bulunmaktadır. Bu operatör panelinde ise dokunmatik veya normal bir ekran, kontrol butonları, tuş takımı, acil stop butonu, el kumandası vb. operatörün kullanımına sunulan birimler bulunmaktadır. Yapılan tez çalışmasında endüstriyel CNC kontrol ünitesinin geliştirilmesi hedeflendiği için, Beckhoff UltraCompact (PC C6030) endüstriyel bir bilgisayar, 19" dokunmatik bir ekran, kontrol tuşları ve el kumandası ile endüstriyel bir operatör panel donanımı tasarımı yapılmıştır. Donanım tasarımından sonra ise bir operatör tarafından tezgâhın tüm kontrol işlemlerinin yürütülebilmesi için operatör panel arayüzü geliştirilmiştir. Visual Studio ortamında C# dili ile geliştirilen kullanıcı arayüzünde, çalışma içerisinde geliştirilen matematiksel yöntemler ve algoritmalar

yazılım diline çevrilmiş hem de makine sıfırı, parça sıfırı, eksen tanımlama, parametre girme gibi tezgâh ayarlarının ve program yazma-değiştirme, spindle aç-kapat gibi tezgâh operatörünün manuel kullanımına yönelik yazılım altyapısı oluşturulmuştur. Ayrıca yapılan çalışmada, fiziksel sistemlerle EtherCat protokolü üzerinden haberleşmek için TwinCat yazılımı yapılmıştır. Tezgâhın tüm kontrolünü C# ortamında geliştirilen operatör panel yazılımı sağlarken, tezgâha gitmesi gereken veya tezgâhtan alınan veriler TwinCat ortamında toplanmaktadır. Operatör panel yazılımı ile TwinCat yazılımı arasında ADS haberleşme protokolü, TwinCat ile fiziksel sistem arasında da EtherCat protokolünü kullanan, senkronize çalışan iki yazılım sistemi oluşturulmuştur. Fakat EtherCat protokolünün 1ms sabit veri yenileme süresi ile, TCP-IP tabanlı ADS protokolünün ise veri boyutlarına göre değişen veri gönderim zamanı ile çalışmasından dolayı fiziksel sisteme gönderilen verinin tek bir tanesinde bile gecikme olmaması için ikili ping-pong buffer mekanizması geliştirilmiş ve ADS-EtherCat arasında oluşan zaman farkının etkisi ortadan kaldırılmıştır.

Tüm yazılım süreci sonlandıktan sonra endüstriyel uygulamalar yapılarak geliştirilen kontrol ünitesinin performans analizleri yapılmıştır. Geliştirilen kontrol ünitesi ile doğrudan endüstriyel bir CNC-Freze tezgâhı üzerinde deneysel çalışmalarla başlanması güvenlik amacıyla riskli olduğu için kademeli deneysel çalışma yöntemi uygulanmıştır. Öncelikle EtherCat protokolü üzerinden endüstriyel AC servo motorun kontrol performanslarını analiz etmek için tek motorlu bir motor test düzeneği tasarımları yapılmış ve kontrol uygulamaları yapılmıştır. Sonrasında yine EtherCat protokolünün çoklu eksen senkronizasyon testlerinin yapılması için tek motorlu test düzeneği üç motorlu test düzeneğine dönüştürülerek yörünge takibi ve senkronizasyon testleri yapılmıştır. Bu uygulamalarda hem EtherCat protokolü hem de CNC kontrol ünitesi yazılımı doğrulanmış ve sonrasında endüstriyel CNC-Freze tezgâhı üzerinde çalışma adımına geçilmiştir. Endüstriyel 3-Eksen CNC tezgâhında gerçek bir ürün işleme süreci ele alınarak kontrol ünitesinin endüstriyel yeterliliğinin ölçülmesi sağlanmıştır. Altı farklı işleme kalemi ile işlenen ürün için toplamda 57,903 satır NC kod kullanılmış ve 118.8 dakikalık tezgâh çalışma süresi ortaya çıkmıştır. 1ms gerçek zamanlı eksen veri yenileme hızı ile çalışıldığı için 118.8 dakikalık çalışma sürecinde her bir eksen motoruna 7,128,000 veri gönderilmiştir. Ayrıca ürün çıktısının ölçüm işlemleri Taksan (Dener Makina) kontrol birimi tarafından yapılmış ve işlenen ürün özelinde verilen

tolerans değerlerinin altında doğrulukla ürünün işlendiği rapor sonuçlarında görülmüştür. Son olarak kontrol ünitesinin farklı eksen konfigürasyonlarına sahip bir CNC-Freze tezgâhi üzerinde çalışma performansını görmek için lastik kalıbı işleme özelinde tasarlanmış CNC-LKM tezgâhında uygulamalar yapılmıştır. Fakat CNC-LKM tezgâhi 4-Eksen (Y-Z-C-A) NC kod dosyası ile çalıştığı için yörunge planlaması öncesinde ve sonrasında kinematik dönüşüm işlemlerine ihtiyaç duyulmuştur. Geliştirilen CNC kontrol ünitesi yazılım yapısının esnek olması dolayısıyla gerekli kinematik işlemler yazılıma tanımlanarak bu çalışmada önerilen yöntemlerin CNC-LKM tezgâhında da aynı performansta kullanılması sağlanmıştır. CNC-LKM tezgâhında kütük parçasının küresel form olarak işlenmesinde kaba işleme için 1,436, finiş işleme için ise 34,624 satırlık NC dosyası, dairesel cep boşaltma uygulamasında ise 1,240 satırlık NC dosyası kullanılmıştır. Ayrıca kaba işlemde yaklaşık 3.000.000, finiş işlemde 5.400.000 ve cep boşaltma işleminde ise 1.200.000 eksen verisi (her eksen için ayrı) üretilmiş ve sırasıyla 50, 90 ve 20 dakika süren uygulama zamanları ortaya çıkmıştır.

Yüksek eksen verileri üzerinden yörunge takip grafiklerinin değerlendirmesinin zor olması nedeniyle tüm uygulamaların yörunge takip sonuçları 10 dakikalık verilerle sınırlanmıştır. Uygulamalarda eksen yörunge takip sonuçları RMSE ve MSE ölçütleri ile değerlendirilmiş ve mikron seviyelerinde hatalar ile yörüngelerin takip edildiği görülmüştür. Ayrıca ürün çıktılarında yapılan ölçümler de ürün işlemlerinin hatasız gerçekleştiğini göstermiştir.

Bunlara ek olarak, uygulamalar sırasında Omron, Bosch-Rexroth ve Kollmorgen olmak üzere üç farklı marka motor ve sürücülerle çalışılmış ve hepsinde de başarılı sonuçlar alınmıştır. Bu durum, yörunge planlama ve interpolasyon işlemlerinin doğruluğunu ve EtherCat protokolünün etkinliğini ortaya koyan bir diğer önemli unsur olmuştur.

## KAYNAKLAR

- [1] Gavas M., *CNC Tekniği ve Teknolojisi*, Seçkin Yayıncılık, Anakara, 2019.
- [2] Calleja A., Bo P., Barto M., Norberto L., Highly Accurate 5-Axis Flank CNC Machining with Conical Tools, *Int. J. Adv. Manuf. Technol.*, 2018, **97**, 1605–1615.
- [3] Wan M., Xing W., Liu Y., Xiao Q., A New Error-Controllable Method for Smoothing the G01 Commands, *Chinese J. Aeronaut.*, 2019, **32**(7), 1756–1771.
- [4] Erkorkmaz K., Altintas Y., High Speed CNC System Design . Part I: Jerk Limited Trajectory Generation and Quintic Spline Interpolation, *Int. J. Mach. Tools Manuf.*, DOI:10.1016/S0890-6955(01)00002-5.
- [5] Yau H., Wang J., Fast Bezier Interpolator with Real-Time Lookahead Function for High-Accuracy Machining, *Int. J. Mach. Tools Manuf.*, 2007, **47**(10), 1518–1529.
- [6] Fan W., Lee C., Chen J., A Realtime Curvature-Smooth Interpolation Scheme And Motion Planning For CNC Machining Of Short Line Segments, *Int. J. Mach. Tools Manuf.*, 2016, **96**, 27–46.
- [7] Bharathi A., Dong J., Feedrate Optimization for Smooth Minimum-Time Trajectory Generation with Higher Order Constraints, *Int. J. Adv. Manuf. Technol.*, 2016, **82**(5), 1029–1040.
- [8] Zhang M., Yan W., Yuan C., Wang D., Gao X., Curve Fitting and Optimal Interpolation on CNC Machines Based on Quadratic B-Splines, *Sci. China Inf. Sci.*, 2011, **54**(1), 1407-1418.
- [9] Tulcsyan S., Altintas Y., Local Toolpath Smoothing for Five-Axis Machine Tools, *Int. J. Mach. Tools Manuf.*, 2015, **96**, 15–26.
- [10] Lin F., Shen L., Yuan C., Mi Z., Certified Space Curve Fitting And Trajectory Planning for CNC Machining with Cubic B-Splines, *Comput. Aided Des.*, 2019, **106**, 13–29.
- [11] Wang J., Yau H., Real-Time NURBS Interpolator : Application to Short Linear Segments, *Int. J. Adv. Manuf. Technol.*, 2009, **41**, 1169–1185, 2009.
- [12] Beudaert X., Lavernhe S., Tournier C., Feedrate Interpolation with Axis Jerk Constraints on 5-Axis NURBS and G1 Tool Path, *Int. J. Mach. Tools Manuf.*, 2012, **57**, 73-82.

- [13] Yan Y., Zhang L., Zhang K., Corner Smoothing Transition Algorithm for Five-Axis Linear Tool Path, *Procedia CIRP*, 2016, **56**, 604–609.
- [14] Tajima S., Sencer B., Kinematic Corner Smoothing for High Speed Machine Tools, *Int. J. Mach. Tools Manuf.*, 2016, **108**, 27–43.
- [15] Tajima S., Sencer B., Global Tool-Path Smoothing For CNC Machine Tools With Uninterrupted Acceleration, *Int. J. Mach. Tools Manuf.*, 2017, **121**, 81–95.
- [16] Han J., Jiang Y., Tian X., Chen F., Lu C., Xia L., A Local Smoothing Interpolation Method for Short Line Segments to Realize Continuous Motion of Tool Axis Acceleration, *Int. J. Adv. Manuf. Technol.*, 2018, **95**, 1729–1742.
- [17] Zhang Y., Zhao M., Ye P., Jiang J., Zhang H., Optimal Curvature-Smooth Transition and Efficient Feedrate Optimization Method with Axis Kinematic Limitations for Linear Toolpath, *Int. J. Adv. Manuf. Technol.*, 2018, **99**, 169–179.
- [18] Tajima S., Sencer B., Accurate Real-Time Interpolation of 5-Axis Tool-Paths with Local Corner Smoothing, *Int. J. Mach. Tools Manuf.*, 2019, **142**, 1–15.
- [19] Huang X., Zhao F., Tao T., Mei X., A Newly Developed Corner Smoothing Methodology Based on Clothoid Splines for High Speed Machine Tools, *Robot. Comput. Integrat. Manuf.*, 2021, **70**(4), 102106.
- [20] Li B., Zhang H., Ye P., Error Constraint Optimization for Corner Smoothing Algorithms in High-Speed CNC Machine Tools, *Int. J. Adv. Manuf. Technol.*, 2018, **99**, 635–646.
- [21] Huang J., Du X., Zhu L., Real-Time Local Smoothing for Five-Axis Linear Toolpath Considering Smoothing Error Constraints, *Int. J. Mach. Tools Manuf.*, 2017, **124**, 67–79.
- [22] Liu J., Fu H., Qin J., Jin H., Sliding Look-Ahead Window-Based Real-Time Feedrate Planning for Non-Uniform Rational B-Splines Curves, *Adv. Mech. Eng.*, 2018, **10**(12), 1–19.
- [23] Shahzadeh A., Khosravi A., Robinette T., Nahavandi S., Smooth Path Planning using Biclothoid Fillets for High Speed CNC Machines, *Int. J. Mach. Tools Manuf.*, 2018, **132**, 36–49.
- [24] Zhang L., Du J., Acceleration Smoothing Algorithm Based on Jounce Limited for Corner Motion in High-Speed Machining, *Int. J. Adv. Manuf. Technol.*, 2018, **95**(6), 1487–1504.
- [25] Wang W., Hu C., Zhou K., He S., (B.6)Corner Trajectory Smoothing with Asymmetrical Transition Profile for CNC Machine Tools, *Int. J. Mach. Tools Manuf.*, 2019, **144**, 103423.

- [26] Yang J., Yuen A., An Analytical Local Corner Smoothing Algorithm for Five-Axis CNC Machining, *Int. J. Mach. Tools Manuf.*, 2017, **123**, 22–35.
- [27] Ren K., Xu K., Chen W., Pan J., Yao B., Sharp Corner Transitional Trajectory Planning Based on Arc Splines in Glass Edge Grinding, *Int. J. Adv. Manuf. Technol.*, 2017, **93**(9), 4089–4098.
- [28] Wu K., Krewet C., Kuhlenkötter B., Dynamic Performance of Industrial Robot in Corner Path with CNC Controller, *Robot. Comput. Integrat. Manuf.*, 2018, **54**, 156–161.
- [29] Fleisig R. V., Spence A. D., A Constant Feed and Reduced Angular Acceleration Interpolation Algorithm for Multi-Axis Machining, *Comput. Aided Des.*, 2001, **33**, 1–15.
- [30] Sun Y., Zhou J., Guo D., Variable Feedrate Interpolation of NURBS Toolpath with Geometric and Kinematical Constraints for Five-Axis, *J. Syst. Sci. Complex.*, 2013, **26**, 757–776.
- [31] Du X., Huang J., Zhu L., A Complete S-Shape Feed Rate Scheduling Approach for NURBS Interpolator, *J. Comput. Des. Eng.*, 2015, **2**(4), 206–217.
- [32] Jahanpour J., Motallebi M., A Novel Trajectory Planning Scheme for Parallel Machining Robots Enhanced with NURBS Curves, *J. Intell. Robot. Syst.*, 2016, **82**(2), 257–275.
- [33] Ren K., Xu K., Chen W., Nurbs Toolpath Planning for Glass Sharp Corner Edge Grinding, *Int. J. Adv. Manuf. Technol.*, 2018, **97**, 2997–3007.
- [34] Su Z., Zhou H., Hu P., Fan W., Three-Axis CNC Machining Feedrate Scheduling Based on the Feedrate Restricted Interval Identification with Sliding Arc Tube, *Int. J. Adv. Manuf. Technol.*, 2018, **99**, 1047–1058.
- [35] Quang N. H., Long B. T., A Method of Real-Time NURBS Interpolation with Confined Chord Error for CNC Systems, *Vietnam J Sci Technol.*, 2017, **55**(5), 650–657.
- [36] Zhiming X., Jincheng C., Zhengjin F., Performance Evaluation of a Real-Time Interpolation Algorithm for NURBS Curves, *Int. J. Adv. Manuf. Technol.*, 2002, **20**, 270–276.
- [37] Cheng C. W., Tsai M. C., Real-Time Variable Feed Rate NURBS Curve Interpolator for CNC Machining, *Int. J. Adv. Manuf. Technol.*, 2004, **23**, 865–873.
- [38] Lin M., Tsai M., Yau H., Development of a Dynamics-Based NURBS Interpolator with Real-Time Look-Ahead Algorithm, *Int. J. Mach. Tools Manuf.*, 2007, **47**(15), 246–2262.
- [39] Lei W., Sung M., Lin L., Huang J. J., Fast Real-Time NURBS Path Interpolation for CNC Machine Tools, *Int. J. Mach. Tools Manuf.*, 2007, **47**, 1530–1541.

- [40] Lai J., Lin K., Tseng S., Ueng W., On The Development of a Parametric Interpolator with Confined Chord Error , Feedrate , Acceleration and Jerk, *Int. J. Adv. Manuf. Technol.*, 2008, **37**(1), 104–121.
- [41] Sencer B., Altintas Y., Croft E., Feed Optimization for Five-Axis CNC Machine Tools with Drive Constraints, *Int. J. Mach. Tools Manuf.*, 2008, **48**(7-8), 733–745.
- [42] Heng M., Erkorkmaz K., Design of a NURBS Interpolator with Minimal Feed Fluctuation And Continuous Feed Modulation Capability, *Int. J. Mach. Tools Manuf.*, 2010, **50**(3), 281–293.
- [43] Hui J., Wei F., Gao K., Study on the Algorithm for Real-Time Interpolation of NURBS Curve and Simulation, *Telkomnika*, 2013, **11**(5), 2516–2525.
- [44] Yeh S., Hsu P., Adaptive-Feedrate Interpolation for Parametric Curves with a Constrained Chord Error, *Comput. Aided Des.*, 2002, **34**, 229–237.
- [45] Liu X., Ahmad F., Yamazaki K., Mori M., Adaptive Interpolation Scheme for NURBS Curves with the Integration of Machining Dynamics, *Int. J. Mach. Tools Manuf.*, 2005, **45**, 433–444.
- [46] Xu R., Xie L., Li C., Du D., Adaptive Parametric Interpolation Scheme with Limited Acceleration and Jerk Values for NC Machining, *Int. J. Adv. Manuf. Technol.*, 2008, **36**(3-4), 343–354.
- [47] Tsai M., Nien H., Yau H., Development of an Integrated Look-Ahead Dynamics-Based NURBS Interpolator for High Precision Machinery, *Comput. Aided Des.*, 2008, **40**(5), 554–566.
- [48] Giannelli C., Mugnaini D., Sestini A., C<sup>2</sup> Continuous Time-Dependent Feedrate Scheduling with Configurable Kinematic Constraints, *Comput. Aided Geom. Des.*, 2018, **63**, 78–95.
- [49] Lee A., Lin M., Pan Y., Lin W., The Feedrate Scheduling of NURBS Interpolator for CNC Machine Tools, *Comput. Aided Des.*, 2011, **43**(6), 612–628.
- [50] Bohez E. L. J., Five-axis milling machine tool kinematic chain design and analysis, *Int. J. Mach. Tools Manuf.*, 2002, **42**(4), 505–520.
- [51] Marie J., Duc E., Lartigue C., Bourdet P., A New Format For 5-Axis Tool Path Computation, using Bspline Curves, *Comput. Aided Des.*, 2004, **36**(12), 1219–1229.
- [52] Son S., Kim T., Sarma S. E., Slocum A., A Hybrid 5-Axis CNC Milling Machine, *Precis. Eng.*, 2009, **33**(4), 430–446.
- [53] Mayer R., Yang J., Altintas Y., A Position Independent Geometric Errors Identification and Correction Method for Five – Axis Serial Machines based on Screw Theory, *Int. J. Mach. Tools Manuf.*, 2015, **95**, 52–66.

- [54] Lasemi A., Xue D., Gu P., Accurate identification and compensation of geometric errors of 5-axis CNC machine tools using double ball bar, *Meas. Sci. Technol.*, 2016, **27**, 055004.
- [55] Ding S., Huang X., Yu C., Wang W., Actual Inverse Kinematics for Position-Independent and Position-Dependent Geometric Error Compensation of Five-Axis Machine Tools, *Int. J. Mach. Tools Manuf.*, 2016, **111**, 55–62.
- [56] Petko M., Gac K., Góra G., Karpiel G., Ocho J., Kobus K., CNC System of the 5-Axis Hybrid Robot for Milling, *Mechatronics*, 2016, **37**, 89–99.
- [57] Li X., Zhao H., Zhao X., Ding H., Dual Sliding Mode Contouring Control with High Accuracy Contour Error Estimation for Five-axis CNC Machine Tools, *Int. J. Mach. Tools Manuf.*, 2016, **108**, 74–82.
- [58] Petko M., Karpiel G., Gac K., Góra G., Kobus K., Trajectory Tracking Controller of the Hybrid Robot for Milling, *Mechatronics*, 2016, **37**, 100–111.
- [59] Yongzhang W., Yuan L., Zhenyu H., Zhongxi S., Integration Of A 5-Axis Spline Interpolation Controller in an Open CNC System, *Chinese J. Aeronaut.*, 2009, **22**, 218–224.
- [60] Shean R., Lin Y. H., Development of Universal Environment for Constructing 5-Axis Virtual Machine Tool Based on Modified D – H Notation and Opengl,” *Robot. Comput. Integrat. Manuf.*, 2010, **26**(3), 253–262.
- [61] Altintas Y., Sencer B., High Speed Contouring Control Strategy for Five-Axis Machine Tools, *CIRP Ann.*, 2010, **59**(1), 417–420.
- [62] Kvrgic V., Dimic Z., Ilic D., A Control Algorithm for a Vertical Five-Axis Turning Centre, *Int. J. Adv. Manuf. Technol.*, 2012, **61**(5-8), 569-584.
- [63] Yuan L. I. U., Hui L. I., Yongzhang W., Realization of a 5-Axis NURBS Interpolation with Controlled Angular Velocity, *Chinese J. Aeronaut.*, 2012, **25**(1), 124–130.
- [64] Feng W., Hu L., Liaomo Z., Design and Implementation of Five-Axis Transformation Function in CNC System, *Chinese J. Aeronaut.*, 2014, **27**(2), 425–437.
- [65] Yang J., Altintas Y., Generalized Kinematics of Five-Axis Serial Machines with Non-Singular Tool Path Generation, *Int. J. Mach. Tools Manuf.*, 2013, **75**(12), 119–132.
- [66] Yang J., Altintas Y., A Generalized On-Line Estimation and Control of Five-Axis Contouring Errors of CNC Machine Tools, *Int. J. Mach. Tools Manuf.*, 2014, **88**(9), 9–23.
- [67] Sencer B., Altintas Y., Modeling and Control of Contouring Errors for Five-Axis Machine Tools-Part II: Precision Contour Controller Design, *J. Manuf. Sci. Eng.*, 2009, **131**(3), 1–10.

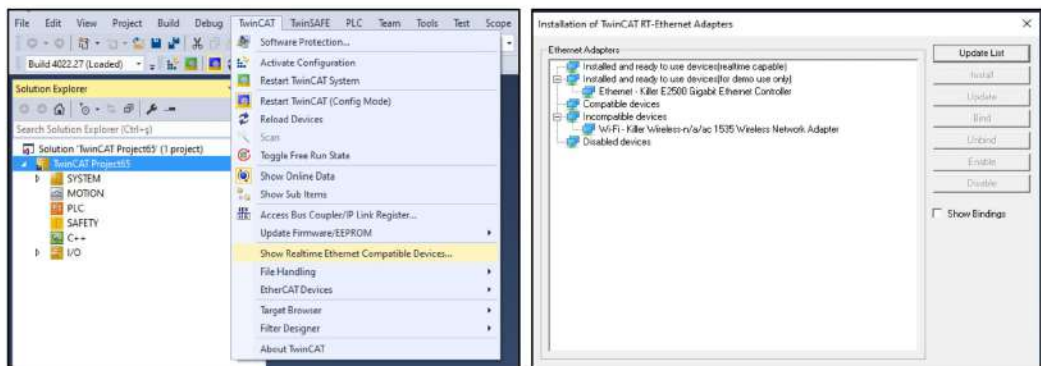
- [68] Huang J., Lu Y., Zhu L., Real-Time Feedrate Scheduling for Five-Axis Machining by Simultaneously Planning Linear and Angular Trajectories, *Int. J. Mach. Tools Manuf.*, 2018, **135**, 78–96.
- [69] Balta C., Tersine Mühendislik Uygulamalarında Nokta Bulutu Verilerinden Örme Yüzey Ve Parametrik Yüzey Denklemlerinin Elde Edilmesi, Doktora Tezi, Fen Bilimleri Enstitüsü, Kocaeli, 2006, 461896.
- [70] Magalhaes P., Magalhaes C. A., New Formulas of Numerical Quadrature Using Spline Interpolation, *Arch. Comput. Methods Eng.*, 2020, **28**, 553–576.
- [71] Dung V. T., Tjahjowidodo T., A Direct Method to Solve Optimal Knots of B-Spline Curves : An Application for Non-Uniform B-Spline Curves Fitting, *Plos One*, 2017, **12**(3), 1–24.
- [72] Yang Z., Shen L., Yuan C., Gao X., Curve Fitting and Optimal Interpolation for CNC Machining Under Confined Error Using Quadratic B-Splines, *Comput. Aided Des.*, 2015, **66**, 62–72.
- [73] Yang J., Ding H., Zhao H., Yan S., A Generalized Online Estimation Algorithm of Multi-Axis Contouring Errors for CNC Machine Tools with Rotary Axes, *Int. J. Adv. Manuf. Technol.*, 2016, **84**(5–8), 1239–1251.
- [74] Du X., Huang J., Zhu L.M., A Locally Optimal Transition Method with Analytical Calculation of Transition Length for Computer Numerical Control Machining of Short Line Segments, *Proc. Inst. Mech. Eng.*, 2018, **232**(13), 2409–2419.
- [75] Liu Y., Wan M., Xing W.J., Zhang W.H., Identification of Position Independent Geometric Errors of Rotary Axes for Five-Axis Machine Tools with Structural Restrictions, *Robot. Comput. Integrat. Manuf.*, 2018, **53**, 45–57.
- [76] Hu Q., Chen Y., Jin X., Yang J., A Real-Time C3 Continuous Local Corner Smoothing and Interpolation Algorithm for CNC Machine Tools, *J. Manuf. Sci. Eng.*, 2019, **141**(4), 041004.
- [77] Wu K., Krewet C., Kuhlenkötter B., Dynamic Performance of Industrial Robot in Corner Path with CNC Controller, *Robot. Comput. Integrat. Manuf.*, 2018, **54**, 156–161,
- [78] Sun Y., Zhao Y., Xu J., Guo D., The Feedrate Scheduling of Parametric Interpolator with Geometry, Process and Drive Constraints for Multi-Axis CNC Machine Tools, *Int. J. Mach. Tools Manuf.*, 2014, **85**, 49–57.
- [79] Chen M., Zhao W.S., Xi X.C., Augmented Taylor's Expansion Method for B-Spline Curve Interpolation for CNC Machine Tools, *Int. J. Mach. Tool Manuf.*, 2015, **94**, 109–119.
- [80] Ernesto C.A., Farouki R.T., High-Speed Cornering by CNC Machines Under Prescribed Bounds On Axis Accelerations and Toolpath Contour Error, *Int. J. Adv. Manuf. Technol.*, 2012, **58**(1–4), 327–338.

- [81] Tsai M.S., Huang Y.C., A Novel Integrated Dynamic Acceleration/Deceleration Interpolation Algorithm for A CNC Controller, *Int. J. Adv. Manuf. Technol.*, 2016, **87**(1–4), 279–292.
- [82] Zhao H., Zhu L., Ding H., A Parametric Interpolator with Minimal Feed Fluctuation for CNC Machine Tools Using Arc-Length Compensation and Feedback Correction, *Int. J. Mach. Tool Manuf.*, 2013, **75**, 1–8.
- [83] Shi J., Bi Q., Zhu L., Wang Y., Corner Rounding of Linear Five-Axis Tool Path by Dual PH Curves Blending. *Int. J. Adv. Manuf. Technol.*, 2015, **88**, 223–236.
- [84] Fan W., Lee C.H., Chen J.H., Real-Time Repairable Interpolation Scheme for CNC Tool Path Processing, *Int. J. Precis. Eng. Manuf.*, 2016, **17**(12), 1673–1684.
- [85] Wang Y., Liu H., Yu S., Curvature-Based Real-Time NURBS Surface Interpolator with Look-Ahead ACC/DEC Control, *Math. Comput. Sci.*, 2012, **6**(3), 315–326.
- [86] Yuan C., Zhang K., Fan W., Time-Optimal Interpolation for CNC Machining Along Curved Tool Pathes with Confined Chord Error, *J. Syst. Sci. Complex*, 2013, **26**(5), 836–870.
- [87] Timar S.D., Farouki R.T., Smith T.S., Boyadjieff C.L., Algorithms for Time–Optimal Control of CNC Machines Along Curved Tool Paths, *Robot. Comput. Integrat. Manuf.*, 2005, **21**(1), 37–53.
- [88] Jin Y.Q., Bi Q.Z., Wang Y.H., Dual-Bezier Path Smoothing and Interpolation for Five-Axis Linear Tool Path in Workpiece Coordinate System, *Adv. Mech. Eng.*, 2015, **7**(7), 1–14.
- [89] Liu Y., Wan M., Xing W.J., Zhang W.H., Identification of Position Independent Geometric Errors of Rotary Axes for Five-Axis Machine Tools with Structural Restrictions, *Robot. Com. Int. Manuf.*, 2018, **53**, 45–57.
- [90] Wan M., Liu Y., Xing W.J., Zhang W.H., Singularity Avoidance for Five-Axis Machine Tools Through Introducing Geometrical Constraints, *Int. J. Mach. Tool Manuf.*, 2018, **127**, 1–13.
- [91] Zhang K., Guo J.X., Gao X.S., Cubic Spline Trajectory Generation with Axis Jerk and Tracking Error Constraints, *Int. J. Precis. Eng. Manuf.*, 2013, **14**(7), 1141–1146.
- [92] Jin Y.A., He Y., Fu J.Z., Lin Z.W., Gan W.F., A Fine-Interpolation-Based Parametric Interpolation Method with A Novel Real-Time Look-Ahead Algorithm, *Comput. Aided Des.*, 2014, **55**, 37–48.
- [93] Kuncan M., Kaplan K., Ertunc H. M., Küçükates S., Design , production and novel NC tool path generation of CNC tire mold processing machine, *J. Faculty Eng. Archit. Gazi*, 2018, **3**, 1183–1200.

**EKLER**

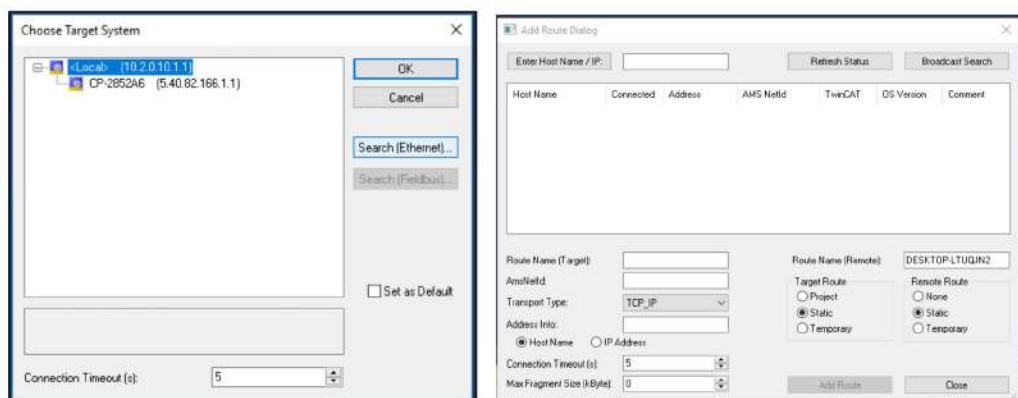
## Ek-A

Program içerisinde TwinCat sekmesi altında bulunan ‘Show Realtime Ethernet Compatible Devices’ bölümünde bilgisayardaki ethernet kartının durumu Şekil A.1’de gösterildiği gibi sorgulanmaktadır. Uyumlu cihazlar (Compatible devices) altında bir ethernet kart modeli bulunması durumunda, ethernet kartının gerçek zamanlı kullanılması için kurulum işleminin yapılması yeterli olmaktadır.



Şekil A.1. Ethernet kartı uyumluluk sorgulama işlemi

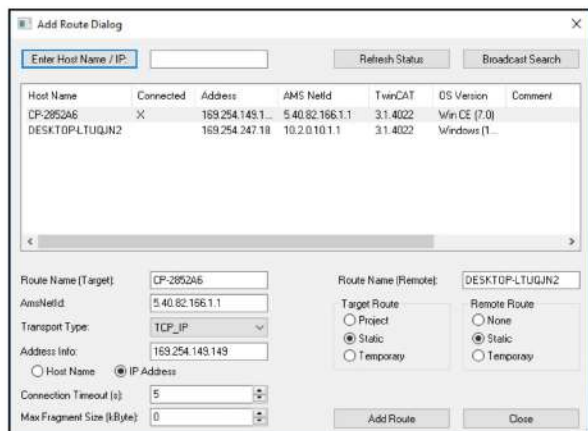
Eğer TwinCat yazılımının geliştirileceği bilgisayarda (tasarım bilgisayarı) uyumlu ethernet kartı yoksa bu bilgisayarın kullanılamayacağı anlamı çıkmamaktadır. Tasarım bilgisayarı, geliştirilen TwinCat yazılımını başka bir bilgisayarı hedef göstererek gerçek zamanlı çalıştırılabilir mektedir. Bu tür uygulamalarda bir tasarım bilgisayarı bir de hedef bilgisayar (Endüstriyel PC) kullanılması gereklidir. TwinCat yazılımın doğrudan hedef bilgisayarda geliştirilmemesinin sebebi ise, yazılım geliştirme sürecinin daha yüksek işlemci, RAM ve depolama alanı bulunan bilgisayarda yönetilmesidir. Çünkü gerçek zamanlı çalışacak endüstriyel bilgisayarın donanım özellikleri normal bir bilgisayardan aşağıda olmasına rağmen yapıları gereki gerçek zamanlı uygulamalarda normal bir bilgisayardan daha yüksek performans gösterirler.



Şekil A.2. Hedef cihaz arama işlemi

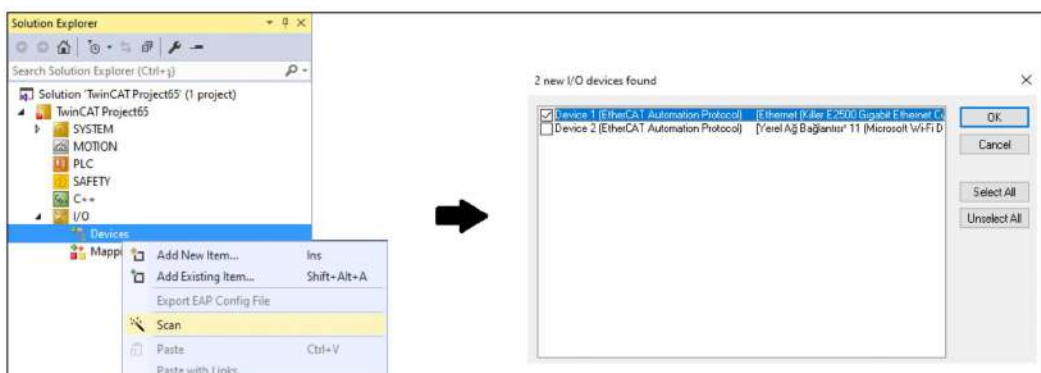
Herhangi bir hedef bilgisayara bağlanabilmek için öncelikle Şekil A.2-a'da görülen ‘Choose Target’ bölümüne gidilmesi gereklidir. Sonrasında ise ‘Search Ethernet’ butonu ile Şekil A.2-b’de yer alan diğer menüye geçilir. Hedef bilgisayarın bulunmasına

başlamak için ‘Broadcast Search’ butonuna basılmaktadır. TwinCat bilgisayara bağlı olan hedef bilgisayarı otomatik olarak bulmak için aramaya başlar. Bulunan cihaz seçilip ‘Add Route’ butonuna basıldıktan sonra gelen ‘Login’ bilgi ekranında şifre kısmı boş bırakılarak cihaza bağlanılır. Cihazın yanında bulunan Şekil A.3’te görülen ‘X’ işaretli cihaza bağlantının başarılı olduğunu göstermektedir.



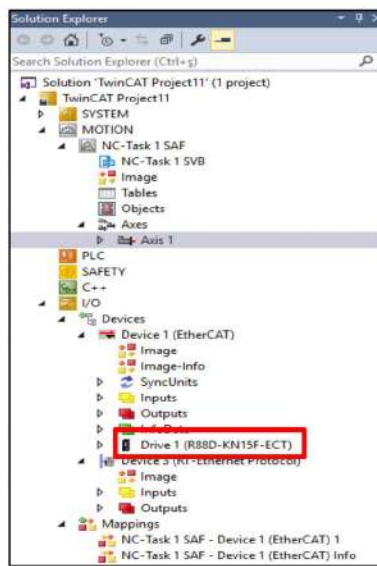
Şekil A.3. Cihaz bağlantısının sağlanması

Cihaz seçiminden sonra donanım değişikliğini taramak gereklidir. Gerçek zamanlı kontrol birimine bağlı terminal ve cihazları bulabilmek için Şekil A.4’te görülen ‘Scan Device’ seçeneğini seçilir ve EtherCat hattında bulunan tüm Slave cihazlar aranmaya başlar.



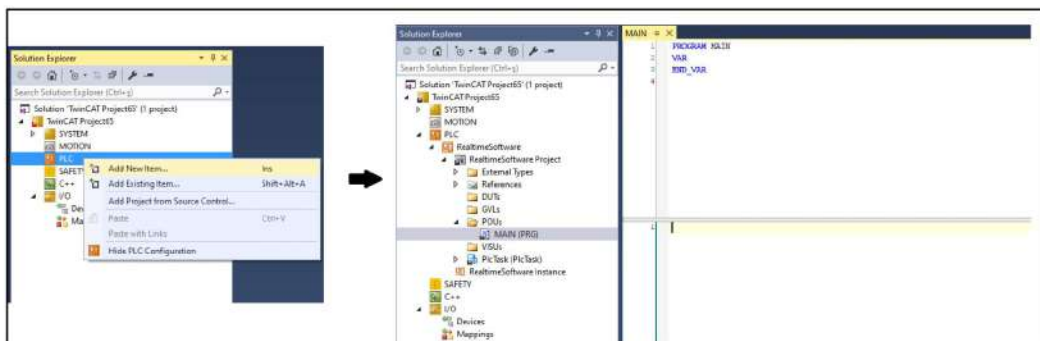
Şekil A.4. EtherCat hattına bağlı cihazların aranması

EtherCat hattında, EtherCat Slave özellikli cihazların bulunması durumunda tüm cihaz bilgileri TwinCat ortamına aktarılmaktadır. Şekil A.5’te hat taraması sonucunda TwinCat ortamına aktarılan cihaz bilgileri örnek olarak gösterilmiştir. Gerçek zamanlı uygulama için uyumlu bir ethernet kartının (Device 1) bulunduğu EtherCat hattına bağlı R88D-KN15F-ECT model EtherCat slave özellikli bir servo sürücünün bilgileri ilgili cihaz menüsü altında görülmektedir.



Şekil A.5. EtherCat hattında bulunan cihazların listelenmesi

Hattaki tüm Slave cihazlarla haberleşme kurulduktan sonra TwinCat ortamında yazılım çalışmalarına başlanmaktadır. Bir yazılım projesi oluşturmak için PLC programı oluşturmak gereklidir. Şekil A.6'da bir PLC projesinin nasıl oluşturulduğu gösterilmiştir. PLC yazılım çalışmaları ‘Program Organization Units (POUs)’ altında yürütülmektedir. Şekil A.6'da yer alan ‘MAIN’ sayfası yazılımin ana kontrol birimini oluşturmaktadır.



Şekil A.6. TwinCat PLC yazılımı

## Ek-B



### CNC DİK İŞLEM TEST PARÇASI RAPORU

MAKİNA ADI; TMC 1200

KONTROL EDEN ; Burhan Soner ER

Maksimum olması gereken değer	Parça üzerinde tespit edilen değer	Sonuç	Açıklama
Dairesellik ( $\varnothing 150mm$ ) : 0.030	0.020	Ok	
Kare ölçüm farkı 160mm: 0.025	0.020	Ok	
Kare ölçüm farkı 180mm: 0.025	0.020	Ok	
Düzlemsellik (X Y): 0.015	0.010	Ok	



#### AÇIKLAMA;

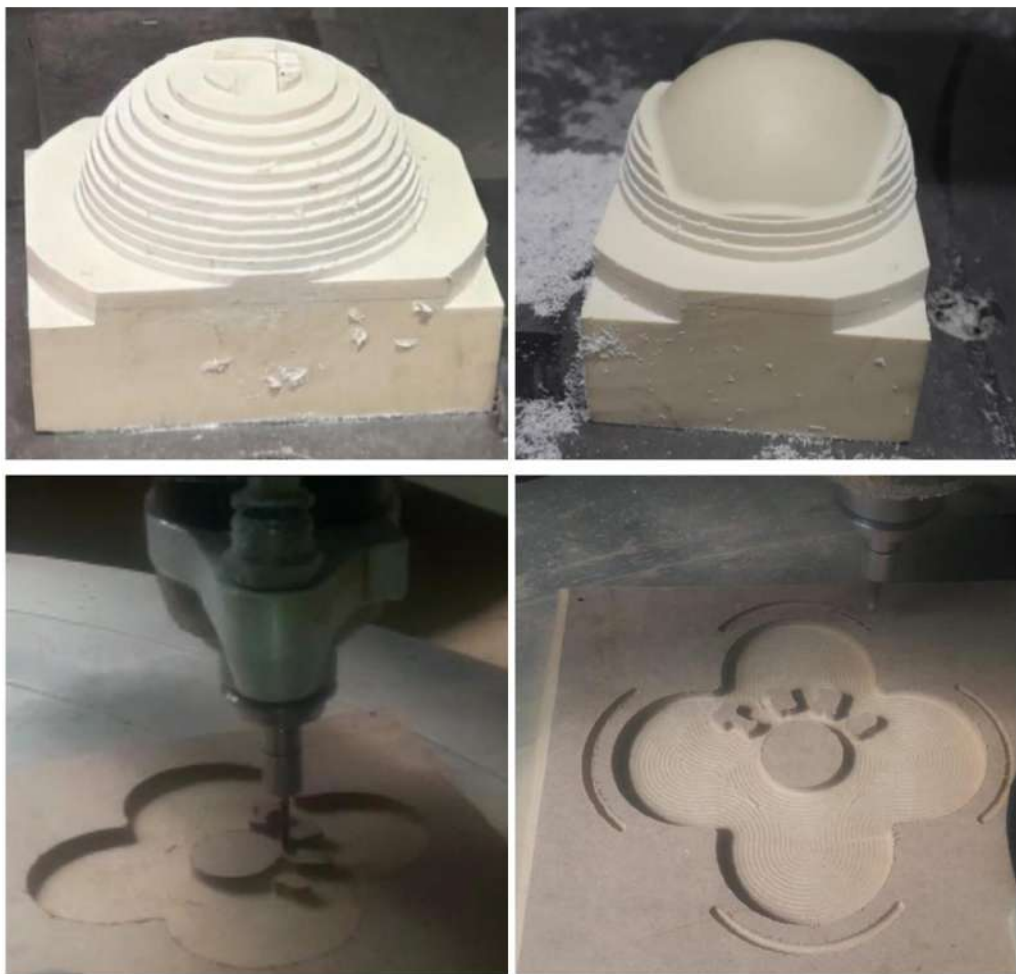
ST44 Çelik malzemeden işlenen test parçasında  $\varnothing 150.00$  mm daire ve  $180.00mm-160.00mm$  ölçülerinde kare işlenmiştir. Parçasının ölçümlerinde ve geometrik kontrollerinde herhangi bir probleme karşılaşılmamıştır. Ölçülen değerler toleranslar içerisindeydir. Test parçası TAKSAN Kalite Kontrol birimi tarafından kabul edilmiştir.

## Ek-C



Şekil C.1. Uygulama resimleri (3 Eksen CNC-Freze tezgâhı)





Şekil C.2. Uygulama resimleri (CNC-LKM tezgâhi)

## KİŞİSEL YAYIN VE ESERLER

- [1] **Kelekci E.**, Kizir S., Matlab GUI ile Tip 2 Bulanık Mantık Editör Tasarımı, *Otomatik Kontrol Ulusal Toplantısı (TOK)*, Denizli, Türkiye, 10-12 Ekim 2015.
- [2] **Kelekci E.**, Kizir S., Real Time Control of a Flexible Joint Manipulator Using Interval Type-2 Fuzzy Logic Controller, *Proceedings of the 5th International Conference of Control, Dynamic Systems, and Robotics (CDSR'18)*, Niagara Falls, Canada, June 7-9, 2017.
- [3] **Kelekci E.**, Kizir S., Bingul Z., İki Serbestlik Dereceli Dört Rotor Sisteminin Tasarımı, Modellemesi ve Kontrolü, *5th International Symposium on Innovative Technologies in Engineering and Science (ISITES)*, Baku, Azerbaijan, September 29-30, 2017.
- [4] Kizir S., **Kelekci E.**, Yaren T., *Matlab Simulink Destekli Gerçek Zamanlı Kontrol*, Seçkin Yayıncılık, Ankara, 2019.
- [5] Kirca S., **Kelekci E.**, Ayaz M., Design and Implementation of Automation System for a Storage Facility, *Pamukkale University Journal of Engineering Sciences*, 2019, **25**(2), 157-164.
- [6] **Kelekci E.**, Kizir S., Trajectory and vibration control of a flexible joint manipulator using interval type-2 fuzzy logic, *ISA Transactions*, 2019, **94**, 218-233.
- [7] **Kelekci E.**, Kizir S., Tool Path Planning Control of the 3-Axis CNC Machining with High Accuracy Step Motor Pulse/Direction Command, *10th International Conference on Image Processing, Wavelet and Applications (IWW2019)*, Kocaeli, Turkey, October 18-20, 2019.
- [8] **Kelekci E.**, Yaren T., Kizir S., Model Based PID Controller Design of a DC Motor Using Black Box System Identification, *10th International Conference on Image Processing, Wavelet and Applications (IWW2019)*, Kocaeli, Turkey, October 18-20, 2019.
- [9] **Kelekci E.**, Kizir S., Ethercat Based Trajectory Tracking Control of an AC Servo Motor, *International Marmara Sciences Congress (IMASCON)*, Kocaeli, Turkey, November 1-2, 2019.

## **ÖZGEÇMIŞ**

İlkokul eğitiminin 4 yılını Alanya/Antalya'da ilkokul son ve ortaokul eğitimini Bolvadin/Afyonkarahisar'da tamamlamıştır. 2005 yılında Meram Anadolu Teknik Lisesi'nde eğitime başlamış ve 2009 yılında mezun olmuştur. 2009 yılında girdiği üniversite sınavında Marmara Üniversitesi Mekatronik Eğitimi bölümünü kazanmış ve 2013 yılında Mekatronik Öğretmeni olarak mezun olmuştur. 2013 yılı Eylül ayında Kocaeli Üniversitesi Fen Bilimleri Enstitüsü, Mekatronik Mühendisliği Anabilim Dalı'nda Yüksek Lisans eğitimine, 2014 yılı Şubat ayında da Yıldız Teknik Üniversitesi Mühendislik Tamamlama eğitimine başlamıştır. 2016 yılı Şubat ayında yüksek lisans eğitimini tamamlamış ve Kocaeli Üniversitesi Fen Bilimleri Enstitüsü, Mekatronik Mühendisliği Anabilim Dalı'nda Doktora eğitimine başlamıştır. 2017 yılı Haziran ayında ise mühendislik tamamlama eğitimini bitirerek Yıldız Teknik Üniversitesi'nden Mekatronik Mühendisi olarak mezun olmuştur.

2014 yılı Şubat ayında, Celal Bayar Üniversitesi Hasan Ferdi Turgutlu Teknoloji Fakültesi Mekatronik Mühendisliği bölümünde ÖYP Araştırma Görevlisi olarak göreve başlamıştır. 2014-2020 yılları arasında yüksek lisans ve doktora eğitimlerini aldığı Kocaeli Üniversitesi Mühendislik Fakültesi, Mekatronik Mühendisliği Anabilim Dalı'na ÖYP kapsamında görevlendirilmiştir. 2020 Temmuz ayında asıl kadrosunun bulunduğu Celal Bayar Üniversitesi Hasan Ferdi Turgutlu Teknoloji Fakültesi Mekatronik Mühendisliği bölümune dönmüş ve Araştırma Görevlisi olarak görevine devam etmektedir.